

03.ჯავახიშვილის სახ. თბილისის სახელმწიფო
უნივერსიტეტი

ხელნაწერის უფლებით

ნონი შარაშიძე

მარცხენა პარკუჟის ვიზიკური
დატვირთვით ინდუცირებული რემოდელირების
ასპექტები

დ ი ს ე რ ტ ა ც ი ა

დოქტორის ხარისხის მოსაპოვებლად მედიცინაში



2008

სადისერტაციო ნაშრომი შესრულებულია

ივ.ჯავახიშვილის სახ. თბილისის სახელმწიფო
უნივერსიტეტი, მედიცინის ფაკულტეტი, თერაპიის
დეპარტამენტი

სამეცნიერო ხელმძღვანელი

ზურაბ ფალავა

მედიცინის მეცნიერებათა დოქტორი,
ასოცირებული პროფესორი

ს ა რ ჩ ე ვ ი

შესავალი	5
თავი I. ლიტერატურის მიმოხილვა	13
1. მარცხენა პარკუჭის ჰიპერტოფის გენეზი; მორფოლოგიური სუბსტრატი განვითარების მექანიზმები და სასიგნალო გზები პათოლოგიური და გიზიოლოგიური ჰიპერტოფიების დროს	13
1.2. მარცხენა პარკუჭის ფიზიკური დატვითვით ინდუცირებული ჰიპერტოფია : გულის სტრუქტურა, სისტოლური და დიასტოლური ფუნქცია, განსხვავებები სპორტის სახეობებს შორის	20
1.3. სპორტსმენთა გულის სინდრომის კლინიკური გამოვლინებები: ე.კ.გ., რითმის დარღვევები	26
1.4. QT ინტერვალის დისპერსიის პროგნოზული მნიშვნელობა	28
1.5. დატვირთვის ტესტი სპორტსმენებში; დატვირთვის ტესტის არაელექტროკარდიოგრაფიული კრიტერიუმების პროგნოზული მნიშვნელობა.	31
1.6. გულის ავტონომიური რეგულაციის ფუნქცია. გულის რითმის ვარიაბელობის პროგნოზული მნიშვნელობა	37
1.7. პორტსმენთა სკრინინგი, სამედიცინო ექსპერტიზა და სადიფერენციალო კრიტერიუმები	40
1.8. უეცარი სიკვდილი სპორტსმენებში	43
1.9. გულის სპორტული რემოდელირების პოროგნოზული მნიშვნელობა; ვეტერანების კვლევები	45
1.10. გენეტიკური კვლევები	52
თავი II. გამოკვლეული კონტინგენტი და კვლევის მეთოდები	56
2.1. გამოკვლეული კონტინგენტის დახასიათება	56
2.2. კვლევის მეთოდები	58
2.3. სტატისტუკური ანალიზი	61
თავი III. კვლევის შედეგები	62
3.1. დოპლერ-ექოკარდიოგრაფიული მონაცემები საკვლევ ჯგუფებში	62
3.1.1 დოპლერ-ექოკარდიოგრაფიული მონაცემები ვეტერან სპორტსმენებში	70
3.1.2 დოპლერ-ექოკარდიოგრაფიული მონაცემები პაციენტებში არტერიული ჰიპერტენზით	78
3.2 დატვირთვის სტრეს-ტესტის შედეგები საკვლევ ჯგუფებში	83
3.3. გულის რითმის ვარიაბელობა და რითმის დარღვევები საკვლევ ჯგუფებში	100
3.4. საკვლევ პარამეტრებს შორის კორელაციური კავშირების ხასიათი გამოკვლეულ კონტიგენტში	108
თავი IV. მიღებული შედეგების განხილვა	132
დასკვნები	142
პრაქტიკული რეკომენდაციები	144
გამოყენებული ლიტერატურა	145

დისერტაციაში გამოყენებული შემოკლებები:

გრ -- გულის რემოდელირება

სგს - სპორტსმენთა გულის სინდრომი

გვერდი – გულისცემის სიხშირე

ՃՅ – մարզելյան քարշակո

მაგ --- მარცხენა პარკურის მასა

გვე -- მარცხენა პარკურის ჰიპერტოფია

მპმი – მარცხენა პარკურის მასის ინდიქტორი

პშდ -- პარკურჭთაშვები ბგიდენ

በ -- *በ*የኅና የጊዜ

მკეთრი -- მარცხენა პარკურის ენდინისტოლოგი

მკერდი - მარცხენა პარკურის ენდისისტოლური დიამეტრი

გრვ -- გულის რითმის გარიაბელობა

საწ -- სისტოლური არტერიული წნევა

დაწ -- დიასტოლური არტერიული წნევა

პსატ -- პიკური სისტოლური არტერიული წნევა

პლანი -- პიკური დიასტოლური არტერიული წნევა

OTd = OT გნტერვალის დისპერსია

Ey -- ማጥታዎች በኋይ ቅዱት እንደሆነ ነውም

Ay -- ազգի ուսման ուղղություն է այսօնութեան կամ կարգադրութեան մասին:

DT පෙක්සුමුදා සැකඳේ සැසැමැඳේ වෙත

ବ୍ୟାକ ପାଇଁ ମୁଣ୍ଡରୀ ଶିଳ୍ପିମାଲାଙ୍କୁ କୁହାଯାଇଛନ୍ତି

$$2_1 \times 1_1 = 2_1 \times 1_1 \times 1_1 \times 1_1 \times 1_1 = 2_1 \cdot 1_1 \cdot 1_1 \cdot 1_1^3 \in \mathbb{Z}_+$$

$\lambda_1, \lambda_2, \dots, \lambda_n$ are eigenvalues of A , $\lambda_1 > \lambda_2 > \dots > \lambda_n$.

1-19 < 1-85% - 1-20-8%

151 1 2 1 1 1 3 1 1 1 1 1 1 1 1 1 1 1 1 1 1

1 1 1 2 1 1 1 3 1 1 2 5 2 1 1 3 1

卷之三

WL 100 0.15 1 1.9 1.1 26 0.5 2.1 1 100

1 2 3 4 5 6

სდრ	-	საშუალო დამის რითმი
კბ	--	კომპლექსური არითმია
პეხ	-	პარკუჭოვანი ექსტრასისტოლა
სვეხ	-	სუპრავენტრიკულური ექსტრასისტოლა
პტ	-	პარკუჭოვანი ტაქიკარდია
სვტ	-	სუპრავენტრიკულური ტაქიკარდია
ბა	--	მოციმციმე არითმია
LBBB --		პისის კონის მარცხენა ფეხის ბლოკი
RBBB --		პისის კონის მარჯვენა ფეხის ბლოკი
რაა სისტემა --		რენინ-ანგიოტენზინ – ალდოსტერონის სისტემა
სმი	-	სხეულის მასის ინდექსი
ფა --		ფიზიკური აქტივობა
აგვ --		ანგიოტენზინგარდამქმნელი ფერმენტი
MMP -		მატრიქს მეტალო პროტეინაზა
TNF -		სიმსივნის ნეკროზის ფაქტორი
ატრ --		ანგიოტენზინის რეცეპტორი
ილ --		ინტერლეიკინი

შ ე ს ა ვ ა ლ ი

აქტუალობა. გულის სხვადასხვა გენეზის რემოდელირების შესწავლა თანამედროვე კარდიოლოგიური სამეცნიერო კვლევის ერთ-ერთი ძირითადი მიმართულებაა. გულის ადაპტაცია ნებისმიერ სტრესთან რეალიზდება რემოდელირების გზით, რაც განაპირობებს გულის რემოდელირების კვლევის განსაკუთრებულ აქტუალობას. სადღეისოდ, გულის რემოდელირება განისაზღვრება, როგორც მორფოლოგიური და ფუნქციური ცლილებების ერთობლიობა, რომელიც ვითარდება გულის სხვადასხვა მიზეზით გამოწვეული გადაძაბვის ან დაზიანების პასუხად. გულის რემოდელირებას საფუძვლად უდევს გენომის ექსპრესიის ცლილებით განპირობებული მოლეგულური, უჯრედული და ინტერსტიციული ძვრები, რაც კლინიკურად მანიფესტირდება გულის ზომების, ფორმისა და ფუნქციის შეცვლით. გულის რემოდელირების მიზეზი შეიძლება გახდეს სხვადასხვა, როგორც პათოლოგიური, ასევე ფიზიოლოგიური მდგომარეობა. გამომწვევი მიზეზი განაპირობებს რემოდელირების თავისებურებებს. მარცხენა პარკუჭის რემოდელირების გამოვლინებაა სხვადასხვა მიზეზით განპირობებული მარცხენა პარკუჭის ჰიპერტონია. ფართომასშტაბიანი ჰოპულაციური კვლევების მიხედვით მარცხენა პარკუჭის ჰიპერტონია ჰიპოადგენს ყველა ძირითადი კარდიოგასკულური ინციდენტის, მათ შორის გულის უკმარისობისა და უეცარი სიკვდილის განვითარების დამოუკიდებელ რისკ-ფაქტორს [2]. ფრემინგემის კვლევამ აჩვენა, რომ ექოკარდიოგრაფიული მეთოდით განსაზღვრული მარცხენა პარკუჭის მასის მატება კორელირებს, როგორც გულსისხლძარღვთა დაავადებების განვითარებისა და კარდიოგასკულური ლეტალობის (რელატიური რისკი 1,73 მამაკცებში და 2,12ქალებში), ასევე საერთო სიკვდილობის (რელატიური რისკი 1,49 მამაკაცებში და 2,01 ქალებში) რისკის მაჩვენებლებთან [2]. რისკის მაჩვენებლები კორეგირებული იყო ტრადიციული კარდიოგასკულური რისკ-ფაქტორებისთვის. ფრემინგემის კვლევის შედეგებით ნორმოტენზიულ ჯანმრთელებში ჰიპერტენზიის განვითარების რისკი კორელირებს მიოკარდიუმის მასისა და კედლის სისქეების მაჩვენებლებთან. მარცხენა პარკუჭის მასის ინდექსის 1-SD-ით მატება დაკავშირებული იყო შედარებითი რისკის 1,20 ზრდასთან, ხოლო მარცხენა პარკუჭის კედლის სისქის

1-SD-ით ასოცირებული იყო რელატიურ რისკთან 1,16 [9] მიუხედავად ამისა, ტრადიციული შეხედულების თანახმად არსებობს მარცხენა პარკუჭის პიპერტროფიის რამდენიმე ფორმა, რომელიც შეიძლება ჩაითვალოს ფიზიოლოგიურად: სხეულის მასის მატებით განპირობებული მარცხენა პარკუჭის პიპერტროფია, ზრდისა და მომწიფების პერიოდის პიპერტროფია, ორსულთა პიპერტროფია და აგრეთვე მარცხენა პარკუჭის სპორტული პიპერტროფია ანუ სპორტსმენთა გულის სინდრომი. განსხვავებით პათოლოგიური პიპერტროფიისაგან, ფიზიოლოგიური პიპერტროფია განიხილება, როგორც გულის რემოდელირების შექცევადი კეთილთვისებიანი ვარიანტი, რომელიც არ არის დაკავშირებული კარდიოვასკულური რისკის მატებასთან. ამ თვალსაზრისით რამდენადმე ბუნდოვანია მაღალინტენსიური ფიზიკური დატვირთვებით ინდუცირებული მპ-ის პიპერტროფიის ხასიათი. ფიზიკური დატვირთვით განპირობებული სპორტსმენთა გულის სინდრომი მოიცავს, მიოკარდიუმის ცვლილებათა ერთობლიობას, რომელიც ვითარდება სპორტსმენებში ინტენსიური საწვრთნელი ვარჯიშების შედეგად. ფაქტობრივად, ეს არის მარცხენა პარკუჭის რემოდელირების ვარიანტი, რომელიც ემსახურება გულის ადაპტაციას მაღალინტენსიური ფიზიკური აქტივობის რეჟიმთან და უზრუნველყოფს გულისადმი წაყენებული გაზრდილი მოთხოვნილებების დაკმაყოფილებას, ხოლო ინტენსიური ვარჯიშის შეწყვეტის შემდეგ განიცდის რეგრესს. მას შემდეგ, რაც გასული საუკუნის დასაწყისში Henshen-ის მიერ აღწერილი იყო, გულის გადიდების შემთხვევები მოთხილამურებებში [147], არ წყდება დებატები სპორტსმენთა მარცხენა პარკუჭის პიპერტროფიასთან დაკავშირებით. დღემდე დია რჩება საკითხი : არის თუ არა სპორტსმენთა მარცხენა პარკუჭის პიპერტროფია წმინდა ფიზიოლოგიური ადაპტაცია ყოველგვარი პათოლოგიური გამოვლინების გარეშე და უნდა ჩაითვალოს თუ არა პიპერტროფიის აღნიშნული ვარიანტი მომატებული კარდიოვასკულური რისკის ფაქტორად. სპორტსმენთა გულის სინდრომის კლინიკური გამოვლინებები ფართოდ არის შესწავლილი, რაც არ შეიძლება ითქვას სპორტსმენთა მპ-ის პიპერტროფიის პროგნოზულ მნიშვნელობასთან დაკავშირებით.

ინტენსიური ფიზიკური ტრენირებისადმი გულსისხლძარღვთა სისტემის ადაპტაციის ფიზიოლოგიური საფუძვლებისა და მარცხენა პარკუჭის სპორტული რემოდელირების პროგნოზული მნიშვნელობის კვლევის აქტუალობა მნიშვნელოვნად განპირობებულია სპორტისადმი მზარდი ინტერესით და შესა-

ბამისად სპორტში ჩართულ ადამიანთა რაოდენობის პროგრესირებადი მატებით. მაგ.: აშშ-ში ყოველწლიურ სამედიცინო შემოწმებას გადის 8- 10 მილიონი სპორტსმენი [115]. მიუხედავად იმისა, რომ მაღალი ფიზიკური აქტივობა გულსისხლარღვთა დაავადებების პრევენციის დონისძიებათა შორის ერთერთი ძირითადია, გარკვეულად განსხვავებულია ექსტრემალურად მაღალი ინტენსივობის რეჟიმში ტრენირების კარდიოვასკულური ეფექტები, რომელთა შედეგების მანიფესტაციას წარმოადგენს სპორტსმენთა გულის სინდრომი.. გულის სპორტული რემოდელირების კლინიკურ გამოვლინებათა ინტერპრეტაცია და პროგნოზის შეფასება პრაქტიკული კარდიოლოგიის მნიშვნელოვან გადაუჭრელ პრობლემად რჩება. ერთი მხრივ, სერიოზულ სირთულეებს ქმნის სპორტსმენთა გულის სინდრომისათვის დამახასიათებელი მიოკარდიუმის ჰიპერტროფიისა და მასთან ასოცირებული კარდიული სიმპტომების დიფერენცირება პათოლოგიური მდგომარეობებისაგან [149,150,151,152]; მეორე მხრივ, არსებობს პრინციპულად წინააღმდეგობრივი შეხედულებები გულის ფიზიკური დატვირთვით ინდუცირებული ჰიპერტროფიის ბუნებასთან დაკავშირებით. გაურკვეველია, რამდენად განსხვავებულია ინტენსიური ფიზიკური დატვირთვით ინდუცირებული და პათოლოგიური სტიმულებით განპირობებული ჰიპერტროფიების პროგნოზული მნიშვნელობა. ნაკლებად არის ცნობილი გულის სპორტული ჰიპერტროფიული რემოდელირების შორეული შედეგები, რაც აიხსნება ვეტერან სპორტსმენთა კვლევების სიმცირით [138]. ზოგადად, მარცხენა პარკუჭის ჰიპერტროფია მნიშვნელოვნად ზრდის არაფატალური და ფატალური კარდიოვასკულური გართულების, მათ შორის უეცარი სიკვდილის რისკს [7]. მიუხედავად იმისა, რომ მოქმედ სპორტსმენებში უეცარი სიკვდილი იშვიათია, აღმოჩნდა, რომ ახალგაზრდა სპორტსმენებში უეცარი სიკვდილის რისკი 2,8-ჯერ აღემატება საერთო პოპულაციურ მაჩვენებლებს [119]. რიგ კვლევებში ნანახი იყო QT ინტერგალის დისპერსიის მომატება სპორტსმენებში მარცხენა პარკუჭის ჰიპერტროფიით [155,156,157,158], რაც ფატალური არითმიების განვითარების მაღალი რისკის მარკერად არის მიჩნეული. ჩვენი წინა კვლევების მონაცემებით სპორტსმენებში მარცხენა პარკუჭის ჰიპერტროფიით ვლინდება QT ინტერგალის დისპერსიის ზრდა დატვირთვის დროს (ქიშმარეა თ, ფაღავა ზ,) [159]. საყურადღებოა, რომ როგორც მრავალრიცხვანი ექსპერიმენტული და კლინიკური კვლევები მიუთითებენ, გულის ავტონომიური ნერვული კონტროლის დარღვევა ერთერთი ძირითადია უეცარი სიკვდილის დეტერმინანტთა შორის [160].

სადღეისოდ არსებული წარმოდგენებით კარდიოვასკულური სისტემის ავტონომიური კონტროლის დარღვევის შედეგია, აგრეთვე ქრონოტროპული არაკომპეტენტურობა [161]. თუმცა, არ არსებობს საკმარისი მტკიცებულებითი ბაზა, აღნიშნული მოსაზრების სადემონსტრაციოდ, რამდენადაც ურთიერთკავშირი გულის ავტონომიური კონტროლის ძირითად მარკერებსა (გულის რითმის ვარიაბელობა, ბარორეფლექსური მგრძნობელობის დაქვეითება) და დატვირთვაზე ქრონოტროპული პასუხს შორის არ არის შესწავლილი. ასევე, ნაკლებადაა ცნობილი სპორტსმენებში ყველაზე ხშირი კარდიული გამოვლინების - რითმის დარღვევებსა და გულის ავტონომიურ რეგულაციას შორის კავშირის ხასიათი [162]. სპორტსმენებში გრძელვადიანი პროსპექტული კვლევების სიმცირე არ იძლევა მარცხენა პარკუჭის სპორტული ჰიპერტროფიის შორეული პროგნოზის შეფასების შესაძლებლობას. არსებულ ცალკეულ მცირემასშტაბიან კვლევებში ნაჩვენები იყო მპ-ის სპორტული რემოდელირების არასრული რეგრესი და დიასტოლური დისფუნქციის ნიშნები ვეტერან სპორტსმენთა ნაწილში [69]. ავტორები მიუთითებენ, აგრეთვე, გულის რითმისა და გამტარებლობის მნიშვნელოვანი დარღვევებისა და QT ინტერვალის დისპერსიის ზრდის შესახებ ვეტერან სპორტსმენებში [306]. საყურადღებოა ბოლოდროინდელი კვლევები, რომელთა მონაცემებით ვეტერან სპორტსმენებში აღმოჩენილი იყო მიოკარდიუმის ფიბროზის ბიოქიმიური მარკერების მატება, [165] „რაც დამახასიათებელია პათოლოგიური ჰიპერტროფიებისათვის.

ერველივე ზემოაღნიშნულიდან გამომდინარე, განსაკუთრებულ მნიშვნელობას იძენს შემდგომი კვლევების წარმართვა მარცხენა პარკუჭის ინტენსიური ფიზიკური დატვირთვით ინდუცირებული ჰიპერტროფიის ფიზიოლოგიური დეტერმინანტების, შორეული შედეგებისა და პროგნოზული როლის შესწავლის მიზნით.

წარმოდგენილი პკლევის მიზანი :

საშუალო ასაკის ასიმპტომურ ვეტერან სპორტსმენებში მარცხენა პარკუჭის სტრუქტურულ-ფუნქციური მდგომარეობისა და გულის ავტონომიური რეგულაციის მახასიათებლების შესწავლა ფიზიკური დატვირთვით ინდუცირებული კარდიოვასკულური რემოდელირების თავისებურებების შესაფასებლად.

პკლევის ამოცანები:

1. მარცხენა პარკუჭის ზომებისა და მასის შეფასება ვეტერან სპორტსმენებში, შესაბამისი ასაკის ნაკლებაქტიურ ჯანმრთელ პირებში და პაციენტებში არტერიული ჰიპერტენზით.
2. მარცხენა პარკუჭის სისტოლურ-დიასტოლური ფუნქციის შეფასება ვეტერან სპორტსმენებში, შესაბამისი ასაკის ნაკლებაქტიურ ჯანმრთელ პირებში და პაციენტებში არტერიული ჰიპერტენზით.
2. ფიზიკური ფუნქციურუნარიანობისა და დატვირთვაზე ქრონოტროპული პასუხის შეფასება ვეტერან სპორტსმენებში, შესაბამისი ასაკის ნაკლებაქტიურ ჯანმრთელ პირებში და პაციენტებში არტერიული ჰიპერტენზით.
3. QT ინტერვალის დისპერსიის ცვლილების დინამიკის შესწავლა დატვირთვის დროს ვეტერან სპორტსმენებში, შესაბამისი ასაკის ნაკლებაქტიურ ჯანმრთელ პირებში და პაციენტებში არტერიული ჰიპერტენზით.
4. სისტოლური და დიასტოლური არტერიული წნევის დინამიკის შესწავლა დატვირთვის ტესტის განმავლობაში ვეტერან სპორტსმენებში, შესაბამისი ასაკის ნაკლებაქტიურ ჯანმრთელ პირებში და პაციენტებში არტერიული ჰიპერტენზით.
5. გულის რითმის ვარიაბელობის შესწავლა ვეტერან სპორტსმენებში, შესაბამისი ასაკის ნაკლებაქტიურ ჯანმრთელ პირებში და პაციენტებში არტერიული ჰიპერტენზით.
6. გულის რითმისა და გამტარებლობის დარღვევების შეფასება ეტერან სპორტსმენებში შესაბამისი ასაკის ნაკლებაქტიურ ჯანმრთელ პირებში და პაციენტებში არტერიული ჰიპერტენზით.

7. მარცხენა პარკუტის სტრუქტურისა და სისტოლურ-დიასტოლური ფუნქციის მახასიათებლებსა, გულის რითმის ვარიაბელობასა, დატვირთვაზე ქრონოტროპულ პასუხსა, დატვირთვის განმავლობაში QT ინტერვალის დისპერსიის დინამიკასა, ფიზიკურ ფუნქციურუნარიანობასა გულის რითმისა და გამტარებლობის დარღვევებს შორის კორელაციების შეფასება საკვლევ ჯგუფებში.

ნაშრომის სამეცნიერო სიახლე

- პირველად, ვეტერან სპორტსმენებში, ისევე როგორც ჯანმრთელებსა და პაციენტებში არტერიული ჰიპერტენზიით, შეფასებული იყო გულის რითმის გარიაბელობასა და დატვირთვაზე ქრონოტროპული პასუხის მაჩვენებლებს შორის ურთიერთკავშირი. გულის რითმის გარიაბელობა და ქრონოტროპული პასუხი დატვირთვაზე მომატებული იყო ვეტერან სპორტსმენებში როგორც მპ-ის ჰიპერტროფიის გარეშე, ასევე ინდივიდებში მპ-ის ჰიპერტროფიით და დიასტოლური დისფუნქციით, ხოლო პაციენტებში არტერიული ჰიპერტენზიით გულის რითმის გარიაბელობა და ქრონოტროპული პასუხი დატვირთვაზე დაქვეითებული იყო შემთხვევათა უმრავლესობაში, დამოუკიდებლად პარკუჭის სტრუქტურისა და დიასტოლური ფუნქციისა. გულის რითმის გარიაბელობასა და დატვირთვაზე ქრონოტროპული პასუხის მაჩვენებლებს შორის კორელაცია საკვლევ ჯგუფებში, მიუხედავად მარცხენა პარკუჭის სტრუქტურული მაჩვენებლებისა და დიასტოლური ფუნქციის მდგომარეობისა, მიუთითებს , რომ დატვირთვაზე ქრონოტროპულ პასუხსა და გულის რითმის გარიაბელობას ერთიანი ფიზიოლოგიური საფუძველი გააჩნია, კერძოდ, გულის ავტონომიური რეგულაცია. ზემოაღნიშნული შესაძლებელია განვიხილოთ, როგორც კიდევ ერთი მნიშვნელოვანი არგუმენტი მოსაზრებისათვის , რომ დატვირთვაზე ქრონოტროპული პასუხის ფორმირებაში გადამწყვეტ როლს ასრულებს გულის ავტონომიური სარეგულაციო სისტემის ფუნქციური მდგომარეობა და შესაბამისად, დატვირთვაზე ქრონოტროპული პასუხის მიხედვით შესაძლებელია ვიმსჯელოთ გულის ავტონომიური რეგულაციის შესახებ.

კვლევამ აჩვენა, რომ :

- მარცხენა პარკუჭის ჰიპერტროფია ასიმპტომურ საშუალო ასაკის ვეტერან სპორტსმენებში ავლენს პათოლოგიური ჰიპერტროფიისათვის დამახასიათებელ ნიშან-თვისებებს. მსგავსად არტერიული ჰიპერტენზიით გამოწვეული ჰიპერტროფიისა, მარცხენა პარკუჭის, სავარაუდო, გულის სპორტული რემოდელირების არასრული რეგრესით განპირობებული რეზიდუალური ჰიპერტროფია ვეტერან სპორტსმენებში ხასიათდება დიასტოლური დისფუნქციის ნიშნებით, რასაც თან ახლავს დატვირთვაზე

QT ინტერვალის დისპერსიის მატება და გულის რითმის მნიშვნელოვანი დარღვევები.

- გეტერან სპორტსმენებში, განსხვავებით პაციენტებისაგან არტერიული ჰიპერტენზით, მარცხენა პარკუჭის ჰიპერტროფია არ არის ასოცირებული გულის რითმის ვარიაბელობისა და დატვირთვაზე ქრონოტროპული პასუხის დაქვეითებულ მაჩვენებლებთან.

ნაშრომის პრაქტიკული მნიშვნელობა

- ნაშრომის შედეგებმა აჩვენა, რომ გულის ავტონომიური რეგულაციის შეფასება შესაძლებელია დატვირთვის ტესტის ქრონოტროპული პასუხის პარამეტრების საფუძველზე, რაც კიდევ ერთხელ მიუთითებს ასიმპტომურ პირებში დატვირთვაზე ქრონოტროპული პასუხის მაღალ პროგნოზულ დირებულებაზე უეცარი სიკვდილის რისკის შეფასების თვალსაზრისით. ზემოაღნიშნული გარემოება საფუძველს იძლევა რეკომენდაციისათვის, რომ ასიმპტომურ პირებში, მათ შორის გეტერან სპორტსმენებში რაციონალურია ნაკლებადგვირადლირებული დატვირთვის ტესტის არაელექტროგარდიო-გრაფიული პარამეტრების გამოყენება კარდიული რისკის შეფასების მიზნით.
- ნაშრომის ფარგლებში მოწოდებულია ქრონოტროპული პასუხის მაჩვენებლების ოპტიმალური კომპლექსი და შეფასების კრიტერიუმები.
- კვლევამ აჩვენა, რომ გეტერან სპორტსმენებში დატვირთვაზე ქრონოტროპული პასუხისა და გულის რითმის ვარიაბელობის მონაცემების გათვალისწინება საფუძველს იძლევა მარცხენა პარკუჭის ჰიპერტროფიის გენეზის დიფერენცირებისათვის.

თავი I

ლიტერატურის მიმოხილვა

1.1. მარცხენა პარკუჭის პიპერტროფიული რემოდელირება (გენეზი, მორფოლოგიური სუბსტრატი, პროგნოზული მნიშვნელობა; განვითარების მექანიზმები და სასიგნალო გზები პათოლოგიური და ფიზიოლოგიური პიპერტროფიების დროს)

მარცხენა პარკუჭის პიპერტროფია წარმოადგენს პოლიეტიოლოგიურ მდგომარეობას [7,8,10,12], რომლის განვითარების მიზეზთა შორის უხშირესია გულის სხდასხვა გენეზის რემოდელირება. მარცხენა პარკუჭის რემოდელირება, თავისთავად, გულისხმობს სტრუქტურულ-ფუნქციური ცვლილებების ერთობლიობას, რომელიც ვითარდება რიგი პათოლოგიური თუ ფიზიოლოგიური მდგომარეობების პასუხად [16,18]. პიპერტროფიული რემოდელირების სტრუქტურული საფუძველია მპ-ის მასის, კედლის სისქის, ზომების მატება და ფორმის ცვლილება. გამომწვევი მიზეზი განაპირობებს მიოკარდიუმის რემოდელირების თავისებურებებს. გულის რემოდელირებით განპირობებული მარცხენა პარკუჭის პიპერტროფიის განვითარების მიზეზები შესაძლებელია გაერთიანდეს ორ ძირითად კატეგორიაში, როგოროცაა: გულის ჰემოდინამიური გადაძაბვა და გულის დაზიანება.

გულის ჰემოდინამიური გადაძაბვა თავის მხრივ დიფერენცირდება როგორც წნევით გადაძაბვა და მოცულობით გადაძაბვა. ხშირ შემთხვევაში ვლინდება მიზეზების კომბინირება [7,12,3,10]. წნევით გადაძაბვით გამოწვეული რემოდელირების შედეგია მარცხენა პარკუჭის კონცენტრული პიპერტროფია სისტემური პიპერტენზიის [8,19,20,25], აორტის სარქველოვანი სტენოზის და აორტის კოარქტაციის დროს. მოცულობითი გადაძაბვით განპირობებული რემოდელირების მაგალითია მარცხენა პარკუჭის ექსცენტრული პიპერტროფია აორტული რეგურგიტაციის, მიტრალური რეგურგიტაციის და ასევე პარკუჭთაშუა დეფექტის არსებობის დროს [29]. ჰემოდინამიური გადაძაბვა არის აგრეთვე, მპ-ის პიპერტროფიის ფიზიოლოგიური ვარიანტის, ფიზიკური დატვირთვით ინდუცირებული პიპერტროფიის განვითარების საფუძველი [55].

გულის დაზიანებით გამოწვეული რემოდელირების უხშირესი გამოვლინებაა იშემიური კარდიოპათიით (უმრავლეს შემთხვევაში მიოკარდიუმის ინფარქტის

შემდგომი) გამოწვეული მარცხენა პარკუჭის ჰიპერტროფია. კარდიომიოციტების მორფოლოგიური ცვლილებები წნევითა და მოცულობით გადაძაბვით მიმდინარე მდგომარეობების დროს მნიშვნელოვნად განსხვდება. წნევით გადაძაბვის შემთხვევაში გულის კუმშვადი ცილები გროვდება ერთმანეთის პარალელურად, რაც განაპირობებს მიოციტების სისქის მატებას და შესაბამისად კონცენტრულ ჰიპერტროფიას. ლა-პლასის კანონის მიხედვით მიოკარდიუმის ნებისმიერ უბანზე განვითარებული ზეწოლა (კედლის სტრესი) გამოისახება შემდეგი ფორმულით: $(\text{წნევა}X\text{რადიუსი})/(2X\text{კედლის სისქე})$. ამდენად წნევის მატებისას კედლის სტრესის ნორმალიზება ხდება კედლის სისქის მატებით. რამდენადაც, კედლის სტრესი არის სისტოლური გადასროლის ძირითადი დეტერმინანტი, კედლის სტრესის ნორმალიზება ხელს უწყობს განდევნის ფრაქციის ნორმის ფარგლებში შენარჩუნებას [1]. მოცულობით გადაძაბვის დროს კუმშვადი ცილები გროვდება ერთმანეთის მიმდევრობით, რაც იწვევს კარდიომიოციტების უმეტესად სიგრძეში მატებას და შესაბამისად ექსცენტრულ ჰიპერტროფიას.

მარცხენა პარკუჭის ჰიპერტროფია არის ყველა ძირითადი კარდიოვასკულური ინციდენტის განვითარების დამოუკიდებელი რისკ-ფაქტორი. როგორც ფრემინგემის კვლევამ აჩვენა, მარცხენა პარკუჭის ჰიპერტროფია ასოცირებულია კარდიოვასკულური ლეტალობის შედარებითი რისკის (კორეგირებული ტრადიციული კარდიოვასკულური რისკ-ფაქტორებისთვის) დაახლოებით ორჯერ მატებასთან, აგრეთვე არითმიების და გულის უქმარისობის განვითარების მაღალ ალბათობასთან [1,2,13]. მიუხედავად ამისა, ტრადიციული შეხედულების თანახმად არსებობს მარცხენა პარკუჭის ჰიპერტროფიის რამდენიმე ფორმა, რომელიც შეიძლება ჩაითვალოს ფიზიოლოგიურად, მათ შორის მარცხენა პარკუჭის სპორტული ჰიპერტროფია ანუ ეწ."სპორტსმენთა გული". ფიზიოლოგიური ჰიპერტროფია განიხილება, როგორც გულის რემოდელირების კეთილთვისებიანი ვარიანტი, რომელიც არ არის დაკავშირებული კარდიოვასკულური რისკის მატებასთან. ფიზიოლოგიური ჰიპერტროფიის დროს გულის როგორც სისტოლური, ასევე დიასტოლური ფუნქცია შენარჩუნებულია.[14,55,61,62,64,73, 86,92].

სპორტსმენთა მარცხენა პარკუჭის ჰიპერტროფიასთან დაკავშირებით აზრი იყოფა ორი ძირითადი მიმართულებით [56, 138, 145]: პირველი, და ტრდიციულად უფრო პოპულარული კონცეფციის თანახმად მარცხენა პარკუჭის ჰიპერტროფია სპორტსმენებში არის ფიზიოლოგიური ადაპტაცია და განიცდის რეგრესს ინტენსიური სპორტული აქტივობის შეწყვეტის შემდეგ[56, 138, 145]. მკვლევართა

მეორე ნაწილი იზიარებს მოსაზრებას, რომ მარცხენა პარკუჭის სპორტული ჰიპერტოფიის უკუგანვითარება რიგ შემთხვევებში არასრულია, რაც მოგვიანებით შეიძლება გახდეს მარცხენა პარკუჭის როგორც, დიასტოლური, ასევე სისტოლური მაჩვენებლების გაუარესების მიზეზი [69,134,136,137,139.] (ანუ გამოვლინდეს სხვა არაფიზიოლოგიური ჰიპერტოფიებისათვის დამახასიათებელი ნიშანთვისებები).

ზრდის სხვადასხვაგვარი სტიმულის ზემოქმედების საპასუხოდ მიოკარდიუმში ვითარდება განსხვავებული მორფოლოგიური ცვლილებები [6], მათ შორის უჯრედულ დონეზე. ცნობილია რომ, გულის ქსოვილი ძირითადად შედგება მაღალდიფერენცირებული უჯრედებისაგან, რომელთაც არ გააჩნიათ რეგენერაციის უნარი. შესაბამისად, გულის ჰიპერტოფიის მთავარი პათოგენეზური მესაქანიზმია გულის ძალის წარმოქმნელი ერთეულების-სარკომერებისა და შესაბამისად კარდიომიოციტების ზრდა და ნაკლებად ჰიპერპლაზია [178,179]. თუმცა, ბოლოდროინდელი კვლევებით გულში ნანახი იქნა დეროვანის მსგავსი რეგენირებადი უჯრედების სუბპოპულაციები, რომლებიც ზრდის სტიმულების ზემოქმედების შედეგად მრავლდებიან და დიფერენცირდებიან ტერმინალურ კარდიომიოციტებამდე. არსებობს მოსაზრება, რომ გულის ნაკლებ დიფერენცირებული უჯრედების რეგენერაცია ყველაზე ინტენსიურია მწვავე სტრესის დროს და ნაკლებად ვლინდება ქრონიკულ სიტუაციებში [27,178, 179] ჰიპერტოფიას თან ახლავს აპოპტოზის აქტივაცია [30,32,33]. მიუხედავად იმისა, რომ კარდიომიოციტები ასრულებენ გადამწყვეტ როლს რემოდელირების პათოგენეზში, გულის ფიბრობლასტები, კორონარული სისხლძარღვები და ექსტრაცელულარული მატრიქსი ასევე არანაკლებ მნიშვნელოვან მონაწილეობას იღებენ აღნიშნულ პროცესში[6]. ფიზიოლოგიური სტიმულებისაგან განსხვავებით, პათოლოგიური ჰიპერტოფიის ტრიგერები კარდიომიოციტების ზრდასთან ერთად განაპირობებენ გულის ფიბრობლასტების პროლიფერაციას. ფიბრობლასტების სტიმულაცია იწვევს კოლაგენის სინთეზის გაძლიერებას და ფიბროზის განვითარებას [4,34]. კოლაგენის ჭარბი დაგროვებით განპირობებული ფიბროზი ხელს უწყობს მიოკარდიუმის სიხისტის ზრდასა და დიასტოლური დისფუნქციის განვითარებას, ამავე დროს წარმოადგენს არითმოგენეზის ერთ-ერთ მნიშვნელოვან პათოგენეზურ მექანიზმს [40]. ითვლება, რომ ფიზიოლოგიური ჰიპერტოფიის დროს მორფოლოგიური სუბსტრატი განსხვავებულია, რაც გამოიხატება კარდიომიოციტების იზოლირებული ზრდით [41].

გულის პიპერტროფიის ფიზიოლოგიური და პათოლოგიური ვარიანტები ერთმანეთისაგან განსხვავდება არამარტო კლინიკურ – მორფოლოგიური გამოვლინებით, არამედ, აგრეთვე პიპერტროფიის განვითარების სასიგნალო მექანიზმებისა [50] და გენების ექსპრესიის თავისებურებებით [22, 44, 51,13]. მიოკარდიუმის ზრდის სხვადასხვა ჰემოდინამიური, მექანიკური თუ ნეიოროპორმონული სტიმული განაპირობებს სასიგნალო მექანიზმების რთული კასკადის აქტივაციას, რაც თავისთავად აისახება სამიზნე უჯრედებში გენების ექსპრესიის ცვლილებით და შესაბამისად მიოკარდიუმის პიპერტროფიის ინიცირებით. აღნიშნული რთული ბიოლოგიური პროცესის მექანიზმები ბოლომდე ნათელი არ არის. ცნობილია, რომ ზრდის სიგნალები გენერირდება ზრდის ფაქტორებისა და ციტოკინების გამომუშავების გზით. აღნიშნული მედიატორების ზემოქმედების შედეგად ვითარდება რეგიონული ლოკალური საპასუხო ძვრები.აღნიშნულ საპასუხო რეაქციაში მონაწილეობენ პეპტიდები , რომლებიც ასტიმულირებენ G- პროტეინ დამოკიდებულ რეცეპტორებს (ენდოთელინი -1) [28,180, 181] , ანგიოტენზინ II-ს, [15, 182, 183] ინტერლეიკინ-6 დამოკიდებულ ციტოკინებს (კარდიოტროპინ-1) [17,173, 184, 185] და ასევე ზრდის ფაქტორები, რომლებიც იწვევენ თიროზინ კინაზის რეცეპტორების (ინსულინისმაგარი ზრდის ფაქტორი) აქტივაციას [21,34,49,186,187] მიოკარდიუმის ლოკალური რაა (რენინ- ანგიოტენზინ –ალდოსტერონი) სისტემა მნიშვნელოვან როლს სრულებს გულის რემოდელირების პროცესში (18). პიპერტროფიის განვითარებას თან სდევს რაა სისტემის ბევრი კომპონენტის, მათ შორის ანგიოტენზინოგენის, აგფ-ის, ანგიოტენზინ II –ის რეცეპტორს ტიპი 1 (ატრ 1) გააქტიურება. ანგიოტენზინ –II განაპირობებს არამარტო კარდიომიოციტების პიპერპლაზიას , ასევე გულის ფიბრობლასტების პროლიფერაციას. ანგიოტენზინ –II ფიზიოლოგიური ეფექტების უმრავლესობა რეალიზდება ატრ 1 –ის საშუალებით. ატრ 2- ის ფუნქცია ნაკლებად არის შესწავლილი. ბოლო კვლევების მონაცემების მიხედვით ატრ 2 აინტიბირებს მიოკარდიუმის ზრდასა და რემოდელირებას, ამავე დროს ასტიმულირებს ვაზოდილატაციას (188). ალდოსტერონი მნიშვნელოვან როლს ასრულებს მიოკარდიუმის ფიბროზის განვითარებაში.. ინტრაკარდიული ალდესტერონის პროდუქციის მატება ხორციელდება ანგიოტენზინ –II და ატრ 1 –ის აქტივაციის გზით (189) მიოკარდიუმის რემოდელირების განმაპირობებელ ფაქტორთაგან ერთერთი მნიშვნელოვანია ენდოთელინი -1, რომელიც მონაწილეობს კოლაგენის სინთეზისა და კარდიომიოციტების ზრდის სტიმულაციაში [17,28,190].

ნორეპინეფრინის მონაწილეობა რემოდელირების პროცესში მოიცავს მიოკარდიუმის ჰიპერტოფიის, კოლაგენის სინთეზისა და აპოპოზის აქტივაციას G-პროტეინ შეჯაჭვული a და B - ადრენერგული რეცეპტორების სტიმულაციის გზით [26,36, 191]. ციტოკინები, როგორიცაა სიმსივნურ-ნეკროზული ფაქტორი (tumor necrosis factor) TNF-a და ინტერლეიკინი – 6 (IL 6) ასევე მნიშვნელოვან როლს ასრულებს გულის რემოდელირებაში (192). TNF-a ბიოლოგიური ეფექტები ხორციელდება რეცეპტორების ორი განსხვავებული ტიპის (TNF-a რეცეპტორი ტიპი 1 -TNFR1 და TNF-a რეცეპტორი ტიპი 2 - TNFR2) მონაწილეობით. ექსპერიმენტული კვლევები მიუთითებენ, რომ TNF-a-ს მატება განაპირობებს მარცხენა პარკუჭის რემოდელირებასა და დისფუნქციის პროგრესირებას (191). მიოკარდიული TNF-a-ს მატება ასოცირებულია გულის კუნთში კოლაგენის ქსელის მნიშვნელოვან რღვევასთან (4,34,40,192). რამდენადაც TNFR1 –ის აქტივაცია იწვევს მატრიქსმეტალოპროტეინაზების (MMP) პროდუქციის ზრდას, შესაძლებელია ვიფიქროთ, რომ გულის რემოდელირებაზე TNF-a-ს ზემოქმედების ერთ-ერთი მექანიზმია მიოკარდიული MMP-ის ჭარბი გამომუშავება და ექტრაცელულური მატრიქსის კომპონენტების დეგრადაცია. Gurantz –ისა და თანაავტორების მიერ ნაჩვენები იყო, რომ TNF-a-ის შეყვანა ორგანიზმში განაპირობებს გულის ფიბრობლასტების ანგიოტენზინ II –ის რეცეპტორი ტიპი 1-ის გააქტიურებას [172,174, 194].

გულის რემოდელირების პათოგენეზში ასევე ჩართულია ინტერლეიკინი – 6. ფიქრობენ, რომ ინტერლეიკინი – 6 მონაწილეობას იღებს კომპენსატორული ჰიპერტოფიისა და ფიბროზის პროცესებში.

გულის რემოდელირებაში მონაწილეობას იღებენ , აგრეთვე ზრდის მატრნასფორმირებელი ფაქტორი- B (TGF –B), ფიბრობლასტების ზრდის ფაქტორი და თრომბოციტული ზრდის ფაქტორი. ანგიოტენზინ II ასტიმულირებს TGF –B-ის გამომუშავებას. ანგიოტენზინ II-ით ინდუცირებული TGF –B-ის პროდუქცია მიოკარდიუმის ჰიპერტოფიისა და ფიბროზის ერთერთი წამყვანი მექანიზმია[37]. მექანიკური სტრესი განაპირობებს კარდიომიოციტებში ანგიოტენზინ II-ისა და ენდოთელინ -1-ის ჰიპერპროდუქციით ინდუცირებულ TGF –B-ის ექსპრესიის მატებას (38).

ნაჩვენებია, რომ კატეპლამინებით ან წნევით გადაძაბვით ინდუცირებული ჰიპერტოფიის ერთერთი მნიშვნელოვანი რეგულატორია კალცინეურინი (C++ კალმოდულინ აქტივირებული პროტეინ ფოსფატაზა) [23,24,35,48,39].

მიტოგენ – აქტივირებადი პროტეინკინაზური გზა (ჯაჭვი) არის საკვანძო მედიატორული რგოლი კარდიომიოციტების ჰიპერტროფიისა და აპოპუზის განვითარებაში [38]

აპოპუზის სიგნალ- მარეგულირებელი კინაზა 1 (ASK 1) არის მიტოგენ-აქტივირებადი პროტეინკინაზა, რომელიც არეგულირებს უჯრედთა პროგრამულ სიკვდილს [31,178]. გულში ASK 1 აქტივირდება გულის რემოდელირების განმაპირობებელი სხვადასხვა სტრესული ფაქტორების, მათ შორის წნევით გადაძაბვისა და ნეიოროპორმონული ზემოქმედების შედეგად [175,176,77]

ჰიპერტროფიის სასიგნალო სისტემებისა და განვითარების მექანიზმების მონაწილეობა ჰიპერტროფიის პათოლოგიური და ფიზიოლოგიური ვარიანტების ფორმირებაში სადღეისოდ აქტიური შესწავლის საგანია. რიგი კვლევების მონაცემებით სხვადასხვა სტიმულის მიერ ზოგიერთი სასიგნალო ჯაჭვის უპირატესი აქტივაცია განაპირობებს ჰიპერტროფიის ამა თუ იმ ფორმის ჩამოყალიბებას [42]. აქვე უნდა აღინიშნოს, რომ ამ სასიგნალო გზებს გააჩნიათ გადაკვეთის წერტილები.

საინტერესო შედეგები იყო მიღებული მიოკარდიუმის ზრდაზე Akt/PKB სასიგნალო სისტემის ზემოქმედების შესწავლისას. სერინ /ტრენინ პროტეინინაზა Akt, რომელიც ფოსფატიდილინოზიტოლ -3 კინაზის (PKB) მონაწილეობით აქტივირდება სხვადასხვა ექსტრაცელულური სტიმულებით, არეგულირებს უჯრედის მრავალ ფუნქციას, მათ შორის ზრდასა და მეტაბოლიზმს. კარდიომიოციტებში Akt აქტივატორია IGF (ინსულინისმაგვარი ზრდის ფაქტორი)[41] და ინსულინი. IGF-ის პროდუქციის მატება ნანახი იყო Neri Serneri და თანაავტორების მიერ ფიზიოლოგიური ჰიპერტროფიის დროს სპორტსმენებში [43]. Delaughter et al. ექსპერიმენტულმა კვლევებმა აჩვენა, რომ ტრანსგენურ თაგვებში გარკვეულ პირობებში IGF განაპირობებდა პათოლოგიურ ჰიპერტროფიას [45]. Shiojima et all(2005) მონაცემებით Akt ხანმოკლე აქტივაცია განაპირობებს ფიზიოლოგიურ ჰიპერტროფიას, ხოლო ხანგრძლივი აქტივაცია პათოლოგიურ ჰიპერტროფიას [46]. გულის ჰიპერტროფიის ფიზიოლოგიური ბუნება Akt ხანმოკლე აქტივაციის დროს ვლინდებოდა: 1. შენარჩუნებული კონტრაქტილური ფუნქციით, 2. ინტერსტიციული ფიბროზისა და 3. ფეტალური კარდიული გენების გამომუშავების არ არსებობით და 4. ჰიპერტროფიის სრული შექცევადობით. ამასთანავე Akt ხანგრძლივი აქტივაციით განპირობებული გულის პათოლოგიური ჰიპერტროფია ხასიათდებოდა ინტერსტიციული ფიბროზით, ფეტალური გენების გამომუშავებით, მპ-ის დიალატაციით და

კონტრაქტილობის დაქვეითებით. ეს მონაცემები მიუთითებენ, რომ თუმცა ფიზიოლოგიური და პათოლოგიური ჰიპერტონიულის მორფოლოგიური და მოლექულური სუბსტრატი განსხვავებულია [47] (Schiekofer et al.2006) გულის ჰიპერტონიულის ეს ორი ფორმა შესაძლოა განვითარდეს ერთი და იგივე სასიგნალო სისტემის აქტივაციის გავლენით [50].

ამგვარად, არსებული მონაცემები მიუთითებენ, რომ მიოკარდიუმის ზრდის განსხვავებული სტიმულები განაპირობებენ სხდასხვა სასიგნალო ჯაჭვის სელექტიურ აქტივაციას, რაც თავისთავად განაპირობებს მორფო-ტსრუქტურულ განსხვავებებს სხვადსახვა გენეზის ჰიპერტონიული შორის. ამავე დროს, ერთი და იგივე სასიგნალო მექანიზმი განსხვავებული სტიმულირების პირობებში შესაძლებელია მონაწილეობდეს როგორც ფიზიოლოგიური, ასევე პათოლოგიური ჰიპერტონიულის გენეზში.

1.2.მარცხენა პარკუჭის ფიზიკური დატვითვით ინდუცირებული ჰიპერტონია : გულის სტრუქტურა, სისტოლური და დიასტოლური ფუნქცია, განსხვავებები სპორტის სახეობებს შორის

1.2.1. გულის სტრუქტურა

ინტენსიური ვარჯიშით განპირობებული გულის სტრუქტურული ცვლილებები განსაკუთრებით აქტიურად შეისწავლება ბოლო 30 წელია ექოკარდიოგრაფიული მეთოდით, უკანასკნელ წლებში კი გულის გამოსახულებითი კვლევის სხვა ნოვაციური მეთოდებით, მათ შორის ბირთვულ მაგნიტურ რეზონანსული მეთოდით. ხანგრძლივი, რეგულარული და ინტენსიური ფიზიკური დატვირთვა, როგორც აღვნიშნეთ, იწვევს მიოკარდიუმის მასის, გულის დრუებისა და კედლის სიქეების სხვადასხვა ხარისხით გამოხატულ მატებას [78,77,62,64,54,55,53,56,65,71,73,76,86]

ინტენსიური სპორტული დატვირთვებით განპირობებული კარდიო-გასკულური ცვლილებები მნიშვნელოვნად განსხვავდება ინდივიდან ინდივიდამდე. გულის მეტ-ნაკლებად გამოხატული ჰიპერტონია ვლინდება სპორტსმენთა მხოლოდ ნაწილში. სხვადასხვა მონაცემებით სპორტსმენთა საშუალოდ 15 - 50% ში ვითარდება გულის რემოდელირების გამოხატული ნიშნები: პარკუჭთა დრუს დიამეტრისა და მოცულობის, მარცხენა წინაგული დიამეტრის, მარცხენა პარკუჭის კედლის საშუალო სისქის, პარკუჭთაშუა ძგიდის სისქის, მარცხენა პარკუჭის მასის მატება. [69,54,53]

გულის რემოდელირების ხარისხი და თავისებურებები განპირობებულია ინდივიდის სხეულის მასის, წვრთნის ინტენსივობისა და ხანგრძლივობის მაჩვენებლებზე, სპორტის სახეობაზე და სავარაუდოდ გენეტიკურ დეტერმინანტებზე. გენეტიკური თავისებურებების გავლენაზე ინტენსიური დატვირთვებისადმი გულის საპასუხო ადაპტაციის ხასიათზე მიუთითებს დადასტურებული ფაქტი, რომ თანაბარი წონის სპორტსმენებში, თანაბარ პირობებში წვრთნისას განვითარებული ცვლილებები მერყეობს ფართო დიაპაზონში (გულის გამოხატული ჰიპერტონიადან პრაქტიკულად უმნიშვნელო ცვლილებებამდე). ბოლო წლების კვლევების მონაცემები მიუთითებენ სპორტსმენებში გული რემოდელირების მაჩვებლებსა და აგფ-ის (I/D), ასევე ანგიოტენზინებისა (AGM T/M) და ანგიოტენზინ II –ის რეცეპტორების გენურ პოლიმორფიზმს შორის კავშირზე [83,88]

აღინიშნება გულის ზომების მნიშვნელოვანი განსხვავება ტრენირებული სპორტსმენების პოპულაციასა და შესაბამისი ასაკისა და სქესის საკონტროლო ჯგუფს შორის. Maron BJ მიხედვით სპორტსმენებში მპ-ის საბოლოო დიასტოლური ზომა 10%-ით, კედლის სისქე 15-20%-ით და მარცხენა პარკუჭის მასა 45%-ით აღემატებოდა საკონტროლო ჯგუფის მონაცემებს.[78]

მარცხენა პარკუჭის კედლის სისქე სპორტსმენთა უმრავლესობაში არ აღემატება 13 მწ-ს. 13 დან 16 მმ მდე აღენიშნება სხვადასხვა მონაცემებით სპორტსმენთა 2 - 11 %-ს [81,77,57,53]. მარცხენა პარკუჭის მნიშვნელოვანი დიალატაცია(>60 მმ) სპორტის სახეობების მიხედვით საშუალოდ მერყეობს 5 დან 15%-მდე [53,82]. Antonio Pelliccia და თანაავტორების მიერ ჩატარებული 1309 სპორტსმენის (957 მამაკაცი და 352 ქალი) კვლევამ აჩვენა, რომ მარცხენა პარკუჭის ენდდიასტოლური ზომები მერყეობს დიდ დიაპაზონში 38 დან 66 მმ (საშუალო 48 მმ) ქალებში და 43 დან 70 მმ-მდე (საშუალო 55 მმ) მამაკაცებში. კვლევის მონაწილეები იყვნენ სპორტის 38 სახეობის წარმომადგენლები. სპორტსმენთა უმეტესობას (55%-ს) მპ-ის ენდდიასტოლური ზომები აღმოაჩნდა ნორმის ფარგლებში (<54 მმ). მარცხენა პარკუჭის ღრუ მნიშვნელოვნად იყო გაგანიერებული (>60 მმ) სპორტსმენთა, მხოლოდ 14%-ში, თუმცა ყველა შემთხვევაში სისტოლურ-დიასტოლური ფუნქცია იყო ნორმის ფარგლებში [82]. Abernethy WB და თანაავტ. მონაცემებით მაღალი კლასის ფეხბურთელებში დაახლოვებით 25%-ში აღინიშნებოდა მპ-ის ჰიპერტონია. მპ-ის მასის მატება უმთავრესად განპირობებული იყო პარკუჭის ღრუს დიამეტრის მატებით. მპედდ >55 მმ აღინიშნებოდა ფეხბურთელთა 27%-ში, ხოლო მპედდ >60 მმ --- 6%-ში.

პ-ის კედლის სისქე >13 მმ გამოვლინდა ფეხბურთელთა 11%-ში [53]. Spirito P და თანაავტორების მიერ გამოკვლეული იყო 27 სახეობის წარმომადგენელი 947 მაღალი კლასის სპორტსმენი [77]. აღნიშნული კვლევის მონაცემებით სპორტსმენთა 38%-ს აღენიშნებოდა მპ-ის ღრუს ზომების მომატება (54 დან 66 მმ-მდე). კედლის სისქის მატება (12 დან 16 მმ-მდე) გამოვლინდა 1,7%-ში. მნიშვნელოვანი განსხვავებები იყო ნანახი მპ-ის ზომებისა და კედლის სისქეების მიხედვით სპორტის სხვადასხვა სახეობების წარმომადგენლებში. გელოსიპედისტებს, ნიჩბოსნებსა და მოცურავეებს ჰქონდათ, როგორც მპ-ის ღრუს დიამეტრის, ასევე კედლის სისქეების ყველაზე მაღალი მაჩვენებლები. ძალოსნებსა და მოჭიდავეებს აღენიშნებოდათ კედლის სისქის უპირატესი მატება პარკუჭის. ღრუსთან შედარებით, თუმცა კედლის სისქის აბსოლუტური მნიშვნელობები არ სცილდებოდა ნორმის ფარგლებს. მპ-ის კედლის სისქის

აბსოლუტური მნიშვნელობების მატება სპორტის ძალისმიერი სახეობების წარმომადგენლებში არ გამოვლინდა ასევე Longhurst JC და თანავტორების მიერ ჩატარებულ კვლევაში [74] მსგავსი შედეგები იქნა მიღებული Pelliccia A და თანავტორების მიერ [75] Aaron L. და თანავტორებმა აჩვენეს, რომ 90 დღიანი ინტენსიური ტრენირება და შეჯიბრებებში მონაწილეობა განაპირობებს გულის მნიშვნელოვან სტრუქტურულ-ფუნქციურ ცვლილებებს. დაკვირვების განმავლობაში დინამიური სახეობების წარმომადგენლებში განვითარდა ბიგენტრიკულური დილატაცია მომატებული დიასტოლური ფუნქციით, ხოლო ძალისმიერ დატვირთვებთან დაკავშირებული სახეობების წარმომადგენლებში ნანახი იყო მპ-ის კონცენტრული ჰიპერტონია დიასტოლური რელაქსაციის დაქვეითებით [79]. Schneider G, და თანავტორების მიერ შესწავლილი იყო გულის ორივე პარკუჭის სტრუქტურულ-ფუნქციური მაჩვენებლები ულტრაბგერითი და მაგნიტურ-რეზონანსული მეთოდებით [86]. კვლევამ აჩვენა, რომ მძლეოსან სპორტსმენებში როგორც მარცხენა, ასევე მარჯვენა პარკუჭის მასა და დრუს ზომები მნიშვნელოვნად აღემატება საკონტროლო ჯგუფის მაჩვენებლებს.

1.2.2. სისტოლური ფუნქცია

მარცხენა პარკუჭს სისტოლური ფუნქცია სპორტსმენებში კვლევათა უმრავლესობაში შესწავლილია ექოკარდიოგრაფიით ან რადიონუკლიდური გენტრიკულოგრაფიით. სისტოლური ფუნქციის შეფასება ძირითადად ექრდნობა მარცხენა პარკუჭის შიდა დიამეტრის ფრაქციული დამოკლებისა და განდევნის ფრაქციის მონაცემებს. აღნიშნული პარამეტრები ხელმისაწვდომი ლიტერატურის მიხედვით არ განსხვავდება, როგორც დინამიური, ასევე სტატიური სახეობების სპორტსმენებსა და საკონტროლო პირებს შორის [80,58,56,84,85]. მარცხენა პარკუჭის შიდა დიამეტრის ფრაქციული დამოკლებისა და განდევნის ფრაქციის მაჩვენებლები თანაბრად მატულობს დინამიური დატვირთვის დროს სპორტსმენებში და საკონტროლო პირებში [86]. არსებული მონაცემებით, სპორტსმენებში მარჯვენა პარკუჭის ფუნქციის მაჩვენებლებიც შენარჩუნებულია ნორმის ფარგლებში.

1.2.3. დიასტოლური ფუნქცია

მარცხენა პარკუჭის დიასტოლური ფუნქცია სპორტსმენებში ინტენსიურად შეისწავლება წლების მანძილზე გულის გამოსახულებითი კვლევის სხვადასხვა მეთოდებით (ულტრაბგერითი კვლევა, რადიონუკლიდური გენტრიკულოგრაფია, მაგნიტურ-რეზონანსული კვლევა) [58, 66, 68,80, 84]. კვლევათა უმეტეს ნაწილში მპ-ის დიასტოლური ფუნქციის შეფასება ემყარება მარცხენა პარკუჭის

დიასტოლური ავსების სისწრაფეების დოპლეროგრაფიულ მაჩვენებლებს.[144,142,56,79] გკლევართა უმრავლესობა მიუთითებს, რომ დიასტოლური ფუნქცია მომქმედ სპორტსმენებში, მათ შორის ინდივიდებში გულის ჰიპერტონიით, შენარჩუნებულია ნორმის ფარგლებში [59,73,135,148,154,163,171]. ან მომატებულია [96,120,149]. ითვლება, რომ სწორედ მპ-ის დიასტოლური ფუნქცია არის ერთერთი უმნიშვნელოვანები კრიტერიუმი ფიზიოლოგიური და პათოლოგიური ჰიპერტონიების სადიფერენციაციოდ [59]. თუმცა, აქვე უნდა აღინიშნოს, რომ რიგ კვლევებში ნანახი იყო მპ-ის სისტოლურ- დიასტოლური ფუნქციის გაუარესება მძიმე სპორტული შეჯიბრების შემდეგ [89,87,91]. Baggish AL, Wang F et al მონაცემებით ძალოსნებში გამოხატული კონცენტრული ჰიპერტონიით შეინიშნება დიასტოლური ფუნქციის დაქვეითება.[79]. Venckunas- ისა და თანაავტორების მიერ მორბენლებში ნანახი იყო კონცენტრული ჰიპერტონია და დიასტოლური დისფუნქცია ერთი წლის მანძილზე გაზრდილი მოცულობით რეჟიმში ტრენირების შემდეგ.[90]

1.24.განსხვავებები სპორტის სახეობებს შორის

ინტენსიური ვარჯიშით განაპირობებული გულის სტრუქტურის ცვლილებები არაერთგვაროვანია სპორტის სხვადსხვა სახეობის დროს [56,63,74,76,79,90], რამდენადაც ჰემოდინამიური ძვრები და შესაბამისად გულის დატვირთვა მნიშვნელოვნად განსხვავდება დინამიური და სტატიური დატვირთვების დროს. დინამიური დატვირთვის ძირითადად დამახასიათებელია გულის შეკუმშვათა სიხშირისა და სისტოლური მოცულობის, ანუ გულის წუთმოცულობის ორივე კომპონენტის ზრდა. მიუხედავად ჰერიფერიული სისხლძარღვოვანი წინააღმდეგობის დაქვეითებისა, აღინიშნება არტერიული წნევის ზომიერი მატება. დინამიური დატვირთვის დროს ვითარდება გულის უპირატესად მოცულობით გადაძაბვა. სტატიური ვარჯიშის დროს აღინიშნება გულის შეკუმშვათა სიხშირის მატებით განპირობებული გულის წუთმოცულობის ზომიერი ზრდა და არტერიული წნევის მკვეთრი მატება., რასაც მივყავართ გულის წნევით გადაძაბვამდე. ვარჯიშის ზემოაღწერილი მექანიზმების გათვალისწინებით ხანგრძლივმა ტრენირებამ დროთა განმავლობაში შესაძლოა გამოიწვიოს მარცხენა პარკუჭის ჰიპერტონია. მოცულობით გადაძაბვა განაპირობებს მარცხენა პარკუჭის დრუს დიამეტრის გაზრდას და კედლის სისქის პროპროცეციულ მომატებას. გულის მოდელირების აღნიშნული ტიპი ცნობილია ექსცენტრული ჰიპერტონიის სახელწოდებით. წნევით გადაძაბვა განაპირობებს პარკუჭის კედლის გასქელებას დრუს დიამეტრი ცვლილების

გარეშე, ანუ კონცენტრულ ჰიპერტროფიას. ითვლება , რომ ამგვარი საადაპტაციო ძვრები ემსახურება პარჯუჭის კედლის სტრესის ნორმალიზებას. აქვე უნდა აღინიშნოს , რომ ტრენირების რეჟიმი თითქმის არასდროს არის წარმოდგენილი წმინდა დინამიური ან სტატიური გარჯიშებით, ისევე როგორც სპორტის უმრავლესი სხეობების დროს დატვირთვა შედგება დინამიური და სტატიური კომპონენტებისაგან [52]. დინამიურ სახეობებს განეკუთვნება სირბილი, ცურვა, სათხილამურო სპორტი, ფეხბურთი, კალათბურთი, პოკეი და სხვ. სტატიურ სახეობებია სიმძიმეების აწევა, ტყორცნები, ტანგარჯიში, კომბინირებული სახეობია ნიჩბოსნობა, ველოსპორტი..

Babette M. Pluim და ოანაავტორების მიერ ჩატარებულმა 59 კვლევის (კვლევებში ჩართულ სპორტსმენთა საერთო რიცხვი იყო 1451) მეტაანალიზმა აჩვენა, რომ სპორტის დინამიური, სტატიური და შერეული სახეობების წარმომადგენლები მნიშვნელოვნად განსხვავდებოდნენ ერთანეთისაგან და საკონტროლო ჯგუფისაგან ბევრი საკვლევი პარამეტრის მიხედვით. მარცხენა პარკუჭის კედლის საერთო საშუალო შედარებითი სისქე გაცილებით ნაკლები იყო საკონტროლო ჯგუფში (0,36მმ) ვიდრე სპორტის დინამიური, კობინირებული და სტატიური სახეობების წარმომადგენლებში (შესაბამისად 0,39 მმ $p < -0,001$; 0,40 მმ $p < -0,001$ და 0,44 მმ $p < -0,001$) სპორტსმენთა ზემოხსენებული სამივე და საკონტროლო ჯგუფები მნიშვნელოვნად განსხვავდებოდნენ ერთმანეთისაგან მარცხენა პარკუჭის დრუს შიდა დიამეტრის ($p < -0,001$), უკანა კედლის სისქის ($p < -0,001$) და პარკუჭთუაშიდა ძგიდის სისქის მიხედვით. ამდენად მეტა-ანალიზმა დაადასტურა ჰიპოთეზა, რომ სპორტის დინამიური და სტატიური სახეობები განაპირობებენ გულის სხვადხვაგვარ საადაპტაციო ცვლილებებს.[56] მიუხედავად ამისა, გულის სპორტული რემოდელირების დინამიურ და სტატიურ ტიპებად დაყოფა შედარებითია და არა აბსოლუტური. ფაქტობრივად , დინამიური დატვირთვების დროს გულის წუთმოცულობის მატებასთან (მოცულობით გადაძაბვა) ერთად მატულობს არტერიული წნევაც (წნევით გადაძაბვა); მსგავსად ამისა ნებისმიერი სტატიური ტიპის ტრენირების დროს არტერიული წნევისა და გცს-ის მატებასთან ერთად მატულობს გულის წუთმოცულობაც.[80,58] Spirito P, Pelliccia A და ოანაავტორების მიერ შესწავლილი იყო გულის მორფოლოგია 947 სპორტსმენში , რომლებიც წარმოადგენდენ სპორტის 27 სახეობას [77]. აღნიშნული კვლევის მონაცემებით ველომრბოლელებს, ნიჩბოსნებს და მოცურავეებს ჰქონდათ მპ-ის დრუს დიამეტრის ყველაზე დიდი ზომები და კედლის სისქეები. სპორტის იზომეტრული

სახეობების (სიმძიმეების აწვდა და ჭიდაობა) წარმომადგენლებს აღენიშნებოდათ კედლის სისქის უპირატესი მატება და კედლის სისქე/ ღრუს დიამეტრის შეფარდების ზრდა, მაგრამ კედლის სისქის აბსოლუტური მნიშვნელობები არ ცილდებოდა ნორმის ფარგლებს. Cavallaro V და ოანაავტორების მიერ შესწავლილი იყო ექსტრემალურად მაღალი დატვირთვების გავლენა გულის სტრუქტურულ-ფუნქციურ მაჩვენებლებზე მაღალი კლასის ნიჩბოსნებში.

გამოკვლეულ სპორტსმენებში გამოვლინდა მპ-ის ღრუს დიამეტრისა და მპ-ის მასის ინდექსის მატება. მომატებული იყო, გრეთვე, უკანა კედლისა და პარკუჭთაშუა ძგიდის ენდ-სისტოლური და ენდ-დიასტოლური ზომები, მაგრამ უკანა კედლისა და ძგიდის სისქეების შეფარდება რჩებოდა ნორმის ფარგლებში [73]. Pelliccia A და ოანაავტორების მიერ ნაჩვენები იყო, რომ ძალისმიერი ტრენირებით განპირობებული მპ-ის მასის მატება ძირითადად გამოწვეულია პარკუჭის კედლის სისქისა და ნაკლებად ღრუს დიამეტრის მატებით. ოუმცა კედლის სისქის მატება ზომიერია და აბსოლუტური მნიშვნელობები არ სცილდება ნორმის ზედა ზღვარს. ავტორები მიიჩნევენ, რომ კედლის სისქის გამოხატული მატება (>13 მმ) საჭიროა გულის დაავადებით გამოწვეული პათოლოგიური ჰიპერტონიის არსებობაზე [75].

1.3. სპორტსმენთა გულის სინდრომის კლინიკური გამოვლინებები: ეპბ., რითმის დარღვევები

1.3.1. ეპბ . სპორტსმენთა გულის სინდრომისათვის დამახასიათებელია მრავალფეროვანი ელექტროკარდიოგრაფიული ცვლილებები, რაც სერიოზულ სადიაგნოსტიკო სირთულეებს ქმნის. მნიშვნელოვანი ეპბ- დარღვევები ვლინდება სპორტსმენთა 40%-ში, 2-ჯერ უფრო ხშირად მამაკაცებში , ვიდრე ქალებში, ძირითადად დინამიური სახეობების სპორტსმენებში [72,92,94]. შესაბამისად სპორტსმენთა უმრავლესობას 12 განხრიანი ეპბ- მონაცემები აქვთ ნორმის ფარგლებში, ან აღენიშნებათ მინიმალური დარღვევები. ელექტროკარდიოგრაფიული ცვლილებების გამოვლინების სიხშირე დამოკიდებულია ტრენირების ტიპზე, ინტენსიურობასა და დონეზე, აგრეთვე პარამეტრთა ნორმალურობის განსაზღვრის სიზუსტეზე. ყველაზე გავრცელებულ დარღვევებს განეკუთვნება ნაადრევი რეპოლარიზაცია, QRST კომპლექსის ვოლტაჟის მომატება, T-კბილების დიფუზური ინვერსია, და ლრმა Q-კბილები [72, 92,93, 94,111] გულის დაავადებაზე საეჭვო გამოხატული ეპბ- დარღვევები გვხვდება სპორტსმენთა მცირე ნაწილში (15%-ში) [72]. მსგავსი ცვლილებები შემთხვევათა დიდ უმრავლესობაში არა გულის დაავადების, არამედ სპორტსმენთა გულის სინდრომის ექსტრემალური გამოვლინებაა[112, 54,104,105]

1.3.2 რითმის დარღვევები.

სპორტსმენთა გულის სინდრომის უხშირესი გამოვლინებაა გულის რითმისა და გამტარებლობის სხვადასხვა სახის დარღვევა [54,117,162,56,55,195,92,14,196,72]. ითვლება, რომ არითმიები სპორტსმენებში კეთილსამედო პროგნოზის მატარებელია და არ ასოცირდება ფატალურ გართულებებთან. ამავე დროს შეუძლებელია არ იქნას გათვალისწინებული უკარი სიკვდილის შემთხვევი სპორტსმენებში, რაც უხშირესად უკავშირდება არსებული არაიდენტულიციურებული გულის დაავადების არაიდენტულიციურებული გულის დაავადების არსებული არაიდენტულიციურებული გულის დაავადების არსებობას, თუმცა შემთხვევათა ნაწილში ვერ ხერხდება მიზეზის დადგენა. ამდენად, რითმის დარღვევათა შეფასება და შესაბამისი საექიმო ტაქტიკის შემუშავება გარკვეულ სირთულეებთან არის დაკავშირებული, განსაკუთრებით რითმისა და გამტარებლობის რთული დარღვევების შემთხვევებში. რითმის სხვადასხვა დარღვევების უხშირესი გამოვლინება სპორტსმენებში არის სინუსური

ბრადიკარდია, ქვანძოვანი რითმი, და პირველი ხარისხის ან ვენკებახის ტიპის AV ბლოკი [197,198] , რაც აისნება ტრენირებასთან დაკავშირებული ვაგუსის ტონუსის მატებით [95,73,93,94] ეგზ 24 საათიანი ამბულატორული მონიტორინგის მონაცემებით სპორტსმენებში ხშირია, აგრეთვე, ექსტრაჟური ართმიები, სუპერავენტრიკულური და პარკუჭოვანი ექსტრასისტოლია, კომპლექსური არითმია პარკუჭოვანი ტაქიკარდიის ეპიზოდების ჩათვლით [97,98]. ამდენად, შესაძლებელია ჩაითვალოს, რომ სხვადასახვა სახის არითმია არის სპორტსმენთა გულის სინდრომის სპექტრის შემადგენელი კომპონენტი. არსებული გამოცდილება მიუთითებს, რომ სპორტსმენებში არითმიათა უმრავლესობის პროგნოზი კეთილსაიმედოა და იგი არ წარმოადგენს საფუძველს სპორტსმენის დისკვალიფიკაციისათვის, თუმცა რიგ შემთხვევებში ექიმი შესაძლოა დადგეს სადიაგნოსტიკო დილემის წინაშე. სპორტსმენებში არითმიები მნიშვნელოვნად მცირდება ან იხსნება მოკლევადიანი დასვენების პერიოდში (არითმიათა ნაწილი, ასევე იხსნება ვარჯიშის ან სტრეს-ტესტის დროს). ამავე დროს, ინტენსიური დატვირთვების შეწყვეტას იგივე ეფექტი აქვს სპორტსმენებში გულის დაავადებებით და სწორედ ამიტომ კონსესუს პანელის რეკომენდაციების მიხედვით[100] მათვის მიზანშეწონილია მძიმე დატვირთვების აკრძალვა უეცარი სიკვდილის პრევენციის მიზნით [98,99].

1.4. QT დისპერსია სპორტსმენებში

QT ინტერვალის, როგორც პარკუჭთა ელექტრული აქტივობის მახასიათებლის შესახებ ცნობილია ჯერ კიდევ 1887 წლიდან [199] ასი წლის შემდეგ მკვლევართა ჯგუფმა ნიუკასტლიდან წამოაყენა მოსაზრება, რომ 12 განხრიან ეკბ-ზე QT ინტერვალის ხანგრძლივობათა განსხვავებები განხსრათა შორის ასახავს მიოკარდიუმის რეფრაქტერობათა რეგიონულ განსხვავებებს და ამდენად, გააჩნია პრედიქტიული ღირებულება არითმიათა განვითარების პროგნოზირების თვალსაზრისით [200]. რიგი ქსპერიმენტული[201] და კლინიკური [202] კვლევების მონაცემები მიუთითებენ აღნიშნული მოსაზრების სასარგებლოდ. Zabel და თაანაავტორებმა აჩვენეს, რომ QT ინტერვალის განხსრათა შორის ვარიაბელობა კორელირებს მიოკრდიუმის რეპოლარიზაციის პომოგენურობის ხარისხთან.[203] და ამდენად, QT ინტერვალის დისპერსია შესაძლოა ჩაითვალოს პარკუჭთა რეპოლარიზაციის პომოგენურობის საუკეთესო სუროგატ მარკერად. პოპულაციურ კვლევებში ნაჩვენები იყო QT ინტერვალის დისპერსიის პრედიქტიული ღირებულება უეცარი სიკვდილის პროგნოზირებისათვის. როტერდამის ფართომასშტაბიანი კვლევის მონაცემებით ჯანმრთელ პირებში ასაკით ≥ 55 წ. QTc დისპერსია >60 მმ ($\text{შედარებით } < 39$ მმ) დაკავშირებული იყო უახლოესი 4 წლის განმავლობაში უეცარი სიკვდილის შემთხვევების 2-ჯერ ზრდასთან. QTc დისპერსიის პროგნოზული ღირებულება ამ კვლევაში უტოლდებოდა მპ-ის ელექტროკარდიოგრაფიულად გამოვლენილი ჰიპერტონიის პრედიქტიულ ღირებულებას კარდიული სიკვდილის პროგნოზირების თვალსაზრისით. [204] დანიაში 30 დან 60 წლამდე პირებში ჩატარებული კვლევის მონაცემებით QT დისპერსია ≥ 80 მმ $\text{შედარებით } < 30$ მმ-თან იყო კარდიული სიკვდილის 4-ჯერ მატების დამოუკიდებელი პრედიქტორი [205]. QT დისპერსიის მატება ნანახი იყო პაციენტებში არტერიული ჰიპერტენზიით და მპ-ის ჰიპერტონიით [209,210,221, 222]. მპ-ის ჰიპერტონიის დროს კარდიომიოციტების ზრდა, კარდიული ფიბრობლასტების პროლიფერაცია და ინტერსტიციული ფიბროზის განვითარება ასოცირებულია უჯრედშორისი კავშირების დეზორგანიზაციასთან და მიოკარდიუმის ელექტროფიზიოლოგიური თვისებების ცვლილებებთან, უპირველეს ყოვლისა მოქმედების პოტენციალის გახანგრძლივებასა და რეპოლარიზაციის დისპერსიის ზრდასთან. აღნიშნული ცვლილებების უჯრედული მექანიზმები დაკავშირებულია იონური არხებისა და იონთა ტრანსმემბრანული ნაკადების დარღვევებთან, რაც თავისთავად

შესაძლებელია გახდეს ნაადრევი პოსტდეპოლარიზაციებისა და ტრიგერული აქტივობის მიზეზი. რეპოლარიზაციის არაპომოგენურობამ შესაძლოა განაპირობოს პარკუჭოვანი რე-ენთრის ჩამოყალიბება. ითვლება, რომ ზემოაღნიშნული ძვრები წარმოდგენენ არითმოგენეზის დეტერმინანტებს მიოკარდიუმის ჰიპერტოფიის დროს. [225, 226, 227, 228, 229, 230]

Jordaens L და თანაავტორების მონაცემებით სპორტსმენებს სიცოცხლისათვის საშიში პარკუჭოვანი არითმიებით აღენიშნებოდათ QT დისპერსიის მომატება.[211] ამდენად, ამ მარტივი ტესტის საშუალებით შესაძლებელია სპორტსმენებში უცვარი სიკვდილის მაღალი რისკის მქონე ინდიდვიდების (მათ შორის იდიოპათიური ჰიპერტოფიული კარდიომიოპათიით) იდენტიფიცირება [212, 213] Tanriverdi H და თანაავტორების მიერ გამოკვლეულ სპორტსმენთა ნაწილს მპ-ის ჰიპერტოფიით აღენიშნებოდა QT დისპერსიის მატება, მსგავსად პაციენტებისა სისტემური ჰიპერტენზით. . აღნიშნული კვლევის მონაცემებით QT დისპერსიის სიდიდე კორელირებდა აგფ-ის I/D გენურ პოლიმორფიზმთან [214] Galletta F, Franzoni F et all მონაცემებით ხანდაზმულ მძლეოსან სპორტსმენებში QT დისპერსია მნიშვნელოვნად ნაკლები იყო შესაბამისი ასაკის ჰიპერტენზით პაციენტებთან შედარებით და არსებითად არ განსხვავდებოდა საკონტროლო ჯგუფის ჯანმრთელ პირებთან შედარებით, რაც ავტორთა აზრით საფუძველს იძლევა გამოყენებელი იქნას QT დისპერსიის განსაზღვრა, როგორც მარტივი, არაძვირადდირებული სასკრინინგო მეთოდი პათოლოგიური და ფიზიოლოგიური ჰიპერტოფიის დიფერენცირებისათვის [164] რიგი კვლევების მონაცემებით გულის სპორტული ჰიპერტოფია არ არის ასოცირებული QT დისპერსიის ზრდასთან [158, 156, 157, 219]. არსებული მონაცემებით ორივე სქესის ჯანმრთელ პირებში QT დისპერსია მცირდება დატვირთვის პიკზე [218, 225], ხოლო სისტემური ჰიპერტენზით განპირობებული მპ-ის ჰიპერტოფიის დროს აღინიშნება QT დისპერსიის გახანგრძლივება დატვირთვის პასუხად[224]. Alchaghouri S, Wong KY და თანაავტორების მონაცემებით ჯანმრთელ ფებურთელებში მპ-ის ჰიპერტოფიის ხარისხი არ კორელირებს QT დისპერსიის პიკურ მაჩვენებელთან [215] Rajappan K, O'Connell C მიერ შეფასებული იყო QT დისპერსია სპორტსმენებში და საკონტროლო ჯგუფის პირებში მოსვენებისას და დატვირთვის ტესტის პირობებში. საკონტროლო ჯგუფის პირებში განსხვავებით სპორტსმენებისაგან QTd დატვირთვის პიკზე და აღდგენის მე-3 წუთზე ნაკლები იყო მოსვენების მაჩვენებლებთან შედარებით.

აღნიშნული მაჩვენებლების მიხედვით სპორტსმენთა ჯგუფი მნიშვნელოვნად არაპომოგენური იყო. აგტორთა აზრით კვლევის მონაცემების გათვალისწინებით უნდა ვიფიქროთ, რომ გარკვეულ შემთხვევბში მიმე ფიზიკური დატვირთვა სპორტსმენებში შესაძლოა გახდეს სახიფათო არითმიების აღმოცენების მიზეზი [216] Kasikcioglu E, Kayserilioglu A, Yildiz S, მიერ გამოკვლეული იყო QT დისპერსიის მაჩვენებლები მოსვენებისას დატვირთვის ტესტის განმავლობაში პროფესიონალ ფეხბურთელებში და ნაკლებაქტიურ ჯანმრთელებში. QT დისპერსიის მაჩვენებლები დატვირთვის პიკზე დაბალი იყო ფეხბურთელებში საკონტროლო ჯგუფის პირებთან შედარებით [217]. ქიშმარებია ო, ფადავა ზ, მამალაძე გ, ლორია მ, მაისურაძე ი. აბაშიძე რ. კვლევების მონაცემებით მაღალი კვალიფიკაციის ფეხბურთელებში QT დისპერსიის მაჩვენებლები, როგორც მოსვენებისას, ასევე დატვირთვისას მნიშვნელოვნად არ განსხვავდებოდა ჯანმრთელების ჯგუფის მონაცემებისაგან. არტერიული ჰიპერტენზიით პაციენტებში QT დისპერსიის მოსვენების მაჩვენებელი გაზრდილი იყო საკონტროლო ჯგუფის მაჩვენებლებთან შედარებით, ხოლო დატვირთვის ტესტის პიკზე გლინდებოდა QTd -ს გახანგრძლივება მოსვენების მაჩვენებელთან შედარებით განსხვავებით საკონტროლო ჯგუფისაგან, სადაც QTd მნიშვნელოვნად არ იცვლებოდა დატვირთვის განმავლობაში. ამავე დროს, სპორტსმენთა ჯგუფი გამოირჩეოდა არაპომოგენობით მპ-ის სტრუქტურულ-ფუნქციური და სხვა საკვლევი პარამეტრების მიხედვით. შემთხვევათა ნაწილში აღინიშნებოდა, როგორც QTd მატება მოსვენებისას, ასევე QT დისპერსიის ზრდა დატვირთვის პასუხად, რაც ასოცირებული იყო მპ-ის მნიშვნელოვან მატებასა და დიასტოლური დისფუნქციის ნიშნებთან[220,159]

1.5. დატვირთვის ტესტი სპორტსმენებში; დატვირთვის ტესტის არაელექტროკარდიოგრაფიული კრიტერიუმების პროგნოზული მნიშვნელობა

დატვირთვის ეპბ- ტესტი არის მარტივი, არაძვირადლირებული და მაქსიმალურად უსაფრთხო მეთოდი, რომელიც იძლევა მრავალმხრივ ინფორმაციას კარდიოვასკულური სისტემის ფუნქციური მდგომარეობის შეფასებისა და კარდიული შემთხვევების რისკის პროგნოზირების თვალსაზრისით. ასიმპტომურ პირებში დატვირთვის ტესტის სადიაგნოსტიკო-პროგნოზული დირებულება მნიშვნელოვანი აზრთა სახვადასხვაობის საგანია. ასევე განსხვავებული მოსაზრებებები არსებობს სპორტსმენებში სკრინინგის მიზნით დატვირთვის ტესტის გამოყენებასთან დაკავშირებით [101-107,231,108-112]. იტალიაში დატვირთვის ტესტი შედის სპორტსმენთა სკრინინგისა და დისკვალიფიკაციის ნაციონალურ პროგრამის სავალდებულო კვლევათა სიაში [121,108]. ფლორენციის სპორტული მედიცინის ინსტიტუტში 30065 სპორტსმენის მონაწილეობით ჩატარებულ 5 წლიან კვლევაში [232] ნაჩვენები იყო, რომ მოსვენებისა და დატვირთვის ელექტროკარდიოგრაფიული გამოკვლევა მნიშვნელოვანია სპორტსმენებში პარკუროვანი და სუპრავენტრიკულური არითმიების, საგრეთვე კორონარული დაავადების საიდენტიფიკაციოდ. აქვთ, უნდა აღინიშნოს, რომ კვლევაში მონაწილე კარდიული მიზეზებით დისკვალიფიცირებულ სპორტსმენთა დიდ ნაწილს მოსვენების ეგზ-ზე ცვლილებები არ აღენიშნებოდა ან ფიქსირდებოდა მინიმალური ცვლილებები., მაშინ როდესაც დატვირთვისას ვლინდებოდა მნიშვნელოვანი ელექტროკარდიოგრაფიული დარღვევები. Pelliccia და თანაავტორების [112] მიერ ნაჩვენები იყო, რომ რეპოლარიზაციული დარღვევები, რომელსაც ჩვეულებრივ განიხილავენ, როგორც სპორტსმენთა გულის სინდრომის უვნებელ გამოვლინებად, შესაძლებელია წარმოადგნდეს არსებული გულის დაავადების საწყის ნიშანს. მიუხედავად ამისა, ამერიკის გულის ასოციაციის მიერ არ იქნა მოწონებული უვროპული ინიციატივა სკრინინგის მიზნით მოსვენებისა და დატვირთვის ეპბ კვლევის ჩატარების შესახებ [101], მათი აზრით ეპბ -ს, როგორც სკრინინგ ტესტს სპორტსმენთა პოპულაციისათვის არ გააჩნია მაღალი სპეციფიურობა, რამდენადაც ფიზიოლოგიური სპორტული ადაპტაციის პირობებშიც ხშირად ვლინდება ელექტროკარდიოგრაფიული დარღვევები, ხოლო

სტრესს-ტესტის გამოყენება შეზღუდულია დაბალი სპეციფიურობისა და პრეტესტული ალბათობის გამო.

1.5.1. არაელექტროკარდიოგრაფიული მაჩვენებლები

ბოლო წლების კვლევებმა აჩვენა, რომ დატვირთვის ტესტის პროგნოზული დირებულება, როგორც გულსისხლძარღვთა დაავადებების დროს, ასევე ასიმპტომურ ინდივიდებში მნიშვნელოვნად განისაზღვრება არაელექტროკარდიოგრაფიული მაჩვენებლებით, მათ შორის პარამეტრებით, რომლებიც ასასიათებენ გულისცემის სიხშირის (გცს) დინამიკას ტესტის განმავლობაში. აღნიშნულ პარამეტრებს მიეკუთვნება ქრონოტროპული პასუხი დატვირთვაზე და გცს აღდგენა დატვირთვის შეწყვეტის შემდეგ. პირველად Elestadt -ისა და Wan-ის მიერ ნაჩვენები იყო, რომ რითმის არასაკმარისი მატება საფეხურეობრივი დატვირთვის ტესტის მიმდინარეობაში უფრო მაღალი 5 წლიანი კარდიოგასტულურ რისკის პრედიქტორია, ვიდრე ST- სეგმენტის დეპრესია [166]. მსგავსი შედეგები მიღებული იყო შემდგომ კვლევებშიც. ქრონტროპული არაკომპეტენტენტურობის მაღალი პროგნოზული დირებულება გამოვლინდა, როგორც ასიმპტომურ ინდივიდებში [167,168, 170,161,235,237,238], ასევე გულსისხლძარღვთა დაავადებებით პაციენტებში [199,233,243] . პარიზის I პროსპექტული კვლევის შედეგების ანალიზმა აჩვენა, რომ დატვირთვაზე ქრონოტროპული პასუხის დაქვეითება წარმოადგენს, როგორც უეცარი სიკვდილის, ასევე საერთო სიკვდილობის მდლავრ პრედიქტორს [168] რიგმა კვლევებმა გამოავლინა დატვირთვის შეწყვეტის შემდეგ რითმის აღდგენის მაჩვენებლის მნიშვნელოვანი პროგნოზული დირებულება [239,240,241,242]

უნდა აღინიშნოს, რომ დატვირთვაზე ქრონოტროპული პასუხის შეფასება დაკავშირებულია გარკვეულ სირთულესთან შეფასების ოპტიმალური მეთოდის შერჩევის თვალსაზრისით. სადღეისოდ მოწოდებულია სხვადასხვა ქრონოტროპული ინდექსები, თუმცა არ არსებობს საყოველთაო შეთანხმება, რომელი მათგანს უნდა მიენიჭოს უპირატესობა პროგნოზის შესაფასებლად.[161] ავტორთა ნაწილი ქრონოტროპული პასუხის მახასიათებლად იყენებს **გცს ის პიკურ მაჩვენებელს** ან **ასაკისათვის მოცემული მაქსიმალური ან სუბმაქსიმალური (85% მაქსიმალურიდან) გცს-ის მიღწევის შესაძლებლობას.** [10] ამავე მიზნით რიგ კვლევებში შეფასებულია გამოყენებული გცს რეზერვი , რომელიც განისაზღვრება , როგორც მიღწეული მაქსიმალური რითმისა და მოსვენების რითმის სხვაობის შეფარდება ასაკისათვის მოცემულ გცს -ის რეზერვთან გამოსახული პროცენტებში (**ასაკისათვის მოცემული გცს რეზერვი**

რეზერვი თავის მხრივ წარმოადგენს მაქსიმალური ასაკობრივი გცს-ისა და მოსვენების რითმის სხვაობას). [234]. ზემოაღნიშნული მაჩვენებლები მნიშვნელოვნად არის დამოკიდებული სხვადასხვა ფაქტორებზე, (ფუნქციური მდგომარეობა, კორონარული დაავადების არსებობა და სიმძიმე).

ქრონოგროპული პასუხის შეფასების ერთერთი გზაა ე.წ. **ქრონოგროპული პასუხის ინდექსის** განსაზღვრა. აღნიშნული ინდექსი ასახავს გამოყენებული გცს-ის რეზერვისა და მეტაბოლური რეზერვის შეფარდებას. ფრემინგემის კვლევაში ქრონოგროპული არაკომპეტენტურობის პროგნოზული მნიშვნელობის შესაფასებლად გამოყენებული იყო **მე-2 საფეხურის ქრონოგროპული პასუხის ინდექსი**, რომელიც წარმოადგენს ტრედმილ-ტესტის დროს გამოყენებული გცს-ის რეზერვისა და მეტაბოლური რეზერვის შეფარდებას დატვირთვის მე-2 საფეხურზე [161]. აღნიშნული ინდექსი ნაკლებად არის დამოკიდებული ასაკზე, მოსვენების რითმზე და ფიზიკურ ფიტნესზე. ფრემინგემის ამ კვლევაში ჩართული იყვნენ 1575 მამაკაცი მანიფესტირებული კორონარული დაავადების გარეშე, რომლებიც არ იღებდნენ ბეტა ბლოკერს. საკვლევ პირებს უტარდებოდათ სუბმაქსიმალური ტრედმილ-ტესტი ბრუსის ოქმით. გარდა **მე-2 საფეხურის ქრონოგროპული პასუხის ინდექსისა, ქრონოგროპული პასუხის შესაფასებლად კვლევაში ისაზღვრებოდა გცს-ის მატება მოსვენების მდგომარეობიდან დატვირთვის პიკამდე და მაქსიმალური ასაკობრივი გცს-ის 85%-ის მიღწევის უნარიანობა, რომელიც ტრადიციულად ქრონოგროპული არაკომპეტენტურობის კრიტერიუმია. კვლევაში გაანალიზებული იყო კავშირი დატვირთვაზე გცს-ის პასუხსა და საერთო სიკვდილობას, აგრეთვე კორონარული დაავადების გამოვლინებათა განვითარებას შორის. დაკვირვების პერიოდი შეადგენდა 7,7 წელს. კვლევის შედეგების ანალიზმა აჩვენა, რომ გცს-ის გაუკულმართებული პასუხი დატვირთვაზე დაკავშირებულია საერთო სიკვდილობისა და კორონარული დაავადების რისკის ზრდასთან. აღსანიშნავია, რომ გცს-ის პასუხი დატვირთვაზე ინარჩუნებდა პრედიქტიულ მნიშვნელობას ასაკის, ST- სეგმენტის ცვლილების, ფიზიკური შრომისუნარიანობისა და ტრადიციული რისკის ფაქტორების გავლენის კორექციის შემდეგომაც. კორელაცია ქრონოგროპული პასუხის ინდექსსა და შესრულებული სამუშაოს მოცულობას შორის იყო სუსტი ($r = .21$) და ამდენად აღნიშნული ინდექსი არ არის მხოლოდ დროის ან ფიზიკური ფიტნესის მარკერი. ამავე დროს, ქრონოგროპული პასუხის ინდექსი არ კორელირებდა ასაკსა და მოსვენების გცს-თან. განსხვავებით ამისაგან, სამიზნე გცს-ს მიღწევის უუნარობა და**

დატვირთვისას რითმის მატება მნიშვნელოვნად კორელირებდა ასაკთან, მოსვენების გცს-თან და ფიზიკურ შრომისუნარიანობასთან. ამგვარად, ქრონოტროპული პასუხის შესწავლით სამ მახასიათებელს შორის მხოლოდ მე-2 საფეხურის ქრონოტროპული პასუხის ინდექსი იძლევა შედარებით იზოლირებულად ქრონოტროპული კომპეტენტურობის შეფასების საშუალებას. მნიშვნელოვანია, რომ ფიზიკური ფიტნესი არ ახდენს გაფლენას მე-2 საფეხურის ქრონოტროპული პასუხის ინდექსით შეფასებულ ქრონოტროპულ კომპეტენტურობასა და არასასურველ გამოსავალს შორის კავშირზე. არსებული მალიმიტირებელი გარემოებების (სუბმაქსიმალური და არა მაქსიმალური ტესტი, დატვირთვის მოცულობისა და მეტაბოლური რეზერვის არაპირდაპირი შეფასება მიუხედავად და სხვა) მიუხედავად კვლევაში ნაჩვენები იყო, რომ ქრონოტროპული პასუხის ინდექსი, დამოუკიდებლად ასაკისა, მოსვენების გცსისა და ფიზიკური ფიტნესისა, წარმოადგენს გამოსავლის მძლავრ პრედიქტორს.

Savonen-ისადა ონაავტორების მიერ მოწოდებული იყო **გცს 40-100 ინდექსი** [167,233], რომელიც ასახავს გცს-ის მატებას მაქსიმალური დატვირთვის 40 დან 100%-მდე ინტერვალში. აღნიშნული ინდექსის გამოსათვლელად უნდა დავადგინოთ დატვირთვის საერთო დროის (დატვირთვის დასაწყისიდან დატვირთვის პიკამდე) პირველი 40%-ის შესაბამისი მომენტი, აღნიშნული წერტილი დატვირთვის მრუდზე, თავისთავად, შეესაბამება მაქსიმალური შესრულებული სამუშაოს 40%-ს. გცს-ის მატება შესრულებული სამუშაოს 40%-დან და დატვირთვის პიკამდე წარმოადგენს ინდექსს გცს 40–100. ნაჩვენები იყო, რომ შესრულებული სამუშაოს 40 დან 100%მდე ინტერვალში გცს-ის დუნე მატება, ანუ გცს 40–100-ის დაქვეითება ასოცირებულია როგორც გულის კორონარული დაავადადებითა და გულსისხლძარღვთა დაავადებებით განპირობებული, ასევე საერთო სიკვდილობის მატებასთან საშუალო ასაკის მამაკაცებში, რომელთაც კვლევის დასაწყისისათვის არ აღნიშნებოდათ კორონარული დაავადება. საინტერესოა, რომ გცს 40-100-ის დაქვეითება კარდიოგასკულური სიკვდილობის უფრო მძლავრი პრედიქტორი აღმოჩნდა, ვიდრე გცს-ის რეზერვის ან გულისცემის სუბმაქსიმალური მატების მაჩვენებლები. აღნიშნული ინდექსის უპირატესობა შესაძლოა აისხნას იმით, რომ დატვირთვის 40 დან 100%- მდე გცს-ის მატება უმთავრესად დამოკიდებულია სიმპათიკური ნერვული სისტემის პასუხზე და არ მოიცავს გცს-ის მატების საწყის ეტაპს, რომელიც ძირითადად ასახავს ვაგუსის ტონუსის დაქვეითებას. აქედან გამომდინარე, ავტორთა მოსაზრებით, ქრონოტროპულ

არაკომპეტურობასა და სიკვდილობას შორის კავშირის მთავარი განმსაზღვრელი ფაქტორია სიმპათიკური აქტივობის ზრდის უნარის დაქვეითება [167] ადსანაშნავია, რომ გცს 40-100-ის დაქვეითება ინარჩუნებდა პროგნოზულ ღირებულებას გამოსავალზე ძირითადი რისკ-ფაქტორებისა და დატვირთვით ინდუცირებული იშემის გავლენის კორექციის მიუხედავად (შემდგომაც). ამდენად, საფიქრებულია, რომ გცს 40-100 არის მნიშვნელოვანი მარკერი ასიმპტომურ ინდივიდებში კარდიოვასკულური რისკის შესაფასებლად.

საინტერესოა, რომ როგორც ასიმპტომურ პირებში, ასევე პაციენტებში გვდიოთ კორონარული და კარდიოვასკულკური სიკვდილობის პროგნოზირებისათვის მაღალინფორმატიული აღმოჩნდა **ინდექსი WL100**, რომელიც ახასიათებს ქრონიტროპულ პასუხს დატვირთვის საწყისს საფეხურებზე.[233,234] აღნიშნული ინდექსი ასახავს ველოერგომეტრული საფეხურეობრივი ტესტის დროს შესრულებული სამუშაოს მოცულობას (WL-Workload გამოსახული wat ით), რომელიც შეესაბამება გულისცემის სიხშირეს 100 შეკ/წუთ. დატვირთვის რაც უფრო დაბალ საფეხურზე აღწევს გცს 100 შეკ/წუთ მით უფრო ნაკლებია ამ მომენტისათვის შესრულებული სამუშაოს მოცულობა და შესაბამისად ინდექსი WL100 ერთის მხრივ, და მით უფრო სწრაფია რითმის მატება საწყის საფეხურებზე მეორეს მხრივ, რაც სხვაგვარად ნიშნავს, რომ რაც უფრო ნაკლებია ინდექსი WL100 მით, უფრო სწრაფია რითმის მატება დატვირთვის საწყის საფეხურებზე. ფინეტში ჩატარებულმა კვლევამ [233], რომელშიც ჩართული იყო 1,314 საშუალო ასაკის მამაკაცი გულის კორონარული დაავადების ანამნეზის გარეშე და რომელთაც არ უტარდებოდათ გცს-ის დამაქვეითებელი მკურნალობა, აჩვენა, რომ WL100-ის დაქვეითება არის კარდიოვასკულური და კორონარული დაავადებით გამოწვეული სიკვდილობის მდლავრი პრედიქტორი უნდა აღინიშნოს, რომ WL100-ის დაქვეითება ინარჩუნებდა პროგნოზულ მნიშვნელობას პირდაპირი მეთოდით განსაზღვრული VO2max ის კორექციის შემდეგ. მგვარად, ავტორთა აზრით დაქვეითებული WL100-ის შემცირება ვერ აიხსნება მხოლოდ კარდიოვასკულური ფიტნესის დაქვეითებით და საფიქრებელია, რომ გცს-ის სწრაფი ზრდა დატვირთვის საწყის ეტაპზე გამოწვეულია ვაგუსის გავლენის გადაჭარბებული შემცირებით, რაც თავისთავად მიუთითებს ავტონომიურ დისბალანსზე. პოპულაციურ კვლევებში ნაჩვენები იყო, რომ ვაგალური აქტივობის შემცირება დაკავშირებულია კარდიოვასკულური სიკვდილობისა და კარდიული შემთხვევების რისკის ზრდასთან. მიუხედავად იმისა, რომ აღნიშნული კავშირის მექანიზმები

უცნობია, შესაძლებელია ვიფიქროთ, რომ ვაგალური აქტივობის დაქვეითება განაპირობებს ინდივიდის კულტურაბეჭდის ფატალური არითმიების მიმართ [244].

1.6. გულის ავტონომიური რეგულაციის ფუნქცია გულის ფიზიკური დატვირთვით ინდუცირებული რემოდელირების დროს. გულის რითმის ვარიაბელობის პროგნოზული მნიშვნელობა

“ ფიზიოლოგიური რითმები უმთავრესია სიცოცხლისათვის.
ზოგიერთი რითმები გამოირჩევა მუდმივობით და არ
იცვლება მთელი სიცოცხლის მანძილზე, მათი
თუნდაც ხანმოკლე შეჩერება იწვევს სიკვდილს ”.

Glass and Mackey [27]

Wolf და თანაავტორების ორიგინალური ნაშრომის [272] გამოქვეყნების შემდეგ გულის შეკუმშვათა შორის ინტერვალების სპონტანური ვარიაბელობის ანალიზი გახდა კარდიოლოგიური კვლევის მაღალინფორმაციული მეთოდი. გულის რითმის ვარიაბელობა ფასდება დროითი და სიხშირული მაჩვენებლებით[267]. მაღალი სიხშირის მაჩვენებელები (HF) ითვლება , რომ ასახავს ვაგუსურ აქტივობას [268,267], ხოლო დაბალი სიხშირის მაჩვენებელი (LF) სიმპათიკური აქტივობის მაჩვენებელია, რომელიც ამავე დროს შეიცავს ვაგუსურ კომპონენტს. თუმცა ზოგიერთი კვლევის მიხედვით ეს მაჩვენებელი არასაკმარისად ასახავს სიმპათიკურ აქტივობას. [269,270]. მიუხედავად აზრთა სხვადასხვაობისა (269,270] LF/(LF + HF) და HF/(LF + HF) შეფარდება ითვლება სიმპათოვაგალური ბალანსის ყველაზე სარწმუნო მარკერებად. (267,268].

1987 წ. Kleiger და თანაავტორებმა გამოაქვეყნეს პიონერული შრომა, რომელშიც ნაჩვენები იყო, რომ გულის რითმის ვარიაბელობის დაჭვებითება არის მნიშვნელოვანი მარკერი მიოკარდიუმის ინფარქტის შემდგომ კარდიული სიკვდილის მომატებული რისკის საიდენტიფიკაციოდ და მისი პრედიქტიული ღირებულება არ არის დამოკიდებული რისკის სტრატიფიკაციის ტრადიციული ფაქტორების არსებობაზე [273]. ავტორებმა ივარაუდეს, რომ გრვ-ის დაჭვებითება შესაძლოა ასახავდეს მომატებული სიმპათიკური და დაქვეითებული ვაგუსური აქტივობით გამოხატულ ავტონომიურ დისბალანსს სინუსის კვანძის დონეზე .
სადღეისოდ არსებული წარმოდგენებით კარდიოვასკულური სისტემის ავტონომიური კონტროლის დარღვევა განაპირობებს, როგორც გულის რითმის ვარიაბელობისა და ბარორეფლექსური მგრძნობელობის დაქვეითებას, ასევე, ქრონოგროპულ არაკომპეტენტურობას. ამავე დროს, არ არსებობს საკმარისი

მზეცებულებითი ბაზა, იმის სადემონსტრაციოდ, რომ ქრონოტროპული არაკომპეტენტურობა განპირობებულია გულის ავტონომიური კონტროლის დარღვევით, რამდენადაც ურთიერთკავშირი გულის ავტონომიური კონტროლის მარკერებს შორის, როგორიცაა გულის რითმის ვარიაბელობა, ბარორეფლექსური მგრძნობელობის დაქვეითება და ქრონოტროპული პასუხი დატვირთვაზე არ არის შესწავლილი.

მრავალრიცხოვანი ექსპერიმენტული და კლინიკური კვლევები მიუთითებენ, რომ გულის ავტონომიური ნერვული კონტროლი ერთერთი უმთავრესია უეცარი სიკვდილის დეტერმინანტთა შორის[247]. ავტონომიური რეგულაციის შეფასების ობიექტურ მეთოდად არის მიჩნეული გულის რითმის ვარიაბელობის კვლევა, რომელიც ინფორმაციულია უეცარი სიკვდილის პროგნოზირების თვალსაზრისით [275,276]. ითვლება, რომ დაქვეითებული ვაგუსური და მომატებული სიმპათიკური აქტივობა ზრდის პარკუჭოვანი არითმიების რისკს [247,249]. არსებული მონაცემებით გულის რითმის ვარიაბელობის დაქვეითება უეცარი სიკვდილის მომატებული რისკის მაჩვენებელია[245], მათ შორის ინდივიდუებში გადატანილი მიოკარდიუმის ინფარქტით [246,274] მაღალი გრვ და ვაგუსოსან დაკავშირებული მაჩვენებლები ასოცირდება დაბალ კარდიოვასკულურ რისკთან [245,246,247]

რიგი კვლევები მიუთითებენ გულის ავტონომიურ რეგულაციაზე ფიზიკური ტრენირების გავლენის შესახებ. აქვე უნდა აღინიშნოს, რომ ყურადღებას იპყრობს მნიშვნელოვანი განსხვავებები კვლევათა შედეგებს შორის, რაც გარკვეულად კვლევათა დიზაინის და მეთოდოლოგიური განსხვავებებითაც შესაძლოა იყოს განპირობებული. ამასთანავე სპორტსმენებში მაღალინტენსიური ტრენირების პირობებში გულის რითმის ვარიაბელობის ცვლილებების პრონოზული მნიშვნელობა ნაკლებად არის შესწავლილი.

რიგი ექსპერიმენტული კვლევების მონაცემების მიხედვით ფიზიკური ვარჯიშის სასიკეთო გავლენა, ნაწილობრივ, აიხსნება გულის პარასიმპათიკური კონტროლის მატების ანტიარითმული ეფექტით [248,249]. ადამიანთა კვლევების მონაცემებითაც ვარჯიშის კარდიოპროტექტორული მოქმედება უკავშირდება ვაგუსის ტონუსის მატებას [250,251,252,253] ამავე დროს, ნაჩვენებია რომ, გულის რითმის ვარიაბელობის ვაგუსური მაჩვენებლების მატება ყოველთვის არ შეინიშნება [254,255,256,257,258] მათ შორის ინტენსიური ტრენირების შემდგომ პერიოდში [259,260,261] ავტორთა ნაწილი მიუთითებს, რომ ვაგუსის ტონუსის მატება მაღალი ინტენსივობის დატვირთვის პირობებში იცვლება სიმპათიკური ტონუსის მატებით [262,263,264,265,266].

ამგვარად, ინტენსიური ფიზიკური დატვირთვით განპირობებული გულის ავტონომიური რეგულაციის ცვლილების თავისებურებები და ამ ცვლილების მნიშვნელობა კარდიოვასკულური რისკის მოდიფიცირებისათვის საჭიროებს შემდგომ შესწავლას.

1.7. პორტსმენთა სკრინინგი, სამედიცინო ექსპერტიზა და სადიფერენციალო კრიტერიუმები

არსებული რეკომენდაციების (ამერიკის კარდიოლოგიური კოლეჯის ბეტებდას 2005 წლის 36-ე კონფერენციისა და ევროპის კარდიოლოგთა საზოგადოების ექსპერტთა პანელის 2005 წლის კონსესუს დოკუმენტი) [100,113] არსებობის მიუხედავად, სპორტში ჩართულ ინდივიდთა ვარგისიანობისა და დისკვალიფიკაცის გადაწყვეტილების მიღება მნიშვნელოვან სამედიცინო-სამართლებრივ სირთულეებთან არის დაკავშირებული [114,115,116], რამდენადაც ერთის მხრივ რისკის ზუსტი შეფასება სპორტსმენებში გულის დაავადებებით არ არის მარტივი საკმარისი მტკიცებულებითი ბაზის არ არსებობის გამო; და მეორეს მხრივ გადაწყვეტილება დისკვალიფიკაციის შესახებ ხშირად აწყდება წინააღმდეგობას როგორც სპორტსმენის, ასევე მისი გარემოცვის მხრიდან, რამდენადაც სპორტსმენებს და განსაკუთრებით ელიტურ სპორტსმენებს გააჩნიათ სერიოზული მოტივაცია გააგრძელონ სპორტული მოღვაწეობა სოციალურ-ეკონომიკური მოსაზრებების გამო. ამდენად, სპორტსმენები ამჯობინებენ დარჩენილ სპორტში ჯანრთელობასთან დაკავშირებული მაღალი რისკის მიუხედავად. აქვე უნდა აღინიშნოს, რომ ჩატარებულია მნიშვნელოვანი კვლევები, რომლებიც მიუთითებენ, რომ სპორტსმენებში გულის დაავადებებით ინტენსიური ფიზიკური დატვირთვები ზრდის დაავადების პროგრესირებისა და უეცარი სიკვდილის რისკს [114,115,116,95, 117,227,118,119,99], ხოლო სპორტული აქტივობის შეწყვეტა მნიშვნელოვნად ამცირებს რისკს [100,113,98] აღსანიშნავია იტალიის გამოცდილება, სადაც არსებობს სავალდებულო ნაციონალური სტანდარტები სპორტსმენთა სკრინინგისა და სამედიცინო დისკვალიფიკაციისათვის [121]. იტალიის ვენეტოს რეგიონში ნაჩვენები იყო სპორტსმენთა შორის უეცარი სიკვდილის წლიური შემთხვევების 90 % იანი შემცირება სკრინინგის ხანგრძლივი ნაციონალური პროგრამის განხორციელების პირობებში [67]

სადიაგნოსტიკო დილემა იჩენს თავს, როდესაც სპორტსმენის გულის კლინიკურ-სტრუქტურული მაჩვენებლები ხვდება ე.წ. “თანხვედრის ნაცრისფერ ზონაში”, ანუ ცვლილებათა დიაპაზონში, რომელიც შეიძლება წარმოადგენდეს, როგორც სპორტსმენთა გულის სინდრომის, ასევე გულის დაავადებათა (ჰიპერტოფიული ან დილატაციური მიოკარდიოპათია, მარჯვენა პარკუჭის არითმოგენული კარდიომიოპათია, მიოკარდიტი) გამოვლინებას [95,278,68,70,57,279,280].

ამგვარი ცვლილებების მაგალითია: პარკუჭის კედლის სისქე 13 დან 15 მმ –და, მაის დრუს დიამეტრი 55 – 60 მმ. ასეთ შემთხვევაში ყველაზე მნიშვნელოვანი კრიტერიუმია ცვლილებათა უპუგანვითარება დატვირთვების დროებით შეწყვეტის შემდეგ, რაც მიუთითებს სპორტსმენთა გულის სინდრომის სასარგებლოდ. ჰიპერტოფიული კარდიომიოპათიის დიაგნოზისთვის სერიოზული არგუმენტია დოპლერის მეთოდით შეფასებული დიასტოლური ავსების მაჩვენებლების ცვლილება და დიასტოლური რელაქსაციის დარღვევა, ასევე ახლო ნათესავებში ჰიპერტოფიული კარდიომიოპათიის დადასტურებული დიაგნოზი [117]. გულის კედლის სისქეებისა და დრუს დიამეტრის ერთდროული მატება მაღალი ალბათობით გამორიცხავს ჰიპერტოფიული კარდიომიოპათიის დიაგნოზს. ტრენირებით განპირობებული პარკუჭთა დრუს დიამეტრის მატების შემთხვევაში, განსაკუთრებით თუ ის ასოცირებულია გვ-ის ზღვრულ ან მცირედ დაქვეითებულ მაჩვენებელთან საკითხი დგება გულის სპორტულ – ადაპტაციური ცვლილებებისა და დილატაციური კარდიომიოპათიის დიფერენცირების შესახებ [95,281,68] ამ როულ სიტუაციაში მნიშვნელოვანია განდევნის ფრაქციის სერიული შეფასება სპორტული აქტივობის შეწყვეტის შემდეგ.

არსებული კრიტერიუმების გსათვალისწინებით მოსაზღვრე სიტუაციათა რიგ შემთხვევებში ვერ ხერხდება სწორი დიაგნოზის დადგენა. აქვე უნდა აღინიშნოს, რომ სპორტსმენებში, განსაკუთრებით ელიტურ სპორტსმენებში, ინდივიდის ცხოვრებაზე მძიმე შედეგებით აისახება, როგორც ჰიპო- ასევე ჰიპერდიაგნოსტიკა. ეს უკანასკნელი შესაძლებელია გახდეს მაღალნიჭიერი სპორტსმენის უსაფუძვლო დისკვალიფიკაციის მიზეზი [282]

კომპლექსური და ხშირი პარკუჭოვანი ტაქიარითმიები სპორტსმენებში საფუძვლიან ეჭვს ბადებს გულის სხვადასხვა დაავადების (მათ შორის მიოკარდიტის) არსებობაზე [95,97,98]. აღნიშნულ შემთხვევებში დეტრენირებაით განპირობებული ეფექტი ვერ გამოდგება სადიფერენციაციო კრიტერიუმად, რამდენადაც არითმიის შემცირება (შემთხვევათა ნაწილში მოხსნა) ვლინდება ფიზიკური დატვირთვის შეწყვეტის შემდეგ როგორც ინდივიდებში გულის დაავადებებით, ასევე სპორტსმენებში კარდიული პათოლოგიის გარეშე.

ამდენად, სპორტსმენთა გულის სინდრომის გამოვლინებათა ინტერპრეტაცია არც თუ იშვიათად გაძნელებულია, რამდენადაც შემთხვევათა ნაწილში ჰიპერტოფიის პათოლოგიური და ფიზიოლოგიური ფორმის დიფერენცირება საკმარისად როულია, არსებული კრიტერიუმების გათვალისწინების მიუხედავად.

ამავე დროს, სწორი გადაწყვეტილების მიღება პრინციპული მნიშვნელობისაა და არამარტო სამედიცინო თვალსაზრისით, რამდენადაც ის განსაზღვრავს კონკრეტული სპორტსმენისათვის შესაძლებლობას განაგრძოს სპორტული კარიერა, რაც თავის მხრივ სერიოზულად აისახება ინდივიდის სოციალურ და ეკონომიკურ სტატუსზე. აქედან გამომდინარე, სპორტსმენთა გულის სინდრომის საღიაგნოსტიკო-სადეფერენციალო და პროგნოზული კრიტერიუმების დაზუსტება - შემუშავება კარდიოლოგიის აქტუალურ პრობლემათა კატეგორიაში განიხილება, იმის გათვალისწინებით, რომ სპორტით დაინტერესება დღითი-დღე მატულობს.

1.8. უეცარი სიკვდილი სპორტსმენებში

უეცარი სიკვდილი სპორტსმენებში იშიათია. მიუხედავად ამისა, სპორტსმენის უეცარი სიკვდილის ნებისმიერი შემთხვევა უდიდესი რეზონანსის მქონეა და საზოგადოების მიერ აღიქმება, როგორც ძალიან მაღალი საფრთხის შემცველი მოვლენა. თავისთავად, ახალგაზრდა, პრაქტიკულად ჯანმრთელი ადამიანის სიკვდილი დიდი ტრაგედიაა როგორც ოჯახისთვის და ახლობლებისათვის, ასევე მთელი საზოგადოებისათვის. განსაკუთრებით ამძაფრებს სიტუაციას გარემოება, რომ სპორტსმენთა შორის უეცარი სიკვდილი ვითარდება სპორტულ არენაზე, შეჯიბრებების დროს. მონაცემები უეცარი სიკვდილის შესახებ სპორტსმენებში საკმაოდ ლიმიტირებულია, მიხედავად ამისა ცხადია, რომ ასეთი რისკი ამ პოპულაციაში დაბალია. მინესოტის კვლევამ დაადასტურა, რომ უეცარი სიკვდილის სიხშირე არადიაგნოსტირებული კარდიული დაავადებებისაგან უმაღლესი სკოლის ათლეტებში იყო 1:200000/წელიწადში. [283] ვენეტოს რეგიონში 21 წლიანი პროსპექტული კვლევის მიხედვით უეცარი სიკვდილის სიხშირე ათლეტებში შეადგენდა 2,3:100000/წელიწადში და 2,8-ჯერ აღემატებოდა არასპორტსმენებში იგივე მაჩვენებელს [119].

აუტოფსიის მასალის მიხედვით მთელი რიგი თანდაყოლილი და ხშირად კლინიკურად მუნჯი კარდიოგასკულური დაავადებები წარმოადგენენ უეცარი სიკვდილის მიზეზს ახალგაზრდა სპორტსმენებში. აშშ-ში ჰიპერტოფიული კარდიომიოპათია წარმოადგენს ყველაზე ხშირ მიზეზს უეცარი სიკვდილისა (95,277,118,284), რომელიც იწვევს სიკვდილის შემთხვევათა დაახლოებით 1/3-ს. მეორე მნიშვნელოვან მიზეზს წარმოადგენს კორონარული არტერიების თანდაყოლილი ანომალია- არტერიის ცრუ სინუსური წარმოშობა (უფრო ხშირად, მარცხენა კორონარული არტერიის დაწყება ვალსალვის მარჯვენა სინუსიდან).[95,118,284]. დიაგნოსტიკა მოითხოვს განსაკუთრებულ ყურადღებას ახალგაზრდა სპორტსმენებში დატვირთვაზე გულმკერდის არეში ტკივილით და/ან სინკოპეთი, ვინაიდან დატვირთვის 12 განხრიანი ეპი ტესტი ჩვეულებრივ ვერ ავლენს იშემიას [284].

დანარჩენი,, დაახლოებით 15 დაავადება იწვევს უეცარ სიკვდილს ახალგაზრდა სპორტსმენებში გაცილებით მცირე (5%დან-8%-მდე) სიხშირით. ესენია: მოკარდიტები, გულის სარქვლოვანი დაავადებები (აორტის სტენოზი და მიტრალური სარქვლის მიქსომატოზური დაავადება), ნაადრევი ათეროსკლეროზული კორონარული დაავადება, დილატაციური კარდიომიოპათია,

მარჯვენა პარკუჭის არითმოგენური დისპლაზია, აორტის დისექცია და რუპტურა (ჩვეულებრივ დაკავშირებული მარფანის სინდრომთან) [95,277,118].

ახალგაზრდა უეცრად დაღუპული სპორტსმენების დაახლოებით 2%-ში აუტოფსიაზე გამოვლინდა გულის ნორმალური სტრუქტურა [95,118].

სავარაუდოდ უეცარი სიკვდილის ასეთო შემთხვევები განპირობებულია იონური არხების პათოლოგიით (გახანგრძლივებული QT და ბრუგადას სინდრომი და კატექოლამინერგული პოლიმორფული ტაქიკარდია), WPW სინდრომით, კორონარების ვაზოსპაზმით, ან გამტარებული სისტემის პათოლოგიებით [118]. ჩვეულებრივ მარცხენა წინა დასწევრივი კორონარული არტერიის ტუნელოვანი სეგმენტი წარმოადგენს უხშირეს სტრუქტურულ ანომალიას აუტოფსიაზე უეცარი სიკვდილის ასახსნელად. უფრო ასაკოვან (>35 ან 40 წ) სპორტსმენებში უეცარი სიკვდილი დაკავშირებულია ძირითადად კორონარული არტერიების დაავადებასთან. პირველადი ვენტრიკულური ტაქიკარდია არის უხშირესი მიზეზი უეცარი სიკვდილისა უმეტეს შემთხვევებში ათლეტებში მარფანის სინდრომით და აორტის დისექციით.

ალტერნატიული დემოგრაფიული პროფილი აღინიშნა ვენეტოს რეგიონში, ჩრდილო-აღმოსავლეთ იტალიაში, სადაც მარჯვენა პარკუჭის არითმოგენური დისპლაზია წარმოადგენს სიკვდილის ყველაზე ხშირ მიზეზს [286]. ასეთი სხვაობა აშშ-ს მონაცემებთან აიხსნება გენეტიკური თავისებურებებით [286].

უეცარი სიკვდილი შესაძლებელია აღინიშნოს 30-ზე მეტ სპორტულ დისციპლინაში, ყველაზე ხშირად კალათბურთში და ამერიკულ ფეხბურთში აშშ-ში (ფეხბურთში ეგროპაში), ასევე ინგენსიურ სპორტულ სახეობებში მონაწილეთა დიდი რიცხვით [95,277,118,284]. უეცარი სიკვდილი უფრო ხშირია მამაკაცებში (9:1), ვიდრე ქალებში.

ასევე საყურადღებოა შავკანიანთა დიდი რიცხვი არადიაგნოსტირებული პიპერტროფიული კარდიომიოპათიით [95,286,284].

მნიშვნელოვანი რიცხვი უეცარი სიკვდილისა განპირობებულია არაკარდიული მიზეზებით, როგორიცაა თავის, ზურგის და სხეულის სხვა ნაწილების ტრამვები [95,287,288].

1.9. გულის სპორტული რემოდელირების პოროგნოზული მნიშვნელობა; ვეტერანების კვლევები

რეგულარული ვარჯიში კარდიოგასკულური რისკის პრევენციის სტრატეგიების საკვანძო კომპონენტია, რამდენადაც ფიზიკური დატვირთვის სხვადსასვა დადებითი მეტაბოლური და ნეიროგენეტიკური ეფექტები მნიშვნელონად აქვეითებენ კორონარული დაავადებით განპირობებულ სიკვდილობას და არაფატალურ მწვავე შემთხვევებს [1293,294,295]. მიუხედავად იმისა, რომ ზომიერი ფიზიკური აქტივობა აუმჯობესებს ჯანმრთელობას და აქვეითებს კარდიოგასკულურ რისკს [296] , ვარჯიშის ოპტიმალური ინტენსივობა და ხანგრძლივობა განსაზღვრული არ არის. კვლევათა ნაწილში ნაჩვენებია, რომ მაღალ ინტენსიური ტრენირება განაპირობებს პროპორციულად მაღალ კარდიოპროტექტორულ ეფექტს [293, 297,298] სხვა კვლევები მიუთითებენ, რომ ზომიერ და მძიმე ფიზიკურ დატვირთვებს თანაბარი სასიკეთო ეფექტი გააჩნიათ [299,300] არსებობს რადიკალურად განსხვავებული შეხედულებაც, რომ მაღალინტენსიური ფიზიკური ტრენირებით განპირობებული სპორტსმენთა გულის სინდრომის ფარგლებში განვითარებულმა სტრუქტურულმა ცვლილებებმა შესაძლოა განაპირობონ კარდიოგასკულური რისკის ზრდა.

სპორტსმენთა გულის სინდრომის სხვადასხვა ასპექტები მრავალრიცხოვანი კვლევების შესწავლის საგანია. ამასთანავე, არსებულ მისაწვდომ ლიტერატურაში გაცილებით მცირე რაოდენობით გვხვდება ვეტერან სპორტსმენთა კვლევები და შესაბამისად, მონაცემები ინტენსიური ფიზიკური ტრენირების შორეული შედეგების შესახებ. სპორტსმენებში და განსაკუთრებით ე.წ.ელიტურ სპორტსმენებში მარცხენა პარკუჭის ჰიპერტოფიის პროგნოზის შეფასების ფართომასშტაბიანი პროსპექტული კვლევების ჩატარება საკმარისად რთულია, რამდენადაც სპორტსმენები შეადგენენ საერთო პოპულაციის საშუალოდ 10%-ს[321], ხოლო მათ შორის მარცხენა პარკუჭის ჰიპერტოფიით სპორტსმენთა რაოდენობა არ აღემატება 10%-ს.[321,78]

ვეტერან სპორტსმენთა მცირერიცხოვან პროსპექტულ კვლევათაგან საყურადღებო Pelliccia A, Maron BJ და თანავტ.[69] გრძელვადიანი დაკვირვება, რომელშიც ჩართული იყო საერთაშორისო რანგის 40 სპორტსმენი. კვლევაში შეფასებული იყო მარცხენა პარკუჭის ღრუს ზომები, კედლის სიქეები, მარცხენა პარკუჭის მასის ინდექსი (მასა ინდექსირებული სიმაღლესთან), სისტოლური და დიასტოლური ფუნქცია დოპლერ-ექოკარდიოგრაფიული მეთოდით, აგრეთვე ეპგ

მონაცემები სპორტული აქტივობის პიკზე და სპორტული აქტივობის შეწყვეტილან 1-13 წლის (საშუალოდ 5.6 ± 3.8) შემდეგ. დაკვირვების პერიოდში პარკუჭის ღრუს დიამეტრი შემცირდა საშუალოდ 7%-ით, სპორტსმენთა 92%-ში (37 სპორტსმენი) მპ-ის ღრუს დიამეტრი შემცირდა $>=2$ მ, მათ შორის 17 სპორტმენს აღენიშნა მპ-ის ღრუს ზომების 5 მმ-ით შემცირება. პარკუჭის დიამეტრის ზრდა არ გამოვლინდა არც ერთ შემთხვევაში. მიუხედავად ამისა, მპ-ის ღრუს დიამეტრის საშუალო მაჩვენებელი კვლევის ბოლოსათვის აღემატებოდა ნორმის ფარგლებს (57.2 ± 3.1). სპორტსმენთა 85%-ში (34 სპორტსმენი) მპ-ის ღრუს დიამეტრი ≤ 55 მმ, ხოლო 9 სპორტსმენს (22%) აღენიშნებოდა მპ-ის გაცილებით მნიშვნელოვნად მომატებული ზომები (≥ 60) მპ-ის კედლის სისქე შემცირდა საშუალოდ 15%-ით 12.0 ± 1.3 მმ დან 10.1 ± 0.8 მმ-მდე. ამგვარად, დეტრენირების შემდეგ მპ-ის კედლის სისქე ყველა სპორტსმენს ჰქონდა ნორმის ფარგლებში. მარცხენა პარკუჭის მასის ინდექსი შემცირდა 28 %-ით (194 ± 25 გ/მ -დან 140 ± 21 გ/მ- მდე) და სპორტსმენთა 55% ში (22 სპორტსმენი) სპორტული აქტივობის შეწყვეტის შემდეგ დაუბრუნდა ნორმის ფარგლებს. განდევნის ფრაქცია მნიშვნელოვნად არ შეცვლილა დაკვირვების პარიოდში და რჩებოდა ნორმის ფარგლებში. დიასტოლური ფუნქცია ფასდებოდა პულსური დოპლერით ტრანსმიტრალური ნაკადების შეფასების გზით. ტრანსმიტრალური ნაკადის ნაადრევი დიასტოლური პიკური სისწრაფე დაკვირვების პერიოდში არ შეცვლილა, მაშინ როდესაც მოგვინებითი პიკური სისწრაფე მნიშვნელოვნად გაიზარდა (29.6 ± 7.8 დან 46.0 ± 12.0 -მდე), შესაბამისად შემცირდა E/A შეფარდება (2.6 ± 0.9 დან 1.5 ± 0.5 -მდე). მაშასადამე, დიასტოლური ფუნქცია იყო ნორმის ფარგლებში როგორც სპორტული აქტივობის პიკზე, ასევე დეტრენირების შემდეგ მხოლოდ ერთ სპორტსმენს გამოუვლინდა დიასტოლური დისფუნქცია სპორტული აქტივობის შეწყვეტის შემდეგ. აღსანიშნავია, რომ კვლევაში ჩართული იყვნენ სპორტსმენები მხოლოდ მნიშვნელოვანი პიპერტროფიით.

განხილული კვლევის შედეგები მიუთითებენ სპორტსმენებში მარცხენა პარკუჭის რემოდელირების არასრულ რეგრესზე დეტრენირების შემდეგ. მიუხედავად იმისა, რომ სპორტსმენთა სისტოლურ-დიასტოლური ფუნქცია რჩებოდა ნორმის ფარგლებში და დაკვირვების პერიოდში არ გამოვლინდა კარდიული სიმპტომები, პარკუჭის მნიშვნელოვანი რეზიდუალური გადიდების გათვალისწინებით, შეუძლებელია გადაჭრით გამოირიცხოს კლინიკური გაუარესების ალბათობა მომავალში. გრძელვადიანი პროგნოზირება შესაძლებელი იქნებოდა მხოლოდ სანგრძლივი დაკვირვების საფუძველზე.

რამდენადმე განსხვავებული შედეგები იყო მიღებული Pia Luthi და თანავგბ.[139] გაცილებით ხანგრძლივ პროსპექტულ კვლევაში, რომელშიც ჩართული იყო 62 პროფესიონალი ველოსიპედისტი. დაკვირვების საშუალო დრო შედგენდა 38 წელს (15 დან 49 მდე)საბოლოო შეფასების საშუალო ასაკი იყო 66,7წ. ვეტერან ველოსიპედისტებში გამოვლინდა მარცხენა პარკუჭის მასის მომატება, რომელიც ასოცირებული იყო სისტოლური და დიასტოლური ფუნქციის დაქვეითებასთან.

კვლევის შედეგების ანალიზის მიხედვით, მიოკარდიუმის მასის მატების დამოუკიდებელი ფაქტორი აღმოჩნდა ველოსიპედით გავლილი კილომეტრების რაოდენობა. ავტორთა შეფასებით, ხანგრძლივმა ინტენსიურმა დინამიურმა ტრენირებამ შესაძლებელია განაპირობოს გულის სტრუქტურის შეუქცევადი ცვლილება და ფუნქციის გაუარესება.

დიასტოლური ფუნქციის გაუარესება პროფესიონალ ველოსიპედისტებში სპორტული აქტივობის შეწყვეტის შემდეგ გამოვლინდა აგრეთვე Miki T და თანაავგბ. მიერ 104 სპორტსმენში ჩატარებულ პროსპექტულ კვლევაში[137]. კვლევაში მონაწილე განსხვავებული ასაკობრივი ჯგუფის ველოსიპედისტები და ყოფილი იყვნენ ორ ჯგუფად – 20 დან 39წლამდე და 40 დან 60 წლამდე. მონაცემების შედარება ხდებოდა 2 შესაბამის ასაკობრივ საკონტროლო ჯგუფთან. გულის სტრუქტურული და ფუნქციური მდგომარეობა ფასდებოდა ექოკარდიოგრაფიის M-რეჟიმში და პულსური დოპლერით. ისაზღვრებოდა ფრაქციული დამოკლება და A/R თანაფარდობა (მპ-ის ავსების სისწრაფის გვიანი დიასტოლური პიკის შეფარდება ნაადრევ პიკთან) სპორტსმენების ორივევ ასაკობრივ ჯგუფში პარკუჭის ზომები და კედლის სისქეები მომატებული იყო კონტროლებთან შედარებით, %FS იყო ნორმის ფარლებში. A/R თანაფარდობა ახალგაზრდებში ნორმის ფარგლებში იყო, ხოლო ხანდაზმულ სპორტსმენებში მომატებული. ორ წლიანი ინტერვალით განმეორებითი გამოკვლევის დროს პარკუჭის ზომები, %FS და A/R ახალგაზრდა ველოსიპედისტებში რჩებოდა ცვლილებების გარეშე. განსხვავებით ახალგაზრდებისაგან ხანდაზმულ ველოსიპედისტებში A/R თანაფარდობა გაზრდილი იყო თავდაპირველ მაჩვენებლებთან შედარებით. 9 ხანდაზმულმა სპორტსმენმა კვლევის პერიოდში შეწყვიტა სპორტული აქტივობა. ისინი გამოკვლეული იყვნენ განმეორებით 20 ± 8 თვის შემდეგ. განმეორებითი კვლევამ აჩვენა, რომ მპ-ის ზომა შემცირდა, კედლის სისქე და %FS უცველი დარჩა, A/R თანაფარდობა გაიზარდა, რაც მიუთითებს მპ-ის რემოდელირების არასრულ რეგრესზე და დიასტოლური ფუნქციის გაუარესებაზე.

დიასტოლური ფუნქციის ასაკობრივ დაქვეითებაზე ინტენსიური ფიზიკური ტრენირების გავლენის შესწავლას ისახავდა მიზნად Fleg JL და თანაავტ.[142]მიერ ჩატარებული კვლევა კვლევაში ჩართული იყვნენ 52-76წ. ვეტერანი სპორტსმენები და ორ საკონტროლო ჯგუფში გაერთიანებული იგივე ასაკისა და ახალგაზრდა(<40) ნაკლებაქტიური ჯანმრთელი მოხალისები. ყველა მათგანს უტარდებოდა დოპლერ- ექოკარდიოგრაფია დიასტოლური ფუნქციის შესაფასებლად და მაქსიმალური ტრედმილ-ტესტი VO2max-ის. განსაზღვრის მიზნით. ვეტერან სპორტსმენებში VO2max მნიშვნელოვნად მაღალი იყო, როგორც ხანდაზმულ, ასევე ახალგაზრდა კონტროლებთან შედარებით. მაშინ როდესაც, E/A შეფარდება არ განსხვავდებოდა ვეტერან სპორტსმენებში და ხანდაზმულ საკონტროლო პირებში და მნიშვნელოვნად ჩამორჩებოდა ახალგაზრდა მოხალისების მაჩვენებლებს. კვლევის შედეგებიდან გამომდინარე გამოტანილი იყო დასკვნა, რომ ინტენსიური ფიზიკური ტრენირება ვერ ახდენს ზეგავლენას დიასტოლური ფუნქციის ასაკობრივ დაქვეითებაზე, რამდენადაც დიასტოლური ფუნქცია ქვეითდება პირველადად ასაკობრივი ცვლილებების გამო და არა მეორადად VO2max ასაკობრივი დაქვეითების გამო.

საწინააღმდეგო შედეგები იქნა მიღებული Galleta F და თანაავტ.[123] მიერ ხამდაზმულ (68±4,2 წ) სპორტსმენ მამაკაცებსა და და შესაბამისი ასაკის ნაკლებაქტიურ საკონტროლო პირებში ჩატარებულ კვლევაში., რომელშიც დიასტოლური ფუნქცია ფასდებოდა როგორც პულსური, ასევე ქსოვილოვანი დოპლერის მეთოდით. ტრანსმიტრალური ნაკადების ანალიზმა აჩვენა გვიანი პიკური სისწრაფის დაქვეითება და E/A ინდექსის მაღალი მაჩვენებელი სპორტსმენებში საკონტროლო ჯგუფის პირებთან შედარებით, რაც ავტორთა აზრით გულის ფუნქციაზე ფიზიკური ტრენირების მასტიმულირებელი გავლენითა და შესაბამისად, ასაკობრივი ცვლილებების მოდიფიცირებით აიხსნება. კვლევაში, რომელიც შეისწავლიდა მარცხენა პარკუჭის ფუნქციასა და პერფუზიას [126] ხანშიშესულ მძლეოსან სპორტსმენებში მოხვენებისა და დატვირთვის ექოკარდიოგრაფიით და პერფუზიული სცინტიგრაფიით, ნაჩვენები იყო, რომ სპორტსმენებს აქვთ უკეთესი კარდიოგასკულური ფიტნესი, ისევე როგორც მარცხენა პარკუჭის სისტოლურ-დიასტოლური ფუნქცია. საყურადღებოა, რომ ამავე დროს, 10-დან 7 სპორტსმენს აღენიშნებოდა მიოკარდიუმის პათოლოგიური პერფუზიის ნიშნები.

სპორტსმენთა გულის სინდრომის ყველაზე ხშირი გამოვლინებაა გულის რითმისა და გამტარებლობის სხვადასხვა სახის დარღვევები. ითვლება, რომ

სპორტსმენებში არითმიათა უმრავლესობა პროგნოზულად კეთილსაიმედოა და ინტენსიური ტრენირების შეწყვეტის შემდეგ სპორტანურად იხსნება. მიუხედავად ამისა, სპორტსმენებში რითმის დარღვევები, როგორიცაა პარკუროვანი ტაქიარითმიები, მაღალი ხარისხის AV ბლოკი, სერიოზული სირთულის წინაშე აყენებს ექიმს, რამდენადაც მსგავსი მძიმე არითმიების (რომლებიც ზოგადად რითმის ფატალური დარღვევის პრედიქტორებად ითვლებიან) პროგნოზი სპორტსმენებში ბოლომდე ნათელი არ არის. ნაკლებად არის ცნობილი ვეტერან სპორტსმენთა შორის რითმის დარღვევათა შესახებ.

Jensen-Urstd K და თანაავტ.[128] მიერ ყოფილ სპორტსმენებში შეფასებული იყო რითმის დარღვევები და გულის რითმის გარიაბელობა ეკგ 48 საათიანი ამბულატორული მონიტორირების მეთოდით. კვლევაში ჩართულ 11 სპორტსმენიდან ცხრას აღმოაჩნდა კომპლექსური არითმია, შვიდს მნიშვნელოვანი ბრადიკარდია. გულის რითმის გარიაბელობა სპორტსმენებში მომატებული იყო კონტროლებთან შედარებით. Pigazzi F და თანაავტ. [124] იერ გამოკვლეული იყო 49 ვეტერანი სპორტსმენი და შესაბამისი ასაკის ნაკლებაქტიური საკონტროლო პირები. ყველა საკვლევ პირს უტარდებოდა დოპლერექორინგრაფიული გამოკვლევა, მოსვენების ეკგ, დატვირთვის ტესტი და 24 საათიანი ეკგ მონიტორირება. ექოკარდიოგრაფიული გამოკვლევით ცვლილებები არ გამოკლენილა არც ერთ ჯგუფში. სპორტსმენებს აღენიშნებოდათ უკეთესი ფუნქციურუნარიანობა, დატვირთვის ტესტის დროს იშემის კრიტერიუმები არ გამოკლინდა არც ერთ ჯგუფში, ხოლო პარკუროვანიარითმიები თანაბარი რაოდენობით იყო ორივე ჯგუფში. საინტერესოა, რომ პარკუროვანი ნაადრევი კომპლექსების საერთო რაოდენობასაკონტროლო ჯგუფში მეტი იყო, ვიდრე სპორტსმენების ჯგუფში (შესაბამისად 87% და 67%) მაშინ, როდესაც კომპლექსური არითმიების სიხშირის მიხედვით ჯგუფებს შორის განსხვავებები არ გამოვლინდა. ავტორები ასკვნიან, რომ ინტენსიური ფიზიკური ტრენირება არ არის დაკავშირებული მძიმე არითმიების გახშირებასთან ვეტერან ათლეტებში. ვეტერან სპორტსმენებში მოსვენების, დატვირთვის და 48 საათიანი ამბულატორული ელექტროკარდიოგრაფიული კვლევის შედეგები არის გაანალიზებული Northcote RJ და თანაავტ. კვლევაში [133]. სპორტსმენთა საშუალო ასაკი იყო 56 ± 7 . ოთხ სპორტსმენსა და სამ საკონტროლო პირს აღენიშნებოდა მპის ჰიპერტონიის კრიტერიუმები. ტრედმილ- ტესტის დროს ოთხ სპორტსმენს გამოუკლინდა ST სეგმენტის 2 მმ-იანი დაღმავალი

დეპრესია. საკონტროლო პირებში იშემის კრიტერიუმების შესაბამისი ST სეგმენტის ცდომა არ გამოვლინდა. ეპგ 48 საათიანი მონიტორინების პერიოდში სპორტსმენების საშუალო რითმი მნიშვნელოვნად ნაკლები იყო ჯანმრთელებთან შედარებით. მიუხედავად ამისა რითმის ცირკადული მერყეობა სპორტსმენებში იყო შენარჩუნებული. მკვეთრი ბრადიკარდია (<35 შეგ/წთ) გამოვლინდა 8 სპორტსმენში და მხოლოდ ერთ კონტროლში. სისტოლური პაუზები 1,8 დან 15 წმ-მდე გამოვლინდა 8 სპორტსმენსა და ორ საკონტროლო პირში. ექს სპორტსმენს აღმოაჩნდა I ხარისხის, ოთხს II ხარისხის და სამს სრული AV ბლოკი. გამტარებლობის დარღვევები ძირითადად ვითარდებოდა დამის საათებში. პარკუჭოვანი ექტოპიური აქტივობის მნიშვნელოვანი განსხვავება ჯგუფებს შორის არ იყო ნანახი. მაშასადამე, მკვეთრი ბრადიკარდია და AV გამტარებლობის გაუარესება იყო ყველაზე მნიშვნელოვანი და ხშირი დარღვევა, რომელიც გამოავლინა კვლევამ. Sylvette Baldesberger და თანავტ. მიერ ჩატარებული კვლევის [162] მიზანს შედაგენდა შეესაწავლათ რამდენად ჟკუგანვითარდება მძიმე ბრადი და ტაქიარითმიები სპორტსმენებში სპორტული მოღვაწეობის შეწყვეტის შემდეგ. ამ მიზნით მათ გამოიკვლიერ 62 შვეიცარელი მამაკაცი პროფესიონალი ველოსიპედისტი. საკონტროლო ჯგუფს შეადგენდა 62 გოლფის მოთამაშე, რომლებიც არასოდეს ვარჯიშობდნენ მძიმე დატვირთვით. სპორტსმენთა საშუალო ასაკი შეადგენდა 66 ± 6 , საკონტროლო ჯგუფის 66 ± 7 წელს. პროფესიული სპორტული აქტივობის შეწყვეტის საშუალო ხანგრძლივობა შეადგენდა 38 ± 6 წელს. QRS ხანგრძლივობა და კორეგირებული QT ინტერვალი გახანგრძლივებული იყო ვეტერან სპორტსმენებში საკონტროლო პირებთან შედარებით. ეპგ 24 საათიანი მონიტორინების შედეგებით იზოლირებული სუპრავენტრიკულური და პარკუჭოვანი ექსტრასისტოლების, ისევე როგორც სუპრავენტრიკულური ტაქიქარდიების ეპიზოდების რაოდენობა მნიოშვნელოვნად არ განსხვავდებოდა ჯგუფებს შორის, მაშინ როდესაც პარკუჭოვანი ტაქიარითმიების ეპიზოდები აღინიშნებოდა უფრო ხშირად სპორტსმენებში, ვიდრე საკონტროლო პირებში. რითმის საშუალო სახშირე ნაკლები იყო სპორტსმენებში კონტროლებთან შედარებით (66 ± 9 და 70 ± 8). წინაგულთა პაროქსიზმული ან პერსისტიული ციმციმი და თრთოლვა გაცილებით ხშირად ვლინდებოდა სპორტსმენებში. სინუსის კვანძის დაავადება, რომელიც განისაზღვრებოდა როგორც, ბრადიკარდია <40 , წინაგულთა თრთოლვა, ბრადიარითმიის გამო ინპლანტირებული პეისმეიკერი და მაქსიმალური RR ინტერვალი $>2,5$ წმ სპორტსმენებში უფრო ხშირი იყო ვიდრე

კონტროლებში. ავტორთა აზრით კვლევის შედეგები ეჭვქვეშ აყენებს გულის სპორტული ჰიპერტოფიის ფიზიოლოგიურობასა და სრულ შექცევადობას. ისინი მიუთითებენ, რომ ვეტერანი სპორტსმენები არც თუ ისეთი ჯანმრთელები არიან, რამდენადაც მათ ხშირად აღენიშნებათ რითმის მძიმე დარღვევები.

ნაჩვენები იყო ვარჯიშისა და აღდგენის პერიოდში ხშირი სუპრავენტრიკულური და პარკუჭოვანი ექსტრასისტოლის აღმოცენება ვეტერან სპორტსმენებში [290] Hood S და თანაავტორების კვლევაში [291] პერმანენტული პეისმეიკერი იმპლანტირებული ჰქონდა ყოფილ მარათონულ მორბენალთა 11%-ს.

ამავე დროს, Sarna S და თანაავტ. მიუთითებენ, რომ ელიტური ვეტერანი სპორტსმენების სიცოცხლის ხანგრძლივობა აღემატება საშუალო ზოგად-პოპულაციურ მაჩვენებელს [292].

საინტერესო შედეგები იყო მიღებული ფინურ ნაციონალურ პოპულაციურ კვლევაში, რომელშიც შესწავლილი იყო დიაბეტის, გულის იშემიური დაავადებისა და არტერიული ჰიპერტენზიის გავრცელება ყოფილ მაღალი კლასის სპორტსმენებში, რომლებიც წარმოადგენდნენ ფინეთს საერთაშორისო შეჯიბრებებზე 1920 -1965 წლებში [131]. გამოვლინდა, რომ (ტრადიციული რისკ-ფაქტორებისათვის კორექციის შემდეგ) ყოფილ სპორტსმენებს აქვთ დიაბეტისა და გულის იშემიური დაავადების გაცილებით დაბალი რისკი რეფერენტებთან შედარებით.

საყურადღებოა ბოლო კვლევები, სადაც მითითებულია ვეტერან სპორტსმენებში მიოკარდიუმის ფიბროზის ბიოქომიური მარკერების მატება [165].

ამგვარად, სადღეისოდ არსებული ცალკეული კვლევების ურთიერთგამომრიცხავი შედეგები, არ იძლევა საფუძველს მარცხენა პარკუჭის სპორტული ჰიპერტოფიის შორეული შედეგებისა და პროგნოზული მნიშვნელობის შესაფასებლად.

1.10. გენეტიკური პლაზმები

გულის რემოდელირების ხარისხი და თავისებურებები განპირობებულია ინდივიდის სხეულის მასის, წვრთნის ინტენსივობისა და ხანგრძლივობის მაჩვენებლებზე, სპორტის სახეობაზე და სავარაუდოდ გენეტიკურ დეტერმინანტებზე. გენეტიკური თავისებურებების გავლენაზე ინტენსიური დატვირთვებისადმი გულის საპასუხო ადაპტაციის ხასიათზე მიუთითებს დადასტურებული ფაქტი, რომ თანაბარი წონის სპორტსმენებში, თანაბარ პირობებში წვრთნისას განვითარებული ცვლილებები მერყეობს ფართო დიაპაზონში (პრაქტიკულად უმნიშვნელო ცვლილებებიდან გულის გამოხატულ ჰიპერტოფიამდე). ბოლო წლების კვლევების მონაცემები მიუთითებენ სპორტსმენებში გული რემოდელირების მაჩვებლებსა და აგფ-ის (I/D), ასევე ანგიოტენზინოგენისა (AGM T/M) და ანგიოტენზინ II -ის რეცეპტორების გენურ პოლიმორფიზმს შორის კავშირზე [83,88,301,302,303]. რიგი კვლევების მონაცემებით. სპორტსმენებში აგფ-ის DD გენოტიპით მპ-ის მასა მნიშვნელოვნად აღემატებოდა ჰეტეროზიგოტურ და II ჰომოზიგოტურ ინდივიდებში შესაბამის მაჩვენებელს [83,88,301]. Karjainen და თანაავტორების მიერ გამოკვლეული იყო ანგიოტენზინოგენის M235T, აგფ-ის I/D და ანგიოტენზინ II ის 1 რეცეპტორის (AT1) A1166C გენის პოლიმორფიზმი თრივევ სქესის ელიტურ მდლეოსნებში. კვლევის მონაცემებით სპორტსმენებს ანგიოტენზინოგენის T ალელით ჰომოზიგოტურ სპორტსმენებს ჰქონდათ მპ-ის ყველაზე მაღალი მაჩვენებლები. არ იყო გამოვლენილი კორელაცია აგფ-ის I/D და A1166C გენის პოლიმორფიზმსა და მპ-ის მასას შორის [302]. Ddien F და თანაავტორების მონაცემებით მდლეოსან სპორტსმენებში ვლინდება აგფ-ის DD და ანგიოტენზინოგენის TT გენოტიპების სინერგული ეფექტი მარცხენა პარკურის მასაზე [303]. Tanriverdi H და თანაავტორების მიერ შესწავლილი იყო მდლეოსნებში მპ-ის ჰიპერტოფიით QT დისპერსიასა და აგფ-ის I/D პოლიმორფიზმს შორის კორელაცია. კვლევამ აჩვენა, რომ QTcd მნიშვნელოვნად განსხვავდება აგფDD და აგფII გენოტიპებს შორის. ამასთანავე, გამოვლინდა კორელაცია მპ-ის მასა და აგფ-ის გენოტიპებს შორის [304]. Karlovatz RJ და თანაავტორების მიერ მამაკაც სპორტსმენებში ნაჩვენები იყო ინსულინისმაგვარი ზრდის ფაქტორის (IGF1), IGF1 რეცეპტორისა და

მიოსტატინის პოლიმორფიზმსა და მარცხენა პარკუჭის ჰიპერტროფიას შორის კავშირი [305].

ფიზიკური დატვირთვებით ინდუცირებულ მპ-ის ჰიპერტროფიის გენეტიკური დეტერმინანტები სადღეისოდ აქტიური შესწავლის საგანია. საფიქრებელია, რომ ამ მიმართულებით ცოდნის გაღრმავება მნიშვნელოვნად შუწყობს ხელს გულის ინტენსიური ტრენირებით განპირობებულ რემოდელირებასთან დაკავშირებული ბუნდოვანი საკითხების გარკვევას.

რეზიუმე

ამგვარად, მრავალრიცხოვანი კვლევების მონაცემები მიუთითებენ ,რომ:

- მიუხედავად გამოხატული სტრუქტურული ძვრებისა, სპორტსმენთა უმრავლესობაში მარცხენა პარკუჭის სისტოლური და დიასტოლური ფუნქციის მაჩვენებლები ნორმის ფარგლებშია;
- სპორტსმენებში ხშირია გულის რითმისა და გამტარებლობის სხვადსხვა დარღვევები, თუმცა ითვლება , რომ მომქმედ სპორტსმენებში არითმიების უმეტესობა პროგნოზულად კეთილსაიმედოა.

აქვე უნდა აღინიშნოს ფაქტები, რომელთა ინტერპრეტაცია გაძნელებულია, რომლებიც ეჭვება აყენებენ გულის სპორტული ჰიპერტონიის ცალსახოვნად ფიზიოლოგიურ ბუნებას და შესაბამისად საჭიროებენ შემდგომ კვლევას:

- მარცხენა პარკუჭის მნიშვნელოვანი ჰიპერტონია ვითარდება სპორტსმენთა მხოლოდ ნაწილში.
- მძიმე სპორტული შეჯიბრებების შემდეგ ნახულობენ გულის მარკერების მატებას სისხლში და სისტოლურ-დიასტოლური ფუნქციის გაუარესებას.
- სპორტსმენთა შორის უეცარი სიკვდილის შემთხვევათა ნაწილში არ ვლინდება გულის რაიმე დაავადება.
- სპორტსმენებში მარცხენა პარკუჭის ჰიპერტონიით აღმოჩენილი იყო ფიბროზის ბიოქიმიური მარკერები.
- გულის სპორტული ჰიპერტონია ყოველთვის არ რეგრესირებს სრულად ინტენსიური გარჯიშების შეწყვეტიდან დროის საკმარისი ინტერვალის შემდეგ და რეზიდუალური ჰიპერტონია ხშირად ასოცირებულია დიასტოლურ დისფუნქციასთან.

მაშასადამე, მიუხედავად არსებული უპასუხო კითხვებისა, ხელმისაწვდომი ლიტერატურის მონაცემები საფუძველს იძლევა დავასკვნათ, რომ სპორტსმენთა უმრავლესობაში, მათ შორის უმაღლესი რანგის სპორტსმენებში, მნიშვნელოვანი სტრუქტურული დარღვევების ფონზე გულის სისტოლურ-დიასტოლური ფუნქცია შენარჩუნებულია და რომ გულის სპორტული რემოდელირება არის ფიზიოლოგიური საადაპტაციო ფენომენი, რომელიც ემსახურება გაზრდილი ენერგეტიკული მოთხოვნების პირობებში გულის ადექვატური მუშაობის უზრუნველყოფას. აღნიშნულ კონცეფციას იზიარებს მკვლევართა დიდი

ნაწილი. აქვე უნდა აღინიშნოს , რომ ყოველივე ზემოხსენებული ეხება გულის ფუნქციონირებას აქტიური ტრენირების რეჟიმში. ნაკლებადაა შესწავლილი გულის სპორტული პიპერტროფიის მოგვიანებითი შედეგები და შესაბამისად გრძელვადიანი პროგნოზი. ვეტერანთა კვლევების არსებული მონაცემები საფუძველს იძლევა, ვიფიქროთ, რომ ინტენსიური ფიზიკური დატვირთვით ინდუცირებული გულის პიპერტროფიული რემოდელირება სრულად არ რეგრესირებს მაღალინტენსიური დატვირთების შეწყვეტის შემდეგ. ვეტერან სპორტსმენებში გამოვლენილი რეზიდუალური პიპერტროფიის გავლენა კარდიოვასკულურ რისკზე საჭიროებს შემდგომ შესწავლას.

თავი II.

გამოკვლეული კონტინგენტი და კვლევის მეთოდები

2.1. გამოკვლეული კონტინგენტის დახასიათება

გამოკვლეული იყო 35 დან 55 წლამდე ასაკის ორმოცდაათი მაღალი კლასის გეტერანი სპორტსმენი მამაკაცი, 50 იგივე ასაკობრივი ჯგუფის ნაკლებაქტიური ჯანმრთელი მამაკაცი, რომლებიც შეადგენდენ საკონტროლო ჯგუფს და შესაბამისი ასაკისა და სქესის 20 პაციენტი საშუალო სიმძიმის არტერიული ჰიპერტენზიით. არტერიული ჰიპერტენზიით პაციენტების ჯგუფი შერჩეული იყო, როგორც პათოლოგიური ჰიპერტოფიის მოდელი. აღნიშნული ჯგუფისა და გეტერანი სპორტსმენების მონაცემების შედარების მიზანი იყო სპორტულ-ადაპტაციური და პათოლოგიური ჰიპერტოფიების განმასხვავებელი თავისებურებების გამოვლენა და შეფასება. სპორტსმენთა შორის 32 იყო ფეხბურთელი და 28 წელისგანმეტელი. კვლევაში სპორტსმენთა ჩართვის კრიტერიუმები იყო: ინტენსიური სპორტული მოღვაწეობის არანაკლებ 10 წელი და სპორტული აქტივობის შეწყვეტის შემდეგ დროის ინტერვალი >5 წ. კვლევაში არ იყვნენ ჩართული სპორტსმენები გულსისხლძარღვთა სისტემის რომელიმე მანიფესტირებული დაავადებით ან სხვა მძიმე ქრონიკული პათოლოგიით. არტერიული ჰიპერტენზიის ჯგუფს შეადგენდნენ ინდივიდები არტერიული ჰიპერტენზიით – სისტოლური არტ.წნევა > 140 მმ.ვწყ.სკ, დიასტოლური არტ. წნევა >90 მმ.ვწყ.სკ., სამიზნე თრგანოთა მძიმე დაზიანების (მიოკარდიუმის ინფარქტი, გულის უკმარისობა, ცერებრული ინსულტი, თირკმლის უკმარისობა) გარეშე. არტერიული ჰიპერტენზიის დიაგნოზი ითვლებოდა დადასტურებულად პაციენტებში: ა) არტერიული. ჰიპერტენზიის ანამნეზითა და ჰიპოტენზიური მკურნალობით ბ) სისტოლური და/ან დიასტოლური არტ. წნევის მომატებული ციფრებით სამდღიანი ინტერვალებით სამი მომდევნო ვიზიტის დროს.

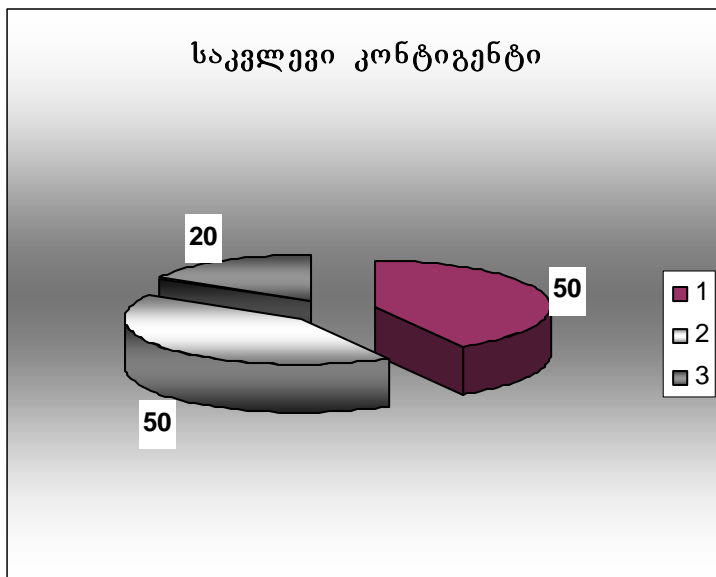
საკვლევი პირები განაწილებული უყვნენ სამ ძირითად ჯგუფში (**იხ.სურ. I:**

I ჯგუფი (გეტერანი სპორტსმენების ჯგუფი)

II ჯგუფი (საკონტროლო ჯგუფი)

III ჯგუფი (პაციენტები არტერიული ჰიპერტენზიით)

სურათი 1
გამოხაკვლევი კონტინგენტი



- 1 -- ვეტერანი სპორტსმენები (I ჯგუფი)
- 2 -- საკონტროლო ჯგუფის პირები (II ჯგუფი)
- 3 -- პაციენტები არტერიული პიპერტენზიით (III ჯგუფი)

საკვლევ პირებში განისაზღვრებოდა სიმაღლე, წონა და სხეულის მასის ინდექსი, კვლევის მონაწილეებს უტარდებოდათ გამოკითხვა საშუალო დღიური ფიზიკური აქტივობის შეფასების მიზნით (**იხ.ცხრI**).

ცხრილი 1

საკვლევი ჯგუფების დახასიათება

	I ჯგუფი		II ჯგუფი		III ჯგუფი	
	საშუალება <i>Mean</i>	95% სიმძლავა <i>SD</i>	საშუალება <i>Mean</i>	95% სიმძლავა <i>SD</i>	საშუალება <i>Mean</i>	95% სიმძლავა <i>SD</i>
ასაკი	$42,92 \pm 4,3$	41,73- 44,11	$43,2 \pm 4$	42,17- 44,39	$45,95 \pm 4,3$	44,07- 47,83
წონა (კგ)	$95,26 \pm 9,6$	92,59- 97,93	$96,1 \pm 11,9$	92,77- 99,35	$98,7 \pm 9,3$	94,61- 102,79
სიმაღლე (სმ)	$180,78 \pm 4,7$	179,47- 182,09	$181,4 \pm 4,6$	180,17- 182,71	$181,25 \pm 5$	179,08- 183,42
სიმაღლე (მმ)	$29,2 \pm 2,8$	28,38- 29,91	$29,1 \pm 3$	28,29- 29,97	$30 \pm 2,3$	29,02- 31,04
ფიზიკური აქტივობა (სთ/დღე)	$1,5 \pm 0,6$	1,29- 1,65	$0,95 \pm 0,47$	0,82- 1,08	$0,91 \pm 0,23$	0,85-1,03

2.2. კვლევის მეთოდები

ყველა საკვლევ პირს უტარდებოდა გულის ულტრაბგერითი კვლევა, კელოერგომეტრული საფეხურებრივი დატვირთვის სტრესს-ტესტი და 24 საათიანი ეკგ ამბულატორიული მონიტორინგი

ექოკარდიოგრაფიული გამოკვლევა ტარდებოდა აპარატზე Philips HDI 3500.

მარცხენა პარკუჭის ზომის და კედლის სისქის განსაზღვრისათვის ვიყენებდით ხაზოვანი შეფასების მეთოდს (the methods of Teichholz or Quinones). გამოკვლევა ტარდებოდა M-რეჟიმში (პარასტერნალურ გრძელ დერძზე) და 2 D რეჟიმში (პარასტერნალურ გრძელ დერძზე და აპიკალურ 4 კამერიან ჭრილში).

მპ-ის ჰიპერტოფიის კრიტერიუმები: მპ-ის სისქე (θ) ≥ 12 მმ, უკანა კედლი სისქე (θ) ≥ 12 მმ. მპ-ის დილატაცია --- ენდდიასტოლური დიამეტრი ≥ 56 მმ. მპმი (θ/θ^2) > 125 გ/მ² და მპმი ($\theta/\theta^{2.7}$, 2,7) > 51 გ/მ^{2.7} [307,308,309]

მარცხენა პარკუჭის ენდსისტოლური და ენდდიასტოლური მოცულობების განსაზღვრისა და განდევნის ფრაქციის შეფასებისათვის ვიყენებდით დისკების მეთოდს (biplane method of discs, modifies Simpson's rule). პარამეტრების შეფასება ხდებოდა აპიკალური 2 D რეჟიმში 4-კამერიან და 2-კამერიან ჭრილში. [312,313] განდევნის ფრაქციის განსაზღვრისათვის გამოიყენებოდა შემდეგი ფორმულა

$$\text{გფ} = (\text{ედმ- ესმ}) / \text{ედმ} \times 100\% \quad \text{ნორმა} > 55\%$$

ედმ - ენდდიასტოლური მოცულობა

ესმ - ენდსისტოლური მოცულობა

მარცხენა პარკუჭის მასა განისაზღვრებოდა Devereux -ის ფორმულის მიხედვით [310,311]:

$$\text{მპ} = 0,8(1,04([\text{მპედდ} + \text{უკსდ} + \text{კშმსდ}]^3 - [\text{მპედდ}]^3)) + 0,6$$

მპ- მარცხენა პარკუჭის მასა

მპედდ - მპ-ის ენდდიასტოლური დიამეტრი

უკსდ = უკანა კედლის სისქე დიასტოლაში

კშმსდ - პარკუჭთასუა ძგიდის სისქე დიასტოლაში

გამოიყენებული იყო მპ-ის მასის ორი ინდექსი: მპ-ინდექსი = მპ / სხეულის ზედაპირის ფართობთან და De Simone და თანაავტორების მიერ რეგრესიული მოდელებიდან მიღებული მპ-ინდექსი - მპ/ სიმაღლე^{2.7} [307]

დიასტოლური ფუნქციის შეფასება ხდებოდა ტრადიციულად ტრანსმიტრალური ნაკადით. ფასდებოდა ტრანსმიტრალური ნაკადის შემდეგი პარამეტრები: ადრეული (Ev) და გვიანი (Av) დიასტოლური ავსების სიჩქარეები, Ev/Av

თანაფარდობა, E –ს შემცირების დრო (DT- deceleration time). პარამეტრების შეფასება ხდებოდა აპიკალური 4-კამერიანი ფანჯრიდან პულსური დოპლერის (pulsed wave Doppler) გამოყენებით. დიასტოლური ფუნქციის შეფასება ხდებოდა ძირთად 4 ტიპად (Modified from Moller JE, et al) [167]:

ნორმა - DT (140-240 ms); E/A (0.75-1.5)

I ხარისხის დიასტოლური დისფუნქცია (რელაქსაციის დარღვევის ტიპი)

DT> 240; E/A<0.75

II ხარისხის დიასტოლური დისფუნქცია (ფსევდონორმალიზაციის ტიპი)

DT (140-240 ms); E/A (0.75-1.5)

III ხარისხის დიასტოლური დისფუნქცია (რესტრიქციული ტიპი)

DT<140; E/A>1.5

ადრეული დიასტოლური ავსება მნიშვნელოვნად არის დამოკიდებული რამდენიმე კომპონენტის ურთიერთქმედებაზე, მათ შორის პრედატვირთვასა და წნევის მომატებაზე მარცხენა წინაგულში. მარცხენა პარკუჭის დიასტოლური ფუნქციის შეფასებისას და კერძოდ ნორმალური და ფსევდონორმალური ტიპის დიასტოლური ფუნქციის დიფერენციებისას სტანდარტულად ვატარებდით ვალსალვის სინჯს (Valsalva manoeuvre) და ვახდენდით პულმონური ვენური ნაკადის შეფასებას (PVF). პარამეტრების შეფასება ხდებოდა აპიკალური 4-კამერიანი ფანჯრიდან პულსური დოპლერის გამოყენებით. პულმონური ვენური ნაკადი წარმოდგენილია მარცხენა წინაგულისკენ მიმართული (“forward”) S (სისტოლური) და D (დიასტოლური) პიკებით და უკანმიმართული (“backwards”) გვიანი დიასტოლური A პიკით. მოზრდილ პირებში ნორმალური დიასტოლური ავსების პირობებში S/D>1.

ყველა საკვლევ პირს უტარდებოდა მაქსიმალური სიმპტომლიმიტური ვალოერგომეტრული დატვირთვის სტრეს-ტესტი Innomed CPCE 2.1 სისტემით Innobase for Windows პროგრამული უზრუნველყოფით. საფეხურებრივი სტრეს-ტესტი ტარდებოდა ბრუსის მოდიფიცირებული ოქმით. დატვირთვის საფეხურის ხანგრძლივობა შეადგენდა 3 წუთს, დატვირთვის მატება 25 ვატს. ფასდებოდა დატვირთვის ტესტის არაელექტროკარდიოგრაფიული პარამეტრები: მაქსიმალური შესრულებული სამუშაო (**ზშს**), ქრონოტროპული პასუხისა და გულისცემის სიხშირის (**გცს**) აღდგენის მახასიათებლები, არტერიული წნევის დინამიკის მაჩვენებლები. დატვირთვაზე ქრონოტროპული პასუხის შესაფასებლად გამოყენებული იყო შემდეგი მაჩვენებლები: პიკური გულის ცემის სიხშირე (**პგცს**), გულის ცემის რეალური რეზერვი (**გცრ**), გულისცემის

გამოყენებული რეზერვი (**გცგრ**), მაქსიმალური ასაკობრივი გცს-ის 85%-ის მიღწევა (**გცს-ის 85%**), ინდექსი **გცს 40-100** და ინდექსი **WL100**. გულის ცემის რეალური რეზერვი განისაზღვრებოდა ,როგორც გულისცემის სიხშირის პიკური და მოსვენების მნიშვნელობების სხვაობა. გულისცემის გამოყენებული რეზერვი გამოითვლებოდა შემდეგი ფორმულით:

$$\text{მაქსიმალური ასაკობრივი გცს --- მოსვენების გცს}$$

$$\text{გცგრ} = \frac{\text{პიკური გცს --- მოსვენების გცს}}{X 100}$$

$$\text{პიკური გცს --- მოსვენების გცს}$$

ინდექსი **გცს 40-100** წარმოადგენს გცს-ს მატების სიდიდეს მაქსიმალური დატვირთვის 40% დან 100%-მდე დიაპაზონში. აღნიშნული ინდექსის გამოსათვლელად უნდა განისაზღვროს დატვირთვის სრული დროის 40% და გცს დროის ამ მომენტისათვის. ხოლო გცს-ს მიღებული მნიშვნელობა უნდა გამოაკლდეს გცს-ს პიკურ მნიშვნელობას [167]. ინდექსი **WL100** განისაზღვრებოდა, როგორც შესრულებული სამუშაოს სიდიდე, რომელიც შეესაბამება გცს-ს მნიშვნელობას 100 შეკ/წ [168]. **გცს-ის აღდგენა** ფასდებოდა დატვირთვის ტესტის აღდგენის პერიოდის პირველი წუთის განმავლობაში გცს-ის შემცირების მაჩვენებლით. ნორმად მიჩნეული იყო გცს-ის შემცირება >12 აღდგენის პირველი წუთის განმავლობაში [240,170]. დატვირთის განმავლობაში არტერიულინ წნევის დინამიკის შეფასებისას ვითვალისწინებდით სისტოლური (საწ) და დიასტოლური წნევის (დაწ) მოსვენებისა და პიკურ სიდიდეებს, აგრეთვე სისტოლური და დიასტოლური არტ.ნევის ცვლილების (**4საწ და 4დაწ**) სიდიდეს. დატვირთვაზე პიპერტენზიული რეაქციის კრიტერიუმად ითვლებოდა **საწ** მატება ≥ 60 და **დაწ** მატება $\geq 10\text{მმ}$. QT ინტერვალის დისპერსიის პიკურ და საწყის მნიშვნელობებს შორის სხვაობით. ინტერვალის დისპერსიის პიკურ დანისაზღვრებოდა, როგორც ეკგ-ს 12 განხრაში QT ინტერვალის ხაგრძლივობის მინიმალურ და მაქსიმალურ მნიშვნელობებს შორის სხვაობა. თითოეულ განხრაში QT ინტერვალი გამოითვლებოდა მომდევნო სამ ციკლში. მოცემულ განხრაში QT ინტერვალის განისაზღვრებოდა, როგორც სამი გაზომვის საშუალო სიდიდე [314] გულის რითმის ვარიაბელობისა და რითმის დარღვევების კვლევა ტარდებოდა ჰოლტერის 24 საათიანი ეგზ ამბულატორული მონიტორირების (Winnerusion 7.0 copyright 1999.Hill.med corporation) საშუალებით . რითმის ვარიაბელობა ფასდებოდა სიხშირული მაჩვენებლების მიხედვით, როგორიცაა VLF (ძალიან დაბალი სიხშირის), LF (დაბალი სიხშირის),

HF(მაღალი სიხშირის) მაჩვენებლები და LF/ HF შეფარდება. გულის რითმის შეფასებისას ვითვალისწინებდით საშუალო დღე-დამური და დამის რითმის სიხშირეს, AV და პარკუჭშიდა გამტარებლობის დარღვევებს, სინუსური პაუზა $>2,5$ წ, კომპლექსურ არითმიებს, ხშირ პარკუჭოვან და წინაგულოვან ექსტრასისტოლიას, სუპრავენტრიკულური და პარკუჭოვანი ტაქიკარდიის ეპიზოდებს და მოციმციმე არითმიას. სუპრავენტრიკულური ან პარკუჭოვანი ტაქიკარდია განისაზღვრებოდა, როგორც სამი ან მეტი შესაბამისი კომპლექსი რითმის სიხშირით $>120/\text{წ}$. სუპრავენტრიკულური ან პარკუჭოვანი ექსტრასისტოლია $\geq 1440/24$ სთ. ითვლებოდა ხშირად [162]. შემთხვევები რითმის საშუალო დღედამური სიხშირით $<50/\text{წ}$ ან დამის რითმის საშუალო სიხშირით $<40/\text{წ}$ ან მაქსიმალური RR ინტერვალი $\geq 2,5$ წ ფასდებოდა როგორც სინუსის კვანძის სისუსტე [162].

2.3. სტატისტიკური ანალიზი

მასალა წარმოდგენილია, როგორც, საშუალო \pm SD ნორმალური განაწილების მქონე მაჩვენებლებისათვის. პარამეტრები, რომლებიც არ იყო ნორმალურად განაწილებული წარმოდგენილი იყო მედიანითა და ინტრაკვარტალური მერყეობით (IQR). ვარიანტთა განაწილების ნორმალურობა შემოწმებული იყო K-S ტესტით. განსაზღვრული იყო 95% სანდოობის ინტერვალი (95% სი). ნომინალური მაჩვენებლები წარმოდგენილი იყო პროცენტული რაოდენობებით. ნორმალური განაწილების მაჩვენებელთა განსხვავევების სარწმუნოობა ჯგუფებს შორის გაანალიზებული იყო ორმიმართულებიანი სტიუდენტის t-ტესტით, დანარჩენ შემთხვევებში პარამეტრებს შორის განსხვავებათა სარწმუნოობა დარდებოდა უიტნი-მანის U- ტესტით. ნომინალურ მაჩვენებელთა განაწილების განსხვავებების სარწმუნოობა ფასდებოდა λ^2 სტატიტიკის გამოყენებით მაჩვენებელთა შორის კორელაციები ფასდებოდა პირსონისა და სპირმანის კორელაციებით.

თავი III.

შედეგები

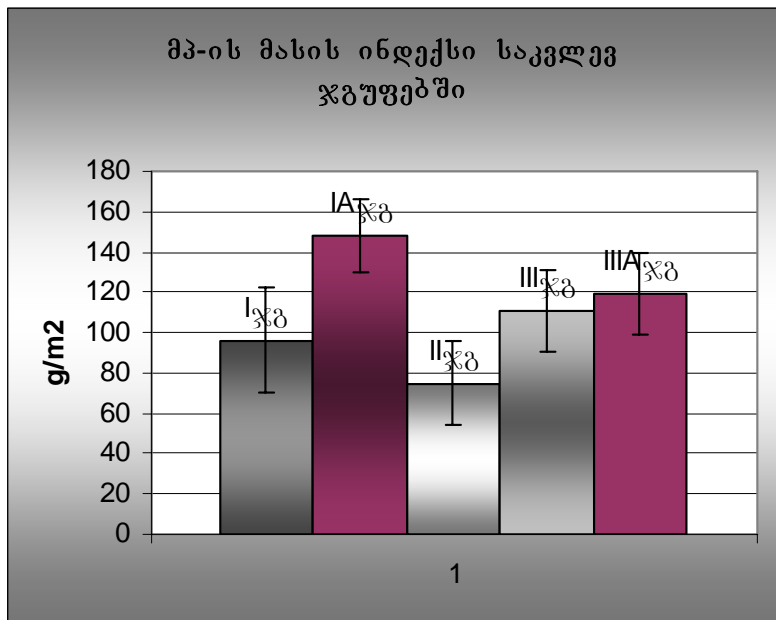
3.1. დოპლერ-ექოკარდიოგრაფიული მონაცემები საკვლევ

ჯგუფებში

საკვლევ ჯგუფებში გაანალიზებული იყო მარცხენა პარკუჭის სტრუქტურული და სისტოლურ-დიასტოლური ფუნქციის დოპლერ-ექოკარდიოგრაფიული მაჩვენებლები: მასის ინდექსები (მპ-ის მასა ინდექსირებული სხეულის ზედაპირის ფართობთან და $g/82,7$ ინდექსი), მარცხენა პარკუჭის ენდდიასტოლური დიამეტრი, პარკუჭთაშუა ძგიდისა და უკანა კედლის სისქეები, განდევნის ფრაქცია, ტრანსმიტრალური ნაკადების მაჩვენებლები - Ev- მპ-ის დიასტოლური ავსების ნაადრევი პიკური მაჩვენებელი, Av - მპ-ის დიასტოლური ავსების მოგვიანებითი პიკური მაჩვენებელი, Ev/ Av თანაფარდობა და დიასტოლური ავსების სისწრაფის შენელება -- DT. ფსევდონორმალური ტიპის დიასტოლური დისფუნქციის დიფერენცირებისთვის სტანდარტულად ვატარებდით ვალსალვის სინჯს და ვახდენდით პულმონური ვენური ნაკადის S და D პიკების შეფასებას (ნორმაში S/D>1).

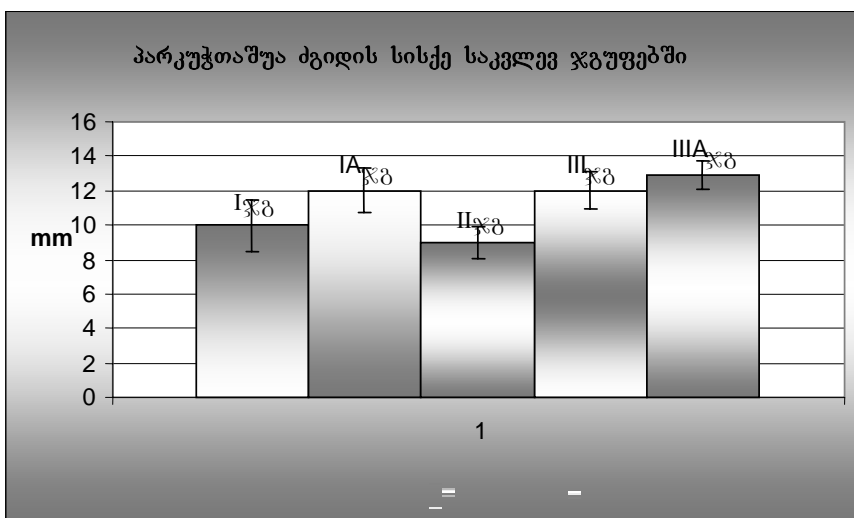
ძირითადი საკვლევის ჯგუფების შედარებაში აჩვენა, რომ მპ-ის მასის ინდექსები, ისევე როგორც პარკუჭთაშუა ძგიდისა და უკანა კედლის სისქეები სარწმუნოდ მაღალი იყო პაციენტებში ჰიპერტენზიით და ვეტერან სპორტსმენებში, საკონტროლო ჯგუფთან შედარებით (იხ.: ცხრ. 2, სურ 2 და სურ 3).

სურათი 2



სურათი 3

პარკუჭთაშუა ძგიდის სისქე საკვლევ ჯგუფებში



მარცხენა პარკუჭის სტრუქტურული მაჩვენებლები წარმოდგენილია ცხრილზე 2

ცხრილი 2

მარცხენა პარკუშის მასის, ზომების, განდევნის ფრაქციისა და დიასტოლური ავენის დოპლერექორდიოგრაფიული მაჩვენებლები საკვლევ ჯგუფები.

	I ჯგუფი		95% სი	II ჯგუფი		95% სი	III ჯგუფი		95% სი
	საშ.	± SD		საშ.	± SD		საშ.	± SD	
$\text{A}d\varphi^1*$ (გვ)	10,2	± 1,5	9,81- 10,63	9,3	± 0,9	9,06- 9,58	12,2	± 1,1	12,42- 13,40
$\text{A}d\varphi^2*$ (გვ)	10,0	± 1,3	9,62- 10,34	9,2	± 1,0	8,93- 9,47	10,8	± 1,2	10,52- 12,02
$\text{A}d\varphi^3*$ (გვ)	54,1	± 3,4	53,15- 55,01	48,5	± 3,7	47,42- 49,50	55,6	± 1,9	55,89- 57,57
$\text{A}d\varphi^4*$ გ/გ ²	96,4	± 26,7	89,05- 103,83	75,1	± 21,4	69,19- 81,04	111,4	± 20,2	106,97- 131,60
$\text{A}d\varphi^5*$	64,0	± 2,1	63,47- 64,61	63,5	± 2,2	62,89- 64,09	61,1	± 2,1	58,90- 61,29
Ev^6* m/s	0,8	± 0,1	0,74- 0,81	0,82	± 0,07	0,8- 0,84	0,5	± 0,1	0,38- 0,47
Av^7* m/s	0,6	± 0,12	0,56- 0,64	0,6	± 0,1	0,57- 0,63	0,49	± 0,11	0,52- 0,59
Ev/Av^8*	1,23	± 0,32	1,23- 1,41	1,39	± 0,26	1,32- 1,46	1,04	± 0,38	0,67- 0,80
DT^9* გვგ	211,4	± 48,2	198,03- 224,77	203,7	± 25,5	196,63- 210,77	203	± 56,0	195,18- 276,63

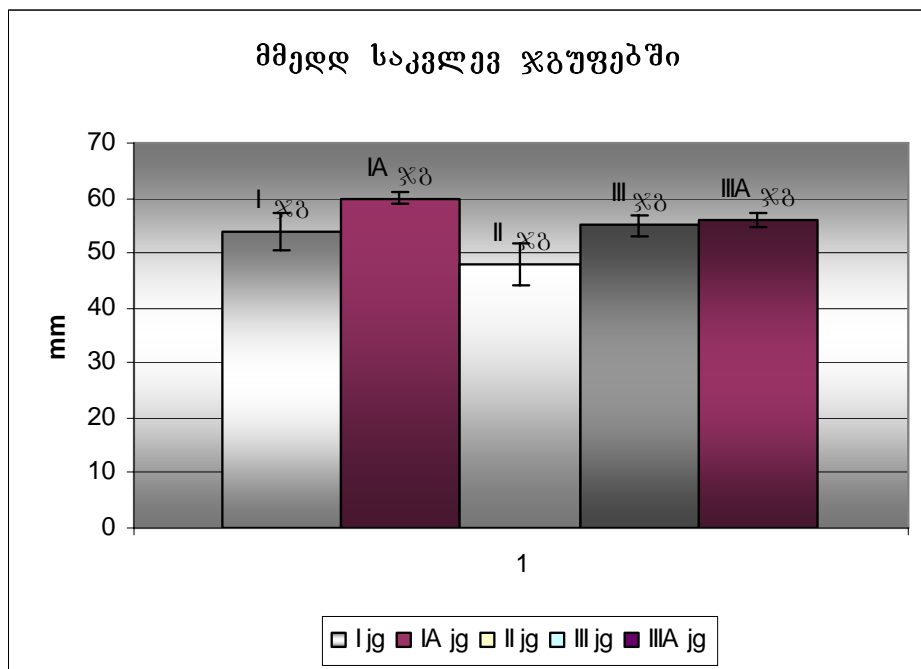
- P^1* $I^* - II < 0,00001, \quad II^* - III < 0,00001, \quad I - III^* < 0,00001$
 P^2* $I - II < 0,00001, \quad II - III < 0,00001, \quad I - III < 0,05$
 P^3* $I - II < 0,00001, \quad II - III < 0,00001, \quad I - III > 0,05$
 P^4* $I - II < 0,00001, \quad II - III < 0,00001, \quad I - III < 0,05$
 P^5* $I - II > 0,05, \quad II - III < 0,00001, \quad I - III < 0,00001$
 P^6* $I - II < 0,05, \quad II - III < 0,00001, \quad I - III < 0,00001$
 P^7* $I - II > 0,05, \quad II - III < 0,001, \quad I - III < 0,05$
 P^8* $I - II > 0,05, \quad II - III < 0,00001, \quad I - III < 0,05$
 P^9* $I - II > 0,05, \quad II - III > 0,05, \quad I - III > 0,05$

I* - I ჯგუფი, II* - II ჯგუფი, III* - I ჯგუფი,

მასის ინდექსის საშუალო ჯგუფური მაჩვენებელი ჰიპერტენზიით პაციენტებში აღემატებოდა ვეტერანი სპორტსმენების მაჩვენებლებს. პარკუჭთაშუა ძგიდის სისქე ნაკლები იყო სპორტსმენებში, ჰიპერტენზიით პაციენტებთან შედარებით. უკანა კედლის სისქის მაჩვენებელიც ჰიპერტენზიით პაციენტებში აღემატებოდა სპორტსმენების მაჩვენებელს. მარცხენა პარკუჭის ენდდიასტოლური დიამეტრი ვეტერან სპორტსმენებსა და პაციენტებში ჰიპერტენზიით მნიშვნელოვნად არ განსხვავდებოდა ერთმანეთისაგან და აღემატებოდა საკონტროლო ჯგუფის ანალოგიურ მაჩვენებლებს (იხ.: სურ 4.)

სურათი 4

მარცხენა პარკუჭის ენდდიასტოლური დიამეტრი საკვლევ
ჯგუფებში



განდევნის ფრაქციის მაჩვენებლები მნიშვნელოვნად არ განსხვავდებოდა ჯგუფებში. დიასტოლური ფუნქციის ანალიზმა აჩვენა, რომ Ev ჰიპერტენზიით პაციენტებში აღემატებოდა საკონტროლო ჯგუფის მაჩვენებლებს. Ev/ Av თანაფარდობა სარწმუნოდ ნაკლები იყო ჰიპერტენზიით პაციენტებში საკონტროლო ჯგუფთან შედარებით. პირველსა და საკონტროლო ჯუგს შორის დიასტოლური ფუნქციის მაჩვენებლებს შორის სარწმუნო განსხვავება არ გამოვლინდა. არ გამოვლინდა სარწმუნო განსხვავება, აგრეთვე, I, II და III

ჯგუფებს შორის DT მაჩვენებლის მიხედვით. ულტრაბგერითი კვლევის მონაცემები ძირითად საკვლევ ჯგუფებში წარმოდგენილია ცხრილი 2-ში.

მარცხენა პარკუჭის მასისა და ზომების გათვალისწინებით I და III ჯგუფებიდან გამოიყო ქვეჯგუფები: IA ჯგუფი – გეტერანი სპორტსმენები მარცხენა პარკუჭის ჰიპერტროფიით, IB ჯგუფი - გეტერანი სპორტსმენები მარცხენა პარკუჭის ჰიპერტროფიის გარეშე და IIIA ჯგუფი – ჰიპერტენზიით პაციენტები მარცხენა პარკუჭის ჰიპერტროფიით. (იხ.ცხრილი 3; სურ 5, სურ 6) მარცხენა პარკუჭის ჰიპერტროფიის კრიტერიუმები იყო: მამი >125 გ/მ², კადლის სისქე $>118\%$.

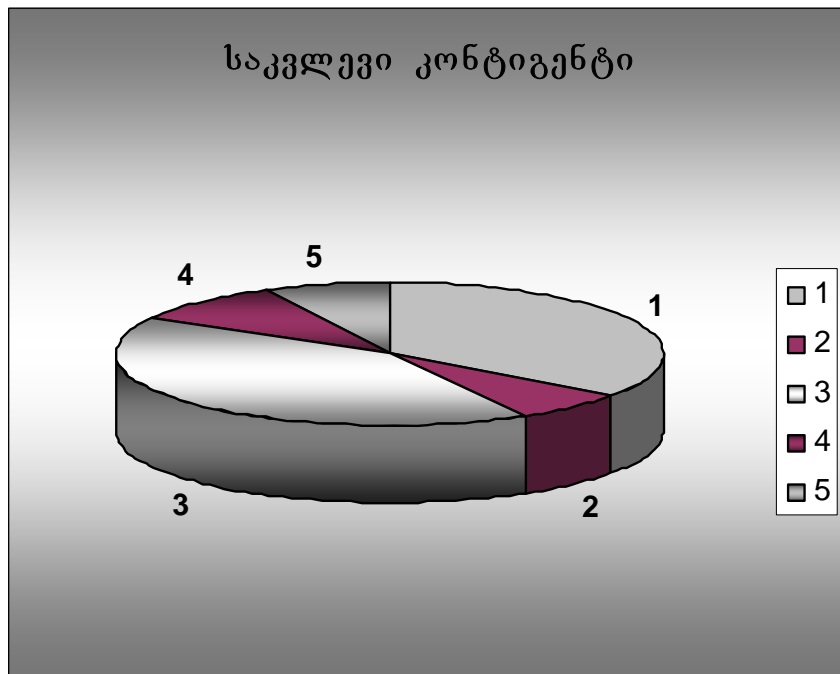
ცხრილი 3

**საკვლევი ჯგუფები მპ-ის მასისა და ზომების გათვალისწინებით
ქვეჯგუფების სეღვეჭის შემდეგ**

I ჯგუფი	IA ჯგუფი	IB ჯგუფი	II ჯგუფი	III ჯგუფი	IIIА ჯგუფი
გეტერანი სპორტსმენები	გეტერანი სპორტს.	გეტერანი სპორტს.	საკონტრო- ლო	პაციენტები არტ.	პაციენტები არტ.
მპ-ის	მპ-ის	მპ-ის	ჯგუფის	ჰიპერტენ- ზით	ჰიპერტენ- ზით
ჰიპერტრო- ფით	ჰიპერტრო- ფით	ჰიპერტრო- ფით	პირები		მპ-ის ჰიპერტრო- ფით
		გარეშე			

სურათი 5

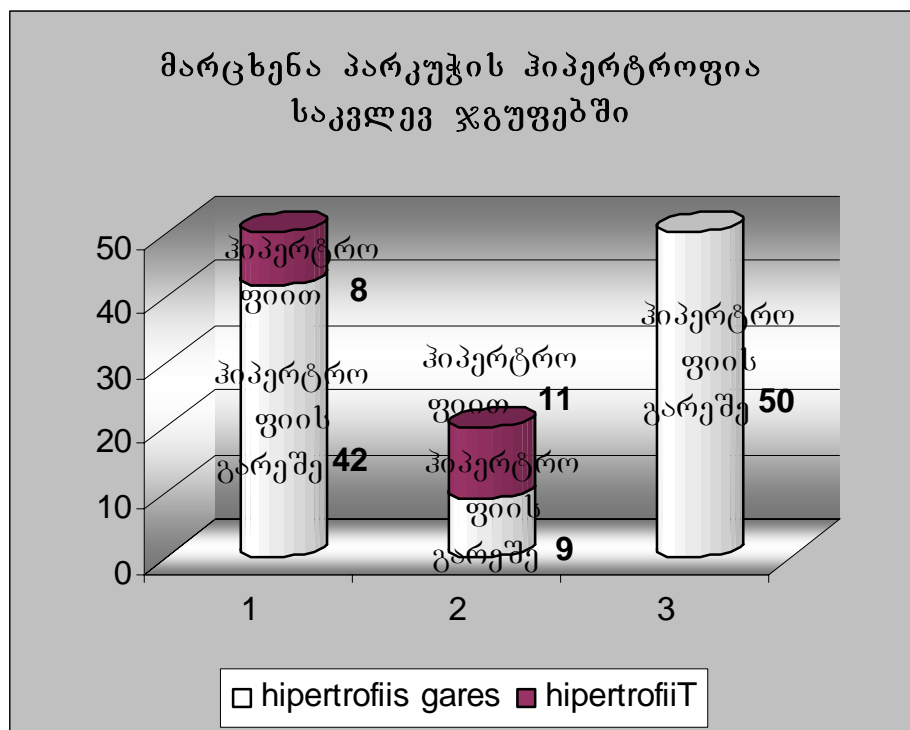
ხადვლები ჯგუფები მპ-ის მახისა და ზომების
გათვალისწინებით ქვეჯგუფების სელექციის შემდეგ



- 1 -- ვეტერანი სპორტსმენები მპ-ის პიპერტროფიის გარეშე
- 2 -- ვეტერანი სპორტსმენები მპ-ის პიპერტროფიით
- 3 -- საკონტროლო ჯგუფი
- 4 -- არტერიული პიპერტენზიით პაციენტები მპ-ის პიპერტროფიით
- 5 -- არტერიული პიპერტენზიით პაციენტები მპ-ის პიპერტროფიის გარეშე

სურათი 6

გარცხენა პარკუჭის პიპერტოფიის შემთხვევების
რაოდენობა ხაკვლევ ჯგუფებში



განმარტება: 1 – I ჯგუფი

2 – II ჯგუფი

3 – III ჯგუფი

Georgian 4

მარცხენა პარკუშის მასის, ზომების, განდევნის ფრაქციისაა და
დიასტოლური ავების დოპლერებული დიოგრაფიული მაჩვენებლები მასის
მასისა და ზომების გათვალისწინებით ქვეჯვების სელექციის შემდეგ
ფორმირებულ ქვეჯვებში და საკონტროლო ჯგუფში

	IA ჯგუფი	95% სი	II ჯგუფი	95% სი	III A ჯგუფი	95% სი
	საშ. ± SD		საშ. ± SD		საშ. ± SD	
$\Delta\theta^1*$ ($\theta\theta$)	12,8 ± 1,3	11,86- 13,64	9,3 ± 0,9	9,06- 9,58	12,9 ± 0,8	12,42- 13,40
$\beta\theta$ ($\theta\theta$) 2*	12,1 ± 1,0	11,44- 12,81	9,2 ± 1,0	8,93- 9,47	11,3 ± 1,3	10,52- 12,02
$\partial\beta\theta\varphi$ ($\theta\theta$) 3*	60,3 ± 1,0	59,53- 60,97	48,5 ± 3,7	47,42- 49,50	56,7 ± 1,4	55,89- 57,57
$\partial\beta\theta\alpha$ $\partial\beta\theta\beta$ 4*	148,1 ± 19,9	134,35- 161,92	75,1 ± 21,4	69,19- 81,04	119,3 ± 20,8	106,97- 131,60
$\partial\beta\%$ 5*	63,4 ± 1,7	59,93- 69,84	63,5 ± 2,2	29,99- 33,87	60,1 ± 2,0	58,90- 61,29
$E\mathbf{v}^6*$ m/s	0,6 ± 0,2	62,21- 64,54	1,0 ± 1,2	62,89- 64,09	0,4 ± 0,1	0,38- 0,47
$A\mathbf{v}^7*$ m/s	0,75 ± 1,67	0,50- 0,75	0,5 ± 0,1	0,8- 0,84	0,55 ± 0,05	0,52- 0,59
$E\mathbf{v}/A\mathbf{v}^8*$	0,8 ± 0,2	0,63- 0,87	1,7 ± 0,4	0,57- 0,63	0,74 ± 0,11	0,67- 0,80
DT^9*	276,25 ± 71,05	0,66-	228,9 ± 38,9	1,32-	235,9 ± 68,9	195,18-

$P^1** - IA-II <0,0001$, $P^1** - IA-III A >0,05$, $P^1** - II-III A <0,0001$
 $P^2** - IA-II <0,0001$, $P^2** - IA-III A >0,05$, $P^2** - II-III A <0,0001$
 $P^3** - IA-II <0,0001$, $P^3** - IA-III A >0,05$, $P^3** - II-III A <0,0001$
 $P^4** - IA-II <0,0001$, $P^4** - IA-III A <0,05$, $P^4** - II-III A <0,0001$
 $P^5** - IA-II <0,0001$, $P^5** - IA-III A <0,05$, $P^5** - II-III A <0,0001$
 $P^6** - IA-II <0,0001$, $P^6** - IA-III A <0,05$, $P^6** - II-III A <0,0001$
 $P^7** - IA-II >0,05$, $P^7** - IA-III A <0,05$, $P^7** - II-III A >0,05$
 $P^8** - IA-II <0,05$, $P^8** - IA-III A >0,05$, $P^8** - II-III A <0,05$
 $P^9** - IA-II <0,05$, $P^9** - IA-III A >0,05$, $P^9** - II-III A <0,05$

გწ		0,94		1,46		276,63
-----------	--	------	--	------	--	--------

3.1.1. დოპლერ-ექოკარდიოგრაფიული მონაცემები ვეტერან სპორტსმენებში.

დოპლერექოკარდიოგრაფიული მონაცემები შეისწავლებოდა ვეტერან სპორტსმენთა სამ ჯგუფში :

I ჯგუფი (ვეტერანი სპორტსმენების ერთიანი ჯგუფი),

IA ჯგუფი (ვეტერანი სპორტსმენები მპ-ის ჰიპერტოფიით),I

IB ჯგუფი (ვეტერანი სპორტსმენები მპ-ის ჰიპერტოფიის გარეშე)

გაანალიზებული იყო დოპლერ-ექოკარდიოგრაფიულ პარამეტრებს შორის კორელაციური კავშირები ჯგუფებში და ჯგუფებს შორის პარამეტრების შედარების შედეგები (იხ. ცხრ.5 და ცხრ 6).

I ჯგუფში გამოვლინდა კორელაცია მპმი- სა, კედლის სისქეებსა და დისტოლური ავსების მაჩვენებლებს შორის. კორელაციები აღნიშნულ მაჩვენებლებს შორის ნაჩვენებია გრაფიკებით. (გრ. 1, გრ. 2, გრ. 3, გრ 4)

ცხრილი 4 ა

მარცხენა პარკუჭის მასის ინდექსები IA, II, III და III A ჯგუფებში

	IA ჯგუფი		II ჯგუფი		III ჯგუფი		III A ჯგუფი	
	საშ±SD	CI	საშ±SD	CI	საშ±SD	CI	საშ±SD	CI
მპმი* გ/გ2	148,1±19,9	134,35- 161,92	75,1±21,4	69,19- 81,04	111,4±20,2	102,53- 120,19	119,3±20,8	106,97- 131,60
პგი** გ/გ 2.7	64.9±1.68	59,93- 69,84	31.9±7.0	29,99- 33,87	53.0±10.1	48,61- 57,53	58.9±8.2	54,05- 63,75

P* IA – IIIA <0,05

P** IA – IIIA >0,05

ცხრილი 5

არცხენა პარჯუჭის მასის, ზომების, განდევნის ფრაქციისაა და
დიასტოლური ავების დოპლერებულკარდიოგრაფიული მაჩვენებლები

I, IA, IB და II ჯგუფებში

	<i>I ჯგუფი</i>		<i>IA ჯგუფი</i>		<i>IB ჯგუფი</i>		<i>II ჯგუფი</i>	
	საშ.±SD	CI	საშ.±SD	CI	საშ.±SD	CI	საშ.±SD	CI
<i>კბდ</i> <i>(გგ) 1*</i>	10,2±1,5	9,81- 10,63	12,8±1,3	11,86- 13,64	12,9±1,3	11,86 13,85	9,3±0,9	9,06- 9,58
<i>კბ</i> <i>(გგ) 2*</i>	10,0±1,3	9,62- 10,34	12,1±1,0	11,44- 12,81	12,3±1,0	11,58 12,99	9,2±1	8,93- 9,47
<i>გვედრ</i> <i>(გგ) 3*</i>	54,1±3,4	53,15- 55,01	60,3±1,0	59,53 60,97	60,1±1,1	59,35 60,93	48,5±3,7	47,42 49,50
<i>გვით</i> <i>გ/გ²4*</i>	96,4±26,7	89,05 103,83	148,1±19,9	134,3 161,9	83,47±10,71	79,23- 86,77	75,1±21,4	133,5 164,9
<i>გ/გ</i> <i>2.75*</i>	43,0±11,2	39,90- 46,11	64,9±1,68	59,93 69,84	43,7±5,72	40,05- 45,95	31,9±7,0	29,99 33,87
<i>გვ%</i> <i>6*</i>	64,0±2,1	63,47- 64,61	64,9±1,68	59,93 69,84	64,9±7,72	59,26 70,70	31,9±7,0	29,99 33,87
<i>Ev</i> <i>m/s</i> <i>7*</i>	0,8±0,1	0,74- 0,81	0,6±0,2	0,50- 0,75	0,6±0,2	0,47- 0,73	0,82±0,07	0,8- 0,84
<i>Av</i> <i>m/s</i> <i>8*</i>	0,6±0,127	0,56- 0,64	0,75±1,67	0,63- 0,87	0,55±0,06	0,51- 0,59	0,6±0,1	0,57- 0,63
<i>Ev/Av</i> <i>9*</i>	1,23±0,32	1,23- 1,41	0,8±0,2	0,66- 0,94	1,01±0,3	0,75- 1,28	1,39±0,26	1,32- 1,46
<i>DT</i> <i>წგ10*</i>	211,4±48,2	198,03- 224,77	276,25±71,05	227,02- 325,48	112,9±11,12	104,61- 121,10	203,7± 25,5	196,6 210,7

P^{1*}	$IA - II < 0,00001$, $IA - IB < 0,00001$	$IB - II < 0,05$	$I - II < 0,00001$
P^{2*}	$IA - II < 0,00001$, $IA - IB < 0,00001$	$IB - II > 0,05$	$I - II < 0,00001$
P^{3*}	$IA - II < 0,00001$, $IA - IB < 0,00001$	$IB - II < 0,0001$	$I - II < 0,00001$
P^{4*}	$IA - II < 0,00001$, $IA - IB < 0,00001$	$IB - II < 0,05$	$I - II < 0,00001$
P^{5*}	$IA - II < 0,00001$, $IA - IB < 0,00001$	$IB - II < 0,00001$	$I - II < 0,00001$
P^{6*}	$IA - II < 0,00001$, $IA - IB > 0,05$	$IB - II > 0,05$	$I - II > 0,05$
P^{7*}	$IA - II < 0,00001$, $IA - IB < 0,001$	$IB - II > 0,05$	$I - II < 0,05$
P^{8*}	$IA - II > 0,05$, $IA - IB < 0,00001$	$IB - II < 0,00001$	$I - II > 0,05$
P^{9*}	$IA - II < 0,05$, $IA - IB > 0,05$	$IB - II < 0,00001$	$I - II > 0,05$
P^{10*}	$IA - II > 0,05$, $IA - IB > 0,05$	$IB - II < 0,00001$	$I - II > 0,05$

I^* – I ჯგუფი, IA^* – IA ჯგუფი, IB^* – II ჯგუფი, II^* – II ჯგუფი

ცხრილი 6

კორელაციური კავშირი მარცხენა პარკუჭის სტრუქტურულ და
დიასტოლური ფუნქციის მაჩვენებლებს შორის I ჯგუფში

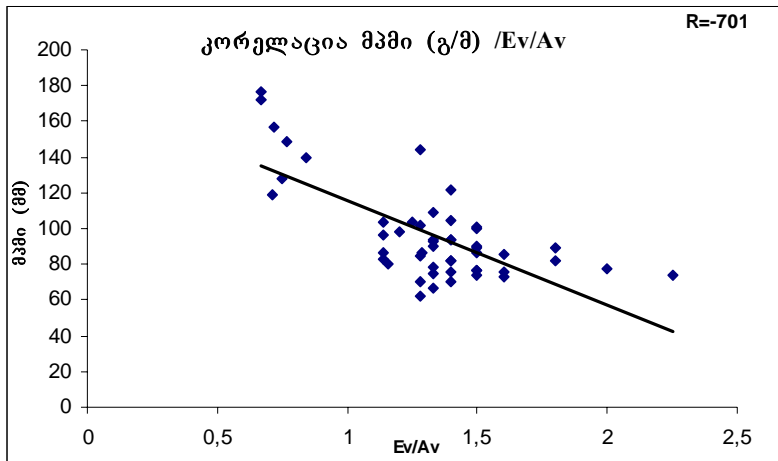
	$Ev \text{ m/s}$	$Av \text{ m/s}$	Ev/Av	DT
$\partial\partial$	-	-	-	-
($\partial\partial$)	,437(**)	,424(**)	,646(**)	,337(*)
p	0,002	0,002	0,000	0,017
($\partial\partial$)	,453(**)	,462(**)	,602(**)	,534(**)
p	0,001	0,001	0,000	0,000
$\partial\partial\partial\partial$	-	-	-	-
($\partial\partial$)	,372(**)	,497(**)	,591(**)	,430(**)
p	0,008	0,000	0,000	0,002
$\partial\partial\partial$	-	-	-	-
∂/∂	,546(**)	,445(**)	,701(**)	,482(**)
p	0,000	0,001	0,000	0,000
$\partial\partial\partial$	-	-	-	-

$\partial/\partial 2,7$,467(**)	,499(**)	-	,448(**)
p	0,001	0,000	0,000	0,001

გრაფიკი 1

კორელაცია მპ-ის მახის ინდექსს (გ/ზ) და Ev/Av

შეფარდებას შორის I ჯგუფში

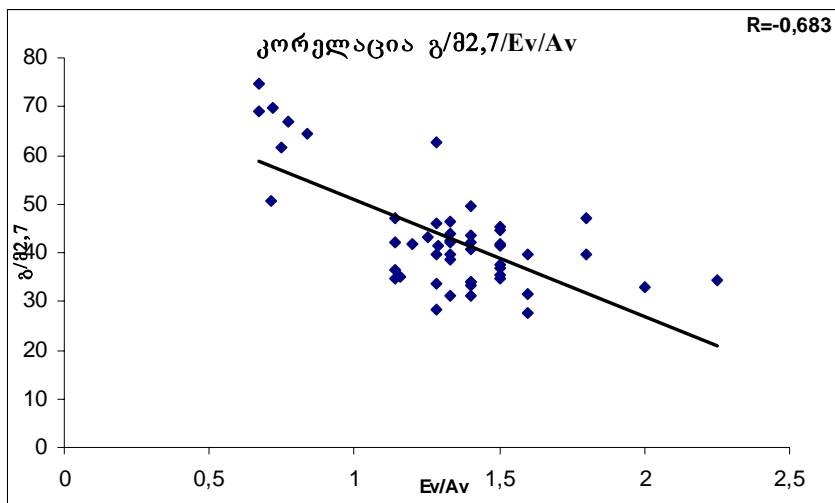


მაშასადამე, სპორტსმენებში მიღებარდიუმის მასასა და Ev/Av შეფარდებას შორის გამოვლინდა უარყოფითი კორელაციური კავშირი, რაც ნიშნავს იმას, რომ მარცხენა პარკუჭის მასის მატებას თან სდევს Ev/Av შეფარდების შემცირება. ჩვენს მიერ განსაზღვრულმა ორივე მასის ინდექსმა გამოავლინა მსგავსი კორელაციური დამოკიდებულება Ev/Av შეფარდების მიმართ (გრ.1, გრ. 2) სხვადასხვა ზედაპირის ფართობთან კორეგირებულ ინდექსსა და Ev/Av-ს შორის R=0,457, ხოლო (გ/ზ2,7) ინდექსსა და Ev/Av-ს შორის R=0,474

გრაფიკი 2

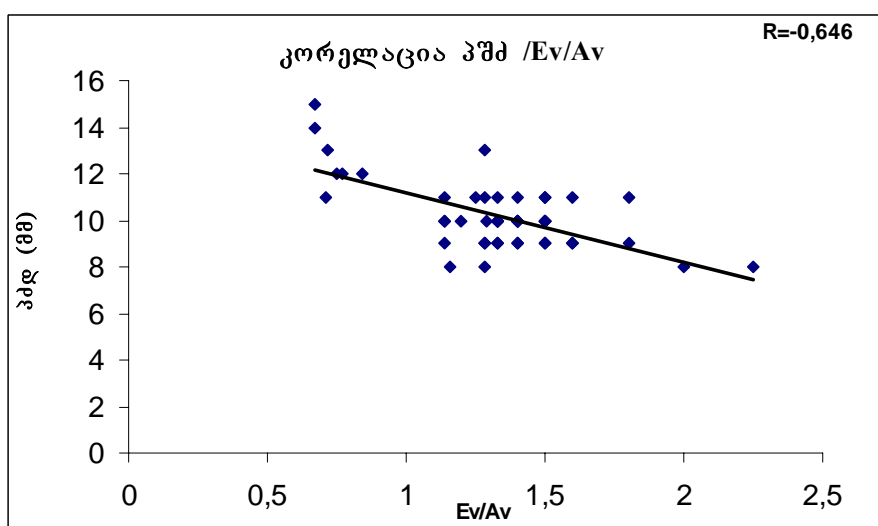
კორელაცია მპ-ის მახის ინდექსს (გ/ზ2,7) და Ev/Av

შეფარდებას შორის I ჯგუფში



უარყოფითი კორელაციური კავშირი გამოვლინდა აგრეთვე პარკუჭთაშუა ძგიდესა და Ev/Av შეფარდებას შორის (გრ.3)

გრაფიკი 3
კორელაცია პარკუჭთაშუა ძგიდესა და Ev/Av
შეფარდებას შორის I ჯგუფში

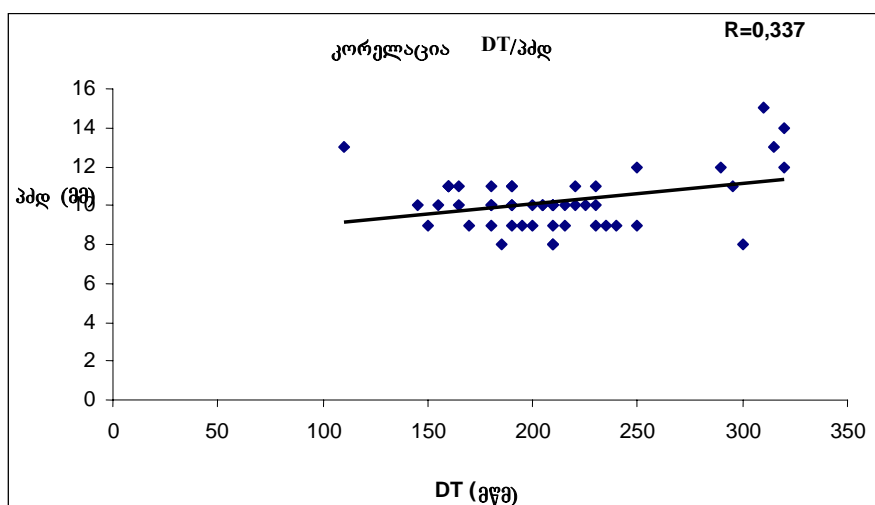


გრაფიკზე ასახული კორელაციური კავშირი პარკუჭთაშუა ძგიდის სისქესა და Ev/Av შეფარდებას შორის მიუთითებს, რომ პშმ სისქის მატება ასოცირებულია Ev/Av შეფარდების კლებასთან. მსგავსი კორელაცია ვლინდება მმედლ-სა და Ev/Av –შორის. ამდენად ვეტერან სპორტსმენებში (I ჯგუფში) მარცხენა პარკუჭის კედლის სისქეების, მასის ინდექსისა და მმედლ-ის მატება დაკავშირებული იყო Ev/Av თანაფარდობის შემცირებასთან. განსხვავებული კავშირურთიერთობა გამოვლინდა მარცხენა პარკუჭის სტრუქტურულ

მაჩვენებლებსა და დიასტოლური ავსების შენელების დროს (DT) შორის. მარცხენა პარკუჭის კედლის სისქეებისა და მასის მატებასთან სდევდა DT-ს მატება.

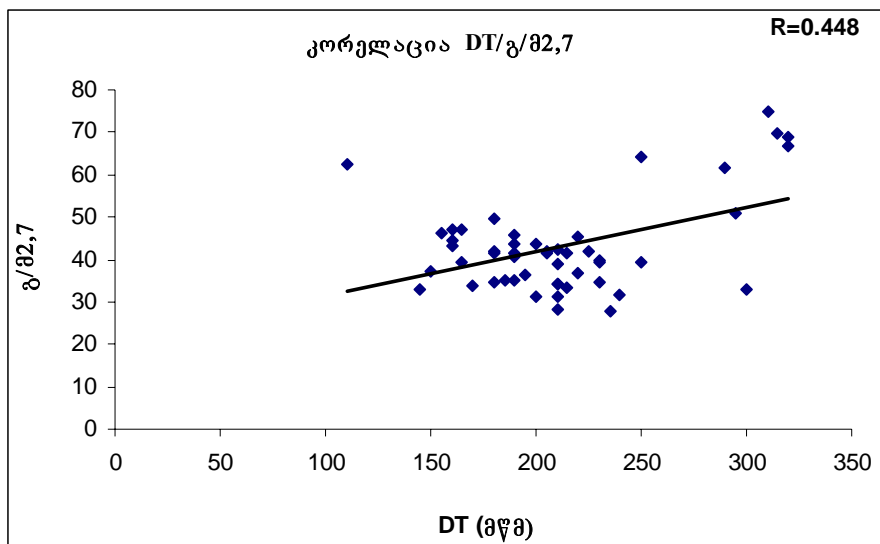
გრაფიკი 4

კორელაცია დიასტოლური ავსების შენელების დროს (DT) და
პარკუჭთა მუხა ძიიდის სისქეების შორის I ჯგუფში



გრაფიკი 5

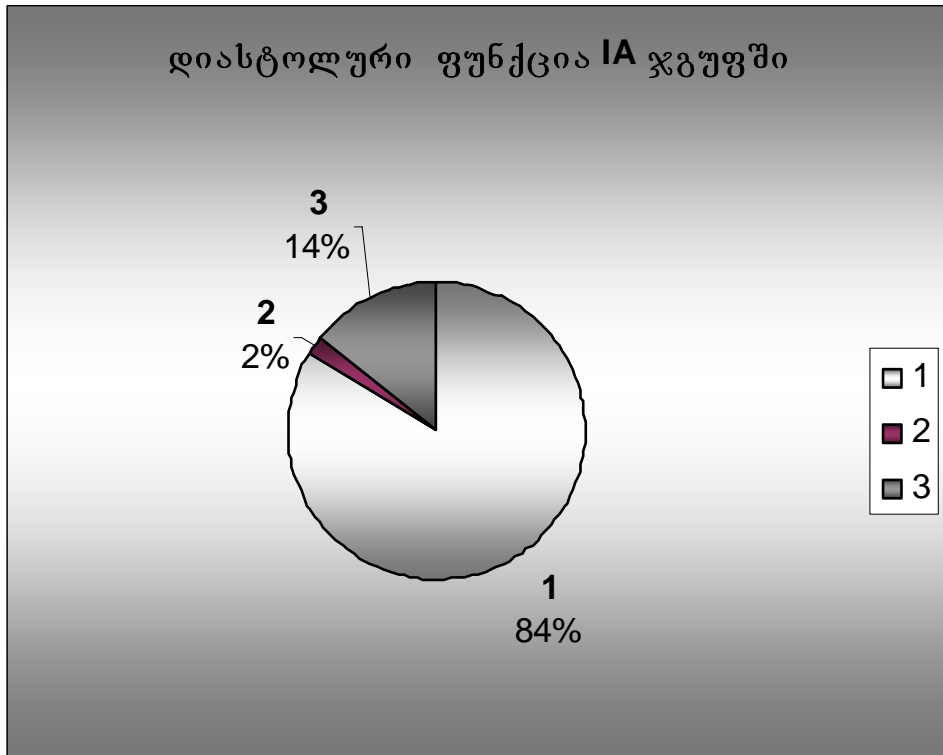
კორელაცია დიასტოლური ავსების შენელების დროს (DT) და
გვირა გასის ინდუქცია (გ/მ2,7) შორის I ჯგუფში



ზემოაღნიშნულიდან გამომდინარე, შეიძლება დავასკვნათ, რომ ვეტერანი სპორტსმენების ჯგუფში მპ-ის მასისა და ზომების მატება ასოცირდებოდა Ev/Av კლებასთან და DT-ს მატებასთან, რაც დამახასიათებელია რელაქსაციის დარღვევის ტიპის დიასტოლური დისფუნქციისათვის. I ჯგუფიდან გამოყოფილი მპ-ის ჰიპერტოფიის კრიტერიუმების მქონე სპორტსმენებით ფორმირებული IA ჯგუფის კვლევის შედეგების ანალიზმა აჩვენა, რომ მპ-ის ჰიპერტოფიის მქონე ვეტერან სპორტსმენთა უმრავლესობას აღენიშნება რელაქსაციის დარღვევის ტიპის დიასტოლური დისფუნქცია ვეტერან სპორტსმენთა უმრავლესობას აღენიშნება რელაქსაციის დარღვევის ტიპის დიასტოლური დისფუნქცია (იხ.ცხრილი 7)

სურათი 7

დიასტოლური ფუნქცია ვეტერან სპორტსმენებში



- 1 – დიასტოლური ფუნქცია შენახული
- 2 – დიასტოლური დისფუნქცია რესტრიქციული ტიპის
- 3 – დიასტოლური დისფუნქცია- რელაქსაციის დარღვევის ტიპი

მხოლოდ ერთ შემთხვევაში გამოვლინდა მძიმე რესტრიქციული ტიპის დიასტოლური დისფუნქცია გულის უპარისობის სიმტომების მანიფესტაციის გარეშე. (იხ.ცხრილი 7)

ცხრილი 7

დოპლერულკორდიოგრაფიული მონაცემები კეტერან სპორტსმენებში

მას-ის პიპერტოფიით

N	კბბ (გგ)	უპ (გგ)	პედდ (გგ)	პბი გ/გ გ/გ2.7	ბვ %	Ev m/s	Av m/s	Ev/Av	DT გვგ
7.	13	13	59	157 69,68	64	0,51	0,7	0,72 (<1)	315
8.	12	12	60	128 61,42	67	0,72	0,95	0,75 <td>290</td>	290
9.	14	13	61	172,01 68,88	63	0,47	07	0,67 (<1)	320
10	11	11	62	119,08 50,76	62	0,5	0,7	0,71 (<1)	295
17.	15	13	60	176,18 74,76	62	0,4	0,6	0,67 (<1)	310
23.	12	11	61	140 64,27	63	0,8	0,95	0,84(>1)	250
29.	13	11	59	143,78 62,48	62	0,9	0,5	1,28 <td>110</td>	110
49.	12	13	60	149 66,86	64	0,7	0,9	0,77 <td>320</td>	320

1.1. დოპლერ-ექოგარდიოგრაფიული მონაცემები არტერიული პიპერტენზიით პაციენტების ჯგუფში (III ჯგუფი)

არტერიული პიპერტენზიით პაციენტებში შესწავლილი იყო მპ-ის სტრუქტურული და სისტოლურ-დიასტოლური ფუნქციის მაჩვენებლები. გაანალიზებული იყო კორელაციური კავშირები აღნიშნულ პარამეტრებს შორის.(იხ.ცხრ. 8) პაციენტებში არტერიული პიპერტენზიით გამოვლინდა კორელაცია პარკუჭთაშუა ძგიდის სისქესა , მარცხენა პარკუჭის მასის ინდექსა

(გ/მ2,7) და დიასტოლური ავსების მაჩვენებლებს შორის, აგრეთვე მპ-ის ენდდიასტოლურ დიამეტრსა და დიასტოლური ავსების მაჩვენებლებს შორის

ცხრილი 8

კორელაციური კავშირი მარცხენა პარკუჭის სტუქტურულ და დიასტოლური ფუნქციის მაჩვენებლებს შორის III ჯგუფში

	<i>Ev m/s</i>	<i>Av m/s</i>	<i>Ev/Av</i>	<i>DT</i>
ჯღ <i>(გგ)</i>	r=- <u>,470(*)</u>	<u>r=,661(**)</u>	r=- <u>,742(**)</u>	r=0,282
p	0,037	0,001	0,000	0,229
ჯღ <i>(გგ)</i>	r=- 0,321	r=0,353	r=- 0,419	r=0,261
p	0,167	0,127	0,066	0,267
გვერდი <i>(გგ)</i>	r=- 0,306	<u>r=,762(**)</u>	r=- <u>,731(**)</u>	r=0,054
p	0,189	0,000	0,000	0,823
გვერდი <i>გ/პ</i>	r=- 0,010	<u>r=.502(*)</u>	-0,319	r=- 0,024
p	0,967	0,024	0,170	0,919
გვერდი <i>გ/გ2,7</i>	r=- 0,344	<u>r=.613(**)</u>	r=- <u>,645(**)</u>	r=0,278
p	0,138	0,004	0,002	0,235

(*) $P < 0,05$

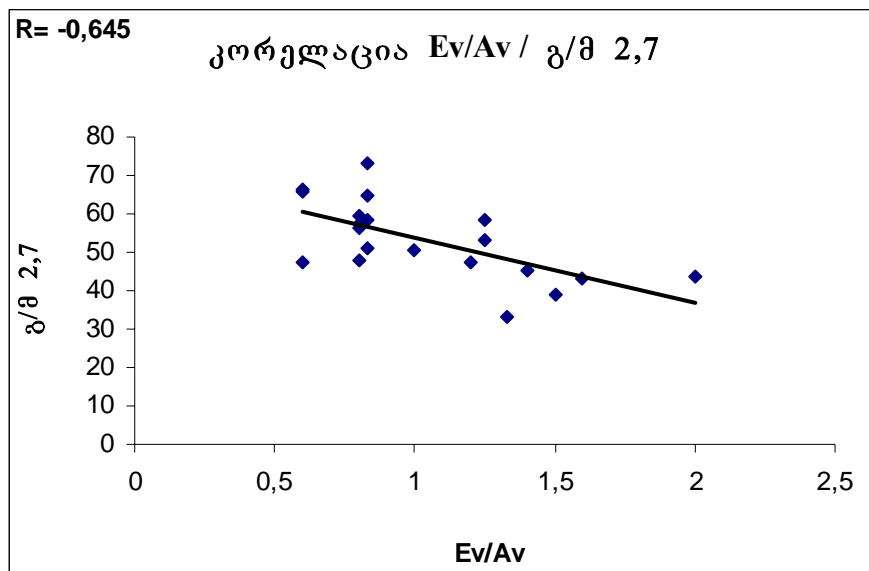
(**) $P < 0,001$

მსგავსად ვეტერანი სპორტსმენებისა პაციენტებში არტკიპერტენზიით მპ-ის მასის ზრდა ასოცირებული იყო *Ev/Av* თანაფარდობის შემცირებასთან; ანალოგიური კავშირი გამოვლინდა პარკუჭთაშუა ძგიდის სქესა, მპ-ის ენდდიასტოლურ დიამეტრსა და *Ev/Av* მაჩვენებლებს შორის. (იხ.: გრ 6; გრ 7; გრ 8)

გრაფიკი 6

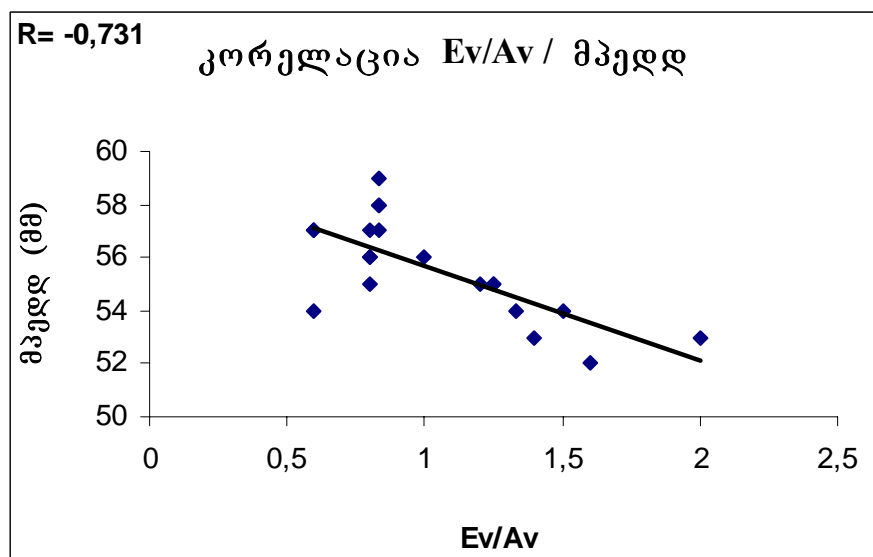
კორელაცია მპ-ის გასის ინდექსსა (გ/გ2,7) და *Ev/Av*

გეფარდებას შორის III ჯგუფი



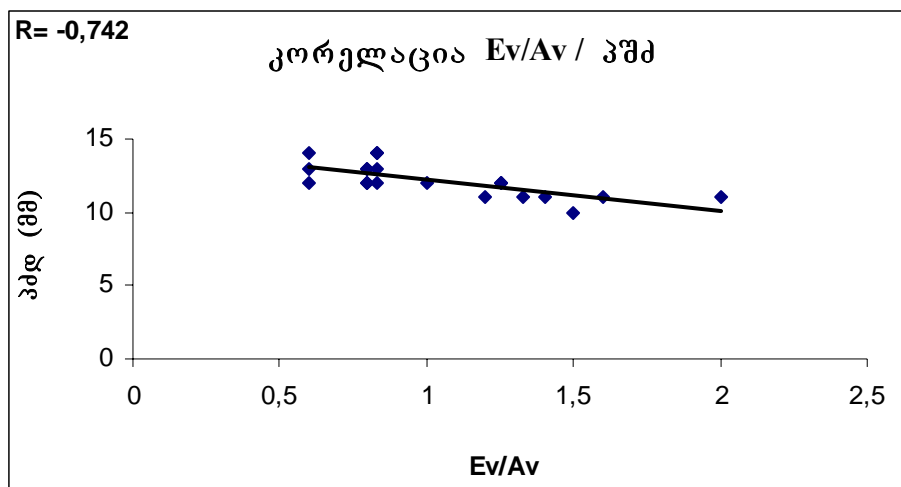
გრაფიკი 7

კორელაცია მპ-ის ენდოიასტოლურ დიამეტრსა და Ev/Av
გეფარდებას შორის III ჯგუფში



გრაფიკი 8

კორელაცია პერიოდის ხილება და Ev/Av გეფარდება
შორის III ჯგუფში



არტერიული ჰიპერტენზით პაციენტებში, განსხვავებით სპორტსმენებისაგან პრევალირებდა დიატოლური დისფუნქციის ფსევდონორმალიზაციის ტიპი - 8 (40%). მხოლოდ სამ შემთხვევაში გამოვლინდა რელაქსაციის დარღვევის ტიპი 3(15%). (იხ.ცხრ 9 და სურ.10)

ცხრილი 9

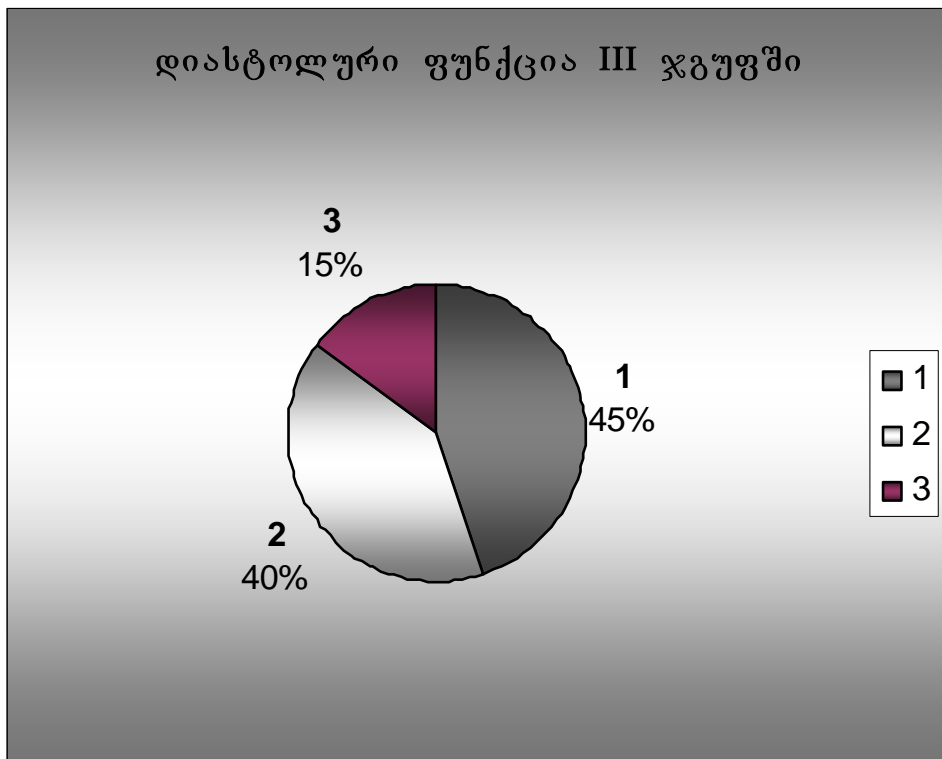
დოკლერ-ექოკარდიოგრაფიული მონაცემები პაციენტებში არტერიული

პიპერტენზით და პიპერტროფით

N	პშ (გგ)	ვპ (გგ)	მპედ (გგ)	მპი გ/გ გ/გ2.7	გვ%	Ev m/s	Av m/s	Ev/Av	DT გწგ
1*.	12	9	55	106,2 47,94	59	0,5	0,6	0,8	225
2.*	13	12	56	97,72 56,35	63	0,4	0,5	0,8	140
3.**	14	12	57	101,01 65,91	64	0,4	0,6	0,6	285
4.**	13	13	54	98,12 66,25	60	0,3	0,5	0,6	320
5.*	14	12	58	143,87 64,82	60	0,5	0,6	0,83	140
6.*	12	11	57	119,6 51,01	60	0,5	0,6	0,83	140
7*.	13	11	56	127,97 57,37	58	0,4	0,5	0,8	230
8.*	13	10	58	126,02 58,23	57	0,5	0,6	0,83	170
9.**	12	10	57	106,15 47,37	61	0,3	0,5	0,6	320
10*	12	11	57	121,18 59,22	60	0,4	0,5	0,8	205
11*.	14	13	59	164,26 73,41	59	0,5	0,6	0,83	240

** დიასტოლური დისფუნქცია რელაქსაციის დარღვევის ტიპი

* დიასტოლური დისფუნქცია ფხევდონორმალიზაციის ტიპი



- 1 – დიასტოლური ფუნქცია შენახული
- 2 -- დიასტოლური დისფუქცია- რელაქსაციის დარღვევის ტიპი
- 3 -- დიასტოლური დისფუქცია- ფსევდონორმალიზაციის ტიპი

3.2 დატვირთვის ტესტის მონაცემები საკვლევ ჯგუფებში

დატვირთვის სტრეს-ტესტის შედეგების ანალიზმა აჩვენა ჯგუფებს შორის სარწმუნო განსხვავებები ტესტის მაჩვენებლების მიხედვით. (იხ.ცხრილი 12, ცხრ.13, ცხრ 14, ცხრ 15)

საკვლევ ჯგუფებში განსხვავებული იყო ტესტის შეწყვეტის სხვადასხვა მიზეზის პროცენტული რაოდენობა. ტესტის შეწყვეტის მიზეზი ვეტერან სპორტსმენებში იყო რითმის მაქსიმალური ასაკობრივი მნიშვნელობის მიღწევა- 2 (4%), დაღლა - 42 (84%), სისტოლური არტერიული წნევის მატება >230 მმ.ვ.წ.ს 2(4%), ST სეგმენტის ირიბი დაღმავალი და პორიზონტალური დეპრესია >2მმ -2(4%). საკონტროლო ჯგუფში ტესტის შეწყვეტის ძირითადი მიზეზი იყო დაღლა - 49 (98%), პაციენტებში არტერიული ჰიპერტენზიით ტესტის შეწყვეტის მიზეზები იყო დაღლა - 1 (2%) სისტოლური არტერიული წნევის კრიტიკული მატება- 13(93%, დიასტოლური არტერიული წნევის კრიტიკული მატება 5 (%). (იხ. ცხრილი 11)

ცხრილი 11

დატვირთვის ტესტის შეწყვეტის მიზეზები საკვლევ ჯგუფებში

	რითმის მაქს.ასაკმნიშ. მიღწევა N(%)	დაღლა N(%)	სისტ.არტ. წნევის მატება > 230 მმ.ვ.წ.ს 3 N(%)	დიასტ. არტ. წნევის მატება >130 მმ.ვ.წ.ს 3 N(%)	ST დეპრესია >2მმ N(%)	სხვა მიზეზ. N(%)
ვეტერანი სპორტსმენები	2 (4%)	42 (84%)	2(4%)	0	2(4%)	2(4%)
საკონტროლო ჯგუფი	0	49 (98%)	0	0	0	1 (2%)
პაციენტები ჰიპერტენზიით	0	1 (2%)	13 (93%)	5 (%)	1 (2%)	0

ეველა საკვლევ ჯგუფში გაანალიზებული იყო QT ინტერვალის დისპერსიის (QTd) ცვლილება დატვირთვის ტესტის განმავლობაში და დატვირთვის ტესტის არაელექტროკარდიოგრაფიული მაჩვენებლები: ფუნქციურუნარიანობა (მაქსიმალური შესრულებული მუშაობა), დატვირთვაზე ქრონოტროპული პასუხის

პარამეტრები, რითმის აღდგენის მაჩვენებელი და არტერიული წნევის სისტოლური და დიასტოლური მაჩვენებლების დინამიკა.

QTd-ის მოსვენების საშუალო ჯგუფური მაჩვენებელი I ჯგუფში იყო ნორმის ფარგლებში, ხოლო $\Delta QTd < 0$. QTd-ის მოსვენების მაჩვენებელი, ისევე როგორც QTd-ის ცვლილება დატვირთვის ტესტის განმავლობაში (ΔQTd) სარწმუნოდ არ განსხვავდებოდა ვეტერანი სპორტსმენების ერთიან ჯგუფსა და საკონტროლო ჯგუფს შორის(იხ. ცხრ 12). QTd-ის მოსვენების მაჩვენებელი III ჯგუფში მნიშვნელოვნად და სარწმუნოდ აღემატებოდა I და II ჯგუფის შესაბამის მაჩვენებელს. არტერიული ჰიპერტენზით პაციენტებში $\Delta QTd > 0$ განსხვავებით ვეტერანი სპორტსმენებისა და საკონტროლო ჯგუფისაგან(იხ. ცხრ 12)..

ცხრილი 12

QT ინტერვალის დისპერსიის მაჩვენებლები საკვლევ ჯგუფებში

ჯგუფ- პარამეტრი	I ჯგუფი		IA ჯგუფი		IB ჯგუფი		II ჯგუფი		III ჯგუფი		IIIA ჯგუფი	
	საშ ± SD	95% bo	საშ ± SD	95% bo	საშ ± SD	95% bo	საშ ± SD	95% bo	საშ ± SD	95% bo	საშ ± SD bo	95% bo
	QTd გონიერება *	36,8 ± 16,5	39,5- 60,4	50,0 ± 15,1	39,5- 60,4	34,3 ± 15,6	29,5- 39,0	38,4 ± 14,2	34,4- 42,3	60,0 ± 14,9	34,4- 42,3	59,09 ± 15,78
ΔQTd^{**}	-3,0 ± 14,2	8,90- 23,6	16,3 ± 10,6	8,90- 23,60	-6,7 ± 11,6	- 10,18- -3,15	-7,6 ± 11,5	- 10,80- -4,40	7,0 ± 8,6	- 10,80- -4,40	4,55 ± 6,88	0,48- 8,61

P* I- II>0,05, I—III<0,00001 , II—III<0,00001 , IA--II<0,05 , IA---IB <0,05 , IA—IIIA>0,05 , IIIA --- II<0,001

P** I—II>0,05 , I—II<0,00001I , II—II<0,00001I , IA ---- II<0,00001 , IA---IB<0,00001 , IA—IIIA<0,05

, IIIA --- II<0,00001

დატვირთვის ტესტის განმავლობაში QTd-ს დინამიკა სარწმუნოდ განსხვავდებოდა IA და IB ჯგუფებში. IA ჯგუფში $\Delta QTd > 0$, ხოლო IB ჯგუფში $\Delta QTd < 0$ (იხ. ცხრ 12). მაშასადამე, ვეტერან სპორტსმენებში მპ-ის ჰიპერტენზით, ისევე როგორც პაციენტებში არტერიული ჰიპერტენზით, დატვირთვის ტესტის განმავლობაში $\Delta QTd > 0$. ამისაგან განსხვავებით ვეტერან სპორტსმენებში მპ-ის

პიპერტროფიის გარეშე და საკონტროლო ჯგუფში $\Delta QTd < 0$. QTd ის დინამიკის ხასიათი საკვლევ ჯგუფებში ასახულია *ცხრილში 13* და **სურ.11**

ცხრილი 13

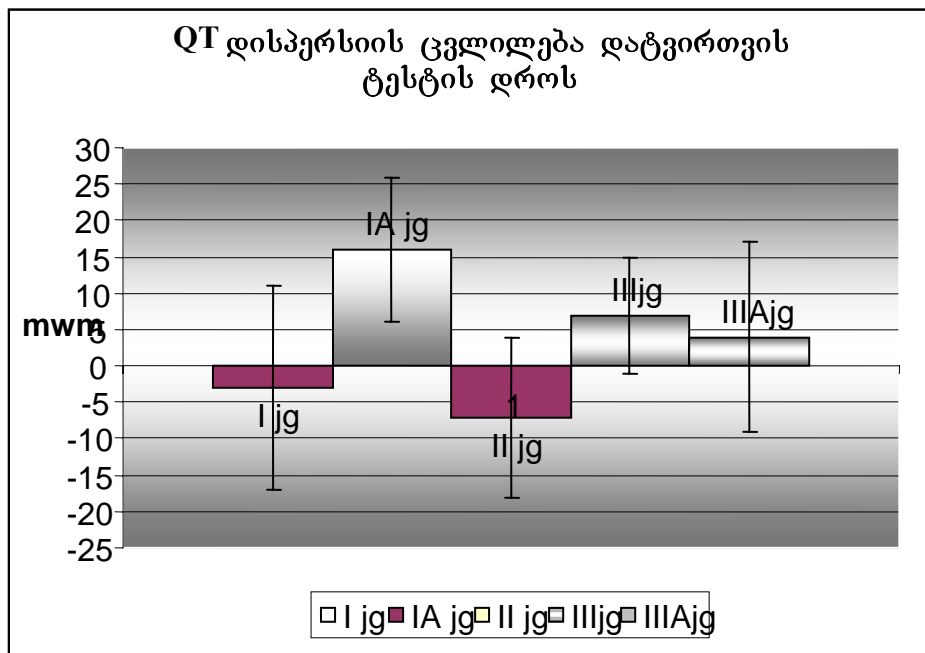
QTd ის დინამიკის ხასიათი საკვლევ ჯგუფებში

	QTd↑* n(%)	QTd↓* n(%)	QTd (0)* n(%)
I ჯგუფი	8 (16%)	11 (22%)	31 (64%)
IA ჯგუფი	7 (87,5%)	1 (12,5%)	0
IB ჯგუფი	1 (2,56%)	10 (25,65%)	31 (71,79%)
II ჯგუფი	1 (2%)	25 (50%)	24 (48%)
III ჯგუფი	9 (45%)	0	11 (55%)
III A ჯგუფი	4 (36,36%))	0	7 (63,64%))

$QTd \uparrow^*$ - *QTd* ის ზრდა დატვირთვისას

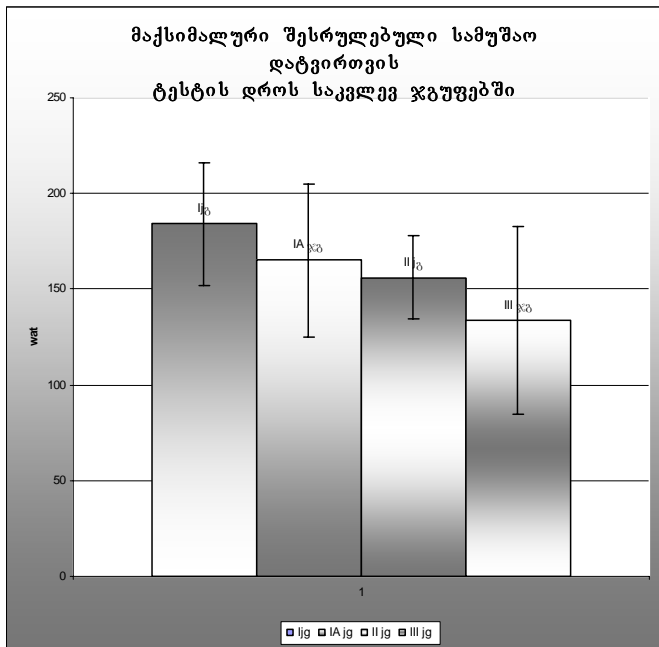
$QTd \downarrow^*$ - *QTd* ის შემცირება დატვირთვისას

$QTd (0)^*$ - *QTd* უცვლელი დატვირთვისას



მაქსიმალური შესრულებული სამუშაოს (**გვ. 1**) მნიშვნელობა I ჯგუფში აღემატებოდა II და III ჯგუფში ანალოგიური მაჩვენებლის მნიშვნელობას. მესამე ჯგუფში **გვ.** ნაკლები იყო II ჯგუფთან შედარებით. IA და IB ჯგუფებს შორის სარწმუნო განსხვავება **გვ.** – ს მიხედვით არ გამოვლინდა. IA ჯგუფში **გვ.** – ს მნიშვნელოვნად მეტი იყო IIIA ჯგუფთან შედარებით. (იხ. **ცხრ. 14. ცხრ. 15. ცხრ. 16. სურ.13**)

სურათი 12



გცს პიჯური მნიშვნელობა (გცს პიკი) I ჯგუფში აღემატებოდა II და III ჯგუფში შესაბამისი მაჩვენებლის მნიშვნელობას. მესამე ჯგუფში **გცს პიკი** ნაკლები იყო II ჯგუფთან შედარებით. IA და IB ჯგუფებს შორის სარწმუნო განსხვავება **გცს პიკი** –ს მიხედვით არ გამოვლინდა. IA ჯგუფში **გცს პიკი** მეტი იყო IIIA ჯგუფთან შედარებით. (იხ. ცხრ 14. ცხრ 15. ცხრ 16. ცხრ 17.)

მაქსიმალური ასაკობრივი გცს –ს 85%-ის მიღწევის დადებითი მაჩვენებელი (**გცს 85%-ის მიღწევა** ანუ შემთხვევები, როდესაც დატვირთვის ტესტის დროს მიღწეული იყო გცს-ის მაქსიმალური ასაკობრივი მნიშვნელობის 85%) ასევე მნიშვნელოვნად და სარწმუნოდ მეტი იყო I ჯგუფში, როგორც III, ასევე II ჯგუფთან შედარებით ($p<0,05$ II და III ჯგუფებს შორის განსხვავება აღნიშნული მაჩვენებლის მიხედვით სტატისტიკურად სარწმუნო არ აღმოჩნდა(იხ. ცხრ 14 ცხრ 17)

ՀԱՀՈՎԵՐԾՈԹԵՐԾՈՎԸ ՁԱՑՅՈՒԹՈՎՈՒՅ ԾԵԿՑՈՒ ԱՐԱՀԱՆՄԱՆ ՀՐԱՄԱՆԱԳՐԱԳՈՎՈՒՅԸ
ԱՐԱԺԵՄՐԵՋՈՒՅ Ա, Բ և Ծ ՀՃԱՑՅԵՋՇՈ

	I ՀՃԱՑՅՈՒ		II ՀՃԱՑՅՈՒ		III ՀՃԱՑՅՈՒ	
	$b \pm SD$	95% ԼՕ	$b \pm SD$	95% ԼՕ	$b \pm SD$	95% ԼՕ
$\partial \partial b(w)^1*$	$184,5 \pm 32,3$	175,55- 193,45	$156,0 \pm 21,8$	149,97- 162,03	$132,9 \pm 42,5$	113,77- 152,02
$\partial \partial b^2*$ $\partial m b_3$	$77,1 \pm 5,8$	75,51- 78,73	$77,1 \pm 5,6$	75,54- 78,62	$80,3 \pm 6,4$	77,44- 83,19
$\partial \partial b^3*$ $\partial n j_0$	$154,9 \pm 7,9$	152,72- 157,08	$146,5 \pm 8,4$	144,17- 148,83	$138,3 \pm 19,4$	129,59- 147,04
$\partial \partial b^{85\%4}*$ $\partial n \rho.$	70%		60%		40%	
$\partial \partial b^{15\%5}*$	$77,3 \pm 10,4$	74,47- 80,21	$69,3 \pm 9,2$	66,71- 71,81	$59,7 \pm 23,3$	49,22- 70,15
$\partial \partial \partial b^6*$	$76,6 \pm 8,2$	74,38- 78,90	$69,7 \pm 8,2$	67,45- 72,03	$60,7 \pm 22,4$	50,69- 70,79
$\partial \partial b^7*$ $40-100$	$59,6 \pm 7,8$	57,47- 61,81	$49,6 \pm 12,6$	46,06- 53,06	$37,9 \pm 16,9$	30,32- 45,47
WL^8* 100	$92,0 \pm 19,8$	86,50- 97,50	$75,5 \pm 20,5$	69,82- 81,18	$69,6 \pm 21,3$	60,03- 79,23
$\partial \partial b^9*$ $\partial n \rho.$	$25,0 \pm 4,8$	23,70- 26,38	$22,0 \pm 7,3$	19,97- 23,99	$16,6 \pm 6,7$	13,56- 19,60
$b \beta^{10}*$ $\partial m b_3$	$120,7 \pm 8,9$	118,23- 123,17	$123,6 \pm 8,3$	121,29- 125,91	$132,1 \pm 11,6$	126,90- 137,31
$\beta \beta^{11}*$ $\partial m b_3$	$78,6 \pm 6,7$	76,74- 80,46	$78,2 \pm 5,1$	76,78- 79,62	$88,2 \pm 10,6$	83,41- 92,91

<i>b_of^{12*}</i> <i>ʒoʒo</i>	<i>191,2±16,4</i>	186,66- 195,74	<i>181,3±13,7</i>	177,49- 185,11	<i>221,1±11,5</i>	215,88- 226,22
<i>g_of^{13*}</i> <i>ʒoʒo</i>	<i>81,7±8,9</i>	79,23- 84,17	<i>84,0±8,8</i>	81,56- 86,44	<i>121,6±3,7</i>	119,89- 123,26
<i>A b_of^{14*}</i>	<i>70,5±18,1</i>	65,49- 75,51	<i>57,7±15,6</i>	53,37- 62,03	<i>84,5±29,0</i>	71,78- 97,22
<i>A g_of^{15*}</i>	<i>3,1±7,6</i>	0,99- 5,21	<i>5,8±8,6</i>	3,42- 8,18	<i>31,8±11,0</i>	26,91- 36,59

p^{1*} I – II <0,00001, I – III<0,00001, II — III < 0,001

p^{2*} I – II>0,05, I – III> 0,05, II — III <0,05

p^{3*} I – II<0,00001, I – III<0,00001, II — III <0,05

p^{4*} I – II<0,05, I – III<0,05, II — III<0,05

p^{5*} I – II<0,00001, I – III<0,00001, II — III<0,05

p^{6*} I – II<0,00001, I – III<0,00001, II — III<0,05

p^{7*} I – II<0,00001, I – III<0,00001, II — III<0,05

p^{8*} I – II<0,00001, I – III< 0,001, II — III> 0,05

p^{9*} I – II<0,05, I – III < 0,001, II — III<0,05

p^{10*} I – II> 0,05, I – III<0,001, II — II<0,001

p^{11*} I – II> 0,05, I – III<0,001, II — III<0,001

p^{12*} I – II<0,001, I – III<0,001, II — III<0,001

p^{13*} I – II>0,05, I – III<0,001, II — III<0,001

p^{14*} I – II<0,00001, I – III<0,00001, II — III<0,001

p^{15*} I – II >0,05, I – III<0,00001, II — III<0,00001

მნიშვნელოვნად არ განსხვავდებოდნენ მგცს 85%-ის მიღწევის მაჩვენებლის მიხედვით IA და IB ჯგუფები (p>0,05). IA ჯგუფში მგცს 85%-ის მიღწევის მაჩვენებელი სარწმუნოდ მეტი იყო II და III ჯგუფებთან შედარებით.(p<0,05) (იხ.ცხრ. 15, ცხრ 17)

**კელოურგომეტრული დატვირთვის ტესტის არაელექტროკარდიოგრაფიული
პარამეტრები კეტერან სპორტსმენებსა და საკონტროლო ჯგუფში**

	I ჯგუფი	95% სი	IA ჯგუფი	95% სი	IB ჯგუფი	95% სი	II ჯგუფი	95% სი
	$\bar{x} \pm SD$		$\bar{x} \pm SD$		$\bar{x} \pm SD$		$\bar{x} \pm SD$	
$\partial\partial b(w)^I*$	$184,5 \pm 32,3$	175,55- 193,45	$165,6 \pm 39,9$	137,94- 193,31	188,1±29,9	179,07- 197,12	$156,0 \pm 21,8$	149,97- 162,03
∂Gb^2* ∂m_{b3}	$77,1 \pm 5,8$	75,51- 78,73	$80,1 \pm 6,0$	75,99- 84,26	76,5±5,6	74,84- 78,26	$77,1 \pm 5,6$	75,54- 78,62
∂Gb^3* ∂o_{j0}	$154,9 \pm 7,9$	152,72- 157,08	$147,1 \pm 9,9$	140,24- 154,01	156,4±6,5	154,40- 158,36	$146,5 \pm 8,4$	144,17- 148,83
$\partial\partial Gb^{85\%4}*$ ∂o_{j0}	70%		75%		80%		60%	
$\partial Gb^{10\%5}*$	$77,3 \pm 10,4$	74,47- 80,21	$67,9 \pm 12,8$	58,99- 76,76	79,1±8,9	76,44- 81,84	$69,3 \pm 9,2$	66,71- 71,81
$\partial Gb^{10\%6}*$	$76,6 \pm 8,2$	74,38- 78,90	$71,7 \pm 8,1$	61,28- 75,97	$74,8 \pm 0,1$	68,25- 75,8	$69,7 \pm 8,2$	67,45- 72,03
∂Gb^{7*} $40-100$	$59,6 \pm 7,81$	57,47- 61,81	$52,1 \pm 12,1$	43,71- 60,54	$61,1 \pm 5,9$	59,28- 62,87	$49,6 \pm 12,6$	46,06- 53,06
WL^8* 100	$92,0 \pm 19,8$	86,50- 97,50	$81,3 \pm 29,1$	61,07- 101,43	$94,0 \pm 17,3$	88,82- 99,28	$75,5 \pm 20,5$	69,82- 81,18
∂Gb^{9*} ∂o_{j0}	$25,0 \pm 4,8$	23,70- 26,38	$22,5 \pm 6,8$	17,80- 27,20	$25,5 \pm 4,3$	24,22- 26,82	$22,0 \pm 7,3$	19,97- 23,99
$b\delta\beta^{10*}$ ∂m_{b3}	$120,7 \pm 8,9$	118,23- 123,17	$120,0 \pm 11,3$	112,14- 127,86	$120,8 \pm 8,5$	118,25- 123,42	$123,6 \pm 8,3$	121,29- 125,91
$\delta\delta\beta^{11*}$ ∂m_{b3}	$78,6 \pm 6,7$	76,74- 80,46	$81,3 \pm 4,4$	78,18- 84,32	$78,1 \pm 7,0$	75,98- 80,21	$78,2 \pm 5,1$	76,78- 79,62
$b\delta\beta^{12*}$ ∂o_{j0}	$191,2 \pm 16,4$	186,66- 195,74	$195,6 \pm 20,3$	181,59- 209,66	$190,4 \pm 15,7$	185,62- 195,10	$181,3 \pm 13,7$	177,49- 185,11

$\rho \delta \beta^{13*}$ $\beta \alpha \beta \alpha$	$81,7 \pm 8,9$	79,23- 84,17	$91,3 \pm 8,3$	85,47- 97,03		$79,9 \pm 7,8$	77,51- 82,25	$84,0 \pm 8,8$
$\Delta b \delta \beta^{14*}$	$70,5 \pm 18,1$	65,49- 75,51	$75,6 \pm 15,0$	65,24- 86,01		$69,5 \pm 18,6$	63,90- 75,15	$57,7 \pm 15,6$
$\Delta \rho \delta \beta^{15*}$	$3,1 \pm 7,6$	0,99- 5,21	$10,0 \pm 8,9$	3,86- 16,14		$1,8 \pm 6,7$	-0,24- 3,81	$5,8 \pm 8,6$

p^{1*} IA - II < 0,01 , IB-II < 0,001 , IA - IB > 0,05
 p^{2*} IA - II > 0,05 , IB-II > 0,05 , IA - IB > 0,05
 p^{3*} IA - II < 0,001 , IB-II < 0,01 , IA - IB > 0,05
 p^{4*} IA - II > 0,05 , IB-II < 0,01 , IA - IB < 0,001
 p^{5*} IA - II > 0,05 , IB-II < 0,001 , IA - IB < 0,01
 p^{6*} IA - II > 0,05 , IB-II < 0,001 , IA - IB < 0,001
 p^{7*} IA - II > 0,05 , IB-II < 0,001 , IA - IB < 0,001
 p^{8*} IA - II > 0,05 , IB-II < 0,001 , IA - IB > 0,05
 p^{9*} IA - II > 0,05 , IB-II < 0,001 , IA - IB > 0,05
 p^{10*} IA - II > 0,05 , IB-II > 0,05 , IA - IB > 0,05
 p^{11*} IA - II > 0,05 , IB-II > 0,05 , IA - IB > 0,05
 p^{12*} IA - II < 0,01 , IB-II < 0,001 , IA - IB > 0,05
 p^{13*} IA - II < 0,01 , IB-II < 0,001 , IA - IB < 0,001
 p^{14*} IA - II < 0,01 , IB-II < 0,001 , IA - IB < 0,001
 p^{15*} IA - II > 0,05 , IB-II < 0,001 , IA - IB < 0,001

**კელოურგომეტრული დატვირთვის ტესტის არაელექტროკარდიოგრაფიული
პარამეტრები IA, II და IIIA ჯგუფებში**

	IA ჯგუფი		II ჯგუფი		III A ჯგუფი	
	საჭიროანო <i>SD</i>	95% სიმძლავი	საჭიროანო <i>SD</i>	95% სიმძლავი	საჭიროანო <i>SD</i>	95% სიმძლავი
$\partial\partial b(w)^1*$	165,6±39,9	137,94- 193,31	156,0±21,8	149,97- 162,03	134,1±49,1	105,09- 163,10
$\partial\partial b^2*$ $\partial\partial b_3$	80,1±6,0	75,99- 84,26	77,1±5,6	75,54- 78,62	79,0±7,3	74,67- 83,33
$\partial\partial b^3*$ $\partial\partial j_0$	147,1±9,9	140,24- 154,01	146,5±8,4	144,17- 148,83	138,6±22,2	125,53- 151,74
$\partial\partial b 85\% 4^*$ $\partial\partial g.$	59%		60%		50%	
$\partial\partial b_{\text{წრმ}} 5^*$	67,9±12,8	58,99- 76,76	69,3±9,2	66,71- 71,81	61,8±26,1	46,39- 77,25
$\partial\partial b_{\text{გრ}} 6^*$	0,7±0,1	61,28- 75,97	69,7±8,2	67,45- 72,03	62,5±25,3	47,49- 77,42
$\partial\partial b^7*$ $40-100$	52,1±12,1	43,71- 60,54	49,6±12,6	46,06- 53,06	37,2±18,3	26,39- 47,97
$WL 8^*$ 100	81,3±29,1	61,07- 101,43	75,5±20,5	69,82- 81,18	74,8±22,4	61,60- 88,03
$\partial\partial b^9*$ $\partial\partial g.$	22,5±6,8	17,80- 27,20	22,0±7,3	19,97- 23,99	16,5±7,3	12,16- 20,75
$b\beta 10^*$ $\partial\partial b_3$	120,0±11,3	112,14- 127,86	123,6±8,3	121,29- 125,91	131,4±11,6	124,49- 138,24
$b\beta 11^*$ $\partial\partial b_3$	81,3±4,4	78,18- 84,32	78,2±5,1	76,78- 79,62	89,5±10,4	83,42- 95,67
$b\beta 12^*$	195,6±20,3	181,59-	181,3±13,7	177,49-	220,0±12,6	212,52-

β_{OJO}		209,66		185,11		227,48
$\varrho_{\delta\beta}^{13*}$ β_{OJO}	$91,3 \pm 8,3$	85,47- 97,03	$84,0 \pm 8,8$	81,56- 86,44	$121,8 \pm 4,0$	119,43- 124,21
$\Delta b_{\delta\beta}^{14*}$	$75,6 \pm 15,0$	65,24- 86,01	$57,7 \pm 15,6$	53,37- 62,03	$88,6 \pm 22,9$	75,09- 102,18
$\Delta \varrho_{\delta\beta}^{15*}$	$10,0 \pm 8,9$	3,86- 16,14	$5,8 \pm 8,6$	3,42- 8,18	$32,3 \pm 7,9$	27,63- 36,92

P1* IA - II <0,05 , IA-III A >0,05

P2* IA - II >0,05 , IA-III A >0,05

P3* IA - II <0,001 , IA-III A >0,05

P4* IA - II >0,05 , IA-IIiA >0,05

P5* IA - II >0,05 , IA-III A >0,05

P6* IA - II >0,05 , IA-III A >0,05

P7* IA - II >0,05 , IA-III A >0,05

P8* IA - II >0,05 , IA-III A >0,05

P9* IA - II >0,05 , IA-III A >0,05

P10* IA - II >0,05 , IA-III A <0,05

P11* IA - II >0,05 , IA-III A <0,05

P12* IA - II <0,01 , IA-III A <0,05

P13* IA - II <0,01 , IA-III A <0,05

P14* IA - II <0,01 , IA-III A <0,05

P15* IA - II >0,05 , IA-III A <0,05

მაშასადამე, მგცს 85%-ის მიღწევის დადებითი მაჩვენებელი ყველაზე მეტი იყო სპორტსმენებში მპ-ის ჰიპერტოფიის გარეშე და სარწმუნოდ აღმატებოდა როგორც საკონტროლო პირებში , ასევე არტერიული ჰიპერტენზიით პაციენტებში შესაბამის მაჩვენებლებს.

გცხრრ და გცხგრ სარწმუნოდ განსხვავდებოდა I, II და III ჯგუფებში, (იხ ცხრ 14, ცხრ 17). ისევე როგორც IA და IB ჯგუფებს შორის(იხ ცხრ 15, ცხრ 17).ორივე მაჩვენებელი IB ჯგუფში მნიშვნელოვნად აღემატებოდა IA, II და III ჯგუფის მაჩვენებლებს. IA და II ჯგუფებს შორის **გცხრრ და გცხგრ** მაჩვენებლების მიხედვით სარწმუნო განსხვავება არ გამოვლინდა (იხ ცხრ 16, ცხრ 17). IA ჯგუფში აღნიშნული ინდექსების მაჩვენებლები აღემატებოდა IIIA ჯგუფის მაჩვენებლებს.

ცხრილი 17

ქრონიკოპული პასუხის მაჩვენებლები საკლიკ ჯგუფებში

	$\partial G b^1*$ $\partial G b$	$\partial G b^{85\%2}*$ $\partial G b$	$\partial G b_{\text{смр}}^3*$	$\partial G b_{\text{смр}}^4*$	$\partial G b^5*$ $40-100$	WL^6* 100	$\partial G b^7*$ $\partial G b$
	$b \pm$ SD	%	$b \pm$ SD	$b \pm$ SD	$b \pm$ SD	$b \pm$ SD	$b \pm$ SD
I Х8330	$154,9 \pm$ 7,9	70%	$77,3 \pm$ 10,4	$76,6 \pm$ 8,2	$59,6 \pm$ 7,81	$92,0 \pm$ 19,8	$25,0 \pm$ 4,8
IA Х8330	$147,1 \pm$ 9,9	75%	$67,9 \pm$ 12,8	$71,7 \pm$ 8,1	$52,1 \pm$ 12,1	$81,3 \pm$ 29,1	$22,5 \pm$ 6,8
IB Х8330	$156,4 \pm$ 6,4	80%	$79,1 \pm$ 8,9	$74,8 \pm$ 12,6	$61,1 \pm$ 5,9	$94,0 \pm$ 17,3	$25,5 \pm$ 4,3
II Х8330	$146,5 \pm$ 8,4	60%	$69,3 \pm$ 9,2	$69,7 \pm$ 8,2	$49,6 \pm$ 12,6	$75,5 \pm$ 20,5	$22,0 \pm$ 7,3
III Х8330	$138,3 \pm$ 19,4	40%	$59,7 \pm$ 23,3	$60,7 \pm$ 22,4	$37,9 \pm$ 16,9	$69,6 \pm$ 21,3	$16,6 \pm$ 6,7
IIIA Х8330	$138,6 \pm$ 22,2	50%	$61,8 \pm$ 26,1	$62,5 \pm$ 25,3	$37,2 \pm$ 18,3	$74,8 \pm$ 22,4	$16,5 \pm$ 7,3

P1* I – II<0,00001, I-III<0,00001, II- III <0,05

IA – II <0,001, IB – II<0,01 , IA –IB>0,05, IA - IIIA>0,05

P2* I – II<0,05, I-III<0,05,II-III<0,05

IA – II >0,05, IB – II<0,01 IA –IB<0,001, IA - IIIA>0,05

P3* I – II<0,00001,I – III<0,00001, II-III<0,05

IA – II >0,05, IB – II<0,01 , IA –IB<0,01, IA - IIIA>0,05

P4* I – II<0,00001, I – III<0,00001, II--III<0,05

IA – II>0,05, IB – II<0,001 , IA –I<0,001B, IA - IIIA >0,05

P5* I – II<0,00001, I – III<0,00001, II-III<0,05

IA – II>0,05, IB – II<0,001 , IA –IB<0,001, IA - IIIA>0,05

P6* I – II<0,00001,I – III< 0,001, II--III> 0,05

IA –II>0,05, IB – II <0,001, IA –IB>0,05, IA - IIIA>0,05

P7* I – II<0,05, I – III < 0,001, II-III<0,05

IA – II>0,05, IB – I<0,001 I , IA –IB>0,05, IA - IIIA>0,05

$\partial G b40-100$ I Х8330 სარწმუნოდ აღემატებოდა იგივე მაჩვენებელს II და III Х8330ებში ($p<0,00001$), ხოლო II Х8330 აღნიშნული ინდექსი სარწმუნოდ

მაღალი იყო III ჯგუფის მაჩვენებელთან შედარებით ($p<0,05$). (იხ. ცხრ 14 და ცხრ 17). IB ჯგუფში **გცნ40-100** ინდექსის საშუალო მნიშვნელობა მეტი იყო IA ჯგუფში ანალოგიურ მაჩვენებელთან შედარებით, თუმცა განსხვავება ჯგუფებს შორის სარწმუნო არ აღმოჩნდა ($p>0,05$). **გცნ40-100** IB ჯგუფში სარწმუნოდ აღემატებოდა იგივე მაჩვენებელს II ჯგუფში. (იხ. ცხრ 15 და ცხრ 17). IIIA ჯგუფში **გცნ40-100** ჩამორჩებოდა როგორც II ასევე IA ჯგუფის მაჩვენებელს ($p<0,05$), (იხ. ცხრ 15 და ცხრ 17).

WL100 ინდექსი სარწმუნოდ განსხვავდებოდა I, II და III ჯგუფებს შორის.

WL100 I ჯგუფში აღემატებოდა II და III ჯგუფის მაჩვენებლებს, ხოლო III ჯგუფში ჩამორჩებოდა II ჯგუფის მაჩვენებლებს. სარწმუნო განსხვავება **WL100** მიხედვით არ გამოვლინდა IA ჯგუფსა და IB ჯგუფს შორის. (იხ. ცხრ 15 და ცხრ 17). IA ჯგუფში **WL100** სარწმუნოდ მაღალი იყო IIIA ჯგუფთან შედარებით (იხ. ცხრ 16 და ცხრ 17).

რითმის აღდგენის მაჩვენებელი სარწმუნოდ მაღალი იყო I ჯგუფში II და III ჯგუფებთან შედარებით. II და III ჯგუფებს შორის რითმის აღდგენის მაჩვენებელი მნიშვნელოვნად არ განსხვავდებოდა (იხ. ცხრ 14 და ცხრ 17). სარწმუნო განსხვავება რითმის აღდგენის მიხედვით არ გამოვლინდა ასევე IA და IB ჯგუფებს შორის (იხ. ცხრ 15 და ცხრ 17).

საწ პიკური მნიშვნელობა, ისევე როგორც **დაწ პიკური** მნიშვნელობა მნიშვნელოვნად მაღალი იყო III ჯგუფში I და II ჯგუფებთან შედარებით. **საწ პიკური** მნიშვნელობა I ჯგუფში აღემატებოდა II ჯგუფის მაჩვენებელს. **დაწ პიკური** მნიშვნელობები I და II ჯგუფებში მნიშვნელოვნად არ განსხვავდებოდა. IA და IB ჯგუფებში **დაწ პიკურ** მნიშვნელობებს შორის სარწმუნო განსხვავება არ გამოვლინდა, ხოლო **საწ პიკური** მნიშვნელობა IA ჯგუფში აღემატებოდა IB ჯგუფის შესაბამის მაჩვენებელს. **ასაწ**, ისევე როგორც **ადაწ** შესაბამისად მნიშვნელონად მეტი იყო III ჯგუფში I და II ჯგუფებთან შედარებით. IA და IB ჯგუფებში **ადაწ** მნიშვნელობებს შორის სარწმუნო განსხვავება არ გამოვლინდა, ხოლო **ასაწ** IA ჯგუფში აღემატებოდა IB ჯგუფის შესაბამის მაჩვენებელს. დატვირთვის ტესტის დროს არტერიული წნევის სისტოლურ-დიასტოლური მაჩვენებლების დინამიკის მონაცემები წარმოდგენილია ცხრილში 18, გრ. 14 და გრ. 15-ზე.

ცხრილი 18

არტერიული წნევის სისტოლური და დიასტოლური მაჩვენებლების
დინამიკა საკვლევ ჯგუფებში

	<i>bσV</i> 10*	<i>ρσV</i> 11*	<i>bσV</i> 12*	<i>ρσV</i> 13*	<i>A bσV</i> 14*	<i>AρσV</i> 15*
	<i>δσbβ.</i>	<i>δσbβ</i>	<i>δσjσ</i>	<i>δσjσ</i>		
	<i>bσJ ± SD</i>	<i>bσJ ± SD</i>				
I Х8330	120,7± 8,9	78,6± 6,7	191,2± 16,4	81,7 ± 8,9	70,5± 18,1	3,1± 7,6
IA Х8330	120,0± 11,3	81,3 ± 4,4	195,6 ± 20,3	91,3± 8,3	75,6± 15,0	10,0± 8,9
IB Х8330	123,6± 8,3	78,2 ± 5,1	190,4± 15,7	84,4 ± 8,8	69,5± 18,6	1,8± 6,7
II Х8330	132,1± 11,6	88,2 ± 10,6	181,3± 13,7	121,6± 3,7	57,7± 15,6	5,8± 8,6
III Х8330	132,1± 11,6	88,2± 10,6	221,1± 11,5	121,6± 3,7	84,5± 29,0	31,8± 11,0
IIIA Х8330	131,4± 11,6	89,5± 10,4	220,0± 12,6	121,8± 4,0	88,6± 22,9	32,3± 7,9

$P^{I*} I - II > 0,05, I - III < 0,001, II - III < 0,001$

IA - II>0,05, IB - II>0,05, IA -IB>0,05, IA - IIIA<0,05

$P^{2*} I - II > 0,05, I - III < 0,001, II - III < 0,001$

IA – II<0,01, IB – II>0,05, IA –IB>0,05, IA - IIIA<0,05

P3* I - II<0,001, I - III<0,001, II --- III<0,001

IA – $\Pi < 0,01$, *IB* – $\Pi < 0,001$, *IA* – $\Pi_B > 0,05$, *IA* – $\Pi_{IIA} < 0,05$

P^{4*} I - II > 0,05, I - III < 0,001, II --- III < 0,001

IA – $P < 0,01$, *IB* – $P < 0,001$, *IA-IB* – $P < 0,001$, *IA-III A* – $P < 0,05$

P5* I - II<0,00001, I - III<0,00001, II --- III<0,001

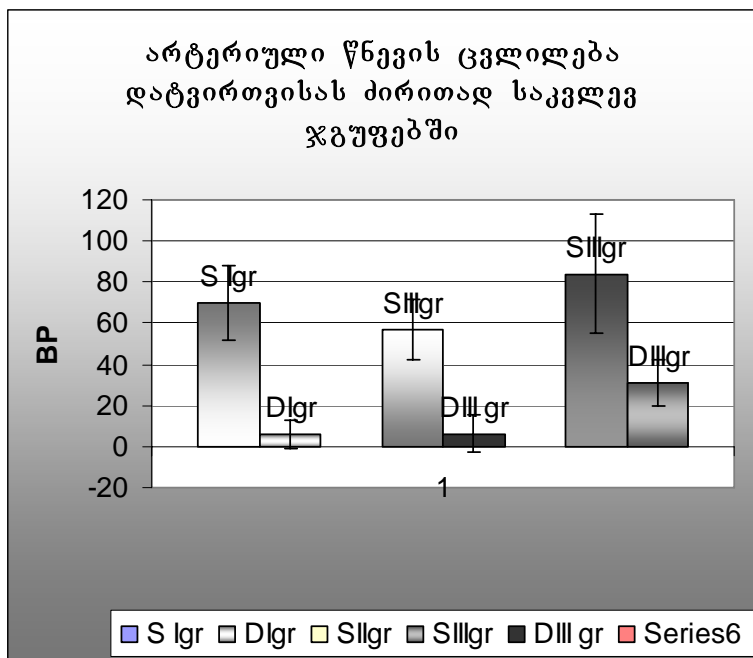
IA - II>0,05, IB - II<0,001, IA-IB<0,001, IA-IIAI<0,05

$P^{6*} I - II > 0,05, I - III < 0,00001, II - III < 0,00001$

IA - II>0,05, *IB - II*<0,001, *IA - I*<0,001B, *IA - IIIA*<0,05

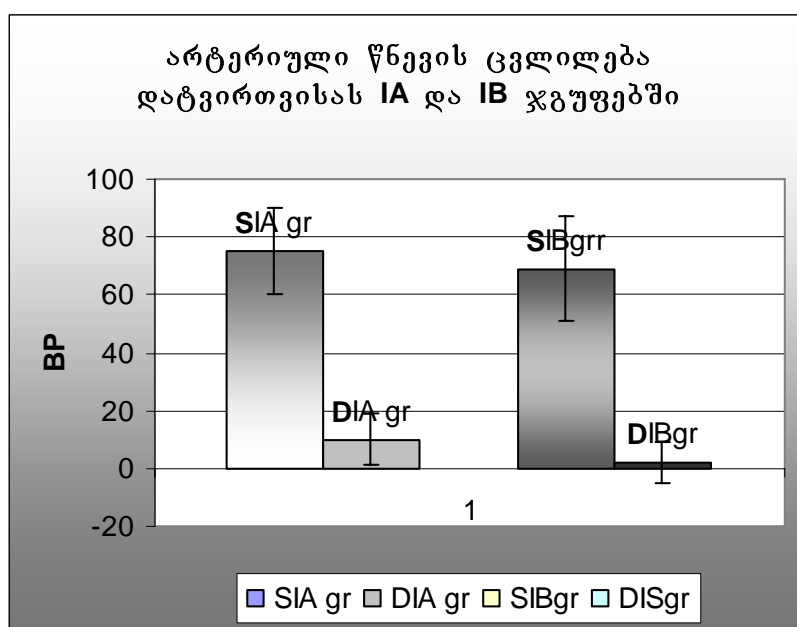
სერიათი 13

სისტოლურ-დიასტოლური წნევის ცვლილება დატვირთვისას I, II და III ჯგუფებში



სურათი 14

**სისტოლურ-დიასტოლური წნევის ცვლილება დატვირთვისას
IA და IB ჯგუფებში**



ამგვარად, საკვლევ ჯგუფებში დატვირთვის ტენიანი მონაცემების ანალიზია აჩვენა, რომ კეტერან სპორტსმენებში მასის პიპერტონიათ, ისევე როგორც პაციენტებში არც პიპერტენზიით QT ინტერვალის დისპერსია იზრდებოდა ფიზიკური დატვირთვის პირობებში, მათიც როდესაც ინდიკიდებში პიპერტონის გარეშე და საკონტროლო ჯგუფის პირებში QTd მცირდებოდა ან რჩებოდა უცვლელი. მას და შესაბამისად ფიზიკური ფუნქციურუნარიანობა

კეტერან სპორტსმენებში, როგორც მპ-ის პიპერტროფიის გარეშე, ასევე მპ-ის პიპერტროფიით მნიშვნელოვნად მაღალი იყო საკონტროლოსთან და არტ. პიპერტებზეთ ააციენტებთან შედარებით. დატვირთვაზე ქრონოტროპული პასუხის მაჩვენებლები - **პცხ, გცხრ** და **გცხგრ** კეტერან სპორტსმენებში სარწმუნოდ აღემატებოდა საკონტროლო ჯგუფისა და არტ.პიპერტებზეთ ააციენტების მაჩვენებლები. აღნიშნული მაჩვენებლები ყველაზე მაღალი იყო კეტერან სპორტსმენებში მპ-ის პიპერტროფიის გარეშე, კეტერან სპორტსმენებში მპ-ის პიპერტროფიით სარწმუნოდ არ განსხვავდებოდა საკონტროლო ჯგუფის მაჩვენებლებთან შედარებით და აღემატებოდა არტ.პიპერტებზეთ ააციენტებში ანალოგიურ მაჩვენებლებს, ხოლო არტ. პიპერტებზეთ ააციენტებში დაქვეითებული იყო საკონტროლო ჯგუფთან შედარებით. **გცხ 85% -ის მიღწევა, გცხ 40-100** და **WL100** კეტერან სპორტსმენებში სარწმუნოდ აღემატებოდა საკონტროლო ჯგუფისა და არტ.პიპერტებზეთ ააციენტების მაჩვენებლებს, , ხოლო არტ. პიპერტებზეთ ააციენტებში დაქვეითებული იყო საკონტროლო ჯგუფთან შედარებით. **გცხ 85% -ის მიღწევა** და **WL100** სარწმუნოდ არ განსხვავდებოდა კეტერან სპორტსმენებში მპ-ის პიპერტროფიით და მპ-ის პიპერტროფიის გარეშე. **გცხ 40-100** დაქვეითებული იყო კეტერან სპორტსმენებში მპ-ის პიპერტროფიით და დიასტოლური დისფუნქციით შედარებით საკონტროლო ჯგუფთან და სპორტსმენებთან მპ-ის პიპერტროფიის გარეშე.

რითმის აღდგენის მაჩვენებელი სარწმუნოდ მაღალი იყო კეტერან სპორტსმენებში საკონტროლო ჯგუფის პირებსა და არტ.პიპერტებზეთ ააციენტებთან შედარებით. საკონტროლო ჯგუფსა და არტ.პიპერტებზეთ ააციენტების ჯგუფს შორის რითმის აღდგენის მაჩვენებელი მნიშვნელოვნად არ განსხვავდებოდა. სარწმუნო განსხვავება რითმის აღდგენის მიხედვით არ გამოვლინდა, აგრეთვე კეტერან სპორტსმენებში მპ-ის პიპერტროფიით და მპ-ის პიპერტროფიის გარეშე.

დატვირთვისას სისტოლური და დიასტოლური არტ. წნევის პიკური მნიშვნელობები ააციენტებში არტ.პიპერტებზეთ სარწმუნოდ აღემატებოდა კეტერანი სპორტსმენებისა და საკონტროლო ჯგუფის. მნიშვნელობებს. **საწ პიკ სპორტსმენების ჯგუფში** მაღალი იყო საკონტროლო ჯგუფთან შედარებით, ხოლო სპორტსმენებში მპ-ის პიპერტროფიით აღნიშნული მაჩვენებელი აღემატებოდა მპ-ის პიპერტროფიის გარეშე სპორტსმენებში შესაბამის მაჩვენებელს. **დაწ პიკური მნიშვნელობები კეტერან სპორტსმენებას და**

საკონტროლო ჯგუფის პირებს შორის, ისევე როგორც სპორტსმენებში მათ პიპერტროფით და პიპერტროფის გარეშე სარწმუნოდ არ განსხვავდებოდა.

3.3. გულის რითმის ვარიაბელობისა და რითმის დარღვევების მონაცემები საკვლევ ჯგუფებში

გულის რითმის გარიაბელობა და რითმის დარღვევები გამოკვლეული იყო პოლტერის 24-საათიანი ეკგ ამბულატორული მონიტორირებით. გაანალიზებული იყო გრვის სიხშირული მაჩვენებლები (VLF, LF, HF, HF/LF) (*იხ.ცხრ 19, ცხრ 20, ცხრ 21*), ყველა საკვლევ ჯგუფში; შეფასებული იყო რითმისა და გამტარებლობის სახვადასხვა დარღვევების შემთხვევათა პროცენტული რაოდენობის განსხვავებები ჯგუფებს შორის და კორელაციური კავშირი გრვ-სა და რითმის დარღვევებს შორის.

გრვის ყველა გამოკვლეული მაჩვენებლის მნიშვნელობა I ჯგუფში აღემატებოდა საკონტროლო ჯგუფის შესაბამისი მაჩვენებლების მნიშვნელობებს. III ჯგუფში გრვის სიხშირული მაჩვენებლები დაქვეითებული იყო საკონტროლო ჯგუფის მაჩვენებლებთან შედარებით

ცხრილი 19

გულის რითმის გარიაბელობა I, II და III ჯგუფებში

	I ჯგუფი		II ჯგუფი		III ჯგუფი	
	საშტ SD	95% სი	საშტ SD	95% სი	საშტ SD	95% სი
<i>საჭ. I*</i> <i>დღეგლაბ</i> .	62,0±4,1	60,82- 63,10	69,7±5,9	54,45- 57,19	71,2±4,9	69,01- 73,29
<i>საჭ. 2*</i> <i>ღამის</i> <i>რითმი</i>	49,1±4,1	47,93- 50,23	55,8±5,0	767,69- 881,07	56,8±5,3	54,44- 59,06
	მედიანი	(IQR)	მედიან ს	(IQR)	მედიან ს	(IQR)
<i>VLF^{3*}</i>	1097,5	914,67- 1076,13	826,5	765,8- 901,78	698	625,73- 795,17
<i>LF^{4*}</i>	787,5	722,64- 816,84	478	392,9- 502,8	382	304,48- 454,02
<i>HF^{5*}</i>	217	234,51- 334,69	196,5	156,7- 235,8	210	179,89- 265,01
<i>LF/HF^{6*}</i>	3,075	2,93- 4,28	2,49	2,40- 3,12	1,705	1,52- 2,24

P^{1*} I-II<0,00001, I-III<0,00001, II-III>0,05

P^{2*} I-II<0,00001, I-III<0,00001, II-III>0,05

P^{3*} I-II<0,05 , I-III<0,05 , II-III<0,05

P^{4*} I-II<0,05 , I-III<0,05 , II-III<0,05

P^{5*} I-II<0,05 , I-III>0,05 , II-III>0,05

P^{6*} I-II<0,05 , I-III <0,05, II-III<0,05

IA და IB ჯგუფებს შორის სარწმუნო განსხვავება გრკ-ს მაჩვენებლების მიხედვით არ გამოვლინდა. ამ ორივე ჯგუფის გრკ-ს მაჩვენებლები სარწმუნოდ აღემატებოდა II და III ჯგუფის მაჩვენებლებს. შესაბამისად, IA ჯგუფის მაჩვენებლები სარწმუნოდ აღემატებოდა III A ჯგუფის მაჩვენებლებს (იხ. ცხრ. 20 და ცხრ. 21)

გულის რითმის გარიაბელობა I, IA, IB და II ჯგუფებში

	I ჯგუფი		IA ჯგუფი		IB ჯგუფი		II ჯგუფი	
	საშტ SD	95% სი	საშტ SD	95% სი	საშტ SD	95% სი	საშტ SD	95% სი
საჭ. 1* ღღებაზ. რითმი	62,0±4,1	60,82- 63,10	59,0±3,7	56,43- 61,57	62,5±4,0	61,32- 63,73	69,7±5,9	54,45- 57,19
საჭ. 2* ღამის რითმი	49,1±4,1	47,93- 50,23	48,4±3,4	46,01- 50,74	49,2±4,3	47,92- 50,51	55,8±5,0	767,69- 881,07
	მედიანი	(IQR)	მედიანი	(IQR)	მედიანი	(IQR)	მედიანი	(IQR)
VLF^{3*}	1097,5	914,67- 1076,13	1034	897,98- 198,7	1123	959,11- 1187,9	826,5	765,8- 901,78
LF^{4*}	787,5	722,64- 816,84	821,7	724,76- 898,9	817,5	732,50- 835,17	478	392,9- 502,8
HF^{5*}	217	234,51- 334,69	245,6	225,41- 302,76	229,8	215,19- 315,71	196,5	156,7- 235,8
LF/HF^{6*}	3,075	2,93- 4,28	3,35	1,02- 3,50	3,56	3,11- 4,62	2,49	2,40- 3,12

P^{1*} IA -II<0,0001, IB- II<0,0001, IA -IB>0,05P^{2*} IA -II<0,0001, IB- II<0,0001, IA -IB>0,05P^{3*} IA -II>0,05, IB- II>0,05, IA -IB<0,05P^{4*} IA -II<0,05, IB- II<0,05, IA -IB>0,05P^{5*} IA -II<0,05, IB- II>0,05, IA -IB>0,05P^{6*} IA -II<0,05, IB- I<0,05, IA -IB>0,05

	IA ჯგუფი		II ჯგუფი		III A ჯგუფი	
	საშტ SD	95% სი	საშტ SD	95% სი	საშტ SD	95% სი
საჭ. I* დღეგლაბ .	59,0±3,7	56,43- 61,57	69,7±5,9	54,45- 57,19	72,4±4,8	69,54 75,19
საჭ. 2* ლამის რითმი	48,4±3,4	46,01- 50,74	55,8±5,0	767,69- 881,07	58,1±6,1	54,49 61,69
	მედიანი	(IQR)	მედიან ♂	(IQR)	მედიან ♂	(IQR)
VLF^{3*}	1034	897,98- 198,7	826,5	765,8- 901.78	643	567,49 765,96
LF^{4*}	821,7	724,76- 898,9	478	392,9- 502,8	423	310,87 458,22
HF^{5*}	245,6	225,41- 302,76	196,5	156,7- 235,8	210	161,07 273,11
LF/HF^{6*}	3,35	1,02- 3,50	2,49	2,40- 3,12	2,06	1,51 2,44

p1* II -III A>0,05 , IA-III A>0,05

p2* II -III A<0,0001 , IA-III A<0,001

p3* II -III A<0,05 , IA-III A>0,05

p4* II -III A>0,05 , IA-III A<0,05

p5* II -III A<0,05 , IA-III A<0,05

p6* II -III A<0,05 , IA-III A<0,05

ჯგუფებს შორის რითმის დარღვევების შედარებამ აჩვენა, რომ გულის რითმისა და გამტარებლობის სხვადასხვა დარღვევების შემთხვევები სარწმუნოდ მეტია I ჯგუფში II და III ჯგუფებთან შედარებით, ამავე დროს III ჯგუფში არითმიების შემთხვევები ხშირია II ჯგუფთან შედარებით. ეკგ 24 საათიან მონიტორირების შედეგების მიხედვით ვეტერან სპორტსმენებში დანარჩენ ჯგუფებთან შედარებით ხშირია მკვეთრი სინუსური ბრადიკარდია, AV და პარკუჭშიდა გამტარებლობის

დარღვევები, კომპლექსური არითმია, პარკუჭოვანი ტაქიკარდიის და მოციმციმე არითმიის ეპიზოდები.

ცხრილი 22

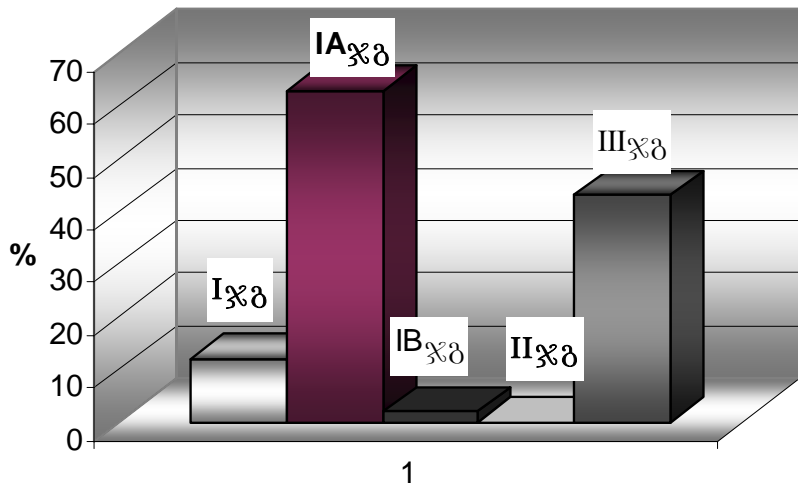
**გულის რითმისა და გამტარებლობის დარღვევები ვეტერან სპორტსმენებში,
პიპერტებზით პაციენტებში და საკონტროლო ჯგუფის პირებში**

	I ჯგუფი	IA ჯგუფი	IB ჯგუფი	II ჯგუფი	III ჯგუფი
კომპლექსური არითმია	12%	63%	2%	0%	43%
ხშირი პეს	28%	65%	14%	26%	40%
ხშირი სვეს	26%	25%	26%	22%	0%
პაუზა >2,5 წმ	8%	13%	7%	0%	0%
ძოციძობები არითმია	4%	0%	5%	0%	0%
პტ	4%	25%	0%	0%	0%
სპტ	6%	13%	5%	0%	0%
LBBB	6%	25%	2%	0%	0%
RBBB.	10%	0%	12%	6%	0%
AV ბლოკი Ib	22%	63%	14%	8%	0%
AV ბლოკი IIb	12%	50%	5%	0%	0%
სრული AV ბლოკი	2%	0%	2%	0%	1%

ცერტიფი 15

კომპლექსური არითმიები საკვლევ ჯგუფებში

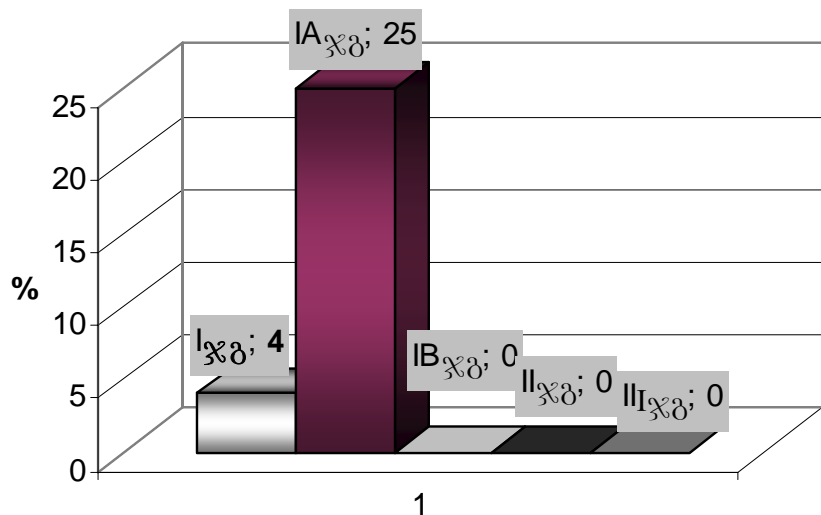
**კომპალექსური არითმიები საკვლევ
ჯგუფებში**



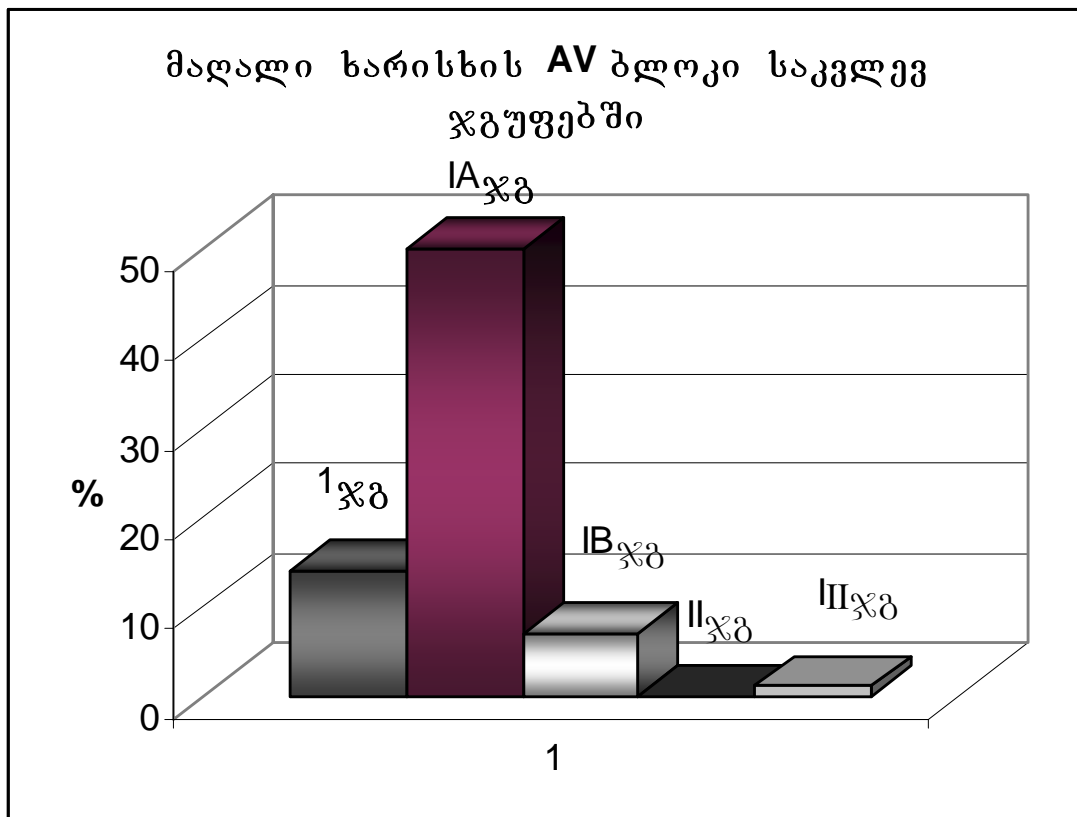
სურათი 16

პარკუჭოვანი ტაქიკარდიის ეპიზოდები საკვლევ ჯგუფებში

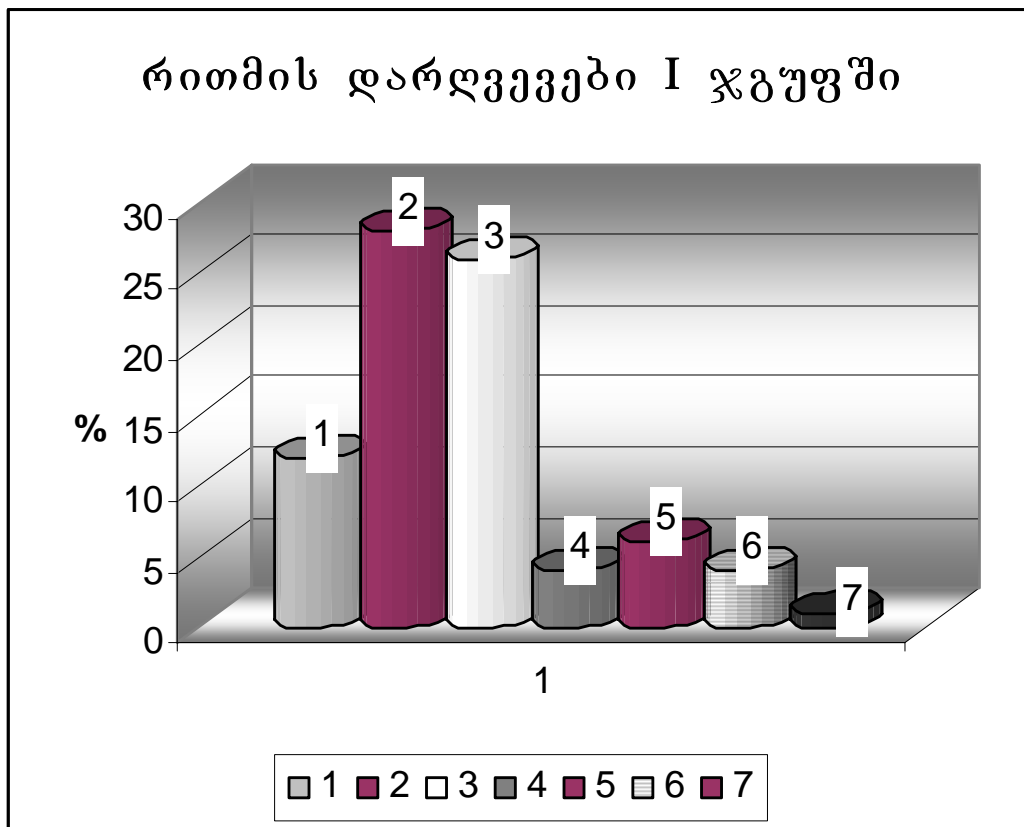
**პარკუჭოვანი ტაქიკარდიის ეპიზოდები
საკვლევ ჯგუფებში**



մարդական եարօնեան AV ծլուցո եայցլցա չօշացյածնո



რითმის დარღვევები I ჯგუფში



- 1 – კომპლექსური არითმია
- 2 – ხშირი პარკუჭოვანი ექსტრასისტოლია
- 3 - ხშირი სუპრაგენტრიკულური ექსტრასისტოლია
- 4 - პარკუჭოვანი ტაქიკარდიის ეპიზოდები
- 5 – სუპრაგენტრიკულური ტაქიკარდიის ეპიზოდები
- 6 - მოციმციმე არითმია

3.4. საკვლევ პარამეტრებს შორის კორელაციური კავშირების ხასიათი გამოკვლეულ კონტიგენტში

საკვლევ ჯგუფებში შესწავლილი იყო მპ-ის სტრუქტურულ მაჩვენებლებსა, სისტოლურ-დიასტოლურ ფუნქციასა, დატვირთის ტესტის არაელექტროკარდიოგრაფიულ პარამეტრებსა (დატვირთვაზე ქრონოტროპული პასუხი, მაქს. შესრულებული სამუშაო, სიტოლურ-დიასტოლური წნევის დინამიკა), დატვირთვის განმავლობაში QTd დინამიკასა, გულის რითმის ვარიაბელობასა და გულის რითმის დარღვევებს შორის ურთიერთკავშირის ხასიათი, აგრეთვე აღნიშნული პარამეტრების კორელაციური კავშირი ფიზიკური აქტივობის დონესთან.

კვლევის შედეგების ანალიზმა აჩვენა, რომ ვეტერან სპორტსმენებში მპ-ის სტრუქტურული მაჩვენებლები კორელირებენ მპ-ის დიასტოლურ ფუნქციასთან, დატვირთვის განმავლობაში QTd დინამიკასა, დატვირთვაზე ქრონოტროპული პასუხის ზოგიერთ პარამეტრსა, დატვირთვისას დიასტოლური წნევის ცვლილებასა, რითმისა და გამტარებლობის დარღვევებთან. ურთიერთკავშირი მპ-ის სტრუქტურული მაჩვენებლება და მპ-ის დიასტოლურ ფუნქიას შორის I ჯგუფში განხილული იყო ზევით (თავი III. 3.3.1.)

გამოვლინდა დადებითი კორელაციური კავშირი მპ-ის მასასა და დატვირთვის განმავლობაში QTd დინამიკას შორის. მარცხენა პარკუჭის მასის მატება ასოცირებული იყო QTd ზრდასთან დატვირთვის განმავლობაში. QTd-ს დინამიკა კორელირებდა ასევე პაკუჭთაშუა ძგიდის სისქესთან და მპედდ-თან (იხ.გრ. 9, გრ. 10, გრ. 11, ცხრ. 23)

კორელაცია QTd -სა და მპ-ის სტრუქტურულ ძახვენებლებს
შორის I ჯგუფში

	ρ_{eff}	ρ_{d}	$\rho_{\text{eff}} \rho_{\text{d}}$	ρ^2	ρ^2
QTd	$r=,340(*)$	$r=,292(*)$	$r=,343(*)$	$r=,329(*)$	$r=,338(*)$
P	0,016	0,040	0,015	0,020	0,016
ΔQTd	$r=,571(**)$	$r=,506(**)$	$r=,498(**)$	$r=,598(**)$	$r=,642(**)$
P	0,001	0,003	0,004	0,000	0,000

ცხრილი 24

დიასტოლურ ფუნქციასა და დატვირთვისას

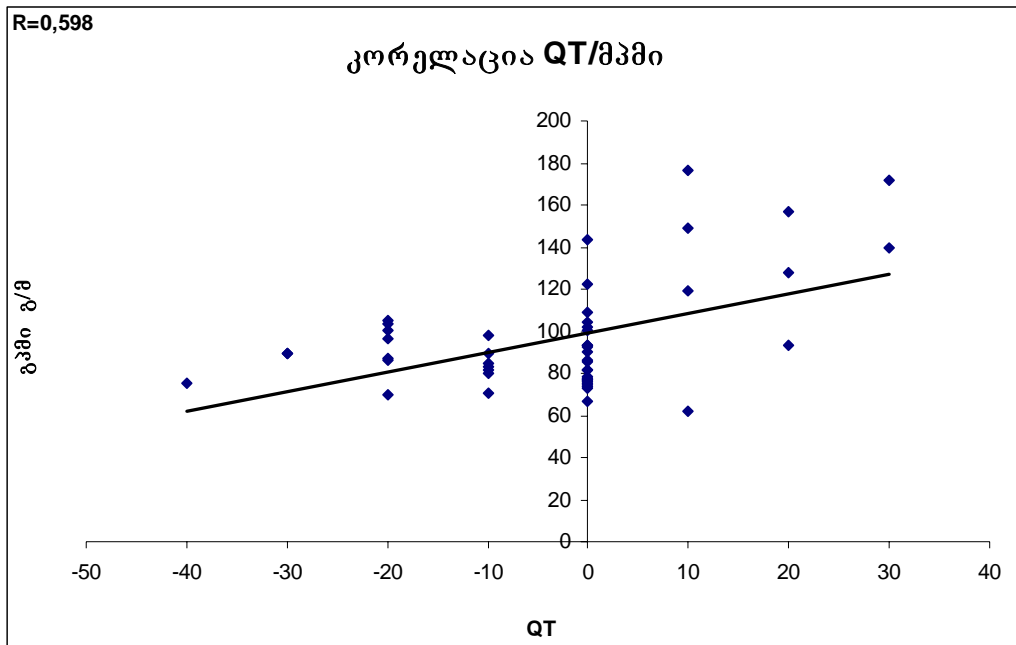
QTd –ს შორის კორელაცია I ჯგუფში

	E_v	A_v	E_v/A_v	D_T
QTd				
r				
P	$-,544(*)$	0,126	$-,508(*)$,513(*)
P	0,014	0,381	0,029	0,027
ΔQT				
r	$-,552(*)$,522(*)	$-,588(**)$,590(**)
P	0,012	0,023	0,005	0,005

გრაფიკი 9

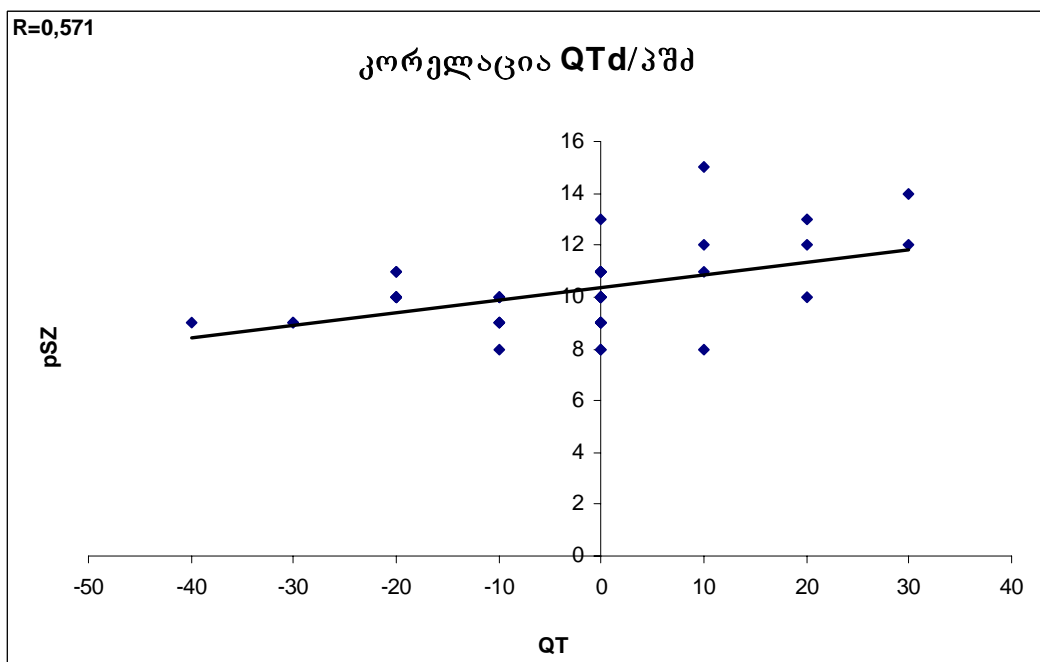
კორელაციური კავშირი ΔQTd -სა და მამი -ის (ρ/θ^2)

შორის

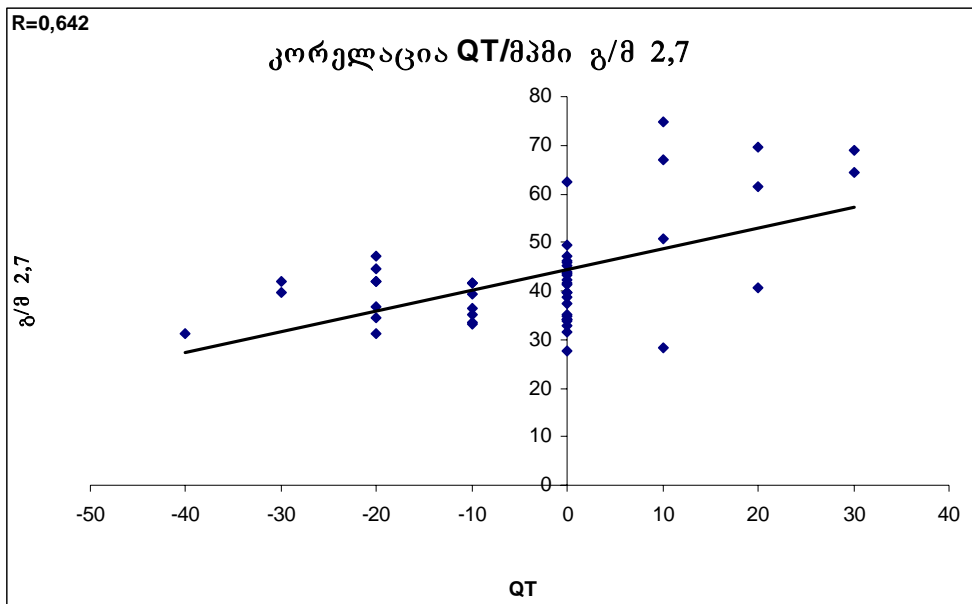


გრაფიკი 10

კორელაციური კავშირი ΔQTd -სა და პშძ-ს შორის



კორელაციური კავშირი $AQTd$ -სა და მპმი-ს (δ/θ 2,7)
შორის



მსგავსი კორელაცია $AQTd$ -სა და მპმი-ს შორის გამოვლინდა III ჯგუფში ($r=,621$, $p=0,047$). მეორე ჯგუფში $AQTd$ -სა და მპმი-ს შორის მნიშვნელოვანი კორელაცია არ იყო ნანახი.

უარყოფითი კორელაცია გამოვლინდა მპმი-სსა და გცნ-ს პიკურ მნიშვნელობას შორის, აგრეთვე მპმი-სსა და გცნრ-ს და მპმი-სსა და გცნგრ-ს შორის, პშდ –სა და გცნგრ-ს შორის (იხ. ცხრ. 25.)

კორელაციური კავშირი დატვირთვაზე ქრონოგროპული პასუხის პარამეტრებსა
და მპ-ის სტრუქტურულ მაჩვენებლებს შორის I ჯგუფში

	∂G_b ∂m_b	∂G_b ∂n_b	∂G_b 85%	∂G_b ∂n_b	∂G_b $\partial \theta$	∂G_b $40-100$	$WL100$	∂G_b $\partial \varphi$ 1°
$\partial \varphi(\partial \theta)$								
r	0,133	-,342(*)	-0,272	-0,276	-,514(**)	-,146	-0,235	-0,156
p	0,357	0,015	0,056	0,053	0,003	0,14	0,100	0,279
$\partial \varphi (\partial \theta)$								
r	0,065	-,352(*)	-0,183	-0,247	-,371(**)	-,235	-0,145	-0,166
p	0,652	0,012	0,204	0,083	0,008	0,18	0,316	0,251
$\partial \varphi \partial \varphi (\partial \theta)$								
p	0,083	-,349(*)	-0,212	-0,277	-,333(*)	-0,325(*)	-0,082	-0,114
$\partial \varphi \partial \theta$								
r	0,566	0,013	0,139	0,051	0,018	0,017	0,572	0,429
p								
$\partial \varphi \partial \theta$								
$\partial \varphi \partial \theta$	0,137	-,512(**)	-,158	-,636(*)	-,654(**)	-,159	-0,269	-0,369(*)
r								
p	0,343	0,003	0,211	0,017	0,001	0,089	0,059	0,039
$\partial \varphi \partial \theta$								
$\partial \varphi \partial \theta, 7$	0,096	-,555(**)	-,249	-,539(*)	-,675(**)	-,331(*)	-0,229	-0,401(*)
r								
p	0,508	0,001	0,113	0,016	0,000	0,047	0,110	0,021

დატვირთვაზე ქრონოგროპული პასუხის ზოგიერთი მაჩვენებელი კორელირებდა ,
დიასტოლური ფუნქციის პარამეტრებთან (იხ. ცხრ. 26)

კორელაციური კავშირი დატვირთვაზე ქრონოტროპული პასუხის პარამეტრებსა
და დიასტოლური ფუნქციის მაჩვენებლებს შორის I ჯგუფში

	δC_b δm_bz	δC_b δn_{CO}	$\delta \delta C_b$ 85% $\delta \delta \delta C_b$	δC_{SR}	δC_{SBR}	$\delta C_{\text{S40-100}}$	$WL100$	δC_b აღდგ 1% δC_b
<i>Ev(m/s)</i>								
r	-0,263	,348(*)	,251	,377(**)	,389(**)	0,357(*)	0,193	0,053
p	0,065	0,013	0,11	0,007	0,005	0,029	0,180	0,715
<i>Av(m/s)</i>								
r	-0,056	-0,153	0,198	-0,021	-0,080	0,028	0,074	-0,007
p	0,697	0,287	0,169	0,885	0,583	0,849	0,610	0,959
<i>Ev/Av</i>								
r	-0,135	,379(**)	0,059	,298(*)	,346(*)	0,237	0,109	-0,375(*)
p	0,361	0,008	0,692	0,039	0,016	0,105	0,460	0,015
<i>DT</i>								
r	-0,251	,481(**)	,283	,665(**)	,671(**)	,390(*)	0,171	0,066
p	0,079	0,000	0,146	0,001	0,001	0,005	0,235	0,647

ამგვარად, დატვირთვაზე ქრონოტროპული პასუხის პარამეტრების ნაწილი (δC_b -ს პიკური მნიშვნელობა, δC_{SR} , δC_{SBR}) მჭიდრო კორელაციურ კავშირშია მარცხენა პარაგუჭის სტრუქტურულ და დიასტოლური ფუნქციის მაჩვენებლებთან. ვეტერან სპორტსმენებში გამოვლინდა მაღალი კორელაციური კავშირი მპ-ის მასის მატებასა და დატვირთვისას დიასტოლური წნევის ცვლილებას შორის. ანალოგიური კავშირი იყო ნანახი პშმ -ის სისქესა და დატვირთვისას დიასტოლური წნევის ცვლილებას შორის (იხ. ცხრ. 27, ცხრ. 28) I ჯგუფში მპ-ის მასისა და პშმ -ის სისქის მაჩვენებელი კორელირებდა, როგორც სისტოლური, ასევე დიასტოლური წნევის ცვლილებასთან.

მპ-ის სტრუქტურასა და დატვირთვისას არტერიული
წნევის სისტოლურ-დიასტოლური მაჩვენებლებს შორის
კორელაციური კავშირი I ჯგუფში

	საწ მოსე	ღაწ მოსე	საწ პიკი	ღაწ პიკი	Δ საწ	Δ ღაწ
$\partial\partial\partial(\partial\partial)$						
r	-0,237	-0,051	0,179	,467(**)	,279(*)	,574(**)
p	0,098	0,726	0,213	0,009	0,050	0,001
$\partial\partial$ ($\partial\partial$)						
r	-0,104	0,044	0,087	0,267	0,131	0,274
p	0,471	0,764	0,546	0,061	0,366	0,054
$\partial\partial\partial\partial(\partial\partial)$						
r	-0,080	0,100	0,154	,384(**)	0,179	,360(*)
p	0,581	0,490	0,286	0,006	0,214	0,010
$\partial\partial\partial\partial$						
∂/∂^*	-0,204	0,024	0,197	,602(**)	0,279	,548(**)
r						
p	0,156	0,867	0,171	0,004	0,050	0,001
$\partial\partial\partial\partial$						
$\partial/\partial\partial,\partial$	-0,097	0,093	0,148	,589(**)	0,182	,572(**)
r						
p	0,502	0,519	0,305	0,005	0,206	0,008

კორელაციური კავშირი დატვირთვისას სისტოლურ-დიასტოლური წნევის ცვლილებასა და მპ-ის სტრუქტურის ექოკარდიოგრაფიულ პარამეტრებს

შორის IA ჯგუფ ში

პარამეტრები	$\Delta\text{საწ}$	$\Delta\text{დაწ}$
პძლ (მმ)	,790(*)	,943(**)
p	0,020	0,000
უკდ (მმ)	0,571	0,650
p	0,139	0,081
მპუდდ (მმ)	-0,196	-0,234
p	0,642	0,578
მპმი გ/მ	,923(**)	,966(**)
p	0,001	0,000
გ/მ 2,7	,766(*)	,827(*)
p	0,027	0,011
გვ%	-0,520	-0,430
p	0,187	0,287

Δ საწ- სისტოლური არტ.წნევის ცვლილება დატვირთვისას

Δ დაწ- დიასტოლური არტ.წნევის ცვლილება დატვირთვისას

ვეტერან სპორტსმენთა ჯგუფში გამოვლინდა კორელაცია მპ-ის სტრუქტურულ მაჩვენებლებსა და რითმის დარღვევების შემთხვევათა შორის. (*იხ.ცხრ. 29*) მპ-ის მასის ინდექსები, ისევე როგორც კედლის სისქეებისა და მპუდდის მაჩვენებლები მჭიდროდ კორელირებდა კომპლექსური არითმიის (*კა*) , ხშირი პარკუროვანი ექსტრასისტოლიის (*კებ*) და პარკუროვანი ტაქიკარდიის ეპიზოდების გამოვლენასთან.

მპ-ის სტრუქტურულ მაჩვენებლებსა და რითმის დარღვევებს

შორის კორელაციური კავშირი

	$\partial \delta$	$b_{\text{შირი}} \partial b$	$b_{\text{შირი}} \partial g$	$\partial \sigma \partial >2,57\%$	$\partial \alpha$	$\partial \beta$	$b_{\text{გვ}}$
კშპ							
$r=$,577(**)	,547(**)	0,098	0,057	0,039	,598(**)	0,020
P	0,000	0,000	0,498	0,696	0,787	0,000	0,892
უბ							
$r=$,531(**)	,528(**)	0,045	0,062	0,003	,479(**)	0,069
P	0,000	0,000	0,758	0,670	0,983	0,000	0,633
გედდ							
$r=$,637(**)	,586(**)	-0,083	-0,007	-	,393(**)	0,132
P	0,000	0,000	0,568	0,961	0,504	0,005	0,359
გვმი	,	,			-		-
$\partial/\partial^2 r=$,648(**)	,642(**)	0,036	0,077	0,060	,600(**)	0,001
P	0,000	0,000	0,804	0,593	0,681	0,000	0,992
გვმიგ/გ							
$2,7 r=$,622(**)	,635(**)	-0,014	0,096	0,050	,531(**)	0,000

მპ-ის სტრუქტურული მაჩვენებლები კორელირებდნენ გამტარებლობის დარღვევებთან I ჯგუფში (იხ. ცხრ. 30) მაღალი კორელაციური კავშირი გამოვლინდა მპ-ის მასის ინდექსებსა და AV გამტარებლობის დარღვევებს შორის, აგრეთვე კშპ-ის სისქესა და AV გამტარებლობის დარღვევებს შორის.

გა-ის სტრუქტურულ მაჩვენებლებსა და გამტარებლობის
დარღვევებს შორის კორელაციური კავშირის ხასიათი

	<i>RBBB</i>	<i>LBBB</i>	<i>AVბლოკი</i> <i>Ib</i>	<i>AVბლოკი</i> <i>IIb</i>	<i>AVბლოკი</i> <i>სრული</i>
<i>კბd</i>		-			
<i>r=</i>	,366(**)	0,096	,516(**)	,408(**)	-0,022
<i>P</i>	0,009	0,508	0,003	0,003	0,882
<i>კბ</i>		-			
<i>r=</i>	0,265	0,047	0,121	,340(*)	-0,109
<i>P</i>	0,062	0,748	0,404	0,016	0,453
<i>გგდლი</i>		-			
<i>r=</i>	0,272	0,228	0,277	,323(*)	-0,218
<i>P</i>	0,056	0,111	0,052	0,022	0,129
<i>გვგი</i>					
<i>გ/გ</i>		-			-
<i>r=</i>	,308(*)	0,092	,544(*)	,576(**)	0,143
<i>P</i>	0,029	0,524	0,014	0,007	0,323
<i>გვგი</i>					
<i>გ/გ2,7</i>		-			
<i>r=</i>	,306(*)	0,148	,525(*)	,586(**)	-0,152
<i>P</i>	0,031	0,304	0,021	0,006	0,292

რითმისა და გამტარებლობის დარღვევები კორელირებდნენ დიასტოლური
ფუნქციის მაჩვენებლებთან (*იხ.ცხ. 31 და ცხ.32*)

დიასტოლურ ფუნქციასა და რითმის დარღვევებს შორის კორელაციური კავშირი

	<i>ʒɔ</i>	<i>ʒɔb</i>	<i>bʒɔb</i>	<i>პაუზა >1,5</i>	<i>ðɔ</i>	<i>ʒθ</i>	<i>bʒθ</i>
<i>Ev</i>							
<i>m/s</i>							
<i>r</i>	-,436(**)	-,486(**)	-0,007	-0,114	0,203	-,557(**)	-0,147
<i>P</i>	0,002	0,000	0,964	0,429	0,158	0,000	0,309
<i>Av</i>							
<i>m/s</i>							
<i>r</i>	,415(**)	,389(**)	0,072	0,058	0,000	0,081	0,067
<i>P</i>	0,003	0,005	0,618	0,687	1,000	0,576	0,645
<i>Ev/Av</i>							
<i>r</i>	-,543(**)	-,616(**)	-0,088	-0,132	0,115	-,424(**)	-0,152
<i>P</i>	0,000	0,000	0,542	0,362	0,427	0,002	0,291
<i>DT</i>			-		-		
<i>r</i>	,498(**)	,332(*)	0,013	0,076	0,027	,443(**)	0,178
<i>P</i>	0,000	0,019	0,931	0,599	0,850	0,001	0,217

დიასტოლურ ფუნქციასა და გამტარებლობის დარღვევებს
შორის კორელაცია

	RBBB	LBBB	<i>AVბლოკიo</i> <i>Ib</i>	<i>AVბლოკიo</i> <i>IIb</i>	<i>AVბლოკიo</i> <i>სრულიo</i>
E_v					
m/s					
r	-0,088	0,190	-0,010	-0,219	-,353(*)
P	0,545	0,187	0,943	0,127	0,012
A_v					
m/s					
r	,342(*)	0,064	-0,103	-,372(**)	-0,087
P	0,015	0,659	0,478	0,008	0,548
E_v/A_v					
r	0,167	0,106	-0,527(**)	-0,568(**)	-0,113
P	0,246	0,465	0,042	0,009	0,433
DT	-				
r	,307(*)	0,031	,489(*)	,481(**)	0,035
P	0,030	0,832	0,042	0,006	0,810

ვეტერან ხპორტსმენებში არ გამოვლინდა კორელაციური კავშირი მათის ხერუქებულ მაჩვენებლებსა და გულის რითმის ვარიაბელობას შორის, ისევე როგორც დიასტოლურ ფუნქციასა და გულის რითმის ვარიაბელობის პარამეტრებს შორის. კორელაციური კავშირი არ იყო გამოვლენილი, აგრეთვე, გულის რითმის ვარიაბელობასა და რითმის დარღვევებს შორის.

არ გამოვლინდა კორელაცია მათის ხიხტოლურ ფუნქციასა (გვ) და გულის ხერუქებულ მაჩვენებლებს, დატვირთვის ტებების არაელექტროკარდიოგრაფიულ პარამეტრებსა, გულის რითმის ვარიაბელობასა და რითმის დარღვევებს შორის..

გულის რითმის გარიაბელობის მაჩვენებლები კორელირებდნენ დატვირთვაზე ქრონოტროპული პასუხის მაჩვენებლებთან, როგორც კეტერანი სპორტსმენების, ასევე საკონტროლო ჯგუფში (იხ. ცხრ.33 და ცხრ.34)

ცხრილი 33

კორელაციური კავშირი დატვირთვაზე ქრონოტროპული პასუხის პარამეტრებსა და გულის რითმის გარიაბელობის მაჩვენებლებს შორის I ჯგუფში

	$\partial\mathcal{C}_b$ $\partial\omega_b$	$\partial\mathcal{C}_b$ $\partial\sigma_0$	$\partial\mathcal{C}_b$ 85% $\partial\sigma^2$	$\partial\mathcal{C}_{b\text{r}}$	$\partial\mathcal{C}_{b\text{g}}$	$\partial\mathcal{C}_{b40-100}$	$WL100$	$\partial\mathcal{C}_b$ აღდგ 1f σ
VLF								
r	-,263(**)	0,254	,407(**)	,349(*)	0,222	0,530(**)	,581(**)	0,262
p	0,001	0,075	0,003	0,013	0,122	0,008	0,006	0,066
LF								
r	0,125	0,015	0,120	0,041	0,043	0,022	0,229	,041
p	0,388	0,919	0,405	0,777	0,765	0,880	0,109	0,777
HF								
r	0,256	-0,234	-0,267	-0,212	-,376(**)	-0,255	-0,012	0,128
p	0,072	0,102	0,061	0,140	0,007	0,073	0,933	0,375
LF/HF								
r	-0,232	,348(*)	,630(*)	,322(*)	,480(**)	,690(*)	,593(**)	-0,107
p	0,106	0,013	0,019	0,023	0,000	0,041	0,009	0,459

კორელაციური კავშირი დატვირთვაზე ქრონოტროპული პასუხის პარამეტრებსა
და გულის რითმის ვარიაბელობის მაჩვენებლებს შორის II ჯგუფში

	∂Gb ∂m_{bg}	∂Gb ∂o_{go}	$\partial \partial Gb$ 85% ∂o_{gbf}	$\partial Gb_{\text{რრ}}$	$\partial Gb_{\text{გრ}}$	∂Gb_{40-100}	$WL100$	∂Gb აღდგ 1f ^თ
VLF								
r	-,224(**)	0,254	,345(**)	,123	0,222	0431(**)	,461(**)	0,262
p	0,001	0,075	0,003	0,096	0,122	0,008	0,006	0,066
LF								
r	0,125	0,015	0,120	0,041	0,043	0,022	0,229	,041
p	0,388	0,919	0,405	0,777	0,765	0,880	0,109	0,777
HF								
r	0,256	-0,234	-0,267	-0,212	-,376(**)	-0,255	-0,012	0,128
p	0,072	0,102	0,061	0,140	0,007	0,073	0,933	0,375
LF/HF								
r	-0,232	,348(*)	,630(*)	,322(*)	,480(**)	,690(*)	,593(**)	-0,107
p	0,106	0,013	0,019	0,023	0,000	0,041	0,009	0,459

გულის რითმის ვარიაბელობის, ისევე როგორც დატვირთვაზე ქრონოტროპული პასუხის მაჩვენებლები კორელირებდნენ ფიზიკური აქტივობის დონეთან.
(იხ.ცხრ. 35 ცხრ. 36, ცხრ. 37, ცხრ. 38, გრ. 12, გრ. 13, გრ. 14, გრ. 15, გრ. 16,
გრ. 17)

დატვირთვაზე ქრონოგროპული პასუხის მაჩვენებლებსა და ფიზიკურ
აქტივობას შორის კორელაცია I ჯგუფში

	∂Gb $\Delta \rho_{\text{so}}$	∂Gb 85% $\Delta \rho_{\text{L}} \beta$	$\partial Gb_{\text{რ}}$	$\partial Gb_{\text{გ}}$	∂Gb_{40-100}	$WL100$	∂Gb ალლგ 1f σ
r							
	,388(**)	,604(**)	,470(**)	,413(**)	,435(**)	,592(**)	,239(*)
P	0,000	0,000	0,000	0,000	0,000	0,000	0,030

გა – ფიზიკური აქტივობა

გულის რითმის ვარიაბელობისა და
ფიზიკურ აქტივობას შორის კორელაცია
I ჯგუფში

	VLF	LF	HF	LF/HF
r				
	,690(**)	0,550	0,070	,490(**)
P	0,000	0,009	0,508	0,000

გა – ფიზიკური აქტივობა

C бრილoз7

გულის რითმის ვარიაბელობისა და ფიზიკურ

აქტივობას შორის კორელაცია II ჯგუფში

	VLF	LF	HF	LF/HF
<i>g</i>				
<i>r</i>	,802(**)	,460(**)	-0,211	,469(**)
<i>P</i>	0,000	0,001	0,141	0,001

g – ფიზიკური აქტივობა

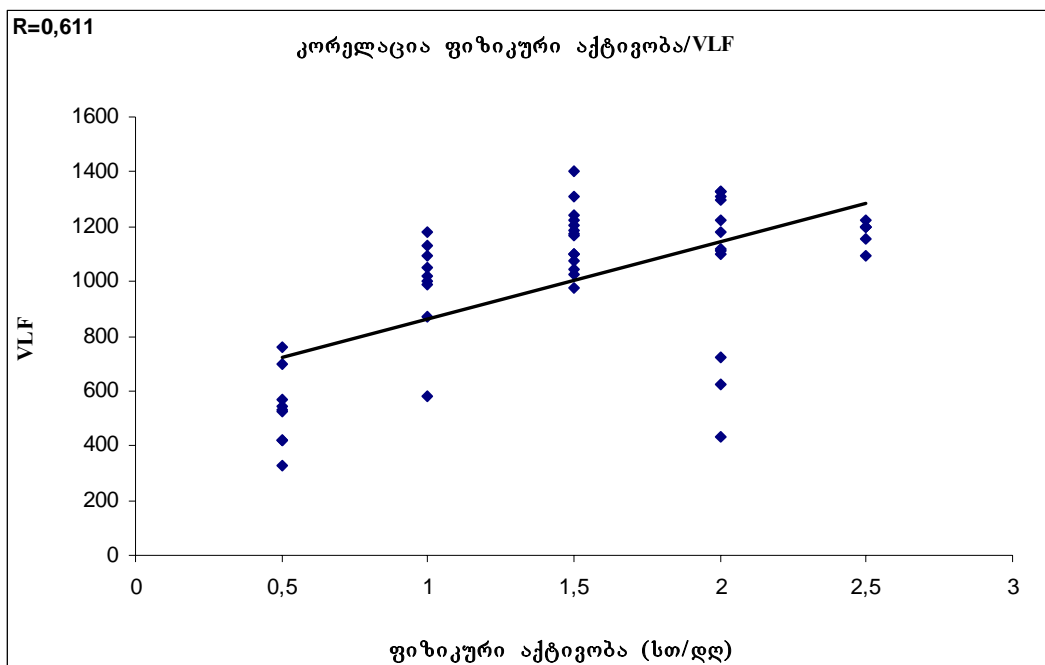
C бრილoз8

დატვირთვაზე ქრონოტროპული პასუხის მაჩვენებლებსა და ფიზიკურ

აქტივობას შორის კორელაცია II ჯგუფში

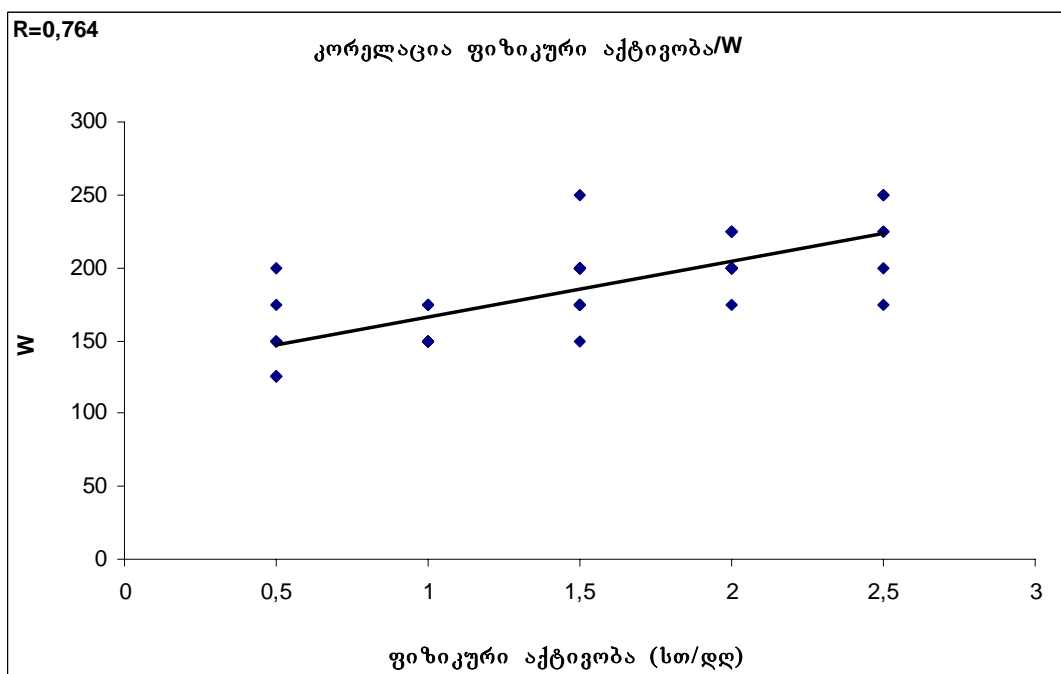
	<i>δG</i> <i>b</i> <i>30J0</i>	<i>δG</i> <i>b</i> 85% <i>δoLgP</i>	<i>δG</i> <i>b</i> <i>r</i> <i>r</i>	<i>δG</i> <i>b</i> <i>g</i> <i>R</i>	<i>δG</i> <i>b</i> <i>40-</i> 100	<i>WL100</i>	<i>δG</i> <i>b</i> აღღგ 170
<i>g</i>							
<i>r</i>	0,387(**)(**)	,490(**)	0,455(*)	0,485(*)	0,670(**)	0,540(*)	- 0,565(**)
<i>P</i>	0,006	0,000	0,037	0,012	0,002	0,009	0,004

გრაფიკი 12

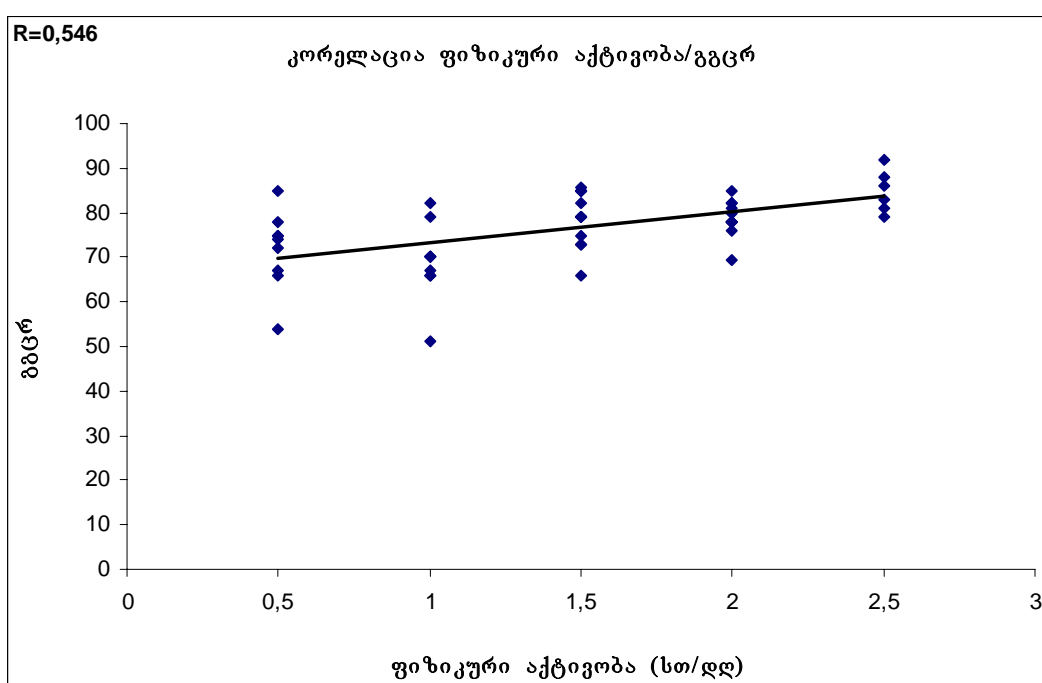
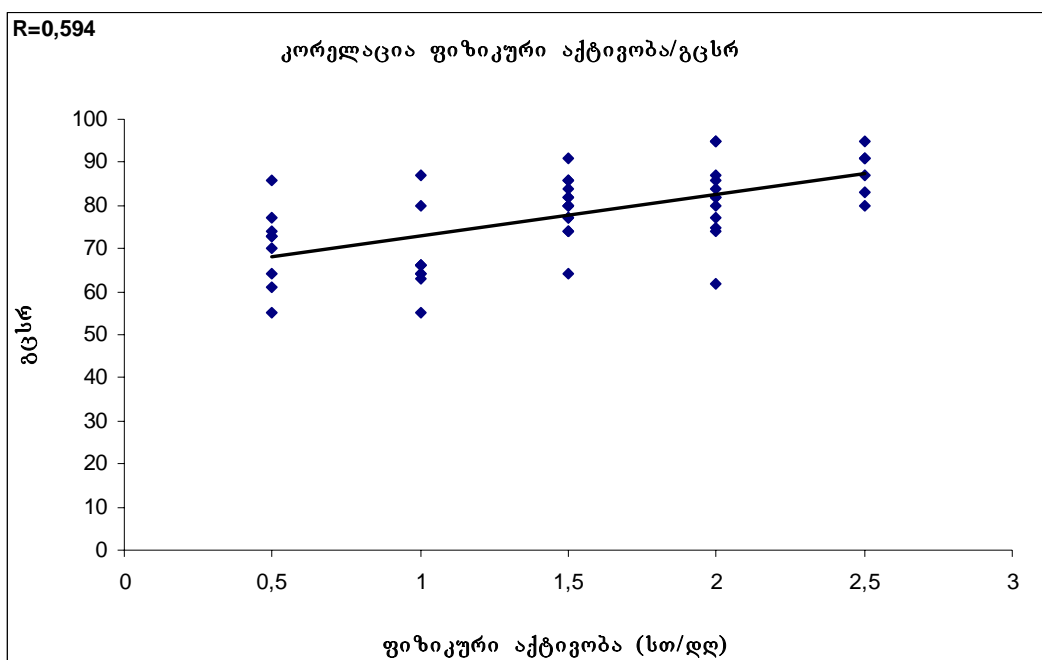


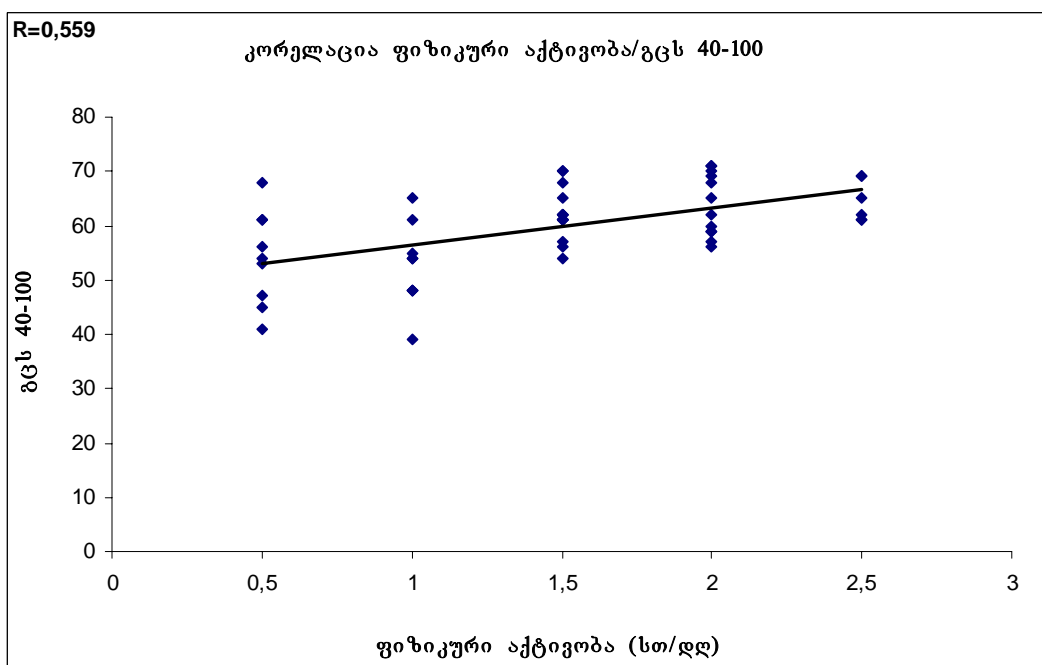
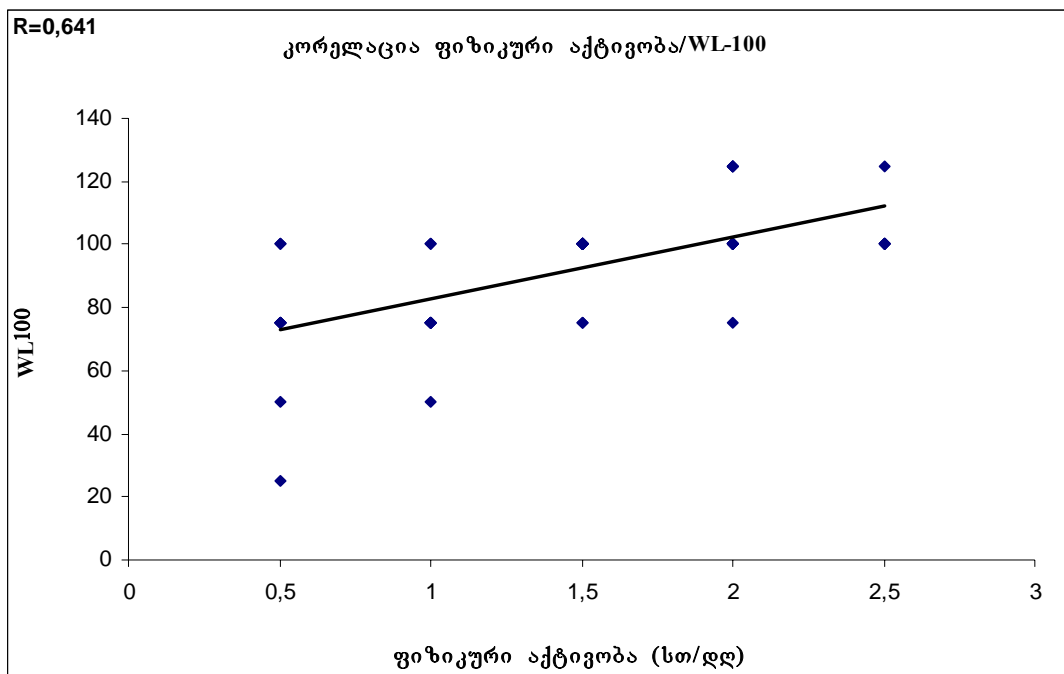
გრაფიკი 13

ფიზიკურ აქტივობასა და მშს შორის კორელაციური კავშირი



W – გაქსიმალური შესრულებული სამუშაო





III ჯგუფში მსგავსად I ჯგუფისა გამოვლინდა კორელაციური კავშირი მპ-ის სტრუქტურულ და დიასტოლური ფუნქციის მაჩვენებლებს შორის (იხ.3.1.2) აგრეთვე მპ-ის სტრუქტურულ და QTd მაჩვენებლებს შორის, მპ-ის სტრუქტურულ და დიასტოლური ფუნქციის მაჩვენებლებსა და დატგირთვაზე ქრონოტროპული პასუხის პარამეტრებს შორის, მპ-ის სტრუქტურულ და დიასტოლური ფუნქციის

მაჩვენებლებსა და პარკუჭოვან არითმიებს შორის(იხ. ცხრ..39, ცხრ..40, ცხრ. 41, ცხრ..42, ცხრ..43)

ცხრილი 39

მპ-ის სტრუქტურულ და QTd მაჩვენებლებს შორის
კორელაციური კავშირი

	კუ სისქე	კუ სისქე	გვერდი	კუ გვერდი	კუ გვერდი
QTd					
r	-0,541	-0,435	0,032	-0,087	-0,448
P	0,086	0,182	0,925	0,799	0,168
ΔQTd	-				
r	0,595(**)	0,301	-0,475	-0,486(*)	0,621 (*)
P	0,008	0,368	0,140	0,041	0,037

ცხრილი 40

მპ-ის დიასტოლურ და QTd მაჩვენებლებს შორის
კორელაციური კავშირი

	E_v	A_v	E_v/A_v	D_T
QTd				
r	0,264	0,430	0,177	-0,197
P	0,433	0,187	0,602	0,562
ΔQTd	-			
r	0,437(*)	-0,203	-0,344	0,450(*)
P	0,039	0,550	0,300	0,015

გპ-ის სტრუქტურულ და დატვირთვაზე ქრონოტროპულ

პასუხს შორის კორელაციური კავშირი III ჯგუფში

	∂G^b $\partial \rho_{\text{gas}}$	$\partial \partial G^b$ 85%	$\partial G^b \rho_{\text{air}}$	$\partial G^b g_{\text{air}}$	$\partial G^b 40-$ 100	$WL100$	∂G^b აღდგ 1% ^o
პასუხი $r=$	- 0,389(*)	0,092	0,248	0,138	-0,390(*)	0,035	-0,398(*)
პასუხი P	0,007	0,788	0,463	0,686	0,015	0,918	0,004
პასუხი $r=$	0,420	0,384	-0,604(*)	-0,612(*)	-0,345	0,499	0,377
პასუხი P	0,198	0,243	0,049	0,007	0,299	0,118	0,253
მთელდა $r=$	- 0,397(*)	0,238	0,162	0,184	-0,394(*)	0,174	-0,228
პასუხი P	0,047	0,482	0,634	0,588	0,030	0,608	0,501
გვერდი ∂/∂^2 $r=$	-0,255	-0,115	-0,665(*)	-0,617(*)	-0,379(*)	0,210	-0,370(*
პასუხი P	0,449	0,735	0,050	0,033	0,041	0,535	0,001
გვერდი $\partial/\partial^2,7$ $r=$	0,111	0,231	-0,694(*)	-0,657(*)	-0,446(*)	0,239	-0,407(*
პასუხი P	0,744	0,494	0,031	0,048	0,043	0,479	0,031

ცხრილი 42

გა-ის სტრუქტურულ მაჩვენებლებსა და რითმის
დარღვევებს შორის კორელაციური კავშირი III ჯგუფში

	<i>პირის ხილები</i>	<i>უბ ხილები</i>	<i>მარცვლი</i>	<i>პირი გარე</i>	<i>პირი გარე, 7</i>
<i>r</i>	-0,095				
<i>P</i>	0,781	0,527	0,719	0,598	0,598
<i>ხშირი</i>	-				
<i>პერს</i>	0,570(*)	-	-	-	-
<i>r</i>	0,306	0,584(*)	0,459(*)	0,499(*)	
<i>P</i>	0,360	0,059	0,029	0,032	
	<i>0,067</i>				

ცხრილი 43

დიასტოლურ ფუნქციასა და რითმის
დარღვევებს შორის კორელაცია

	<i>Ev</i>	<i>Av</i>	<i>Ev/Av</i>	<i>DT</i>
<i>r</i>	0,097	0,449	0,000	0,060
<i>P</i>	0,777	0,166	1,000	0,860
<i>ხშირი</i>	-	-	-	
<i>პერს</i>	0,484	,690(*)	-	
<i>r</i>	0,484	,690(*)	0,443(*)	0,272
<i>P</i>	0,132	0,019	0,022	0,418

ამგვარად, კეტერან სპორტსმენებში, ისევე როგორც პაციენტებში არტ. პიპერტებზით, მარცხენა პარკუტის სტრუქტურული მაჩვენებლები-- კედლის სისქები, ღრუს დიამეტრი და მას მასა კორელირებდნენ დიასტოლური ფუნქციის მაჩვენებლებთან. აღინიშნა კორელაციური კავშირი მას სტრუქტურულ- ფუნქციურ მაჩვენებლებსა დატვირთვის ტენის არაელექტროკარდიოგრაფიულ პარამეტრებს შორის. კერძოდ, მას კედლის სისქების, ღრუს დიამეტრის, მას მასისა და დიასტოლური ფუნქციის მაჩვენებლები კორელირებდნენ ფიზიკური ფუნქციურუნარიანობის, დატვირთვაზე ქრონოტროპული პასუხის ზოგიერთ პარამეტრსა და სისტოლურ-დიასტოლური წნევის მაჩვენებლებთან. მას სტრუქტურულ- ფუნქციურ მაჩვენებლები კეტერან სპორტსმენებში, მსგავსად პაციენტებისა არტჰიკერტებზით, კორელირებდნენ QT ინტერვალის დისპერსიის მაჩვენებლებთან, აგრეთვე გულის რითმისა და გამტარებლობის დარღვევებთან. არ გამოვლინდა კორელაციური კავშირი მარცხენა პარკუტის სტრუქტურულ- ფუნქციურ მაჩვენებლებსა და გულის რითმის გარიაბელობას შორის. კეტერან სპორტსმენებში გულის რითმის გარიაბელობის მაჩვენებლები მაღალი იყო , როგორც ინდივიდებში მას პიპერტროფით, ასევე მას პიპერტროფის გარეშე. გულის რითმის გარიაბელობის მაჩვენებლები და დატვირთვაზე ქრონოტროპული პასუხის პარამეტრები კორელაციას ავლენდნენ ფიზიკური აქტივობის დონესთან. **ცხრილში 44** ნაჩვენებია I ჯგუფში მას მასის, დიასტოლური ფუნქციის, დატვირთვაზე ქრონოტროპული პასუხისა და რითმის გარიაბელობის მაჩვენებლებს შორის კავშირი

კორელაციური კავშირი დატვირთვაზე ქრონოტროპული
პასუხისა და გულის რითმის ვარიაბელობის მაჩვენებლებსა, მა -ის
მასასა და დიასტოლურ ფუნქციას შორის I ჯგუფში

	<i>VLF</i>	<i>LF</i>	<i>HF</i>	<i>LF/HF</i>	$\partial\bar{\partial}\theta$	$\mathcal{L}o\bar{o}a\bar{o}\mathcal{G}$.
$\partial\bar{\partial}b$	+	+	+	+	+	+
$\partial\bar{\partial}b$	+	+	+	+	---	---
$85\% \text{ } \partial\bar{\partial}\mathcal{L}$						
$\partial\bar{\partial}b\mathcal{L}\mathcal{R}$	+	+	+	+	+	+
$\partial\bar{\partial}b\mathcal{L}\mathcal{R}$	+	+	+	+	+	+
$\partial\bar{\partial}b40-$ 100	+	+	+	+	+	+
$WL \ 100$	+	+	+	+	---	---
$\mathcal{L}o\bar{o}a\bar{o}\mathcal{S}$ $\mathcal{A}\mathcal{L}\mathcal{D}\mathcal{G}\mathcal{J}\mathcal{B}$	+	+	+	+	+	+
$\partial\bar{\partial}\theta$	---	---	---	---		+
$\mathcal{L}o\bar{o}a\bar{o}\mathcal{G}$. $\mathcal{G}\mathcal{U}\mathcal{B}\mathcal{J}\mathcal{C}\mathcal{O}\mathcal{A}$	---	---	---	---	+	

+ -- $r > 0, 5$

+ -- $r < 0,5$

-- յորդապուստ առ արօն

თავი. IV

შედეგების განხილვა

IV.1. მარცხენა პარკუჭის სტრუქტურულ- ფუნქციური მაჩვენებლები

ვეტერან სპორტსმენებში მარცხენა პარკუჭის ზომებისა, და შესაბამისად მასის მაჩვენებლები სარწმუნოდ აღემატებოდა იგივე ასაკის არასპორტსმენ ჯანმრთელ პირთა საკონტროლო ჯგუფის მონაცემებს და უახლოვდებოდა არტერიული ჰიპერტენზით პაციენტების მაჩვენებლებს. ვეტერან სპორტსმენთა ნაწილში (16%) მარცხენა პარკუჭის როგორც ღრუს დიამეტრი, ასევე კედლის სისქეები და მასა სცილდებოდა მიღებული ნორმის ფარგლებს და შეესაბამებოდა ჰიპერტროფიის კრიტერიუმებს. (მატი $>125\text{გ}/\text{მ}^2$, პარკუჭთაშუა ძგიდისა და/ან უკანა კედლის სისქე $>12\text{მმ}$ და მპ-ის ენდდიასტოლური დიამეტრი $>55\text{მმ}$) [307,308,309]. რამდენადაც, კვლევაში ჩართულ ვეტერან სპორტსმენებს არ აღენიშნებოდათ გულ-სისხლძარღვთა სისტემის მანიფესტირებული დაავადება, როგორც მარცხენა პარკუჭის ზომების საშუალო ჯგუფური მაჩვენებლების მატება საკონტროლო ჯგუფთან შედარებით, ასევე მარცხენა პარკუჭის ჰიპერტროფიის დადებითი კრიტერიუმები ცალკეულ ინდივიდებში შესაძლებელია აიხსნას წარსულში მაღალინტენსიური ფიზიკური ტრენირების შედეგად განვითარებული ჰიპერტროფიული რემოდელირების არასრული რეგრესით განპირობებული რეზიდუალური ჰიპერტროფიით. აღნიშნულ მოსაზრებას ამყარებს გარემოება, რომ კვლევაში ჩართული იყვნენ მაღალი რანგის ე.წ. მოასპარეზე ან შეჯიბრებების მონაწილე სპორტსმენები, რომელთა ფიზიკური ტრენირების მაღალი ინტენსივობა ზრდის გულის ჰიპერტროფიის განვითარების შესაძლებლობას. აქვე უნდა აღინიშნოს, რომ სპორტსმენთა კვლევაში ჩართვის კრიტერიუმების გათვალისწინებით, ვეტერანი სპორტსმენების აქტიური სპორტული მოღვაწეობის ხანგრძლივობა აღემატებოდა 10 წელს, რაც ჰიპერტროფიის შესაბამისი სტიმულის არსებობის პირობებში გაცილებით აღემატება გულის ჰიპერტროფიის განვითარებისათვის აუცილებელი დროის ექსპოზიციას. მეორეს მხრივ, სპორტული აქტივობის შეწყვეტის შემდეგ გასული დრო აღემატებოდა 5 წელს, რაც არსებული მონაცემებით რეალურად გამორიცხავს ჰიპერტროფიული რემოდელირების შემდგომი რეგრესის შესაძლებლობას [315,316,317,67,318, 68, 69]. ვეტერან სპორტსმენთა ასაკი არ აღემატებოდა 55 წელს. ამავე დროს საკვლევი ჯგუფის მონაცემები კონტროლდებოდა იგივე რაოდენობის იდენტური ასაკობრივი ჯგუფის

ნაკლებაქტიურ პირთა მონაცემებთან, რაც საშუალებას იძლევა უგულებელვყოთ ასაკობრივი ფაქტორის როლი მპ-ის ჰიპერტროფიის განვითარებაში.. ვეტერან სპორტსმენებში მარცხენა პარკუჭის ჰიპერტროფიის შესახებ მიუთითენ აგრეთვე Pelliccia A, Maron BJ და თანავგ. [69] , Pia Luthi და თანავგ [139]. აგრეთვე Miki T და თანავგ.[137] ჩვენი მონაცემებით ვეტერან სპორტსმენებში მპ-ის ღრუს დიამეტრთან ერთად მომატებული იყო კედლის სისქეებიც, განსხვავებით Pelliccia A, Maron BJ და თანავგ. მონაცემებისაგან, რომელთა მიხედვით ვეტერან სპორტსმენთა დაახლოებით 50 %-ში მომატებული იყო მარცხენა პარკუჭის ღრუს დიამეტრი, კედლის სისქეები კი არ სცილდებოდა ნორმის ფარგლებს, რაც შეიძლება აიხსნას იმითაც, რომ კვლევებში ჩართული სპორტსმენები წარმოადგენდნენ სპორტის განსხვავებულ სახეობებს. Miki T და თანავგ. მიერ 104 სპორტსმენში ჩატარებულ პროსპექტულ კვლევაში ვეტერან სპორტსმენებში როგორც, პარკუჭის ზომები, ასევე კედლის სისქეები მომატებული იყო საკონტროლო ჯგუფის პირებთან შედარებით[137].

ჩვენი მონაცემებით, მარცხენა პარკუჭის ჰიპერტროფიით ვეტერან სპორტსმენთა დიდ უმრავლესობაში (~ 90%), მსგავსად პაციენტებისა არტერიული ჰიპერტენზიით, ვლინდებოდა დიასტოლური დისფუნქციის ნიშნები. ვეტერან სპორტსმენებში დიასტოლური დისფუნქცია, ისევე როგორც პაციენტებში არტერიული ჰიპერტენზიით, კორელირებდა მიოკარდიუმის მასის ინდექსთან, კედლის სისქეებთან და ღრუს ზომებთან. ვეტერან სპორტსმენებში მარცხენა პარკუჭის ჰიპერტროფიის გარეშე, ისევე როგორც საკონტროლო ჯგუფში, დიასტოლური დისფუნქცია არ გამოვლინდა არც ერთ შემთხვევაში. ვეტერან სპორტსმენებში მარცხენა პარკუჭის ჰიპერტროფიასთან ასოცირებული დიასტოლური დისფუნქციის შესახებ მიუთითებენ სხვა კვლევებიც [69,139] აქვე უნდა აღინიშნოს, რომ ვეტერანთა კვლევები გამოირჩევა მცირერიცხოვნებითა და ასევე, მცირემასშტაბურობით. მიუხედავად იმისა, რომ კვლევაში ჩართულ ვეტერან სპორტსმენებს არ აღენიშნებოდათ გულის მანიფესტირებული დაავადება, მარცხენა პარკუჭის ჰიპერტროფია ვეტერან სპორტსმენებში ვერ ჩაითვლება ჰიპერტროფიის ფიზიოლოგიურ გარიანტად, რამდენადაც ფიზიოლოგიური ჰიპერტროფიის უმთავრესი კრიტერიუმებია სისტოლურ-დიასტოლური დისფუნქციის არარსებობა და ჰიპერტროფიის რეგრესირება რემოდელირების სტიმულის ზემოქმედების შეწყვეტის შემდეგ. საფიქრებელია, რომ სპორტული ჰიპერტროფიის არასრული რეგრესი განპირობებულია გარკვეულ შემთხვევებში სპორტული ჰიპერტროფიის მორფოლოგიური

სუბსტრატის მსგავსებით პათოლოგიური ჰიპერტროფიისათვის დამახასიათებელ ცვლილებებთან, რომელთა შორის ძირითადია ინტერსტიციული ფიბროზის არსებობა. აღნიშნული მოსაზრების ერთ-ერთ არგუმენტად შესაძლებელია ჩაითვალოს, ბოლო დროს ვეტერან სპორტსმენებში მიოკარდიუმის ფიბროზის ბიოქიმიური მარკერების აღმოჩენა [165]. საყურადღებოა, რომ, კვლევაში ჩართვის კრიტერიუმების გათვალისწინებით კვლევის მონაწილე ვეტერანი სპორტსმენები მას-ის ჰიპერტროფიით და ჰიპერტროფიის გარეშე მნიშვნელოვნად არ განსხვავდებოდნენ წარსულში ტრენირების ხანგრძლივობის მიხედვით, ასევე პრაქტიკულად თანაბარი იყო ტრენირების ინტენსივობა და რეგულარობა, რამდენადაც კვლევაში ჩართული იყვნენ მაღალი კლასის მსგავსი სპორტის სახეობების წარმომადგენლები. სარწმუნო განსხვავებები არ აღინიშნებოდა, აგრეთვე, სპორტსმენთა შორის სხეულის მასის ინდექსისა და კვლევის პერიოდისათვის ფიზიკური აქტივობის მიხედვით (ფაქტორები, რომელთაც შეუძლიათ გავლენა იქონიონ მიოკარდიუმის ზომებისა და მასის მაჩვენებლებზე). ჩვენი კვლევის ეს შედეგი შესაბამისობაშია რიგი კვლევების [315,69,62,64] მონაცემებთან, რომელთა მიხედვით, როგორც ვეტერან, ასევე ახალგაზრდა მომქმედ მოასპარეზე სპორტსმენებში ტრენირების ხანგრძლივობის, ინტენსივობისა და რეგულარობის თანაბარ პირობებში მარცხენა პარკუჭის ჰიპერტროფია გვხვდება შემთხვევათა მხოლოდ გარკვეულ ნაწილში, რაც საფიქრებელია დეტერმინირებულია გენეტიკური თავისებურებებით. სპორტსმენებში მარცხენა პარკუჭის ჰიპერტროფიასა და გენურ პოლიმორფიზმს შორის კავშირი გამოვლინდა რიგ კვლევებში [303,304,305]

ფართომასშტაბიანმა პოპულაციურმა კვლევებმა აჩვენა, რომ მარცხენა პარკუჭის ჰიპერტროფია მნიშვნელოვნად ზრდის კარდიოგასკულური სიკვდილობისა და მათ შორის უეცარი სიკვდილის რისკს[2,7]. აქედან გამომდინარე, საფიქრებელია, რომ ვეტერან სპორტსმენებში მარცხენა პარკუჭის ჰიპერტროფიასა და განსაკუთრებით, დიასტოლურ დისფუნქციასთან ასოცირებული მას-ის ჰიპერტროფიის არსებობა შესაძლებელია ჩაითვალოს მომატებული კარდიოგასკულური რისკის მაჩვენებლად, თუმცა სპორტსმენებში მარცხენა პარკუჭის ჰიპერტროფიის პროცენტული მნიშვნელობის შეფასება საჭიროებს შემდგომ ფართომასშტაბიან პროსექტულ კვლევებს [].

IV.2. QT დისპერია მოსვენებისას და დატვირთვის პირობებში

კვლევის ფარგლებში ყველა საკვლევ ჯგუფში დატვირთვის ტესტის დროს შეფასებული იყო QT ინტერვალის დისპერსიის ცვლილება. რიგი კვლევების მონაცემებით QT ინტერვალის დისპერსიის ზრდა ფატალური არითმიებისა და უეცარი სიკვდილის პრედიქტორია[200,201,202,203,204]. QT ინტერვალის დისპერსიის ზრდა, ანუ ეპბ-ს 12 განხრაში QT ინტერვალის ვარიაბელობის მატება, ასახავს პარკუჭთა რეპოლარიზაციის დისპერსიის ზრდას, რაც პარკუჭთა ფიბრილაციის აღმოცენების ერთ-ერთი ძირითადი მექანიზმია. პიპერტროფირებულ მიოკარდიუმში ელექტრული იმპულსის გატარების ხანგრძლივობა იმატებს ენდოკარდიუმიდან ეპიკარდიუმამდე, რაც განაპირობებს დეპოლარიზაციის შეფერხებასა და მიოკარდიუმის ელექტრული არასტაბილობის ზრდას.

მიოკარდიუმის პათოლოგიური პიპერტროფიის დროს მიოციტების ზრდით განპირობებული მოქმედების პოტენციალების გახანგრძლივება ასოცირებულია ინტერსტიციული ფიბროზით გამოწვეული მოქმედების პოტენციალის ამპლიტუდის და მემბრანული პოტენციალების დაქვეითებასთან, რაც ხელს უწყობს მიოკარდიუმის ელექტრული არაპომოგენობის განვითარებას და ფატალური არითმიების აღმოცენებას[209,210]. ფიზიოლოგიური პიპერტროფიის დროს მიოციტების იზოლირებული პიპერტროფია ინტერსტიციული ფიბროზის გარეშე რამდენადმე განსხვავებულ პირობებს ქმნის მიოკარდიუმის ბიოელექტრული აქტივობისათვის. მრავალრიცხოვანი კვლევები მიუთითებენ მაის პათოლოგიური პიპერტროფიის დროს QT ინტერვალის დისპერსიის ზრდის შესახებ [213] ამავე დროს, რიგი კვლევების მონაცემებით გულის სპორტული პიპერტროფიის დროს QT ინტერვალის დისპერსიის ზრდა არ იყო ნანახი [158,156,157,219]. მნიშვნელოვან პროგნოზულ კრიტერიუმად არის მიჩნეული QT ინტერვალის დისპერსიის დინამიკა დატვირთვის ტესტის დროს [218,223,224]. ჯანმრთელებში QTd მცირდება დატვირთვის პიკზე. სპორტსმენებში მაის პიპერტროფიით ნანახი იყო QTd-ის ზრდა დატვირთვის დროს [ქიშმარეა ო, ფადავა ზ [220,159] ჩვენი კვლევის მონაცემებით QTd-ის დინამიკა განსხვავდებოდა ვეტერან სპორტსმენებში მაის პიპერტროფიით და მაის პიპერტროფიის გარეშე. მაის პიპერტროფიით სპორტსმენების უმრავლესობაში, მსგავსად პაციენტებისა არტერიული პიპერტენზით, QTd იზრდებოდა დატვირთვის პიკზე. ხოლო, ვეტერან სპორტსმენებში მაის პიპერტროფიის გარეშე და საკონტროლო ჯგუფის პირებში QTd მცირდებოდა დატვირთვის განმავლობაში ან რჩებოდა უცვლელი. ამგვარად, შესაძლებელია დაგასკვნათ,

რომ მარცხენა პარკუჭის პიპერტროფია როგორც ვეტერან სპორტსმენებში, ასევე პაციენტებში არტ. პიპერტენზით ასოცირებულია QTd დისპერსიის ზრდასთან დატვირთვის დროს და შესაბამისად QTd დატვირთვის დროს ავლენს მსგავს დინამიკას ვეტერან სპორტსმენებში მპ-ის პიპერტროფიით და პაციენტებში არტ. პიპერტენზით. ყოველივე ზემოაღნიშნულიდან გამომდინარე ვეტერან სპორტსმენებში მპ-ის პიპერტროფიით QTd დისპერსიის ზრდა დატვირთვისას შესაძლებელია მიუთითებდეს ვეტერან სპორტსმენებში მპ-ის პიპერტროფიის არაფიზიოლოგიურობაზე და შესაბამისად, შესაძლოა განვიხილოთ, როგორც არასახარბიელო პროგნოზული მარკერი.

IV. 3. დატვირთვის ტესტის არაელექტროკარდიოგრაფიული მაჩვენებლები

ბოლოდროინდელ კვლევებში ნაჩვენები იყო ასიმპტომურ პირებში კარდიოვასკულური რისკის შესაფასებლად დატვირთვის ტესტის არაელექტროკარდიოგრაფიული მაჩვენებლების მაღალი პროგნოზული ღირებულება. დატვირთვაზე ქრონოტროპული პასუხისა და დატვირთვის შემდგომ რითმის აღდგენის მაჩვენებლები მჭიდროდ კორელირებენ კარდიული ინციდენტების განვითარების, კარდიოვასკულური სიკვდილობის, უეცარი სიკვდილისა და საერთო სიკვდილობის მაჩვენებლებთან [167,320,168,240]. წარმოდგენილ კვლევაში გაანალიზებული და შედარებული იყო ველოერგომეტრული დატვირთვის ტესტის არაელექტროკარდიოგრაფიული პარამეტრები : ფუნქციურუნარიანობა, დატვირთვაზე ქრონოტროპული პასუხის მაჩვენებლები, რითმის აღდგენის მაჩვენებლები და არტერიული წნევის სისტოლური და დიასტოლური მაჩვენებლების დინამიკა დატვირთვის დროს ვეტერან სპორტსმენებში, საკონტროლო ჯგუფის პირებში და პაციენტებში არტერიული პიპერტენზით.

ფუნქციურუნარიანობა ფასდებოდა მაქსიმალური შესრულებული სამუშაოს მაჩვენებლით (**ზშს**), რომელიც, როგორც ჯგუფების შედარებამ აჩვენა ყველაზე მაღალი იყო ვეტერანი სპორტსმენების ჯგუფში. პაციენტებში არტერიული პიპერტენზით ფუნქციურუნარიანობის მაჩვენებელი ჩამორჩებოდა, როგორც სპორტმენების, ასევე საკონტროლო ჯგუფის მაჩვენებლებს. მარცხენა პარკუჭის პიპერტროფიითა და დიასტოლური დისფუნქციით ვეტერანი სპორტსმენების ჯგუფში ფუნქციურუნარიანობის მაჩვენებელი ჩამორჩებოდა მპ-ის პიპერტროფიის გარეშე სპორტსმენების მაჩვენებელი ჩამორჩებოდა მაგრამ არ იყო

დაქვეითებული იყო საკონტროლო ჯგუფთან შედარებით და მნიშვნელოვნად აღემატებოდა არტერიული ჰიპერტენზიით პაციენტებში თუ მაჩვენებელს.

მგცხ (მოსვენების გულისცემის სიხშირე) სარწმუნოდ არ განსხვავდებოდა ჯგუფებს შორის.

რიგი კვლევების მონაცემებით არაელექტროკარდიოგრაფიულ მაჩვენებელთაგან რისკის შეფასების თვალსაზრისით განსაკუთრებულად მაღალინფორმატიულია დატვირთვაზე ქრონოტროპული პასუხის პარამეტრები [170]. აქვე უნდა აღინიშნოს, რომ დატვირთვაზე ქრონოტროპული პასუხის შეფასების სირთულე მდგომარეობს ოპტიმალური მაჩვენებლების შერჩევაში. სადღეისოდ ქრონოტროპული პასუხის შესაფასებლად მოწოდებულია სხვადასხვა ინდექსები, რომლებიც მეტ-ნაკლებად განიცდიან რიგი ფაქტორების გავლენას, როგორიცაა: კარდიოვასკულური ფიტნესი, მოსვენების რითმი, მალიმიტირებელი კორონარული დაავადება და სხვა.[167,320] ჩვენს კვლევაში ვსაზღვრავდით დატვირთვაზე ქრონოტროპული პასუხის ექვს მაჩვენებელს – **პგცს, მგცხ85% მიღწევა, გცსრრ, გცსგრ, გცს40-100 და WL100 -ს ვეტერან სპორტსმენებში, საკონტროლო ჯგუფის პირებში და პაციენტებში არტერიული ჰიპერტენზიით.** ჯგუფებში ფასდებოდა კორელაციები ქრონოტროპულ პასუხის მაჩვენებლებს შორის. აგრეთვე ქრონოტროპულ პასუხის მაჩვენებლებსა და მოსვენების რითმს, ფუნქციურუნარიანობასა და რითმის აღდგენის მაჩვენებელს შორის. გარდა ამისა, უნდა აღინიშნოს, რომ პირველად იყო შეფასებული კავშირულთიერთობა ქრონოტროპული პასუხის მაჩვენებლებსა და გულის რითმის ვარიაბელობის მაჩვენებლებს შორის. აღნიშნული კავშირების შესწავლამ, ერთის მხრივ, შესაძლებლობა მოგვცა გამოგვევლინა მჭიდრო კორელაცია ქრონოტროპული პასუხის ზოგიერთ მაჩვენებელსა და გულის რითმის ვარიაბელობის პარამეტრებს შორის; და მეორეს მხრივ, გამოგვეყო ქრონოტროპული პასუხის მაჩვენებლების ოპტიმალური კომპლექსი, რომელიც, საფიქრებელია აღექვატურად ასახავს გულის ავტონომიური რეგულაციის ფუნქციას. ქრონოტროპული პასუხის მაჩვენებლები ყველაზე მაღალი იყო ვეტერანი სპორტსმენების ჯგუფში. არტერიული ჰიპერტენზიით პაციენტებში ქრონოტროპული მაჩვენებლები მნიშვნელოვნად დაქვეითებული იყო, როგორც ვეტერანებთან ,ასევე საკონტროლო ჯგუფის პირებთან შედარებით.

პიკური გცს მაჩვენებელი ვეტერანი სპორტსმენების ჯგუფში სარწმუნოდ აღემატებოდა, როგორც არტერიული ჰიპერტენზიით პაციენტების, ასევე საკონტროლო ჯგუფის მაჩვენებლებს. პიკური გცს მაჩვენებელი ვეტერან

სპორტსმენებში მარცხენა პარკუჭის ჰიპერტოფიით დაქვეითებული იყო , შედარებით სპორტსმენებთან მარცხენა პარკუჭის ჰიპერტოფიის გარეშე. **გცს რეალური რეზერვი**, ისევე როგორც გამოყენებული გცს-რეზერვი ვეტერან სპორტსმენებში მნიშვნელოვნად და სარწმუნოდ აღემატებოდა საკონტროლო ჯგუფისა და არტერიული ჰიპერტენზიით პაციენტების მონაცემებს. **მაქსიმალური ასაკობრივი გცს-ს 85% მიღწევის** მაჩვენებელი სარწმუნოდ მაღალი იყო ვეტერან სპორტსმენებში არტერიული ჰიპერტენზიით პაციენტებსა და საკონტროლო ჯგუფის პირებთან შედარებით. მაქსიმალური ასაკობრივი გცს-ს 85% მიღწევის მაჩვენებელი სარწმუნოდ მაღალი იყო ასევე ვეტერან სპორტსმენებში მარცხენა პარკუჭის ჰიპერტოფიის გარეშე, შედარებით სპორტსმენებთან მარცხენა პარკუჭის ჰიპერტოფიით. სპორტსმენებში მარცხენა პარკუჭის ჰიპერტოფიით 85% მიღწევის მაჩვენებელი აღემატებოდა იგივე მაჩვენებელს პაციენტებში არტერიული ჰიპერტენზიით. **ინდექსი გცს 40-100** და **WL100** ასევე ყველაზე მაღალი იყო ვეტერან სპორტსმენების ჯგუფში. სპორტსმენებში მარცხენა პარკუჭის ჰიპერტოფიით ინდექსი გცს 40-100 და WL100 სარწმუნოდ აღემატებოდა იგივე მაჩვენებლებს პაციენტებში არტერიული ჰიპერტენზიით. **გულისცემის აღდგენის მაჩვენებელი** ასევე სარწმუნოდ მაღალი იყო ვეტერან სპორტსმენების ჯგუფში, შედარებით საკონტროლო ჯგუფის პირებთან და პაციენტებთან არტერიული ჰიპერტენზიით. ვეტერან სპორტსმენების ჯგუფში მარცხენა პარკუჭის ჰიპერტოფიით გულისცემის აღდგენის მაჩვენებელი სარწმუნოდ მაღალი იყო შედარებით პაციენტებთან არტერიული ჰიპერტენზიით. დატვირთვაზე ქრონოტროპული პასუხის ინდექსები, ისევე როგორც აღდგენის პერიოდში გულისცემის შემცირების მაჩვენებელი რიგი კვლევების და, მათ შორის ფრემინგემის კვლევის მონაცემებით, მაღალ კორელაციას ავლენენ როგორც კორონარული დაავადების განვითარების, ასევე კარდიოგასკულური სიკვდილობის, უეცარი სიკვდილის და საერთო სიკვდილობის მაჩვენებლებთან. დატვირთვაზე ქრონოტროპული პასუხის დაქვეითება უეცარი სიკვდილისა და ზოგადად კარდიოგასკულური შემთხვევების მძლავრი პრედიქტორია[319]. ჩვენი კვლევის მონაცემებით დატვირთვაზე ქრონოტროპული პასუხისა და გცს -ს აღდგენის მაჩვენებლები, ისევე როგორც ფუნქციურუნარიანობა მაღალია ვეტერან სპორტსმენებში შედარებით საკონტროლო ჯგუფის პირებთან და პაციენტებთან არტერიული ჰიპერტენზიით. ქრონოტროპული პასუხისა და გცს -ს აღდგენის მაჩვენებლები მაღალია, აგროვე, ვეტერან სპორტსმენებში მარცხენა პარკუჭის ჰიპერტოფიით,

შედარებით საკონტროლო ჯგუფის პირებთან და პაციენტებთან არტერიული ჰიპერტენზიით. პაციენტებში არტერიული ჰიპერტენზიით ქრონოტროპული პასუხისა და გცხ –ს აღდგენის მაჩვენებლები, ისევე ფუნქციურუნარიანობა დაქვეითებულია, როგორც ვეტერან საორგანიზებთან, ასევე საკონტროლო ჯგუფის პირებთან შედარებით. ვეტერან საორგანიზებში როგორც მპ-ის ჰიპერტროფიის გარეშე, ასევე მპ-ის ჰიპერტროფიით ქრონოტროპული პასუხისა და გცხ –ს აღდგენის მაღალი მაჩვენებლები შესაძლებელია აიხსნას ტრენირების დადებითი ეფექტით გულის ავტონომიურ სარეგულაციო ფუნქციაზე, რამდენადაც დატვირთვაზე ქრონოტროპული პასუხის ფორმირებაში მნიშვნელოვან როლს ასრულებს გულის ავტონომიური რეგულაცია ვაგალური დეზაქტივაციისა და სიმპატიკური აქტივაციის ბალანსირებული ზემოქმედების გზით[42]. ყოველივე ზემოაღნიშნული საფუძვლებს გვაძლევს, ვიფიქროთ, რომ ფიზიკური აქტივობის ზრდით განპირობებული კარდიოვსასკულური რისკის მოდიფიცირების ერთერთი ფაქტორია გულის ავტონომიური სარეგულაციო ფუნქციის გაუმჯობესება.

ყველა საკვლევ ჯგუფში ფასდებოდა სისტოლური და დიასტოლური წნევის დინამიკა დატვირთვის ტესტის დროს. პაციენტებში არტერიული ჰიპერტენზიით, განსხვავებით საორგანიზებისა და საკონტროლო ჯგუფისაგან, აღინიშნებოდა როგორც სისტოლური, ასევე დიასტოლური წნევის მკვეთრი მატება დატვირთვის განმავლობაში. ვეტერანი საორგანიზების ჯგუფში სისტოლური წნევის მატება სარწმუნოდ მაღალი იყო კონტროლებთან შედარებით. განსხვავებით საკონტროლო ჯგუფისაგან სპორტსმენების ჯგუფში აღინიშნა დიასტოლური წნევის უმნიშვნელო, მაგრამ სარწმუნო მატება დატვირთვის ტესტის დროს. როგორც სისტოლური, ასევე დიასტოლური წნევის მნიშვნელოვანი მატება გამოვლინდა სპორტსმენებში მარცხენა პარკუჭის ჰიპერტროფიით. დატვირთვაზე, როგორც სისტოლური, ასევე დიასტოლური წნევის მატება კორელირებდა მპ-ის მასის ინდექსთან. ამგვარად, სპორტსმენებში მარცხენა პარკუჭის ჰიპერტროფიით გამოვლინდა არტერიული წნევის ჰიპერტენზიული რეაქცია. რიგი კვლევების მონაცემების მიხედვით დატვირთვაზე არტერიული წნევის ჰიპერტენზიული რეაქცია, ისევე როგორც, მარცხენა პარკუჭის ჰიპერტროფია არტერიული ჰიპერტენზიის განვითარების პროგნოზული მარკერია [245]. ზემოაღნიშნული გვაფიქრებინებს, რომ ვეტერან საორგანიზებში მარცხენა პარკუჭის ჰიპერტროფიით არტერიული ჰიპერტენზიის

განვითარების ალბათობა მაღალია, როგორც ხაკონტროლო ჯგუფის პირებთან, ასევე მპ-ის პიპერტროფის გარეშე ხპორტსმენებთან შედარებით.

IV.4. გულის რითმის ვარიაბელობა და რითმის დარღვევები

წარმოდგენილ კვლევაში ,პირველად, იყო შესწავლილი გულის ავტონომიურ ფუნქციასა და დატვირთვაზე ქრონოტროპულ პასუხს შორის ურთიერთკავშირის ხასიათი როგორც ვეტერან სპორტსმენებში, ასევე საშ. ასაკის ნაკლებაქტიურ ჯანმრთელ მამაკაცებში და შესაბამისი ასაკისა და სქესის პაციენტებში არტკიპერტენზით. გულის ავტონომიური ფუნქცია შეისწავლებოდა ჰოლტერის 24-საათიანი ეპგ მონიტორირებით განსაზღვრული გულის რითმის ვარიაბელობის სიხშირული მაჩვენებლების შეფასების გზით. გაანალიზებული იყო VLF, LF, HF, LF/HF მაჩვენებლები. რიგი კვლევების მონაცემებით გრვ-ის დაქვეითება უეცარი სიკვდილის პრედიქტორია [245,246,247]. ვეტერან სპორტსმენებში , როგორც მპ-ის პიპერტროფით, ასევე პიპერტროფის გარეშე აღინიშნებოდა **გრვს** მაჩვენებლების მომატება საკონტროლო ჯგუფის პირებსა და არტ. პიპერტენზით პაციენტებთან შედარებით. არტერიული პიპერტენზით პაციენტებში გრვ დაქვეითებული იყო საკონტროლო ჯგუფთან შედარებით. როგორც ზევით ავლიშნეთ, ვეტერან სპორტსმენებში **გრვს** მომატება ასოცირებული იყო დატვირთვაზე ქრონოტროპული პასუხებისა და რითმის აღდგენის მაღალ მაჩვენებლებთან. გულის რითმის ვარიაბელობის მაჩვენებლები არ კორელირებდნენ მიოკარდიუმის მასის, ზომების და მპ-ის დიასტოლური ფუნქციის მაჩვენებლებთან როგორც ვეტერანი სპორტსმენების , ასევე საკონტროლო და არტერიული პიპერტენზით პაციენტების ჯგუფებში. არ აღინიშნებოდა კორელაციური კავშირი გულის რითმის ვარიაბელობასა და დატვირთვისას QTd მაჩვენებლებს შორის. კორელაცია არ გამოვლინდა აგრეთვე გულის რითმის ვარიაბელობასა და გულის რითმის დარღვევებს შორის. აღსანიშნავია, რომ გამოვლინდა კორელაციური კავშირი გულის რითმის ვარიაბელობასა და ფიზიკური აქტივობის დონეს შორის. მსგავსი მონაცემები მიღებული იყო სხვა კვლევებშიც [129,255,322]. ფიზიკური აქტივობის დონე კორელირებდა აგრეთვე დატვირთვაზე ქრონოტროპული პასუხების მაჩვენებლებთან.

საკვლევ ჯგუფებში რითმის დარღვევების შედარებამ აჩვენა, რომ ვეტერან სპორტსმენებში საკონტროლო ჯგუფის პირებსა და არტერიული პიპერტენზით პაციენტებთან შედარებით ხშირი იყო გულის რითმისა და გამტარებლობის

სხვადასხვა დარღვევები: მკვეთრი ბრადიკარდია, სინუსის პვანძის სისუსტე, პარკუჭშიდა და AV გამტარებლობის დარღვევები (მათ შორის IIb. AV ბლოკი), აგრეთვე კომპლექსური არითმიები. მარცხენა პარკუჭის ჰიპერტროფიით ვეტერან სპორტსმენთა შორის გამოვლენილი იყო სუპრავენტრიკულური და პარკუჭოვანი ტაქიკარდიის, ასევე მოციმციმე არითმის ეპიზოდები. გულის რითმის დარღვევები ვეტერან სპორტსმენებში კორელირებდა მპ-ის სტრუქტურულ და დიასტოლური ფუნქციის მაჩვენებლებთან, აგრეთვე დატვირთვისას QTd დინამიკასთან. ვეტერან სპორტსმენებში მპ-ის ჰიპერტროფიით რითმის დარღვევები სარწმუნოდ ხშირი იყო შედარებით სპორტსმენებთან მპ-ის ჰიპერტროფიის გარეშე, სუპრავენტრიკულური და პარკუჭოვანი ექსტრასისტოლიის სიხშირის მიხედვით საკვლევი ჯგუფები არსებითად არ განსხვავდებოდნენ. არტერიული ჰიპერტენზიით პაციენტებში ხშირი იყო კომპლექსური არითმია საკონტროლო ჯგუფის პირებთან შედარებით. როგორც ავლიშნეთ, არ გამოვლინდა კორელაცია რითმის დარღვევებსა და გულის რითმის ვარიაბელობას შორის.

გულის რითმისა და გამტარებლობის მაღალი რისკის დარღვევები ვეტერან სპორტსმენებში, მათ შორის ინდივიდუებში მარცხენა პარკუჭის ჰიპერტროფიით, ასოცირებულია გულის რითმის ვარიაბელობის მაჩვენებლების მომატებასთან, რაც შესაძლოა, ამცირებს ფატალური არითმიების განვითარების ალბათობას.

დ ა ს კ გ ნ ე ბ ი

1. საშუალო ასაკის ვეტერან სპორტსმენთა ნაწილში გამოვლინდა მარცხენა პარკუჭის ჰიპერტოფია, რომელიც განპირობებული უნდა იყოს მაღალინტენსიური ფიზიკური დატვირთვებით ინდუცირებული ე,წ. სპორტული რემოდელირების არასრული რეგრესით, ანუ რეზიდუალური ჰიპერტოფიით.
2. ვეტერან სპორტსმენთა დიდ უმრავლესობაში მარცხენა პარკუჭის ჰიპერტოფია ასოცირებულია დიასტოლურ დისფუნქციასთან, მსგავსად პაციენტებისა არტერიული ჰიპერტენზით.
3. ვეტერან სპორტსმენებში მარცხენა პარკუჭის ჰიპერტოფიით, ისევე როგორც პაციენტებში არტერიული ჰიპერტენზით, გამოვლინდა QT ინტერვალის დისპერსიის ზრდა დატვირთვის დროს, ხოლო საკონტროლო ჯგუფის პირებში და სპორტსმენებში მარცხენა პარკუჭის ჰიპერტოფიის გარეშე დატვირთვის დროს QT ინტერვალის დისპერსია რჩებოდა უცვლელი ან მცირდებოდა.
4. ვეტერან სპორტსმენებში აღინიშნა დატვირთვაზე ქრონოტროპული პასუხის მაღალი მაჩვენებლები მოხალისებითან და არტერიული ჰიპერტენზით პაციენტებთან შედარებით, ხოლო არტერიული ჰიპერტენზით პაციენტებში დატვირთვაზე ქრონოტროპული პასუხის მაჩვენებლები დაქვეითებული იყო ჯანმრთელებთან შედარებით.
.
5. ვეტერან სპორტსმენებში მარცხენა პარკუჭის ჰიპერტოფიით გამოვლინდა დატვირთვაზე არტერიული წნევის ჰიპერტენზიული რეაქცია, რაც მიუთითებს არტერიული ჰიპერტენზის განვითარების მაღალ რისკზე.
- 6.ვეტერან სპორტსმენებში, მათ შორის ინდივიდებში მარცხენა პარკუჭის ჰიპერტოფიით, აღინიშნა გულის რითმის გარიაბელობის მომატება იგივე ასაკის ჯანმრთელ პირებთან და არტერიული ჰიპერტენზით პაციენტებთან შედარებით, ხოლო არტერიული ჰიპერტენზით პაციენტებში რითმის გარიაბელობის მაჩვენებლები დაქვეითებული იყო ჯანმრთელებთან შედარებით

7. გამოვლინდა დადებითი კორელაცია გულის რითმის ვარიაბელობისა და დატვირთვაზე ქრონოგროპული პასუხის მაჩვენებლებს შორის, როგორც ვეტერან სპორტსმენებში, ასევე საკონტროლო ჯგუფის პირებში და პაციენტებში არტერიული ჰიპერტენზიით. აღინიშნა კორელაცია გულის რითმის ვარიაბელობისა და დატვირთვაზე ქრონოგროპული პასუხის მაჩვენებლებსა და ფიზიკურ აქტივობას შორის.

8. ვეტერან სპორტსმენებში სშირია გამოხატული სინუსური ბრადიკარდია, AV გამტარებლობის დარღვევები, მაღალი გრადაციის პარკუჭოვანი და კომპლექსური არითმიები, შედარებით იგივე ასაკის ნაკლებაქტიურ ჯანმრთელ პირებთან.

9. ვეტერან სპორტსმენებში, მათ შორის ინდივიდუებში მარცხენა პარკუჭის ჰიპერტროფიით, გულის რითმისა და გამტარებლობის დარღვევები არ არის ასოცირებული გულის რითმის ვარიაბელობისა და დატვირთვაზე ქრონოგროპული პასუხის მაჩვენებლების დაქვეითებასთან, განსხვავებით პაციენტებისაგან არტერიული ჰიპერტენზიით.

10. მარცხენა პარკუჭის ჰიპერტროფია, რომელიც ვლინდება საშუალო ასაკის ასიმპტომურ ვეტერან სპორტსმენებში, შემთხვევათა უმრავლესობაში ასოცირდება დიასტოლური დისფუნქციის არსებობასთან, დატვირთვაზე QT ინტერვალის დისპერსიის ზრდასთან და გულის რითმის დარღვევებთან, მსგავსად პაციენტებისა არტერიული ჰიპერტენზიით. ამავე დროს, ვეტერან სპორტსმენებში მარცხენა პარკუჭის ჰიპერტროფიით, განსხვავებით პაციენტებისაგან არტერიული ჰიპერტენზიით, გულის რითმის ვარიაბელობისა და დატვირთვაზე ქრონოგროპული პასუხის მაჩვენებლები არ არის დაქვეითებული.

პრაქტიკული რეკომენდაციები

1. ვეტერან სპორტსმენებში, ისევე როგორც ასიმპტომურ ჯანმრთელებში მოზანშეწონილია დატვირთვის ტესტის არაელექტროკარდიოგრაფიული პარამეტრების: ქრონოტროპული პასუხისა და რითმის აღდაგნის მაჩვენებლების განსაზღვრა გულის ავტონომიური რეგულაციისა და კარდიოგასტულური რისკის შესაფასებლად.
2. დატვირთვაზე ქრონოტროპული პასუხის შეფასება მიზანშეწონილია პარამეტრების შემდეგი კომპლექსის გამოყენებით : გცს-ის გამოყენებული რეზერვის, მაქსიმალური გცს-ს 85% მიღწევა , გცს 40-100, WL 100
3. ვეტერან სპორტსმენებში მარცხენა პარკუჭის ჰიპერტროფიით რეკომენდირებულია დატვირთვაზე ქრონოტროპული პასუხის, QT ინტერვალის დისპერსიის დინამიკისა და რითმის ვარიაბელობის პარამეტრების შეფასება ჰიპერტროფიის გენეზის დიფერენცირების მიზნით.

გამოყენებული ლიტერატურა

- 1.Lauer MS, Evans CE, Levy D. Prognostic implications of subclinical left ventricular dilatation and systolic dysfunction in men free of overt cardiovascular disease (the Framingham heart study). Am J Cardiol. 1992; 70: 1180–1184
- 2.Levy D, Garrison RJ, Savage DD, et al. Prognostic implications of echocardiographically determined left ventricular mass in the Framingham heart study. N Engl J Med. 1990; 322: 1561–1566
- 3.Kardon DE, Borczuk AC, Factor SM. Mechanism of pericardial expansion with cardiac enlargement. Cardiovasc Pathol. 2000; 9: 9–15.
- 4.Bishop J, Lindahl G. Regulation of cardiovascular collagen synthesis by mechanical load. Cardiovasc Res. 1999; 42: 27–44.
- 5.Vasan RS, Larson MG, Levy D, et al. Distribution and categorization of echocardiographic measurements in relation to reference limits: the Framingham Heart Study. Formulation of height- and sex-specific classification and its prospective validation. Circulation. 1997; 96: 1863–1873.
- 6.Shiojima, I., Walsh, K. (2006). Regulation of cardiac growth and coronary angiogenesis by the Akt/PKB signaling pathway. Genes Dev. 20: 3347-3365
- 7.Beverly H. Lorell, MD; Blase A. Carabello, MD. Left Ventricular Hypertrophy Pathogenesis, Detection, and Prognosis. Circulation. 2000;102:470.
- 8.G.Y.H Lip, D.C Felmeden, F.L Li-Saw-Hee, and D.G Beevers Hypertensive heart disease. A complex syndrome or a hypertensive 'cardiomyopathy'? Eur. Heart J., October 2, 2000; 21(20): 1653 - 1665.
- 9.Post, WS, Larson, MG, Levy, D Impact of left ventricular structure on the incidence of hypertension: The Framingham Heart Study. Circulation 1994;90,179-185
- 10.T. V. Cloward, J. M. Walker, R. J. Farney, and J. L. Anderson Left Ventricular Hypertrophy Is a Common Echocardiographic Abnormality in Severe

Obstructive Sleep Apnea and Reverses With Nasal Continuous Positive Airway Pressure
Chest, August 1, 2003; 124(2): 594 - 601.

11. Lloyd-Jones DM, Larson MG, Leip EP, Beiser A, D'Agostino RB, Kannel WB, Murabito JM, Vasan RS, Benjamin EJ, Levy D. Lifetime risk for developing congestive heart failure: the Framingham Heart Study. Circulation. 2002; 106: 3068–3072.

12. Pearlmann AS, A tale of two ventricles: unusual causes of left ventricular hypertrophy. Am Heart Hosp J. 2004 Fall;2(4):235-8

13. Strøm CC, Aplin M, Ploug T, Christoffersen TE, Langfort J, Viese M, Galbo H, Haunsø S, Sheikh SP. Expression profiling reveals differences in metabolic gene expression between exercise-induced cardiac effects and maladaptive cardiac hypertrophy. FEBS J. 2005 Jun;272(11):2684-95

14. Oakley D. General cardiology: the athlete's heart. Heart. 2001; 86: 722–726.

15. Hunter JJ, Chien KR. Signaling pathways for cardiac hypertrophy and failure. N Engl J Med 341: 1276–1283, 1999.

16. Cohn JN, Ferrari R, Sharpe N, et al. Cardiac remodeling—concepts and clinical implications: a consensus paper from an international forum on cardiac remodeling. J Am Coll Cardiol. 2000;35:569–582

17. Swynghedauw B. Molecular mechanisms of myocardial remodeling. Physiol Rev. 1999;79:215–262

18. Weber KT. Targeting pathological remodeling. Concepts of cardioprotection and reparation. Circulation. 2000;102:1342–1345

19. Norton GR, Woodiwiss AJ, Gaasch WH, et al. Heart failure in pressure overload hypertrophy: the relative roles of ventricular remodeling and myocardial dysfunction. J Am Coll Cardiol. 2002;39:664–671

20. Zile MR, Green GR, Schuyler GT, Aurigemma GP, Miller DC, Cooper G IV. Cardiocyte cytoskeleton in patients with left ventricular pressure overload hypertrophy. J Am Coll Cardiol. 2001;37:1080–1084

- 21.** Modesti PA, Vanni S, Bertolozzi I, et al. Early sequence of cardiac adaptations and growth factor formation in pressure- and volume-overload hypertrophy. *Am J Physiol Heart Circ Physiol*. 2000;279:H976–985
- 22.** Chien KR, Knowlton KU, Zhu H, Chien S. Regulation of cardiac gene expression during myocardial growth and hypertrophy: molecular studies of an adaptive physiologic response. *FASEB J*. 1991;5:3037–3046
- 23.** Zou Y, Hiroi Y, Uozumi H, et al. Calcineurin plays a critical role in the development of pressure overload-induced cardiac hypertrophy. *Circulation*. 2001;104:97–101
- 24.** Rothermel BA, McKinsey TA, Vega RB, et al. Myocyte-enriched calcineurin-interacting protein, MCIP1, inhibits cardiac hypertrophy in vivo. *Proc Natl Acad Sci U S A*. 2001;98:3328–3333
- 25.** Peterson, K. L. (2002). Pressure overload hypertrophy and congestive heart failure: Where is the "Achilles' heel"? *J Am Coll Cardiol* 39: 672-675
- 26.** Erami, C., Zhang, H., Ho, J. G., French, D. M., Faber, J. E. (2002). alpha 1-Adrenoceptor stimulation directly induces growth of vascular wall in vivo. *Am. J. Physiol. Heart Circ. Physiol.* 283: H1577-H1587
- 27.** BEHFAR, A., ZINGMAN, L. V., HODGSON, D. M., RAUZIER, J.-M., KANE, G. C., TERZIC, A., PUCEAT, M. (2002). Stem cell differentiation requires a paracrine pathway in the heart. *FASEB J*. 16: 1558-1566
- 28.** Pikkarainen, S., Tokola, H., Kerkela, R., Majalahti-Palviainen, T., Vuolteenaho, O., Ruskoaho, H. (2003). Endothelin-1-specific Activation of B-type Natriuretic Peptide Gene via p38 Mitogen-activated Protein Kinase and Nuclear ETS Factors. *J. Biol. Chem.* 278: 3969-3975
- 29.**;Wang, X., Ren, B., Liu, S., Sentex, E., Tappia, P. S., Dhalla, N. S. (2003). Characterization of cardiac hypertrophy and heart failure due to volume overload in the rat. *J. Appl. Physiol.* 94: 752-763

- 30.**Fortuno, M. A., Gonzalez, A., Ravassa, S., Lopez, B., Diez, J. (2003). Clinical implications of apoptosis in hypertensive heart disease. Am. J. Physiol. Heart Circ. Physiol. 284: H1495-H1506
- 31.**Izumiya, Y., Kim, S., Izumi, Y., Yoshida, K., Yoshiyama, M., Matsuzawa, A., Ichijo, H., Iwao, H. (2003). Apoptosis Signal-Regulating Kinase 1 Plays a Pivotal Role in Angiotensin II-Induced Cardiac Hypertrophy and Remodeling. Circ. Res. 93: 874-883
- 32.**Kulkarni, P. A., Sano, M., Schneider, M. D. (2004). Phosphorylation of RNA Polymerase II in Cardiac Hypertrophy: Cell Enlargement Signals Converge on Cyclin T/Cdk9. Recent Prog Horm Res 59: 125-139
- 33.**van Empel, V. P.M, De Windt, L. J (2004). Myocyte hypertrophy and apoptosis: a balancing act. Cardiovasc Res 63: 487-499
- 34.**Kardami, E., Jiang, Z.-S., Jimenez, S. K, Hirst, C. J, Sheikh, F., Zahradka, P., Cattini, P. A (2004). Fibroblast growth factor 2 isoforms and cardiac hypertrophy. Cardiovasc Res 63: 458-466
- 35.**Fiedler, B., Wollert, K. C (2004). Interference of antihypertrophic molecules and signaling pathways with the Ca²⁺-calcineurin-NFAT cascade in cardiac myocytes. Cardiovasc Res 63: 450-457
- 36.** Klotz, S., Barbone, A., Reiken, S., Holmes, J. W., Naka, Y., Oz, M. C., Marks, A. R., Burkhoff, D. (2005). Left ventricular assist device support normalizes left and right ventricular beta-adrenergic pathway properties. J Am Coll Cardiol 45: 668-676
- 37.**Scultz Jel, Witt SA, et al. TGF-beta 1 mediates the hypertrophic cardiomyocyte growth induced by Angiotensin II. J Clin Invest 109:787-796,2002
- 38 .** van Wamel AJ, Ruhof C, et al.The Role Angiotensin II , Endothelin-1 and transforming growth factor -beta as autocrine/paracrine mediators of strech induced cardiomyocite hypertrophy. Mol Cell Biochem 218: 113-124,2001.
- 39.** Leon J. De Windt,Hae W. Lim, Orlando F. Bueno, Targeted inhibition of calcineurin attenuates cardiac hypertrophy in vivo PNAS 2001 98:3322-3327.

- 40** Burlew BS, Weber KT. Connective tissue and the heart. Functional significance and regulatory mechanisms. *Cardiol Clin.* 2000;18:435–442.[
- 41.** McMullen J, Izumo S. Role of the insulin-like growth factor 1 (IGF1)/phosphoinositide-3-kinase (PI3K) pathway mediating physiological cardiac hypertrophy. *Novartis Found Symp.* 2006; 274: 90–111.
- 42.** Selvetella G, Hirsch E, Notte A, Tarone G, Lembo G. Adaptive and maladaptive hypertrophic pathways: points of convergence and divergence. *Cardiovasc Res.* 2004; 63: 373–380
- 43.** Michelucci, A., Colella, A., Galanti, G. (2001) Increased cardiac sympathetic activity and insulin-like growth factor-I formation are associated with physiological hypertrophy in athletes. *Circ. Res.* 89:977–982
- 44.** Yang, D. K., Choi, B. Y., Lee, Y.-H., Kim, Y.-G., Cho, M.-C., Hong, S.-E., Kim, D. H., Hajjar, R. J., Park, W. J. (2007). Gene profiling during regression of pressure overload-induced cardiac hypertrophy. *Physiol. Genomics* 30: 1-7
- 45.** Delaughter, M.C., Taffet, G.E., (1999) Local insulin-like growth factor I expression induces physiologic, then pathologic, cardiac hypertrophy in transgenic mice. *FASEB J.* 13:1923–1929.
- 46.** Shiojima, I., Sato, K., Izumiya, Y., Schiekofer, S., (2005) Disruption of coordinated cardiac hypertrophy and angiogenesis contributes to the transition to heart failure. *J. Clin. Invest.* 115:2108–2118.
- 47.** Schiekofer, S., Shiojima, I., Sato, K., (2006) Microarray analysis of Akt1 activation in transgenic mouse hearts reveal transcript expression profiles associated with compensatory hypertrophy and failure. *Physiol Genomics* 27:156–170
- 48.** Jeong, D., Kim, J. M., Cha, H., Oh, J. G., Park, J., Yun, S.-H., Ju, E.-S., Jeon, E.-S., Hajjar, R. J., Park, W. J. (2008). PICOT Attenuates Cardiac Hypertrophy by Disrupting Calcineurin-NFAT Signaling. *Circ. Res.* 102: 711-719
- 49.** Chu, C.-H., Tzang, B.-S., Chen, L.-M., Kuo, C.-H., Cheng, Y.-C., Chen, L.-Y., Tsai, F.-J., Tsai, C.-H., Kuo, W.-W., Huang, C.-Y. (2008). IGF-II/mannose-6-phosphate receptor signaling

induced cell hypertrophy and atrial natriuretic peptide/BNP expression via G $\{\alpha\}$ q interaction and protein kinase C- $\{\alpha\}$ /CaMKII activation in H9c2 cardiomyoblast cells. J Endocrinol 197: 381-390

50. Shiojima, I., Walsh K.(2006) Regulation of cardiac growth and coronary angiogenesis by the Akt/PKB signaling pathway. Genes Dev J. 20:3347 -3365

51. Rouf, R., Greytak, S., Wooten, E. C., Wu, J., Boltax, J., Picard, M., Svensson, E. C., Dillmann, W. H., Patten, R. D., Huggins, G. S. (2008). Increased FOG-2 in Failing Myocardium Disrupts Thyroid Hormone-Dependent SERCA2 Gene Transcription. Circ. Res. 103: 493-501

52. Mitchell JH, Haskell W, Snell P, Van Camp SP. Task Force 8: classification of sports. In: Maron BJ, Zipes DP, eds. 36th Bethesda Conference: eligibility recommendations for competitive athletes with cardiovascular abnormalities. J Am Coll Cardiol. 2005; 45: 1364–1367

53. Abernethy WB, Choo JK, Hutter AM Jr. Echocardiographic characteristics of professional football players. J Am Coll Cardiol. 2003; 41: 280–284

54. Maron BJ, Pelliccia A. The heart of trained athletes: cardiac remodeling and the risks of sports, including sudden death. Circulation. 2006; 114: 1633–1644.

55. Fagard R. Athlete's heart. Heart. 2003; 89: 1455–1461

56. Pluim BM, Zwinderman AH, van der Laarse A, Van der Wall EE. The athlete's heart: a meta-analysis of cardiac structure and function. Circulation. 1999; 100: 336–344

57. Sharma S, Maron BJ, Whyte G, et al. Physiologic limits of left ventricular hypertrophy in elite junior athletes: relevance to differential diagnosis of athlete's heart and hypertrophic cardiomyopathy. J Am Coll Cardiol 2002;40:1431–6

58. Fagard RH. Impact of different sports and training on cardiac structure and function. Cardiology Clinics 1997;15:397–412

59. Lewis JF, Spirito P, Pelliccia A, et al. Usefulness of Doppler echocardiographic assessment of diastolic filling in distinguishing "athlete's heart" from hypertrophic cardiomyopathy. Br Heart J 1992;68:296–300.

- 60.**Palka P, Lange A, Fleming AD, et al. Differences in myocardial velocity gradient measured throughout the cardiac cycle in patients with hypertrophic cardiomyopathy, athletes and patients with left ventricular hypertrophy due to hypertension. *J Am Coll Cardiol* 1997;30:760–8.
- 61.**Pelliccia A, Maron BJ, Culasso F, Spataro A, Caselli G. Athlete's heart in women: echocardiographic characterization of highly trained elite female athletes. *JAMA*. 1996; 276: 211–215.
- 62.**Douglas PS, O'Toole ML, Katz SE, Ginsburg GS, Hiller WD, Laird RH. Left ventricular hypertrophy in athletes. *Am J Cardiol*. 1997; 80: 1384–1388.
- 63.**Longhurst JC, Kelly AR, Gonyea WJ, Mitchell JH. Chronic training with static and dynamic exercise: cardiovascular adaptation, and response to exercise. *Circ Res*. 1981; 48 (suppl I): I-172–I-178.
- 64.**Scharhag J, Schneider G, Urhausen A, Rochette V, Kramann B, Kindermann W. Athlete's heart: right and left ventricular mass and function in male endurance athletes and untrained individuals determined by magnetic resonance imaging. *J Am Coll Cardiol*. 2002; 410: 1856–1863.
- 65.**Milliken MC, Stray-Gundersen J, Peshock RM, Katz J, Mitchell JH. Left ventricular mass as determined by magnetic resonance imaging in male endurance athletes. *Am J Cardiol*. 1988; 62: 301–305.
- 66.**Fagard R, Aubert A, Lysens R, Staessen J, Vanhees L, Amery A. Noninvasive assessment of seasonal variations in cardiac structure and function in cyclists. *Circulation*. 1983; 67: 896–901
- 67.**Ehsani AA, Hagberg JM, Hickson RC. Rapid changes in left ventricular dimensions and mass in response to physical conditioning. *Am J Cardiol*. 1978; 42: 52–56
- 68.**Maron BJ, Pelliccia A, Spataro A, Granata M. Reduction in left ventricular wall thickness after deconditioning in highly trained Olympic athletes. *Br Heart J*. 1993; 69: 125–128.
- 69.**Pelliccia A, Maron BJ, de Luca R, Di Paolo FM, Spataro A, Culasso F. Remodeling of left ventricular hypertrophy in elite athletes after long-term deconditioning. *Circulation*. 2002; 105: 944–949.

- 70.**Pelliccia A, Maron BJ, DiPaolo FM, Biffi A, Quattrini FM, Pisicchio C, Roselli A, Caselli S, Culasso F. Prevalence and clinical significance of left atrial remodeling in competitive athletes. *J Am Coll Cardiol.* 2005; 46: 690–696
- 71.**Martin WH III, Coyle EF, Bloomfield SA, Ehsani AA. Effects of physical deconditioning after intense endurance training on left ventricular dimensions and stroke volume. *J Am Coll Cardiol.* 1986; 7: 982–989.
- 72.**Pelliccia A, Maron BJ, Culasso F, Di Paolo FM, Spataro A, Biffi A, Caselli G, Piovano P. Clinical significance of abnormal electrocardiographic patterns in trained athletes. *Circulation.* 2000; 102: 278–284
- 73.**Cavallaro V, Petretta M, Betocchi S, Salvatore C, Morgano G, Bianchi V, Breglio R, Bonaduce D. Effects of sustained training on left ventricular structure and function in top level rowers. *Eur Heart J.* 1993; 14: 898–903.
- 74.**Longhurst JC, Kelly AR, Gonyea WJ, Mitchell JH. Echocardiographic left ventricular masses in distance runners and weight lifters. *J Appl Physiol.* 1980; 48: 154–162.
- 75.**Pelliccia A, Spataro A, Caselli G, Maron BJ. Absence of left ventricular wall thickening in athletes participating in intense power training. *Am J Cardiol.* 1993; 72: 1048–1054.
- 76.**Hauser A, Dressendorfer RH, Vos M, Hashimoto T, Gordon S, Timmis GC. Symmetric cardiac enlargement in highly trained endurance athletes: a two-dimensional echocardiographic study. *Am Heart J.* 1985; 109: 1038–1044.
- 77.**Spirito P, Pelliccia A, Proschak MA, Granata M, Spataro A, Caselli G, Biffi A, Vecchio C, Maron BJ. Morphology of the "athlete's heart" assessed by echocardiography in 947 elite athletes representing 27 sports. *Am J Cardiol.* 1994; 74: 802–806.
- 78.**Maron BJ. Structural features of the athlete heart as defined by echocardiography. *J Am Coll Cardiol.* 1986; 7: 190–203
- 79.**Aaron L. Baggish, Francis Wang, Rory B. Weiner, Jason M. Elinoff, Francois Tournoux, Arthur Boland, Michael H. Picard, Adolph M. Hutter, Jr., and Malissa J. Wood Training-specific changes in cardiac structure and function: a prospective and longitudinal assessment of competitive athletes

80.Fagard RH. Athletes Heart. :a meta-analysis of the echocardiographic experience. Int J Sports Med 1996;17 (suppl 3):S140-4

81.Pelliccia A, Maron BJ, Spataro A, Proschan MA, Spirito P. The upper limit of physiologic cardiac hypertrophy in highly trained elite athletes. N Engl J Med. 1991; 324: 295–301

.82.. Pelliccia A, Culasso F, Di Paolo F, Maron BJ. Physiologic left ventricular cavity dilatation in elite athletes. Ann Intern Med. 1999; 130: 23–3183.**.83.**Pelliccia A, Thompson PD. The genetics of left ventricular remodeling in competitive athletes. J Cardiovasc Med. 2006; 7: 267–270.

84. Fagard R, Van Den Broeke C, Bielen E, et al. Assessment of stiffness of the hypertrophied left ventricle of bicyclists using left ventricular inflow Doppler velocimetry. J Am Coll Cardiol 1987;9:1250–4

85. Fagard R, Van Den Broeke C, Amery A. Left ventricular dynamics during exercise in elite marathon runners. J Am Coll Cardiol 1989;14:112–8.

86. Schneider G, Urhausen A, et al. Athlete's heart. Right and left ventricular mass and function in male endurance athletes and untrained individuals determined by magnetic resonance imaging. J Am Coll Cardiol 2002;40:1856–63

87..Neilan TG, Yoerger DM, Douglas PS, Marshall JE, Halpern EF, Lawlor D, Picard MH, Wood MJ. Persistent and reversible cardiac dysfunction among amateur marathon runners. Eur Heart J. 2006; 27: 1079–1084

88..Montgomery HE, Clarkson P, Dollery CM, Prasad K, Losi MA, Hemingway H, Statters D, Jubb M, Girvain M, Varnava A, World M, Deanfield J, Talmud P, McEwan JR, McKenna WJ, Humphries S. Association of angiotensin-converting enzyme gene I/D polymorphism with change in left ventricular mass in response to physical training. Circulation. 1997; 96: 741–747.

- 89.**Rifai N, Douglas PS, O'Toole M, Rimm E, Ginsburg GS. Cardiac troponin T and I, electrocardiographic wall motion analyses, and ejection fractions in athletes participating in the Hawaii Ironman Triathlon. *Am J Cardiol.* 1999; 83: 1085–1089.
- 90.** T Venckunas, A Stasiulis , R Raugaliene. Concentric muocardial hypertrophy after one year of increased training volume in experienced distance runners. *Br.J.Sports Med.*, August 1, 2006; 40(8): 706-709
- .91.**Middleton N, Shave R, George K, Whyte G, Hart E, Oxborough D, Forster J, Gaze D.Altered left ventricular diastolic filling following a marathon is a reproducible phenomenon. *Int J Cardiol.* 2007 Oct 31;122(1):87-9
- 92..**Huston TP, Puffer JC, Rodney WM. The athletic heart syndrome. *N Engl J Med.* 1985; 313: 24–32.
- 93.** Choo JK, Abernethy WB III, Hutter AM Jr. Electrocardiographic observations in professional football players. *Am J Cardiol.* 2002; 90: 198–200.
- 94.** Balady GJ, Cadigan JB, Ryan TJ. Electrocardiogram of the athlete: an analysis of 289 professional football players. *Am J Cardiol.* 1984; 53: 1339–1343.
- 95.** Maron BJ. Sudden death in young athletes. *N Engl J Med.* 2003; 349: 1064–1075.
- 96.** .Adler Y, Fisman EZ, Koren-Morag N, Tanne D, Shemesh J, Lasry E, Tenenbaum A. Left ventricular diastolic function in trained male weight lifters at rest and during isometric exercise. *Am J Cardiol.* 2008 Jul 1;102(1):97-101
- 97....**Biffi A, Pelliccia A, Verdile L, Fernando F, Spataro A, Caselli S, Santorni M, Maron BJ. Long-term clinical significance of frequent and complex ventricular tachyarrhythmias in trained athletes. *J Am Coll Cardiol.* 2002; 40: 446–452.
- 98. .**Biffi A, Maron BJ, Verdile L, Fernando F, Spataro A, Marcello, Giuseppe, Ammirati F, Colivicchi F, Pelliccia A. Impact of physical deconditioning on ventricular tachyarrhythmias in trained athletes. *J Am Coll Cardiol.* 2004; 44: 1053–1058.

- 99.** Corrado D, Basso C, Pavei A, Schiavon M, Thiene G. Decline of sudden cardiac death in young competitive athletes after implementation of Italian preparticipation screening. *Circulation*. 2005; 112 (suppl II): II-831-II-832.
- 100.** Maron BJ, Zipes DP. 36th Bethesda Conference: eligibility recommendations for competitive athletes with cardiovascular abnormalities. *J Am Coll Cardiol*. 2005; 45: 1312–1375.
- 101.** Corrado D, Pelliccia A, Bjornstad HH, Vanhees L, Biffi A, Borjesson M, et al. Cardiovascular pre-participation screening of young competitive athletes for prevention of sudden death: proposal for a common European protocol. *Eur Heart J* 2005;26:516-24.
- 102.** Maron BJ, Thompson PD, Ackerman MJ, Balady G, Berger S, Cohen D, et al. Recommendations and considerations related to preparticipation screening for cardiovascular abnormalities in competitive athletes: 2007 update. *Circulation* 2007;115:1643-55.
- 103.** Di Luigi L, Pelliccia A, Bonetti A, Francavilla G, Ganzit GP, Veicsteinas A, et al. Clinical efficacy and preventive role of the pre-participation physical examination in Italy. *Med Sport* 2004;57:243-70.
- 104.** Chaitman BR. An electrocardiogram should not be included in routine pre-participation screening of young athletes. *Circulation* 2007;116:2610-5.
- 105.** Myerburg RJ, Vetter VL. Electrocardiograms should be included in pre-participation screening of athletes. *Circulation* 2007;116:2616-26.
- 106.** Pelliccia A. The preparticipation cardiovascular screening of competitive athletes: is it time to change the customary clinical practice? *Eur Heart J* 2007;28:2703-5.
- 107.** Corrado D, Basso C, Pavei A, Michieli P, Schiavon M, Thiene G. Trends in sudden cardiovascular death in young competitive athlete after implementation of a pre-participation screening program. *JAMA* 2006;296:1593-601
- 108.** DM 18/2/1982 con norme integrative del DM 28/2/1983 “Norme per la tutela della attività sportive agonistica e non agonistica”.

- 109.**Delise P, Guiducci U, Zeppilli P, D'Andrea L, Proto C, Bettini R, et al. Consensus document by the Italian Society of Sports Cardiology; Italian Association of Out-of-Hospital Cardiologists; Italian Association of Hospital Cardiologists; Italian Federation of Sports Medicine. Cardiological guidelines for competitive sports eligibility. *Ital Heart J* 2005;6:661-702
- 110.**Pelliccia A, Di Paolo FM, Corrado D, Buccolieri C, Quattrini FM, Pisicchio C, et al. Evidence for efficacy of the Italian national pre-participation screening programme for identification of hypertrophic cardiomyopathy in competitive athlete. *Eur Heart J* 2006;27:2196-200.
- 111.**Pelliccia A, Culasso F, Di Paolo FM, Accettura D, Cantore R, Castagna W, et al. Prevalence of abnormal electrocardiograms in a large, unselected population undergoing pre-participation cardiovascular screening. *Eur Heart J* 2007;28:2006-10..
- 112.**Pelliccia A, Di Paolo FM, Quattrini FM, Basso C, Culasso F, Popoli G, et al. Outcomes in athlete with marked ECG repolarization abnormalities. *N Engl J Med* 2008;358:152-61.
- 113.**Pelliccia A, Fagard R, Bjørnstad HH, Anestassakis A, Arbustini E, Assanelli D, Biffi A, Borjesson M, Carrè F, Corrado D, Delise P, Dorwarth U, Hirth A, Heidbuchel H, Hoffmann E, Mellwig KP, Panhuyzen-Goedkoop N, Pisani A, Solberg E, van-Buuren F, Vanhees L. A European Society of Cardiology consensus document: recommendations for competitive sports participation in athletes with cardiovascular disease. *Eur Heart J*. 2005; 26: 1422–1255
- 114.**Maron BJ. Sudden death in young athletes: lessons from the Hank Gathers affair. *N Engl J Med*. 1993; 329: 55–57.
- 115.**Maron BJ. Cardiovascular risks to young persons on the athletic field. *Ann Intern Med*. 1998; 129: 379–386
- 116.**Maron BJ, Mitten MJ, Quandt EK, Zipes DP. Competitive athletes with cardiovascular disease: the case of Nicholas Knapp. *N Engl J Med*. 1998; 339: 1632–1635.
- 117.**Burke AP, Farb V, Virmani R, Goodin J, Smialek JE. Sports-related and non-sports-related sudden cardiac death in young adults. *Am Heart J*. 1991; 121: 568–575

- 118.**Maron BJ, Shirani J, Poliac LC, Mathenge R, Roberts WC, Mueller FO. Sudden death in young competitive athletes: clinical, demographic and pathologic profiles. *JAMA*. 1996; 276: 199–204.
- 119.** Corrado D, Bassi C, Rizzoli G, Thiene G. Does sport activity enhance the risk of sudden death in adolescents and young adults? *J Am Coll Cardiol*. 2003; 42: 1964–1966.
- 120.**Tümüklü MM, Etikan I, Cinar CS. Left ventricular function in professional football players evaluated by tissue Doppler imaging and strain imaging. *Int J Cardiovasc Imaging*. 2008 Jan;24(1):25-35.
- 121.**Pelliccia A, Maron BJ. Preparticipation cardiovascular evaluation of the competitive athlete: perspectives from the 30 year Italian experience. *Am J Cardiol*. 1995; 75: 827–828.
- 122.**Galetta F, Franzoni F, Plantinga Y, Ghiadoni L, Rossi M, Prattichizzo F, Carpi A, Taddei S, Santoro G. Ambulatory blood pressure monitoring and endothelium-dependent vasodilation in the elderly athletes. *Biomed Pharmacother*. 2006 Sep;60(8):443-7. Epub 2006 Aug 2.
- 123.**Galetta F, Franzoni F, Femia FR, Bartolomucci F, Carpi A, Santoro G. Left ventricular diastolic function and carotid artery wall in elderly athletes and sedentary controls. *Biomed Pharmacother*. 2004 Oct;58(8):437-42.
- 124.**Figozzi F, Alabiso A, Parisi A, Di Salvo V, Di Luigi L, Iellamo F. Vigorous exercise training is not associated with prevalence of ventricular arrhythmias in elderly athletes. *J Sports Med Phys Fitness*. 2004 Mar;44(1):92-
- 125.**Dey SK, Ghosh C, Debray P, Chatterjee M. Coronary artery disease risk factors & their association with physical activity in older athletes. *J Cardiovasc Risk*. 2002 Dec;9(6):383-92.
- 126..**Bouvier F, Saltin B, Nejat M, Jensen-Urstad M. Left ventricular function and perfusion in elderly endurance athletes. *Med Sci Sports Exerc*. 2001 May;33(5):735-40.
- 127.**Lauer MS, Larson MG, Evans JC, Levy D. Association of left ventricular dilatation and hypertrophy with chronotropic incompetence in the Framingham Heart Study. *Am Heart J*. 1999 May;137(5):903-9.

128. Jensen-Urstad K, Bouvier F, Saltin B, Jensen-Urstad M.High prevalence of arrhythmias in elderly male athletes with a lifelong history of regular strenuous exercise. Heart. 1998 Feb;79(2):161-4

129. Jensen-Urstad K, Saltin B, Ericson M, Storck N, Jensen-Urstad M.Pronounced resting bradycardia in male elite runners is associated with high heart rate variability.

130.Jordaens L, Missault L, Pelleman G, Duprez D, De Backer G, Clement DL. Comparison of athletes with life-threatening ventricular arrhythmias with two groups of healthy athletes and a group of normal control subjects.Am J Cardiol. 1994 Dec 1;74(11):1124-8.

131.Kujala UM, Kaprio J, Taimela S, Sarna S.Prevalence of diabetes, hypertension, and ischemic heart disease in former elite athletes.Metabolism. 1994 Oct;43(10):1255-60. Erratum in: Metabolism 1994 Nov;43(11):1456.

132. Costa O, Freitas J, Puig J, Carvalho MJ, Freitas A, Ramos J, Puga N, Lomba I, Fernandes P, de Freitas F.Spectrum analysis of the variability of heart rate in athletes]Rev Port Cardiol. 1991 Jan;10(1):23-8..

133. Northcote RJ, Canning GP, Ballantyne D. Electrocardiographic findings in male veteran endurance athletes.Br Heart J. 1989 Feb;61(2):155-60.

134.Höglund C.Enlarged left atrial dimension in former endurance athletes: an echocardiographic study.Int J Sports Med. 1986 Jun;7(3):133-6.

135..Poh KK, Ton-Nu TT, Neilan TG, Tournoux FB, Picard MH, Wood MJ.Myocardial adaptation and efficiency in response to intensive physical training in elite speedskaters. Int J Cardiol. 2008 Jun 6;126(3):346-51.

136. Vollmer-Larsen A, Vollmer-Larsen B, Kelbaek H, Godtfredsen J. The veteran athlete: an echocardiographic comparison of veteran cyclists, former cyclists and non-athletic subjects. Acta Physiol Scand (1989) 135:393–8

137.Miki T, Yokota Y, Seo T, Yokoyama M. Echocardiographic findings in 104 professional cyclists with follow-up study. Am Heart J (1994) 127:898–905

138.McCann GP, Muir DF, Hillis WS. Athletic left ventricular hypertrophy: long-term studies are required. Eur Heart J (2000) 21:351–3

139. Pia Luthi¹, Michel Zuber², Manfred Ritter³, Echocardiographic findings in former professional cyclists after long-term deconditioning of more than 30 years. European Journal of Echocardiography 2008 9(2):261-267

140.. Oxborough D, Shave R, Middleton N, Whyte G, Forster J, George K. The impact of marathon running upon ventricular function as assessed by 2D, Doppler, and tissue-Doppler echocardiography. Echocardiography. 2006 Sep;23(8):635-41

141.Pluim BM, Swenne CA, Zwinderman AH, Maan AC, van der Laarse A, Doornbos J, Van der Wall EE.Correlation of heart rate variability with cardiac functional and metabolic variables in cyclists with training induced left ventricular hypertrophy.Heart. 1999 Jun;81(6):612-7.

142.Fleg JL, Shapiro EP, O'Connor F, Taube J, Goldberg AP, Lakatta EG.Left ventricular diastolic filling performance in older male athletes.JAMA. 1995 May 3;273(17):1371-5.

143.D'Andrea A, Caso P, Severino S, Sarubbi B, Forni A, Cice G, Esposito N, Scherillo M, Cotrufo M, Calabro R.Different involvement of right ventricular myocardial function in either physiologic or pathologic left ventricular hypertrophy: a Doppler tissue study.J Am Soc Echocardiogr. 2003 Feb;16(2):154-61.J Am Soc Echocardiogr. 2005 Apr;18(4):336-41.

144.Schannwell CM, Schneppenheim M, Plehn G, Marx R, Strauer BE.Left ventricular diastolic function in physiologic and pathologic hypertrophy.Am J Hypertens. 2002 Jun;15(6):513-7.

145.Attenhofer Jost CH, Jenni R.Cardiac Impact of Long-Term Endurance Training: Negligible or Negative?Cardiology. 2008 Aug 19;112(3):232-233. [Epub ahead of print] No abstract available

146.D, Garrison RJ, Savage DD, et al. Prognostic implications of echocardiographically determined left ventricular mass in the Framingham heart study. N Engl J Med. 1990; 322: 1561–1566

147.S, Larson MG, Levy D. Impact of left ventricular structure on the incidence of hypertension. The Framingham Heart Study . Circulation.1994 Jul;90(1): 179-85

166.Henschen S. Skilanglauf und Skiwettlauf. Eine medizinische Sport Studie. Jena: Mitt Med Klin Uppsala, 1899.

148.Esch BT, Bredin SS, Haykowsky MJ, Scott JM, Warburton DE. The potential role of the pericardium on diastolic filling in endurance-trained athletes under conditions of physiological stress. Appl Physiol Nutr Metab. 2007 Apr;32(2):311-7

.**149.**Griffet V, Guérard S, Galoisy-Guibal L, Caignault JR, Bernard F, Brion R. Normal values of the peak early diastolic Ea using myocardial tissue Doppler in 100 elite athletes. Arch Mal Coeur Vaiss. 2007 Oct;100(10):809-15

150.Maron BJ, Bodison S, Wesley YE, Tucker E, Green KJ. Results of screening a large group of intercollegiate competitive athletes for cardiovascular disease. J Am Coll Cardiol. 1987; 10:1214-22.

151. Lewis JF, Maron BJ, Diggs JA, Spencer JE, Mehrotra PP, Curry CL. Preparticipation echocardiographic screening for cardiovascular disease in a large, predominantly black population of collegiate athletes. Am J Cardiol. 1989; 64:1029-33.

152.Fuller CM, McNulty CM, Spring DA, Arger KM, Bruce SS, Chryssos BE, et al. Prospective screening of 5,615 high school athletes for risk of sudden cardiac death. Med Sci Sports Exerc. 1997; 29:1131-8

153. McCann GP, Muir DF, Hillis WS. Athletic left ventricular hypertrophy: long-term studies are required. Eur Heart J (2000) 21:351–3

.**154.**Perseghin G, De Cobelli F, Esposito A, Lattuada G, Terruzzi I, La Torre A, Belloni E, Canuto T, Scifo P, Del Maschio A, Luzi L, Alberti G. Effect of the sporting discipline on the right and left ventricular morphology and function of elite male track runners: a magnetic resonance imaging and phosphorus 31 spectroscopy study. Am Heart J. 2007 Nov;154(5):937-42

155 Muir DF, Love MWA, McCann GP, McGregor GD, Hillis WS. Athletic left ventricular hypertrophy is associated with increased QT dispersion (Abstr). J Am Coll Cardiol 1999; 33

(2 Suppl A).

156. Lonati LM, Magnaghi G, Bizzi C, Leonetti G. Patterns of QT dispersion in athletic and hypertensive left ventricular hypertrophy. Ann Noninvasive Electrocardiol. 2004 Jul;9(3):252-6

157. Zoghi M, Gürgün C, Yavuzgil O, Akilli A, Türkoglu C, Kültürsay H, Akin M. QT dispersion in patients with different etiologies of left ventricular hypertrophy: the significance of QT dispersion in endurance athletes. Int J Cardiol. 2002 Aug;84(2-3):153-9.

158. Mayet J, Kanagaratnam P, Shahi M, Senior R, Doherty M, Poulter NR, Sever PS, Handler CE, Thom SA, Foale RA. QT dispersion in athletic left ventricular hypertrophy. Am Heart J. 1999 Apr;137(4 Pt 1):678-81

159. თ. ქიშმარეია, ზ. ფადავა და თანაავტ. არტერიული წნევისა და თინტერვალის დისპერსიის დინამიკა დატვირთვის განმავლობაში სპორტული და პათოლოგიური ჰიპერტონიული დროს. საქართველოს მეცნიერებათა ეროვნული აკადემიის მოამბე, 173, 2, 2006წ. გვ. 386-388

160. Tsuji H, Venditti FJ, Manders ES, Evans JC, Larson MG, Feldman CL, Levy D. Reduced heart rate variability and mortality risk in an elderly cohort: the Framingham Heart Study. Circulation. 1994;90:878-883

161. Michael S. Lauer, MD; Peter M. Okin, MD; Martin G. Larson. Impaired Heart response to Graded Exercise. Prognostic Implications of Chronotropic Incompetence in the Framingham Heart Study . Circulation. 1996;93:1520-1526

162. Sylvette Baldesberger, Urs Bauersfeld, Reto Candinas, Burkhardt Seifert, Michel Zuber Sinus node disease and arrhythmias in the long-term follow-up of former professional cyclists. European Heart Journal, 2008

.163. Störk T, Möckel M, Müller R, Eichstädt H, Hochrein H. Left ventricular filling behaviour in ultra endurance and amateur athletes: a stress Doppler-echo study. Int J Sports Med. 1992 Nov;13(8):600-4.

164. Galetta F, Franzoni F, Santoro G, Prattichizzo F, et al. QT Dispersion Elderly Athletes with Left Ventricular Hypertrophy. Int J Sports Med. 2003 May;24(4):233-7.

- 165.** M Mitchell Lindsay¹, Francis G Dunn² Biochemical evidence of myocardial fibrosis in veteran endurance athletes British Journal of Sports Medicine 2007;41:447-452
- 166..** Ellestad MH, Wan MK. Predictive implications of stress testing. Follow-up of 2700 subjects after maximum treadmill stress testing. Circulation (1975) 51:363–369
- 167.** Savonen KP, Lakka TA, Laukkanen JA, Halonen PM, Rauramaa TH, Salonen JT, Rauramaa R. Heart rate response during exercise test and cardiovascular mortality in middle-aged men. Eur Heart J (2006) 27:582–588.
- 168.** Jouven X, Empana JP, Schwartz PJ, Desnos M, Courbon D, Ducimetiere P. Heart-rate profile during exercise as a predictor of sudden death. N Engl J Med (2005) 352:1951–1958.
- 169.** Lauer MS, Francis G, Okin PM, Pashkow FJ, Snader CE, Marwick TH. Impaired chronotropic response to exercise stress testing as a predictor of mortality. JAMA (1999) 281::524–5296.
- 170.** Lauer M, Froelicher ES, Williams M, Kligfield P. Exercise testing in asymptomatic adults: a statement for professionals from the American Heart Association Council on Clinical Cardiology, Subcommittee on Exercise, Cardiac Rehabilitation, and Prevention. Circulation (2005) 112:771–777
- 171.** Limongelli G, Verrengia M, Pacileo G, Da Ponte A, Brancaccio P, Canonico R, D'Andrea A, Sarubbi B, Cerasuolo F, Calabró R, Limongelli FM. Left ventricular hypertrophy in Caucasian master athletes: Differences with hypertension and hypertrophic cardiomyopathy. Int J Cardiol. 2006 Jul 28;111(1):113-9
- 172.** Devorah Gurantz, Randy T. Cowling, Francisco J. Villarreal, Barry H. Greenberg. Tumor Necrosis Factor- α Upregulates Angiotensin II Type 1 Receptors on Cardiac Fibroblasts. Circulation Research. 1999;85:272-279
- 173.** T. Tsuruda, M. Jougasaki, G. Boerrigter, B. K. Huntley, H. H. Chen, A. B. D'Assoro, S. C. Lee, A. M. Larsen, A. Cataliotti, and J. C. Burnett Jr. Cardiotrophin-1 Stimulation of Cardiac Fibroblast Growth: Roles for Glycoprotein 130/Leukemia Inhibitory Factor Receptor and the Endothelin Type A Receptor. Circ. Res., February 8, 2002; 90(2): 128 - 134.

174. D. MacKenna, S. R. Summerour, and F. J. Villarreal. Role of mechanical factors in modulating cardiac fibroblast function and extracellular matrix synthesis. *Cardiovasc Res*, May 1, 2000; 46(2): 257 - 263. [Abstract](#) [\[Full Text\]](#) [\[PDF\]](#)

175. Ichijo H, Nishida E, Irie K, Dijke P, Saitoh M, Moriguchi T, Takagi M, Matsumoto K, Miyazono K, Gotoh Y. Induction of apoptosis by ASK1, a mammalian MAPKKK that activates SAPK/JNK and p38 signaling pathways. *Science*. 1997

176. Hirotani S, Otsu K, Nishida K, Higuchi Y, Morita T, Nakayama H, Yamaguchi O, Mano T, Matsumura Y, Ueno H, Tada M, Hori M. Involvement of nuclear factor- κ B and apoptosis signal-regulating kinase 1 in G-protein-coupled receptor agonist-induced cardiomyocyte hypertrophy. *Circulation*. 2002; 105: 509–515

177. Yamaguchi O, Higuchi Y, Hirotani S, Kashiwase K, Nakayama H, Hikoso S, Takeda T, Watanabe T, Asahi M, Taniike M, Matsumura Y, Tsujimoto I, Hongo K, Kusakari Y, Kurihara S, Nishida K, Ichijo H, Hori M, Otsu K. Targeted deletion of apoptosis signal-regulating kinase 1 attenuates left ventricular remodeling. *Proc Natl Acad Sci U S A*. 2003; 100: 15883–15888

178. Heineke J, Molkentin JD. Regulation of cardiac hypertrophy by intracellular signalling pathways. *Nat Rev Mol Cell Biol*. 2006; 7: 589–600

179. Nadal-Ginard B, Kajstura J, Leri A, Anversa P. Myocyte death, growth, and regeneration in cardiac hypertrophy and failure. *Circ Res*. 2003 Feb 7;92(2):139-50. Review

180. Shubeita HE, McDonough PM, Harris AN, et al. Endothelin induction of inositol phospholipid hydrolysis, sarcomere assembly, and cardiac gene expression in ventricular myocytes: a paracrine mechanism for myocardial cell hypertrophy. *J Biol Chem* 1990;265:20555-20562

181. Yamazaki T, Komuro I, Kudoh S, et al. Endothelin-1 is involved in mechanical stress-induced cardiomyocyte hypertrophy. *J Biol Chem* 1996;271:3221-3228

182. Sadoshima J, Izumo S. Molecular characterization of angiotensin II-induced hypertrophy of cardiac myocytes and hyperplasia of cardiac fibroblasts: critical role of the AT1 receptor subtype. *Circ Res* 1993;73:413-423

- 183.**Sadoshima J, Izumo S. The heterotrimeric G q protein-coupled angiotensin II receptor activates p21 ras via the tyrosine kinase-Shc-Grb2-Sos pathway in cardiac myocytes. EMBO J 1996;15:775-787
- 184.**Wollert KC, Taga T, Saito M, et al. Cardiotrophin-1 activates a distinct form of cardiac muscle cell hypertrophy: assembly of sarcomeric units in series VIA gp130/leukemia inhibitory factor receptor-dependent pathways. J Biol Chem 1996;271:9535-9545
- 185.**Sheng Z, Knowlton K, Chen J, Hoshijima M, Brown JH, Chien KR. Cardiotrophin 1 (CT-1) inhibition of cardiac myocyte apoptosis via a mitogen-activated protein kinase-dependent pathway: divergence from downstream CT-1 signals for myocardial cell hypertrophy. J Biol Chem 1997;272:5783-5791
- 186.**Ito H, Hiroe M, Hirata Y, et al. Insulin-like growth factor-I induces hypertrophy with enhanced expression of muscle specific genes in cultured rat cardiomyocytes. Circulation 1993;87:1715-1721
- 187.**Duerr RL, Huang S, Miraliakbar HR, Clark R, Chien KR, Ross J Jr. Insulin-like growth factor-1 enhances ventricular hypertrophy and function during the onset of experimental cardiac failure. J Clin Invest 1995;95:619-627.
- 188.**Yang Z, Bove CM, French BA, et all. Angiotensin II type 2 Receptor overexpression
- 189.**Delcayre C, Silvestre JS, Garnier A, et al. Cardiac Aldosterone production and Left ventricular Remodeling .Kidney Int 57: 1356-1351, 2000
- 190.**Duchman SM, Thohan V, Karla D, Torre- Amione G. Endothelin-1:a new Target of Therapeutic Intervention for Treatment of Heart Failure. Curr Opin Cardiol 15:136-140, 2000.
- 191.**Sigh K, Xiao L, Remondino A, Sawyer DB, Colluci WS. Adrenergic regulation of cardiac myocyte apoptosis. J Cell Physiol 189:257 – 265, 2001.
- 192.**Bradham WS, Bozcurt, et al Tumor necrosis Factor – alpha and myocardial remodeling in progression of heart failure: a current perspective. Cardiovasc Res 53: 822-830, 2002

- 193.** Li YY, Feng YQ, Kadokami T, et al. Myocardial extracellular matrix remodeling in transgenic mice overexpressing tumor necrosis factor-alpha can be modulated by anti-tumor necrosis factor – alpha therapy. *Proc Natl Acad Sci USA* 97: 12746- 12751, 2000.
- 194.** Gurantz D, Cowling RT, et al. Tumor necrosis Factor – alpha upregulates Angiotensin II type 1 receptors on cardiac fibroblasts. *Circ Res* 85: 272-279, 1999
- 195.** Estes NAM, Link MS, Homoud MK, Wang PJ. Electrocardiographic variants and cardiac rhythm and conduction disturbances in the athlete (2000) New York: McGraw Hill. (PD T, ed. Exercise and sports cardiology).
- 196.** Zehender M, Meinertz T, Keul J, Just H. ECG variants and cardiac arrhythmias in athletes: clinical relevance and prognostic importance. *Am Heart J* (1990) 119:1378–1391
- 197.** Zipes DP, Garson A Jr. 26th Bethesda conference: recommendations for determining eligibility for competition in athletes with cardiovascular abnormalities. Task Force 6: arrhythmias. *J Am Coll Cardiol* (1994) 24:892–899
- 198.** Estes NA III, Link MS, Cannom D, Naccarelli GV, Prystowsky EN, Maron BJ, Olshansky B. Report of the NASPE policy conference on arrhythmias and the athlete. *J Cardiovasc Electrophysiol* (2001) 12:1208–1219.
- 199.** Waller AD. A demonstration on man of electromotive changes accompanying the heart's beat. *J Physics* 1887; 8:229
- 200.** Day CP, McComb JM, Campbell RW. QT dispersion: an indication of arrhythmia risk in patients with long QT intervals. *Br Heart J* 1990; 63:342–4.
- 201.** Kuo CS, Munakata K, Reddy CP, Surawicz B. Characteristics and possible mechanism of ventricular arrhythmia dependent on the dispersion of action potential durations. *Circulation* 1983; 67:1356–67
- 202.** Higham PD, Hilton DJ, Aitcheson JD. QT dispersion: A measure of underlying dispersion of ventricular recovery? *Eur Heart J* 1993; 14:86[abstr].
- 203.** Zabel M, Portnoy S, Franz MR. Electrocardiographic indexes of dispersion of ventricular repolarization: an isolated heart validation study. *J Am Coll Cardiol* 1995; 25:746–

- 204.**de Bruyne MC, Hoes AW, Kors JA, Hofman A, van Bemmel JH, Grobbee DE. QTc dispersion predicts cardiac mortality in the elderly: the Rotterdam Study. *Circulation*1998; 97:467–72
- 205.** Elming H, Holm E, Jun L, et al. The prognostic value of the QT interval and QT interval dispersion in all-cause and cardiac mortality and morbidity in a population of Danish citizens. *Eur Heart J*1998; 19:1391–400
- 206.** Macfarlane PW, McLaughlin SC, Rodger JC. Influence of lead selection and population on automated measurement of QT dispersion. *Circulation*1998; 98:2160–7.
- 207.** Surawicz B. Will QT dispersion play a role in clinical decision-making? [editorial; comment]. *J Cardiovasc Electrophysiol*1996; 7:777–84. [
- 208.** Statters DJ, Malik M, Ward DE, Camm AJ. QT dispersion: problems of methodology and clinical significance. *J Cardiovasc Electrophysiol*1994; 5:672–85. [
- 209.** Ichkhan K, Molnar J, Somberg J. Relation of left ventricular mass and QT dispersion in patients with systematic hypertension. *Am J Cardiol*1997; 79:508–11. [
- 210.** Clarkson PB, Naas AA, McMahon A, MacLeod C, Struthers AD, MacDonald TM. QT dispersion in essential hypertension. *Q J Med*1995; 88:327–32
- 211.** Jordaens L, Missault L, Pelleman G, Duprez D, De Backer G, Clement DL. Comparison of athletes with life-threatening ventricular arrhythmias with two groups of healthy athletes and a group of normal control subjects. *Am J Cardiol*1994; 74:1124–8. [
- 212.** Dritsas A, Sbarouni E, Oakley CM. Is QT interlead variability an arrhythmogenic marker? *Br Heart J*1992; 68:116.
- 213.** Dritsas A, Sbarouni E, Gilligan D, Nihoyannopoulos P, Oakley CM. QT-interval abnormalities in hypertrophic cardiomyopathy. *Clin Cardiol*1992; 15:739–42.
- 214.** Tanrıverdi H et all. QT dispersion and left ventricular hypertrophy in athletes: relationship with angiotensin-converting enzyme I/D polymorphism. *Acta Cardiol*. 2005 Aug;60(4):387-93

215. Alchaghouri S, Wong KY, Perry RA, Ramsdale DR, Somauroo JD, Pyatt JR. QT peak prolongation is not associated with left ventricular hypertrophy in teenage professional football players. Ann Noninvasive Electrocardiol. 2007 Apr;12(2):104-10

216. Rajappan K, O'Connell C, Sheridan DJ Changes in QT interval with exercise in elite male rowers and controls Int J Cardiol. 2003 Feb;87(2-3):217-22

217. Kasikcioglu E, Kayserilioglu A, Yildiz S. Qt dispersion in soccer players during exercise testing. Int J Sports Med. 2004 Apr;25(3):177-81.

218. Chauhan VS, Krahn AD, Walker BD, Klein GJ, Sex differences in QTc interval and QT dispersion: dynamics during exercise and recovery in healthy subjects. Am Heart J. 2002 Nov;144(5):858-64.

219. Halle M, Hounker M, Hohnloser SH et all. QT dispersion in exercise induced myocardial hypertrophy. Am Heart J, 1999 Aug;138(2pt 1):309-12

220. ქიშმარეია თ, ფალავა ზ, მამალახე გ, ლორია ბ, მაისურაძე ი. ფიზიკურ დატვირთვაზე პარკუჭთა რეპოლარიზაციის დისპერსიის რეაქცია ფიზიკური წვრთნით და პათოლოგიური პროცესით ინდუცირებული მარცხენა პარკუჭის პიპერტონიული მქონე პირებში. “კარდიოლოგია და შინაგანი მედიცინა” 2006 წ, 2(XIV), გვ 44-46

221. Tomiyama H, Doba N, Fu Y, et al. Left ventricular geometric patterns and QT dispersion in borderline and mild hypertension: their evolution and regression. Am J Hypertens 1998; 11:286–92

222. Mayet J, Shahi M, McGrath K, et al. Left ventricular hypertrophy and QT dispersion in hypertension. Hypertension 1996; 28:791–6

223. Davey PP, Bateman J, Mulligan IP, Forfar C, Barlow C, Hart G. QT interval dispersion in chronic heart failure and left ventricular hypertrophy: relation to autonomic nervous system and Holter tape abnormalities. Br Heart J 1994; 71:268–73

224. Yoshimura M, Matsumoto K, Watanabe M, Yamashita N, Sanuki E, Sumida Y Influence of exercise on QT dispersion in hypertensive patients with left ventricular hypertrophy without coronary artery disease. Jpn Circ J. 1999 Nov;63(11):881-4.

225 Maison-Blanche P, Coumel P. Changes in repolarization dynamicity and the assessment of the arrhythmic risk. Pacing Clin Electrophysiol. 1997 Oct;20(10 Pt 2):2614-24.

- 226.** George Hart. Cellular electrophysiology in cardiac hypertrophy and failure. *Cardiovascular Research* 1994;28:933-946 933
- 227.** Eckardt L, Haverkamp W, Johna R et al. Arrhythmias in heart failure: current concepts of mechanisms and therapy. *J Cardiovasc Electrophysiol*. 2000;11:106–117
- 228.** Davey PP, Bateman J, Mulligan IP, Forfar C, Barlow C, Hart G. QT interval dispersion in chronic heart failure and left ventricular hypertrophy: relation to autonomic nervous system and Holter tape abnormalities. *Heart*. 1994;71:268–273
- 229.** Y.James Kang. Cardiac Hypertrophy: A Risk Factor for QT prolongation and Cardiac Sudden Death. *Toxicologic Pathology*, Vol.34, N1, 58-66 (2006)
- 230.** Thomas Kahan, Lennart Bergfeldt Left ventricular hypertrophy in hypertension: its arrhythmogenic potential. *Heart* 2005;91:250-256
231. IOC Medical Commission, International Olympic Committee. Sudden cardiovascular death in sport. Lausanne recommendations: pre-participation cardiovascular screening 2004
http://multimedia.olympic.org/pdf/en_report_886.pdf.
- 232.** Francesco Sofi, Andrea Capalbo, Nicola Pucci, Francesca Condino et al. Cardiovascular evaluation, including resting and exercise electrocardiography, before participation in competitive sports: cross sectional study. *BMJ*. 2008 July 12; 337(7661): 88–92
- 233.** Savonen KP, Lakka TA, Laukkanen JA, Rauramaa TH, Salonen JT, Rauramaa R. Workload at the heart rate of 100 beats/min and mortality in middle-aged men with known or suspected coronary heart disease. *Heart* (2008) 94:e14. [\[Abstract/Free Full Text\]](#)
- 234** Savonen KP, Lakka TA, Laukkanen JA, Rauramaa TH, Salonen JT, Rauramaa R. Usefulness of chronotropic incompetence in response to exercise as a predictor of myocardial infarction in middle-aged men without cardiovascular disease. *Am J Cardiol* (2008) 101:992–998.
- 235.** P. Palatini. Exercise testing in asymptomatic subjects: from diagnostic test to prognostic tool? *Eur. Heart J.*, August 1, 2008; 29(15): 1803 – 1806

- 236.**Azarbal B, Hayes SW, Lewin HC, et al. The incremental prognostic value of percentage of heart rate reserve achieved over myocardial perfusion single-photon emission computed tomography in the prediction of cardiac death and all-cause mortality: superiority over 85% of maximal age-predicted heart rate. *J Am Coll Cardiol* 2004;44:423–30
- 237.**Elhendy A, Mahoney DW, Khanderia BK, Burger K, Pellikka PA. Prognostic significance of impairment of heart rate response to exercise: impact of left ventricular function and myocardial ischemia. *J Am Coll Cardiol* (2003) 42:823–830. 238. Jae SY, Fernhall B, Heffernan KS, Kang M, Lee MK, Choj YH, Park WH. Chronotropic response to exercise testing is associated with carotid atherosclerosis in healthy middle-aged men. *Eur Heart J* (2006) 27:954–959.
- 239.**Hautala AJ, Rankinen T, Kiviniemi AM, Makikallio TH, Huikuri HV, Bouchard C, Tulppo MP. Heart rate recovery after maximal exercise is associated with acetylcholine receptor M2 (CHRM2) gene polymorphism. *Am J Physiol Heart Circ Physiol* (2006) 291:H459–H466.
- 240.**Myers J, Tan SY, Abella J, Aleti V, Froelicher VF. Comparison of the chronotropic response to exercise and heart rate recovery in predicting cardiovascular mortality. *Eur J Cardiovasc Prev Rehabil* (2007) 14:215–221.
- 241.**Cole CR, Blackstone EH, Pashkow FJ, Snader CE, Lauer MS. Heart-rate recovery immediately after exercise as a predictor of mortality. *N Engl J Med* (1999) 341:1351–1357.
- 242.17.**Imai K, Sato H, Hori M, Kusuoka H, Ozaki H, Yokoyama H, Takeda H, Inoue M, Kamada T. Vagally mediated heart rate recovery after exercise is accelerated in athletes but blunted in patients with chronic heart failure. *J Am Coll Cardiol* (1994) 24:1529–1535.[Abstract]
- 243.**Khan MN, Pothier CE, Lauer MS. Chronotropic incompetence as a predictor of death among patients with normal electrograms taking beta blockers (metoprolol or atenolol). *Am J Cardiol* (2005) 96:1328–1333.
- 244.**Hayano J, Yamada A, Mukai S, Sakakibara Y, Yamada M, Ohte N, Hashimoto T, Fujinami T, Takata K. Severity of coronary atherosclerosis correlates with the respiratory component of heart rate variability. *Am Heart J.* 1991;121:1070-1079

- 245.** Tsuji H, Larson MG, Venditti FJ Jr, Manders ES, Evans JC, Feldman CL, and Levy D. Impact of reduced heart rate variability on risk for cardiac events The Framingham Heart Study. *Circulation* 94: 2850–2855, 1996
- 246.** La Rovere MT, Bigger JT Jr, Marcus FI, Mortara A, and Schwartz PJ. Baroreflex sensitivity and heart-rate variability in prediction of total cardiac mortality after myocardial infarction. ATRAMI (Autonomic Tone and Reflexes After Myocardial Infarction) investigators. *Lancet* 351: 478–484, 1998.
- 247.** Singer DH, Martin GJ, Magid N, Weiss JS, Schaad JW, Kehoe R, Zheatlin T, Fintel DJ, Hsieh AM, and Lesch M. Low heart rate variability and sudden cardiac death. *J Electrocardiol* 21: S46–S55, 1988
- 248.** Hull SS Jr, Vanoli E, Adamson PB, Verrier RL, Foreman RD, and Schwartz PJ. Exercise training confers anticipatory protection from sudden death during acute myocardial ischemia. *Circulation* 89: 548–552, 1994
- 249.** Vanoli E and Schwartz PJ. Sympathetic-parasympathetic interaction and sudden death. *Basic Res Cardiol* 85: 305–321, 1990
- 250.** Aubert A, Seps B, and Beckers F. Heart rate variability in athletes. *Sports Med* 33: 889–919, 2003
- 251.** Buch AN, Coote JH, and Townend JN. Mortality, cardiac vagal control and physical training: what's the link? *Exp Physiol* 87: 423–435, 2002
- 252.** Katona PG, McLean M, Dighton DH, and Guz A. Sympathetic and parasympathetic cardiac control in athletes and nonathletes at rest. *J Appl Physiol* 52: 1652–1657, 1982.
- 253.** Seals DR and Chase PB. Influence of physical training on heart rate variability and baroreflex circulatory control. *J Appl Physiol* 66: 1886–1895, 1989
- 254.** Boutcher SH and Stein P. Association between heart rate variability and training response in sedentary middle-aged men. *Eur J Appl Physiol Occup Physiol* 70: 75–80, 1995.
- 255.** Catai AM, Chacon-Mikahil MP, Martinelli FS, Forti VA, Silva E, Gofetti R, Martins LE, Szrajer JS, Wanderley JS, Lima-Filho EC, Milan LA, Marin-Neto JA, Maciel BC, and Gallo-

Junior L. Effects of aerobic exercise training on heart rate variability during wakefulness and sleep and cardiorespiratory responses of young and middle-aged healthy men. *Braz J Med Biol Res* 35: 741–752, 2002.

256. Loimaala A, Huikuri H, Oja P, Pasanen M, and Vuori I. Controlled 5-mo aerobic training improves heart rate but not heart rate variability or baroreflex sensitivity. *J Appl Physiol* 89: 1825–1829, 2000.

257. Migliaro ER, Contreras P, Bech S, Etxagibel A, Castro M, Ricca R, and Vicente K. Relative influence of age, resting heart rate and sedentary life style in short-term analysis of heart rate variability. *Braz J Med Biol Res* 34: 493–500, 2001

258. Sacknoff DM, Gleim GW, Stachenfeld N, and Coplan NL. Effect of athletic training on heart rate variability. *Am Heart J* 127: 1275–1278, 1994

259. Bosquet L, Papelier Y, Leger L, and Legros P. Night heart rate variability during overtraining in male endurance athletes. *J Sports Med Phys Fitness* 43: 506–512, 2003

260. Hedelin R, Kentta G, Wiklund U, Bjerle P, and Henriksson-Larsen K. Short-term overtraining: effects on performance, circulatory responses, and heart rate variability. *Med Sci Sports Exerc* 32: 1480–1484, 2000

261. Uusitalo AL, Uusitalo AJ, and Rusko HK. Exhaustive endurance training for 6–9 weeks did not induce changes in intrinsic heart rate and cardiac autonomic modulation in female athletes. *Int J Sports Med* 19: 532–540, 1998

262. Iellamo F, Legramante JM, Pigozzi F, Spataro A, Norbiato G, Lucini D, and Pagani M. Conversion from vagal to sympathetic predominance with strenuous training in high-performance world class athletes. *Circulation* 105: 2719–2724, 2002

263. Pichot V, Busso T, Roche F, Garet M, Costes F, Duverney D, Lacour JR, and Barthelemy JC. Autonomic adaptations to intensive and overload training periods: a laboratory study. *Med Sci Sports Exerc* 34: 1660–1666, 2002.

- 264.**Pichot V, Roche F, Gaspoz JM, Enjolras F, Antoniadis A, Minini P, Costes F, Busso T, Lacour JR, and Barthelemy JC. Relation between heart rate variability and training load in middle-distance runners. *Med Sci Sports Exerc* 32: 1729–1736, 2000.
- 265.**Portier H, Louisy F, Laude D, Berthelot, and Guezennec CY. Intense endurance training on heart rate and blood pressure variability in runners. *Med Sci Sports Exerc* 33: 1120–1125, 2001
- 266.**Uusitalo AL, Uusitalo AJ, and Rusko HK. Endurance training, overtraining and baroreflex sensitivity in female athletes. *Clin Physiol* 18: 510–520, 1998
- 267.**Task Force of the European Society of Cardiology and the North American Society of Pacing and Electrophysiology. Heart rate variability: standards of measurement, physiological interpretation and clinical use. *Circulation* 93: 1043–1065, 1996
- 268.**Malliani A. The pattern of sympathovagal balance explored in the frequency domain. *News Physiol Sci* 14: 111–117, 1999
- 269.**Iellamo F, Legramante JM, Pigozzi F, Spataro A, Norbiato G, Lucini D, and Pagani M. Conversion from vagal to sympathetic predominance with strenuous training in high-performance world class athletes. *Circulation* 105: 2719–2724, 2002.
- 270.**Iwasaki K, Zhang R, Zuckerman JH, and Levine BD. Dose-response relationship of the cardiovascular adaptation to endurance training in healthy adults: how much training for what benefit? *J Appl Physiol* 95: 1575–1583, 2003
- 271** Glass L, Mackey MC. From Clocks to Chaos: The Rhythms of Life. Princeton, NJ: Princeton University Press; 1988
- 272.**Wolf MM, Varigos GA, Hunt D, Sloman JG. Sinus arrhythmia in acute myocardial infarction. *Med J Aust.* 1978;2:52–53
- 273.**Kleiger RE, Miller JP, Bigger JT, Moss AR, Multicenter Post-Infarction Research Group. Decreased heart rate variability and its association with increased mortality after acute myocardial infarction. *Am J Cardiol.* 1987;59:256–262

- 274.** Lombardi F, Sandrone G, Perpruner S, Sala R, Garimoldi M, Cerutti S, Baselli G, Pagani M, Malliani A. Heart rate variability as an index of sympathovagal interaction after acute myocardial infarction. *Am J Cardiol.* 1987;60:1239–1245
- 275.** Akselrod S, Gordon D, Ubel FA, Shannon DC, Barger AC, Cohen RJ. Power spectrum analysis of heart rate fluctuation: a quantitative probe of beat-to-beat cardiovascular control. *Science.* 1981;213:220–222
- 276.** Pagani M, Lombardi F, Guzzetti S, Rimoldi O, Furlan R, Pizzinelli P, Sandrone G, Malfatto G, Dell'Orto S, Piccaluga E, Turiel M, Baselli G, Cerutti S, Malliani A. Power spectral analysis of heart rate and arterial pressure variabilities as a marker of sympathovagal interaction in man and conscious dog. *Circ Res.* 1986;59:178–193
- 277.** Van Camp SP, Bloor CM, Mueller FO, Cantu RC, Olson HG. Nontraumatic sports death in high school and college athletes. *Med Sci Sports Exerc.* 1995; 27: 641–647.
- 278.** Maron BJ, Pelliccia A, Spirito P. Cardiac disease in young trained athletes: insights into methods for distinguishing athlete's heart from structural heart disease, with particular emphasis
- 279.** Sharma S, Elliott PM, Whyte G, Mahon N, Virdee MS, Mist B, McKenna WJ. Utility of metabolic exercise testing in distinguishing hypertrophic cardiomyopathy from physiologic left ventricular hypertrophy in athletes. *J Am Coll Cardiol.* 2000; 36: 864–870
- 280.** Vinereanu D, Florescu N, Schulthorpe N, Tweddel AC, Stephens MR, Fraser AG. Differentiation between pathologic and physiologic left ventricular hypertrophy by tissue Doppler assessment of long-axis function in patients with hypertrophic cardiomyopathy or systemic hypertension and in athletes. *Am J Cardiol.* 2001; 88: 53–58
- 281.** Pelliccia A, Culasso F, Di Paolo F, Maron BJ. Physiologic left ventricular cavity dilatation in elite athletes. *Ann Intern Med.* 1999; 130: 23–3
- 282.** Paterick TE, Paterick TJ, Fletcher GF, Maron BJ. Medical and legal issues impacting the cardiovascular evaluation of competitive athletes. *JAMA.* 2005; 294: 3011–3018.

- 283.**Maron BJ, Gohman TE, Aeppli D. Prevalence of sudden cardiac death during competitive sports activities in Minnesota high school athletes. *J Am Coll Cardiol.* 1998; 32: 1881–1884
- 284.**Maron BJ, Carney KP, Lever HM, Lewis JF, Barac I, Casey SA, Sherrid MV. Relationship of race to sudden cardiac death in competitive athletes with hypertrophic cardiomyopathy. *J Am Coll Cardiol.* 2003; 41: 974–980
- 285.**Basso C, Maron BJ, Corrado D, Thiene G. Clinical profile of congenital coronary artery anomalies with origin from the wrong aortic sinus leading to sudden death in young competitive athletes. *J Am Coll Cardiol.* 2000; 35: 1493–1501.
- 286.**Corrado D, Basco C, Thiene G, McKenna WJ, Davies MJ, Fontaliran F, Nava A, Silvestri F, Blomstrom-Lundqvist C, Wlodarska EK, Fontaine G, Camerini F. Spectrum of clinicopathologic manifestations of arrhythmogenic right ventricular cardiomyopathy/dysplasia: a multicenter study. *J Am Coll Cardiol.* 1997; 30: 1512–1520.
- 287.**Maron BJ, Poliac LC, Ashare AB, Hall WA. Sudden death due to blunt neck blows in amateur hockey players. *JAMA.* 2003; 290: 599–601
- 288.**Maron BJ, Gohman TE, Kyle SB, Estes NAM, Link MS. Clinical profile and spectrum of commotio cordis. *JAMA.* 2002; 287: 1142–1146
- 289.**Corrado D, Basso C, Schiavon M, Gaetano T. Screening for Hypertrophic Cardiomyopathy in young Athletes. *New England J Med* 1998;339;364-9
- 290.**Grimby G, Saltin B. Physiological analysis of physically well-trained middle-aged and old athletes. *Acta Med Scand* (1966) 179:513–526.
- 291.**Hood S, Northcote RJ. Cardiac assessment of veteran endurance athletes: a 12 year follow up study. *Br J Sports Med* (1999) 33:239–243
- 292.**Sarna S, Sahi T, Koskenvuo M, Kaprio J. Increased lifeexpectancy of world class male athletes. *Med Sci SportExercise* 1993; 25: 237–44.352

- 293.** American College of Sports Medicine. Guidelines for Graded Exercise Testing and Exercise Prescription. Philadelphia, PA: Lea and Febiger, 1986.
- 294.** American College of Sports Medicine. The recommended quantity and quality of exercise for developing and maintaining cardiorespiratory and muscular fitness and flexibility in healthy adults. *Med Sci Sports Exerc* 30: 975–991, 1998.
- 295.** Surgeon General. Report on physical activity and health. From the Centers for Disease Control and Prevention. *JAMA* 276: M-37, 1996
- 296.** Wagner A, Simon C, Evans A, Ferrieres J, Montaye M, Ducimetiere P, and Arveiler D. Physical activity and coronary event incidence in Northern Ireland and France: the Prospective Epidemiological Study of Myocardial Infarction (PRIME). *Circulation* 105: 2247–2252, 2002.
- 297.** Dvorak RV, Tchernof A, Starling RD, Ades PA, DiPietro L, and Poehlman ET. Respiratory fitness, free living physical activity, and cardiovascular disease risk in older individuals: a doubly labeled water study. *J Clin Endocrinol Metab* 85: 957–963, 2000
- 298.** Williams PT. Relationships of heart disease risk factors to exercise quantity and intensity. *Arch Intern Med* 158: 237–245, 1998.
- 299.** Blumenthal JA, Rejeski WJ, Walsh-Riddle M, Emery CF, Miller H, Roark S, Ribisl PM, Morris PB, Brubaker P, and Williams RS. Comparison of high- and low intensity exercise training early after acute myocardial infarction. *Am J Cardiol* 61: 26–30, 1988
- 300.** Manson JE, Hu FB, Rich-Edwards JW, Colditz GA, Stampfer MJ, Willett WC, Speizer FE, and Hennekens CH. A prospective study of walking as compared with vigorous exercise in the prevention of coronary heart disease in women. *N Engl J Med* 341: 650–658, 1999
- 301.** Kasikcioglu E, kaysrililoglu A, Ciloglu F, Akhan H, Oflaz H, Yildiz S, Peker I. Angiotensin-converting enzyme gene polymorphism, left ventricular remodeling, and exercise capacity in strength-trained athletes. *Heart Vessels*, 2004 Nov;19(6):287-93

- 302.**KarJalainen J, Kujala UM, Stoit A, Mantysaari M, Viitasalo M, Kainulainen K,kontula K. Angiotensinogen gene M235T polymorphism predicts left ventricular hypertrophy in endurance athletes. *J Am Coll Cardiol.* 1999 Aug; 34(2):494-9
- 303.**Diet F, Graf C, Mahnke N, Wassmer G, Predel HG, Palma-Hohmann I, Rost R, Bohm M. ACE and Angiotensinogen gene genotypes and left ventricular mass in athletes. *Eur J Clin Invest.* 2001 Oct; 31 (10):836-42
- 304.**Tanriverdi H, Kaftan HA, Evrengul H. Qt dispersion and left ventricular hypertrophy in athletes: relationship with Angiotensin-converting enzyme I/D polymorphism. *a Cardiol.* 2005 Aug; 60(4): 387-93
- 305.7.**Karlovatz RJ, Sharang J, Rahnenfurer J, Shnaider U. Polymorphism in the IGF 1 signaling pathway including the myostatin gene are associated with left ventricular mass in male athletes. *Br J Sports Med.* 2009 Jan 9 (Epub ahead of print)
- 306.**Galetta F, Franzoni F, Santoro G, Prattichizzo F, et all.QT Dispersion Elderly Athletes with Left Ventricular Hypertrophy. *Int J Sports Med.* 2003 May;24(4):233-7.
- 307.**De Simone, G; Daniels, SR; Devereux, RB; Meyer, RA; Roman, MJ; de Divitiis, O; Alderman, MH. Left ventricular mass and body size in normotensive children and adults: assessment of allometric relations and impact of overweight. *J Am Coll Cardiol.* 1992;20:1251–1260.
- 308.**Thomas Kahan, Lennart Bergfeldt. Left ventricular hypertrophy in hypertension: its arrhythmogenic potential *Heart* 2005;91:250-256
- 309.3**Murilo Foppa,[✉] Bruce B Duncan,¹ and Luis EP Rohde Echocardiography-based left ventricular mass estimation. How should we define hypertrophy? *Cardiovasc Ultrasound.* 2005; 3: 17
- 310.**Devereux RB, Reichek N: Echocardiographic determination of left ventricular mass in man. Anatomic validation of the method. *Circulation* 1977, 55:613-618

- 311.**Ganau A, Devereux RB, Roman MJ, De Simone G, Pickering TG, Saba PS, Vargiu P, Simongini I, Laragh JH: Patterns of left ventricular hypertrophy and geometric remodeling in essential hypertension. *J Am Coll Cardiol* 1992; 19:1550-1558.
- 312.** Lang R, et al from the American Society of Echocardiography and European Association of Echocardiography. Recommendations for chamber quantification. *Eur J Echocardiogr* 2006; 7; 79-108
- 313.** Galderisi M, Mondillo S. Handbook Echocardiography in clinical practice. 20078. Mottram P, et al. Assessment of diastolic function, what the general cardiologists need to know. *Heart* 2005; 91; 681-695
- .314.** Malik, M; Batchvarov, VN. Measurement, interpretation and clinical potential of QT dispersion. *J Amer Coll of Cardiol.* 2000;36:1749–1766
- 315.** K. O. Ogunyankin, A. Pelliccia, R. De Luca, F. M. Di Paolo, A. Spataro, B. J. Maron, and F. Culasso. Left Ventricular Remodeling in Elite Athletes * Response *Circulation*, August 27, 2002; 106 (9): e43 - e43.
- 316.** S Basavarajaiah, M Wilson, S Junagde, G Jackson, G Whyte, S Sharma, and W O Roberts Physiological left ventricular hypertrophy or hypertrophic cardiomyopathy in an elite adolescent athlete: role of detraining in resolving the clinical dilemma * Commentary *Br. J. Sports Med.*, August 1, 2006; 40(8): 727 - 729.
- 317.** Shapiro LM. Physiological left ventricular hypertrophy. *Br Heart J.* 1984; 52: 130–135
- 318.** Hickson RC. Reduced training duration effects on aerobic power, endurance and cardiac growth. *J Appl Physiol.* 1982; 53: 225–229.
- 319.** Schwartz PJ, La Rovere MT, Vanoli E. Autonomic nervous system and sudden cardiac death. Experimental basis and clinical observations for post-myocardial infarction risk stratification.

320. K. P. Savonen, V. Kiviniemi, J. A. Laukkonen, T. A. Lakka, T. H. Rauramaa, J. T. Salonen, and R. Rauramaa Chronotropic incompetence and mortality in middle-aged men with known or suspected coronary heart disease Eur. Heart J., August 1, 2008; 29(15): 1896 – 1902

321. Corrado D, Basso C, Schiavon M, Gaetano T. Screening for Hypertrophic Cardiomyopathy in young Athletes. New England J Med 1998;339:364-9

Conclusions

1. In part of middle-aged veteran elite athletes LV hypertrophy was found, possibly caused by incomplete regression of high intensity physical load induced hypertrophy i.e. residual hypertrophy.
2. In most of athletes , as well as, in hypertensive patients LV hypertrophy was associated with diastolic dysfunction.
3. In veteran athletes with LV hypertrophy like hypertensive patients QT dispersion increased during exercise. In contrast to it in control subjects and veteran athletes without LV hypertrophy QT dispersion decreased or remained unchanged during exercise.
4. In veteran athletes higher indices of chronotropic response to exercise were detected, as compared with sedentary voluntaries and hypertensive patients. In hypertensive patients chronotropic response to exercise was decreased.
5. Veteran athletes exhibited hypertensive response to exercice. It may be an indicator of high risk of hypertension development in future.
6. In veteran athletes increased HRV was found. In hypertensive patients HRV was decreased, as compared with athletes and control subjects.
7. Positive correlation between indices of HRV and chronotropic response to exercise was found in all study groups. Indices of HRV and chronotropic response to exercise correlated with level of physical activity.
8. In veteran athletes marked sinus bradycardia, AV conduction abnormalities, frequent ventricular and complex arrhythmias are common, as compared with their sedentary counterparts.
9. In veteran athletes with LV hypertrophy and without of it heart rhythm abnormalities are not associated with decreased HRV and chronotropic response to exercise, in cntrast to patients with arterial hypertension.

10.LV hypertrophy in majority of middle-aged veteran elite athletes, like hypertensive subjects, is associated with diastolic dysfunction , QT dispersion increase during exercise and heart rhythm abnormalities. Nevertheless, in veteran athletes, in contrast to hypertensive patients, indices of HRV and chronotropic response to exercise are not decreased.